الجمهورية الجزائرية الديمقراطية الشعبية République Algérienne Démocratique et Populaire وزارة التعليم العالي والبحث العلمي

Ministère de l'Enseignement Supérieur et de la Recherche Scientifique

#### Centre Universitaire Abdelhafid Boussouf - Mila

Institut des Sciences et de Technologie

Département de Sciences et Technologie



Nº Ref :....

# Projet de Fin d'Etude préparé En vue de l'obtention du diplôme de MASTER

Spécialité : Génie Civil Option: Structure

# Pré-dimensionnement et calcul d'un bâtiment d'habitation multi-étagée

### Réalisé par :

- OUARET CHAHRA
- BOULAHLIBE CHAIMA

### Soutenu devant le jury :

M. DJEGHADER Djamel Président
Mme G UETTICHE Abdelheq Examinateur
Mme TIOUA Tahar Promoteur

Année universitaire: 2024/2025



بسم الله الرحمان الرحيم والصلاة والسلام على أشرف المرسلين محمد صلى الله على الله على عليه وسلم

إلى من لا يطيب الليل إلا بذكره ولا يطيب النهار إلا بشكره .. الله جلّ جلاله إلى من بلغ الرسالة وأدى الأمانة ونصح الأمة

نبى الرحمة ونور العالمين

"سيدنا محمد صلى الله عليه وسلم"

بكل حب أُهدي ثمرة نجاحي وتخرجي

الى من أحمل اسمهما بكل فخر ومهدا لي طريق العلم طالمًا عاهدتهم بهذا النجاح، ها أنا أتممت وعدي وأهديته إليكم "والديّ العزيزين

إلى ملاكي اللاتي رزقني الله بها، لا أعرف من خلالها سوى طَعم الحياة الجميلة تلك الملاك اللتي غيرت مفاهيم الحب والصداقة والسند في حياتي اختي مريم جعلني الله وإياكي من البارّات

إلى إخوتي عبد النور واسلام و نجم الدين، إلى من كانوا لي بعد الأب، سندًا وأمانًا أنتم الداعمين الحقيقيين في كل مراحل حياتي

إلى براعم المسجد الذين تشرفت بتعليمهم، أهدي هذا العمل تقديرًا لحبهم، وبراءتهم ودعاءً أن يجعلهم الله من حفظة كتابه

شكرا لصديقتي شهرة التي شاركتني هدا العمل

2025



## (وَآخِرُ دَعْوَاهُمْ أَنِ الْحَمْدُ لِلَّهِ رَبِّ الْعَالَمِينَ) الحمدلله على التمام و حسن الختام

## <u>إهداء</u>

إلى من كان حضوره في حياتي بركة، وسنده قوتي... إلى أبي العزيز،

يا من زرعت في قلبي الْثبات، وغرست في نفسي الطموح، شكراً لكتفك الذي استندت عليه حين تعبت، ولحنانك الذي منحني الثقة لأكمل طريقي...

كل حرف في هذه الصفحات يحمل من أثرك شيئًا.

إلى من كانت دعواتها نورًا، وابتسامتها شفاء... إلٍى أمي الغالية،

يا من جعلتِ من عطائك حباً لا يُقاس، ومن صبرك درسًا في الإيمان... لكِ وحدكِ أرفع هذا الإنجاز ، لأنكِ كنتِ فيه القلب والدعاء والسند.

إلى إخوتي الأعزاء <mark>أحلام وعبد الجليل</mark> و <mark>سيف الدين</mark> و <mark>رانية</mark> و <mark>امال</mark> و وليد و امير

أنتم الرفاق الأوائل، وأنتم الضحكة التي خففت عناء الأيام، شكرًا لدعمكم الصادق، لاهتمامكم الصامت، ولحبّكم الذي كان زادي في الطريق.

إلى خطيبي العزيز <mark>رضوان</mark>

أهديك هذا العمل عربون شكر ووفاء،

لأنك كنت النور الذي هدّاً خوفي، والصوت الذي شُجّعني في كل لحظة

ضعف...

شكرًا لأنك آمنت بي حين شككت في نفسي. ۗ

وٍ شكرا إلى صديقتي شيماء التي شاركتني العملِ.

. شهرة

## REMERCIEMENT

Au terme de ce modeste travail, nous rendons louange à Dieu le tout puissant de nous avoir donné le courage et la volonté de l'avoir accompli.

Comme nous tenons à adresser nos vifs remerciements à :

Nos familles: Qui nous ont toujours encouragés et soutenus durant toutes nos études.

A Mr TIOUA TAHAR: Notre promoteur, pour avoir accepté de nous guider sur le bon chemin du travail.

Nous adressons un grand merci à **Dr M.Rabehi** et **Dr Ch .Belghiat** pour leur soutien constant, leur disponibilité et leurs précieux conseils tout au long de notre travail. Leur aide a été essentielle et profondément appréciée.

Aux membres de jury : Pour avoir accepté de juger notre travail.

Et à tous ceux qui ont contribué de prés ou de loin à la concrétisation de ce travail.



#### Liste des abréviations et symboles

A Coefficient d'accélération de zone, Aire d'une section.

**A**<sub>n</sub> Coefficient de minoration

**B** Facteur de comportement de la structure, aire d'une section de béton.

**BAEL** Béton armé à l'état limite.

**Br** Section réduite du béton.

C Centre de flexion, Amortissement.

Cd Coefficient de pression dynamique.

C<sub>pe</sub> Coefficient de pression extérieur.

C<sub>pi</sub> Coefficient de pression intérieur.

C<sub>frj</sub> Coefficient de frottement de l'élément de surface « j ».

**D** Facteur d'amplification dynamique moyen.

**D**<sub>i</sub> Facteur d'amplification dynamique.

E Module d'élasticité longitudinale (module de YOUNG).

E<sub>ij</sub> Module de déformation instantanée du béton.

E<sub>vj</sub> Module de déformation différée du béton.

**Es** Module d'élasticité de l'acier.

**ELS** Etat limite de service.

**ELU** Etat limite ultime.

**E** Epaisseur, excentricité

**FP** Fissuration préjudiciable.

**FPN** Fissuration peu nuisible.

**FTP** Fissuration très préjudiciables.

**G** Charge permanente, module d'élasticité transversale, Module de cisaillement.

G<sub>0</sub> Module initial de cisaillement.

**G** Largeur de la marche.

**H** Hauteur totale du bâtiment.

I Moment d'inertie.

I<sub>e</sub> Inertie équivalente.

I Inertie du linteau

Inertie des voiles longitudinaux.

It Inertie des voiles transversaux.

 $\mathbf{j}_{\boldsymbol{\theta}}$  Inertie polaire.

**K** Rigidité.

**K**s Coefficient du site.

L Portée.

M Moment, masse

M<sub>t</sub> Moment en travée de la poutre considérée.

**M**<sub>ap</sub> Moment sur appuis.

M<sub>u</sub> Moment ultime.

N<sub>G</sub> Effort normal développé par les charges permanentes.

N<sub>Q</sub> Effort normal développé par les charges d'exploitation.

N<sub>u</sub> Effort normal ultime.

Nombre de niveaux.

P, W Poids

**Q** Charge d'exploitation, facteur de qualité.

**Q** Densité de charge répartie.

R Réaction.

**RPA** Règlement parasismique Algérien.

Surface de l'élément considéré, force sismique, moment statique.

 $S_t$  Espacement entre armatures.

**SSI** Interaction Sol-Structure

T Effort tranchant, période.

V Effort tranchant, vitesse, action sismique à la base

**Z** Bras de levier entre les aciers et le béton.

**d'** Distance du barycentre des aciers comprimés à la fibre extrême la plus

comprimée

**D** Distance du barycentre des aciers tendus à la fibre extrême la plus comprimée.

A Côte du poteau carré.

**B** Largeur de la poutre.

**f**<sub>bu</sub> Contrainte admissible de flambement.

$\mathbf{f}_{\mathbf{ej}}$	Résistance à la compression .
$\mathbf{f}_{\mathbf{t}\mathbf{j}}$	Résistance à la traction.
$\mathbf{f}_{\mathbf{e}}$	Limite élastique de l'acier.
$\mathbf{l_f}$	Longueur du flambement.
α	Coefficient de sécurité ou flambement, angle, coefficient de participation.
γ	Poids volumique,
β	Coefficient de majoration dynamique.
γь	Coefficient de sécurité à prendre pour le béton.
$\gamma_{\rm s}$	Coefficient de sécurité à prendre pour l'acier.
δ	Coefficient de dimension, déplacement.
ε	Déformation relative du béton comprimé
Eb	Déformation relative de l'acier tendu.
η	Coefficient de fissuration, Facture de correction d'amortissement critique fonction du matériau constitutif
λ	Coefficient d'élancement.
$\mu_{r}$	Moment résistant.
σ	Contrainte normale.
$\sigma_{bc}$	Contrainte de compression de béton.
$\sigma_{\hspace{3mm}s}$	Contrainte dans l'acier.
$\sigma_{s10}$	Contrainte dans l'acier correspondant à un allongement relatif de 10%.
τ	Contrainte de cisaillement.
ν	Coefficient de poisson.
$\Phi_1$	Diamètre des armatures longitudinales.
$\Phi_{t}$	Diamètre des armatures transversales.

#### Table des matières

الإهداء	
REMERCIEMENT	
Liste des abréviations et symboles	
Table des matières	
Liste des tableaux	
Liste des figures	
Résumé	
Introduction générale	1
Chapitre I Présentation de l'ouvrage et caractéristiques des matériaux	
I.1. Introduction	3
I.2. Présentation de l'ouvrage	3
I.2.1. Caractéristiques géométriques du bâtiment	7
I.2.2. Caractéristiques géométriques du sol	8
I.3. Description de l'ossature	8
I.3.1. Conception structurales	8
I.3.2. Planchers	8
I.3.2.1. Planchers corps creux	8
I.3.2.2. Planchers dalle pleine	9
I.3.3. Poutres	9
I.3.4. Poteaux	9
I.3.5. Escalier	.10
I.3.6. Revêtement	.10
I.3.7. Voiles	.10
I.3.8. Maçonnerie	.10
I.3.9. Infrastructure	.10
I.3.10. Acrotère	.10
I.3.11. Terrasse	.11
I.3.12. Isolation	.11
I.4. Les Matériaux utilisé	.11

I.4.1.3. Résistance caractéristique du béton à la traction	12
I.4.1.4. Contrainte de calcul de béton comprimé	12
I.4.2. Acier	13
I.4.2.1. Type d'acier utilisé	13
I.4.2.2. Contrainte limite	13
I.5. Actions et sollicitations	14
I.5.1. Actions	14
I.5.2. Sollicitations	15
I.6. Conception structurelle :	17
I.7. Conclusion	17
Chapitre II Pré-dimensionnement des éléments de structures et évaluat	tion des charges
II.1. Introduction	19
II.2. Pré dimensionnements des éléments non structuraux	19
II.2.1. Planchers	19
II.2.1.1. Planchers à corps creux	19
II.3. Pré-dimensionnement des éléments structuraux	25
II.3.1. Poutres	25
II.3.2. Poteaux	27
II.3.3. Les voiles	29
II.4. Descente des charges	30
II.4.1. Evaluation des charges	30
II.4.1.1. La charge d'exploitations	35
II.5. Conclusion	42
Chapitre III Calcul des éléments secondaires	
III.1. Introduction	44
III.2. Calcul de l'acrotère	44
III.2.1. Effort sismique au sommet de l'acrotère	45
III.2.2. Calcul des sollicitations	45
III.2.3. Ferraillage	46
III.2.4. Calcul de l'excentricité	47
III.3. Les balcons	51
III.3.1. Evaluation des charges	52
III.3.2. Calcul des sollicitations.	53
III.4. Calcul des escaliers	57

III.4.1. Définition	57
III.4.2. Combinaison des charges	57
III.4.2.1. Calcul des charges à l'ELU et l'ELS	58
III.4.2.2. Diagrammes des moments fléchissant et efforts tranchants	59
III.4.2.3. Calcule de ferraillage	62
III.5. Poutre de palière	70
III.5.1. Evaluation des charges	70
III.5.2. Combinaison de charges et surcharges	70
III.5.3. Ferraillage de la poutre palière	71
III.6. Calcul les planchers	78
III.6.1. Calcul des poutrelles	79
III.6.1.1. Disposition des poutrelles	79
III.6.1.2. Dimensions de la poutrelle :	79
III.6.1.3. Les différents types des poutrelles	80
III.6.1.4. Calcul les sollicitations des charges et les sur charges des poutrelles	80
III.6.1.5. Chois de la Méthode de calcul :	81
III.6.1.5.1. Méthode forfaitaire .	81
III.6.1.5.2. Méthode de Caquot	83
III.6.1.6. Méthode de Caquot minoré	84
III.6.1.7. Choix de la méthode de calcul des sollicitations :	84
III.6.1.8. Les sollicitations dans les différents types des poutrelles :	84
III.6.2. Ferraillages des poutrelles	88
III.6.2.1. Etude de la dalle de compression	113
Chapitre IV Etude dynamique en zone sismique	
IV.1. Introduction	116
IV.2. Buts de l'analyse dynamique	116
IV.3. Présentation des différentes méthodes d'estimation Des forces sismiques	116
IV.3.1. Méthode statique équivalente	116
IV.3.2. Méthode dynamique modale spectrale	117
IV.4. Calcul de l'effort tranchant avec la méthode statique équivalente	118
IV.4.1. Définitions de la valeur des coefficients	119
IV.5. Modélisation et résultats	123
IV.5.1. Modélisation	123
IV.5.2. Analyse de la structure	123

IV.6. Calcul des Actions Sismiques	126
IV.6.1. Calcul de déplacements	130
Chapitre V Ferraillages des éléments structu	ıraux
V.1. Introduction	136
V.2. Actions et sollicitations :	136
V.3. Ferraillage des poteaux :	138
V.3.1. Hypothèses de calcul	139
V.3.2. Etat limite de stabilité de forme	139
V.3.3. Détermination des sections d'acier :	140
V.4. Recommandations des règlements :	146
V.4.1. Armatures longitudinales:	146
V.4.2. Vérifications :	149
V.5. Ferraillage des poutres :	153
V.5.1. Recommandations du RPA	154
V.5.2. Ferraillage des poutres	155
V.5.2.1. Poutre principale	155
V.5.2.2. Poutre secondaires :	161
V.6. Ferraillage des voiles :	167
V.6.1. Exposé de la méthode	169
V.7. Conclusion	179
Chapitre VI Etude des fondations	
VI.1. Introduction	181
VI.2. Facteur de choix du type de fondation	181
VI.3. Choix de type de fondation	181
VI.3.1. Vérification de la semelle isolée	182
VI.3.2. Vérification de la semelle filante :	184
VI.3.3. Dimensionnement de la semelle :	184
VI.3.3.1. Calcul de la hauteur de la semelle :	187
VI.3.3.2. Vérification au poinçonnement :	187
VI.3.3.3. Calcul de la poutre de rigidité :	188
VI.3.4. Calcul des sollicitations :	189
VI.3.5. Calcule Ferraillage :	191
VI.3.5.1. En Appuis:	191
VI.3.5.2. Sur travée :	192

VI.4. Schéma de ferraillage semelle filante	194
VI.5. L'étude des longrines	194
VI.5.1. Pré dimensionnement	194
VI.5.2. Ferraillage de la longrine	195
VI.5.3. Condition de non fragilité	196
VI.5.4. L'espacement	196
VI.5.5. Armatures transversales	196
VI.6. Schéma de ferraillage La Longrine	196
VI.7. Conclusion:	197
Conclusion générale	199
Références bibliographiques	201
Annexes	203

## Liste des tableaux

Tableau II-1: section des poteaux préalable.	28
Tableau II-2: Évaluation des charges permanentes des planchers terrasses	30
Tableau II-3: Évaluation des charges permanentes des planchers courants	31
Tableau II-4: Évaluation des charges permanentes de dalle (balcon).	32
Tableau II-5: Charge permanents des murs extérieur	32
Tableau II-6: Charge permanents des murs intérieurs	33
Tableau II-7: Évaluation des charges permanentes du paillasse	34
Tableau II-8: Évaluation des charges permanentes de palier	34
Tableau II-9: Évaluation des poids propres des poteaux	36
Tableau II-10: Dégression des charges d'exploitation	37
Tableau II-11: Descente de charge du poteau.	38
Tableau III-1: Récapitulatif des résultats	54
Tableau III-2: Récapitulatif des résultats.	55
Tableau III-3: Récapitulatif des résultats.	56
Tableau III-4: Combinaisons des charges d'escalier	58
Tableau III-5: Tableau récapitulatif des sollicitations	61
Tableau III-6: Les charges d'escalier	62
Tableau III-6: Les charges d'escalier         Tableau III-7: Tableau récapitulatif des sollicitations	
	62
Tableau III-7: Tableau récapitulatif des sollicitations	62
Tableau III-7: Tableau récapitulatif des sollicitations         Tableau III-8: Vérification des contraintes à l'ELS.	62 65 72
Tableau III-7: Tableau récapitulatif des sollicitations         Tableau III-8: Vérification des contraintes à l'ELS.         Tableau III-9: Ferraillage de la poutre palière à la flexion simple.	62 65 72
Tableau III-7: Tableau récapitulatif des sollicitations	62 65 72 75
Tableau III-7: Tableau récapitulatif des sollicitations  Tableau III-8: Vérification des contraintes à l'ELS.  Tableau III-9: Ferraillage de la poutre palière à la flexion simple.  Tableau III-10: Vérification a l'ELS de la poutre palière.  Tableau III-11: Les combinaisons d'action	62 65 72 75 80
Tableau III-7: Tableau récapitulatif des sollicitations	62 72 75 80 84
Tableau III-7: Tableau récapitulatif des sollicitations	62 72 75 80 84 88
Tableau III-7: Tableau récapitulatif des sollicitations	62 72 75 80 84 88 88
Tableau III-7: Tableau récapitulatif des sollicitations  Tableau III-8: Vérification des contraintes à l'ELS.  Tableau III-9: Ferraillage de la poutre palière à la flexion simple.  Tableau III-10: Vérification a l'ELS de la poutre palière.  Tableau III-11: Les combinaisons d'action.  Tableau III-12: Choix des méthodes de calculs pour les différents types de poutrelles.  Tableau III-13: Les sollicitations maximums à ELU.  Tableau III-14: Les sollicitations maximums à ELS.  Tableau III-15:: Tableau de ferraillage à l'ELU.	62 72 75 80 84 88 89
Tableau III-7: Tableau récapitulatif des sollicitations	62 72 75 80 84 88 89 91
Tableau III-7: Tableau récapitulatif des sollicitations	62 72 75 80 84 88 89 91 92
Tableau III-7: Tableau récapitulatif des sollicitations	62 72 75 80 84 88 89 91 92 95

<b>Tableau III-22:</b> Tableau de ferraillage à l'ELU	104
Tableau III-23: Vérification des contraintes à l'ELS	107
Tableau III-24: Vérification des contraintes à l'ELS	108
Tableau III-25: ferraillage des poutrelles	112
Tableau IV-1: Coefficient d'accompagnement	119
Tableau IV-2: Valeurs des paramètres décrivant les spectres de réponse élastique de	
type1 (Zones IV, V et VI)	121
Tableau IV-3:    Valeurs des coefficients d'importance	121
Tableau IV-4: Valeurs du coefficient de comportement R.	121
Tableau IV-5: Valeur de facteur de qualité	122
Tableau IV-6: Périodes et factures de participation massique modale.	124
<b>Tableau IV-7:</b> La relation entre la période empirique et analytique.	126
<b>Tableau IV-8:</b> Valeurs du coefficient C <sub>t</sub>	127
Tableau IV-9: Vérification de l'effort tranchant à la base.	128
Tableau IV-12: centre de masse et centre de torsion.	129
Tableau IV-13: Vérification de l'excentricité accidentelle.	130
Tableau IV-14: Vérification de déplacement	130
<b>Tableau IV-15:</b> Vérification au renversement sens x	131
Tableau IV-16: Vérification au renversement sens y	132
Tableau IV-17: Vérification d'effort normal réduit des poteaux.	133
<b>Tableau IV-18:</b> Vérification de l'effet P-Δ au sens x-x	134
<b>Tableau IV-19:</b> Vérification de l'effet P-Δ au sens y-y.	134
Tableau V-1: Coefficients de sécurité et contraintes caractéristiques :	138
Tableau V-2: Sollicitations dans les poteaux.	139
Tableau V-3: Ferraillage longitudinal des poteaux.	146
Tableau V-4: Armatures longitudinales minimales et maximales selon le RPA dans les	
poteaux.	147
<b>Tableau V-5:</b> Armatures longitudinales minimales et maximales selon BAEL[2]dans	
les poteaux.	147
Tableau V-6: Choi des armatures transversales pour les poteaux	149
<b>Tableau V-7:</b> Justification de la contrainte de cisaillement	150
Tableau V-8: Sollicitations de la poutre principale.	155
Tableau V-9: Ferraillage des poutres principales.	157
<b>Tableau V-10:</b> Vérification a l'ELS de la poutre principale	160

Tableau V-11:    Sollicitations de la poutre secondaires.	161
Tableau V-12: Ferraillage des poutres secondaire.	163
Tableau V-13: Vérification a l'ELS de la poutre secondaire.	166
Tableau V-14: Sollicitations de calcul (voile plein)	170
Tableau V-15: Résultats du ferraillage vertical voiles (RDC +1ereETA+2ere )	178
Tableau VI-1: Vérifications «σmoy » et largeur « B » a "ELU"	185
Tableau VI-2: Vérifications « σmoy » et largeur « B » a "ELS"	186
$\textbf{Tableau VI-3:}\ V\'{e}rifications \ \ \ \ \ \ \ \ \ \ \ \ \ \ \ \ \ \ \$	186
$\textbf{Tableau VI-4:}\ V\'{e}rifications \ \ \ \ \ \ \ \ \ \ \ \ \ \ \ \ \ \ \$	186
Tableau VI-5: Résultats du moment maximal.	190
Tableau VI-6: Résultats de calcul ce ferraillage	193

## Liste des figures

Figure I-1: Coupe de façade principale.	3
Figure I-2: Façade Postérieure	4
Figure I-3: Coupe vertical du bâtiment	5
Figure I-4: Vue en Plan de RDC	6
Figure I-5: plan terrasse.	6
Figure I-6: Vue en Plan étages courant	7
Figure I-7: Plancher en corps creux	9
Figure I-8: Dalle pleine	9
Figure I-9: Diagramme Contrainte déformations du béton	13
Figure I-10: Diagramme contraintes déformations de l'acier	14
Figure II-1: Plancher à corps creux	20
Figure II-2: Dimensions d'une poutrelle.	20
Figure II-3: Disposition des poutrelles.	21
Figure II-4: Schéma de l'Acrotère	21
Figure II-5: Coupe en élévation d'escalier.	23
Figure II-6: Poutre principale et secondaires	26
Figure II-7: Voile en béton armé	29
Figure II-8: Plancher à corps.	30
Figure II-9: Plancher étage courant	31
Figure II-10: Dalle pleine	32
Figure II-11: Mur Extérieur	32
Figure II-12: Murs intérieurs	33
Figure II-13: Emplacement du poteau le plus sollicité (sur le plan).	35
Figure II-14: Schéma statique de la descente de charge.	38
Figure III-1: Coupe de l'acrotère.	44
Figure III-2: Section théorique pour le ferraillage de l'acrotère	46
Figure III-3: Schéma de ferraillage de l'acrotère.	51
Figure III-4: coupe A-A	51
Figure III-5: Section théorique pour le ferraillage du balcon.	52
Figure III-6: Schéma de ferraillage du balcon.	56
Figure III-7: Coupe en Elévation de l'Escalier.	57
Figure III-8: Schéma Statique de l'Escalier	59

Figure III-9: Schéma de ferraillage d'escalier.	69
Figure III-10:: La poutre de palière.	70
Figure III-11: Schéma de ferraillage de la poutre palière	78
Figure III-12: Schéma d'une poutrelle	79
Figure III-13: Effort tranchant d'une poutre à de 2 travées	82
Figure III-14: Effort tranchant d'une poutre à plus de 2 travées	82
Figure III-15: Paramètres utilisées dans la méthode de Caquot	83
Figure III-16: Schéma de ferraillage de la dalle de compression.	114
Figure IV-1: Vue en plan et en 3D de la structure en portique	123
Figure IV-2: Vue en plan pour la disposition du voile selon le plan initial	124
Figure IV-3: Premier mode de vibration vue 3D et vue en plan.	125
Figure IV-4: Deuxième mode de vibration. Vue 3D et vue en plan	125
Figure IV-5: Troisième mode de vibration vue 3D et vue en plan	126
Figure V-1: Schéma de cadres.	153
<b>Figure V-2:</b> Schéma de ferraillage des poteaux (30x40)	153
Figure V-3: Schéma de l'espacement zone courante et zone nodale	153
Figure V-4: Schéma de ferraillage des poutres principales.	161
Figure V-5: Schéma de ferraillage des poutres secondaire.	167
Figure V-6: Zone critique à la base du voile	169
Figure V-7: Enveloppe de calcul pour les moments fléchissant	169
Figure V-8: Dimensions du voile V1	172
Figure V-9: Diagramme des contraintes V1	173
Figure V-10: Dimensions du voile V4	176
Figure V-11: schéma de ferraillage de viols sens yy	179
Figure V-12: schéma de ferraillage de viols sens xx	179
Figure VI-1: Schéma de la semelle isolée	183
Figure VI-2: Schéma de la semelle filante sous poteaux	185
Figure VI-3: Coupe de la semelle isolée.	188
Figure VI-4: La distribution des charges ponctuelle sur la poutre « qu »	189
Figure VI-5: Distribution des charges ponctuelle sur la poutre « qs »	189
Figure VI-6: Coupe de la semelle filante	190
Figure VI-7: Diagramme Moment a « ELU »	190
Figure VI-8: Diagramme Moment a « ELS »	191
<b>Figure VI-9:</b> Schéma de ferraillage de semelle filante	194

T .	1	C+
1 1cto	doc	tiouros
Lisic	ues	figures

Figure VI-10: Schéma de ferraillage de La longrine
--

#### Résumé

Dans le cadre de projet de fin d'étude, nous avons présenté une étude détaillée d'un bâtiment à usage d'habitation, est constitué de rez de chaussée plus cinq étages.

La structure est implantée dans la wilaya de **Mila**, classée comme une zone de fort sismicité (**Zone V**) selon le Règlement Parasismique Algérien **2024**.

Le but de l'étude est d'atteindre la stabilité et la durabilité de la structure, passé par plusieurs étapes : commencez par le calcul de pré dimensionnement et descente de charge jusqu' aux les fondations.

Nous utilisons le logiciel de **Robot structural analysis 2014** pour connaître les sollicitations, le reste de calcul a été effectuée manuellement, selon les code algérien le DTR C2.2, BAEL91modifié 99 et le RPA2024.

Mots clés: Bâtiment, Béton, ROBOT 2014, RPA2024, BAEL91.

#### **Abstract**

This project studies a building in (R+5) for residential use; the structure is located in the wilaya of **Mila**, classified as a zone of high seismicity (**zone V**) according to the Algerian Paraseismic Regulation **2024**.

The purpose of the study is to achieve the stability and durability of the structure, passed through several stages: start with the pre-sizing calculation and load descent to the foundations. We use the **Robot structural analysis 2014** software to know the stresses, the rest of the calculation was done manually, according to the regulations DTR C2.2, RNV99, BAEL91 modified 99 and RPA2024.

**Keywords:** Building, Concrete, ROBOT2014, RPA2024, BAEL91.

ملخص

هذا المشروع عبارة عن دراسة تقنية لإنجاز بناية سكنية ذات (طابق أرضي + خمسة طوابق) الموجودة بو لاية ميلة المصنفة ضمن المنطقة الزلزالية منطقة (V) حسب القواعد الجزائرية المقاومة للزلزال ((V)2024).

الغرض من الدراسة هو تحقيق استقرار ومتانة الهيكل، حيث مررنا بعدة مراحل: البدء بحساب التحجيم المسبق ونزول الحمل إلى الأساسات. نستخدم برنامج ROBOT 2014 لتحديد السلوك الديناميكي للهيكل وتم إجراء باقي الحسابات يدويًا، وقعًا للوائح DTRC2.2 و BAEL91 المعدلة 99 و RPA2024.

الكلمات المفتاحية العمارة، الخرسانة ، BAEL91, RPA 2024, ROBOT 2014

# Introduction générale

#### Introduction générale

Génie civil représente l'ensemble des techniques concernant les constructions civiles. les ingénieurs civils s'occupent de la conception, de la réalisation, de l'exploitation et de la réhabilitation d'ouvrages de construction et d'infrastructures urbaines dont ils assurent la gestion afin de répondre aux besoins de la société, tout en assurant les différents facteurs tel que l'économie, l'esthétique, la résistance et surtout la sécurité du public, en respectant les différents codes de calcul et de conception des structures du génie civil, notamment BAEL91 [1], CBA93 [3], RPA2024 [4], DTR [5]. L'ouvrage en question est un bâtiment en R+5, présentant une irrégularité tant en plan qu'en élévation, dont le système de contreventement de structure en portique par des voiles en béton armé. Après une descende des charges et un Prédimensionnement des éléments de notre structure, une étude dynamique et sismique est effectuée pour trouver les caractéristiques intrinsèques du bâtiment et calculer les efforts engendrés par les différentes sollicitations. Dans le cadre de cette étude, on a utilisé le logiciel de calcul par éléments finis ROBOT2014 pour faire le calcul statique et dynamique des éléments structuraux. Les efforts engendrés dans le bâtiment, sont utilisés pour ferrailler les éléments résistants suivant les combinaisons et les dispositions constructives exigées par le CBA93 [3] et le RPA2024[4]. Concernant notre travail nous avons pour objectif de mettre en application les connaissances acquises durant la formation en master, le travail est subdivisés en six chapitres, le premier consiste à donner présentation de l'ouvrage en fixant les hypothèses de calcul. Le second chapitre est réservé pour le pré dimensionnement des éléments structuraux et non structuraux. Ensuite dans le troisième chapitre nous présenterons un détail sur le calcul des éléments secondaire.

Le quatrième chapitre comporte la modélisation et l'étude dynamique du la structure par le logiciel ROBOT2014. Le chapitre cinq nous allons étudier ferraillages des éléments structuraux en exploitant les résultats obtenus par le logiciel ROBOT2014.

Et enfin, le dernier chapitre est consacré pour l'étude de la fondation, suivie d'une conclusion générale.

## **Chapitre I**

Présentation de l'ouvrage et caractéristiques des matériaux

#### I.1. Introduction

La stabilité des structures dépend de la capacité des différents éléments structuraux (tels que les poteaux, poutres et voiles) à résister aux sollicitations, qu'il s'agisse de compression ou de traction, ainsi que de leurs dimensions et caractéristiques. Par conséquent, le calcul et la conception des éléments constitutifs d'une structure s'appuient sur des réglementations et des méthodes reconnues (comme BAEL91/99[1] et RPA 2024 [4]), prenant en compte les propriétés des matériaux utilisés, notamment le béton et l'acier, ainsi que le dimensionnement et l'armature des éléments porteurs.

#### I.2. Présentation de l'ouvrage

Cette étude consiste à optimiser la disposition des voiles de contreventement dans un bâtiment (R+5) à usage d'habitation, ayant une forme rectangulaire, Le bâtiment sera implanté à **MILA** (**Zone V**) qui est de forte sismicité et de **groupe d'usage 2**, il fait partie d'un projet de 255 logements sociaux locatifs, en tenant compte des exigences imposées par le RPA 2024[4]et l'impact économique.



Figure I-1: Coupe de façade principale.



Figure I-2: Façade Postérieure

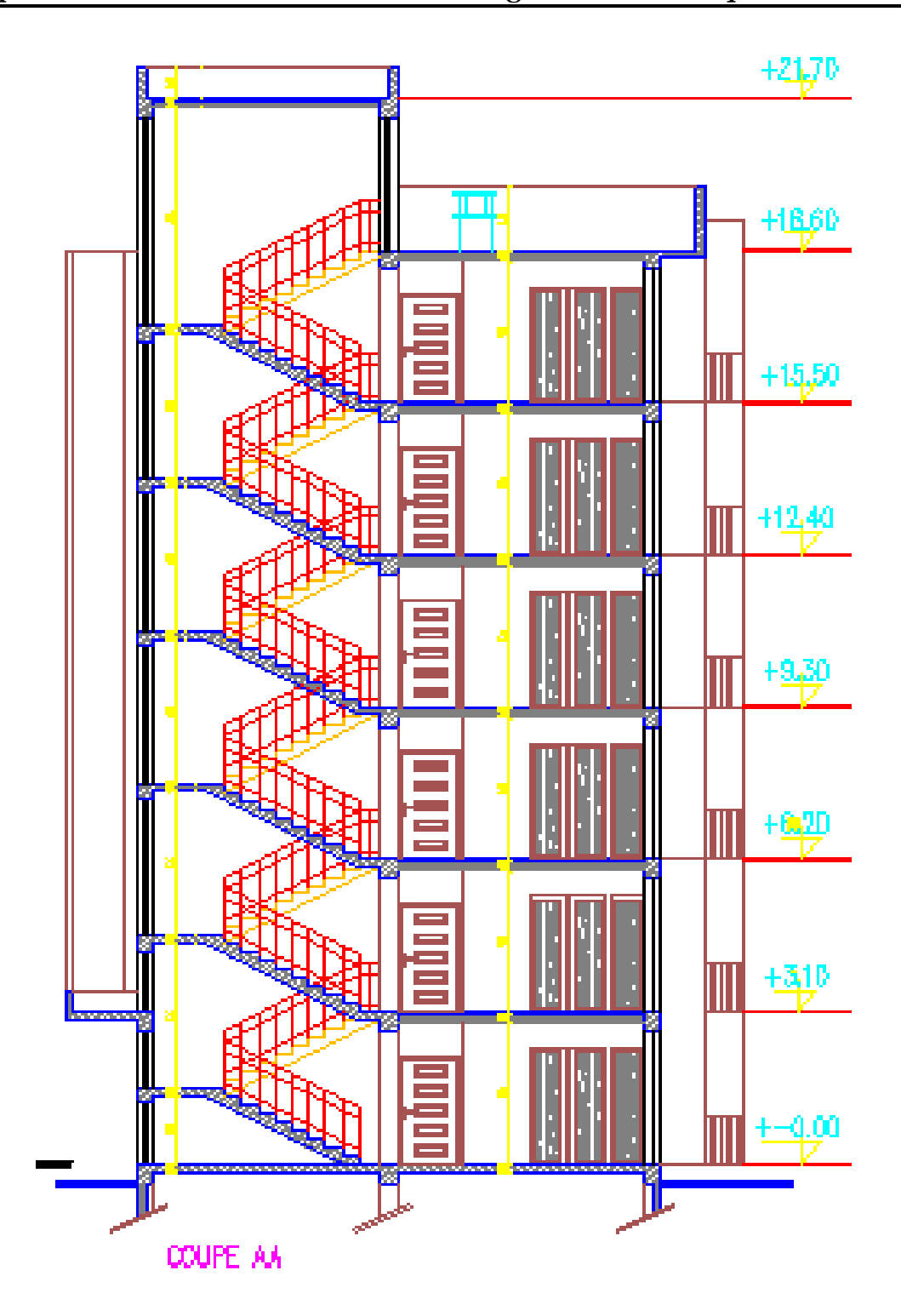
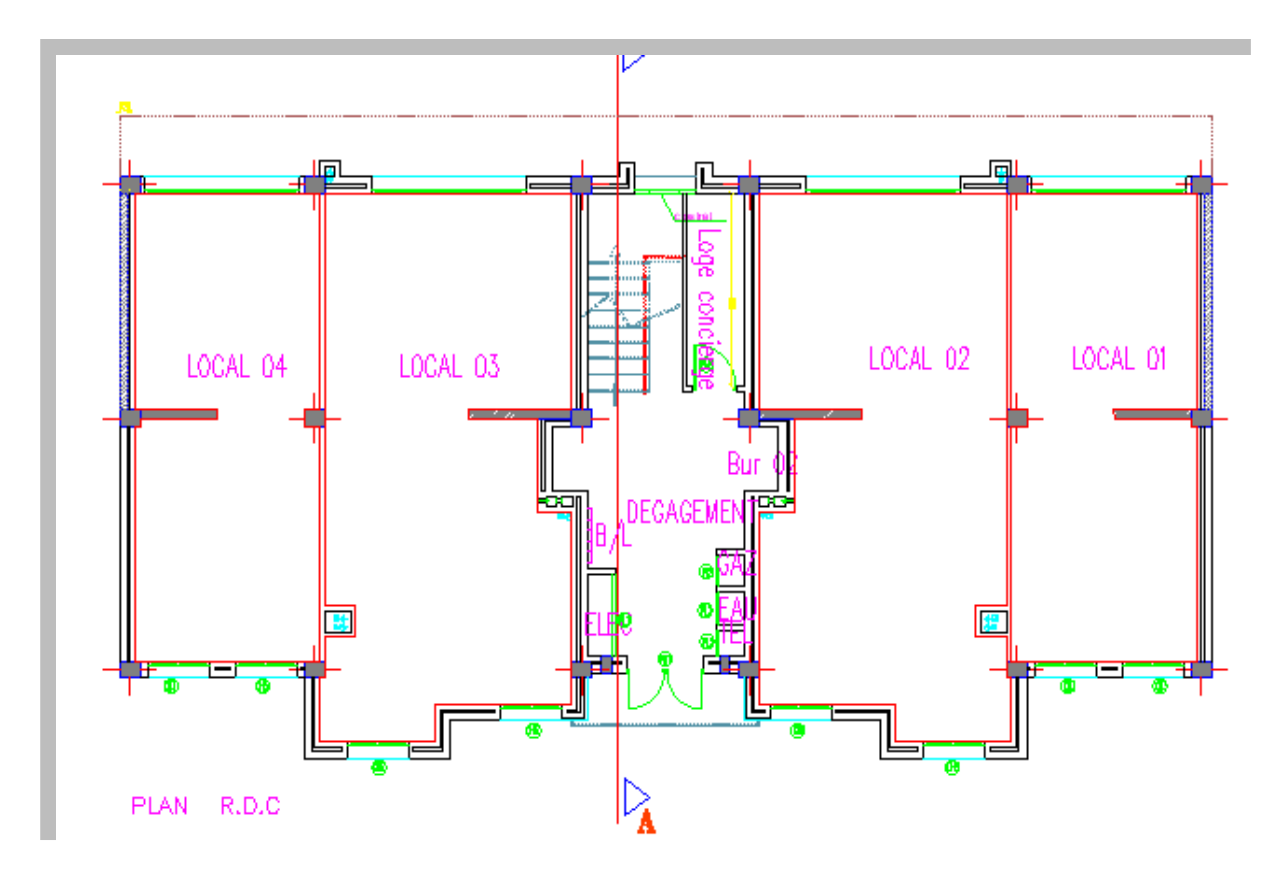


Figure I-3: Coupe vertical du bâtiment



**Figure I-4:** Vue en Plan de RDC

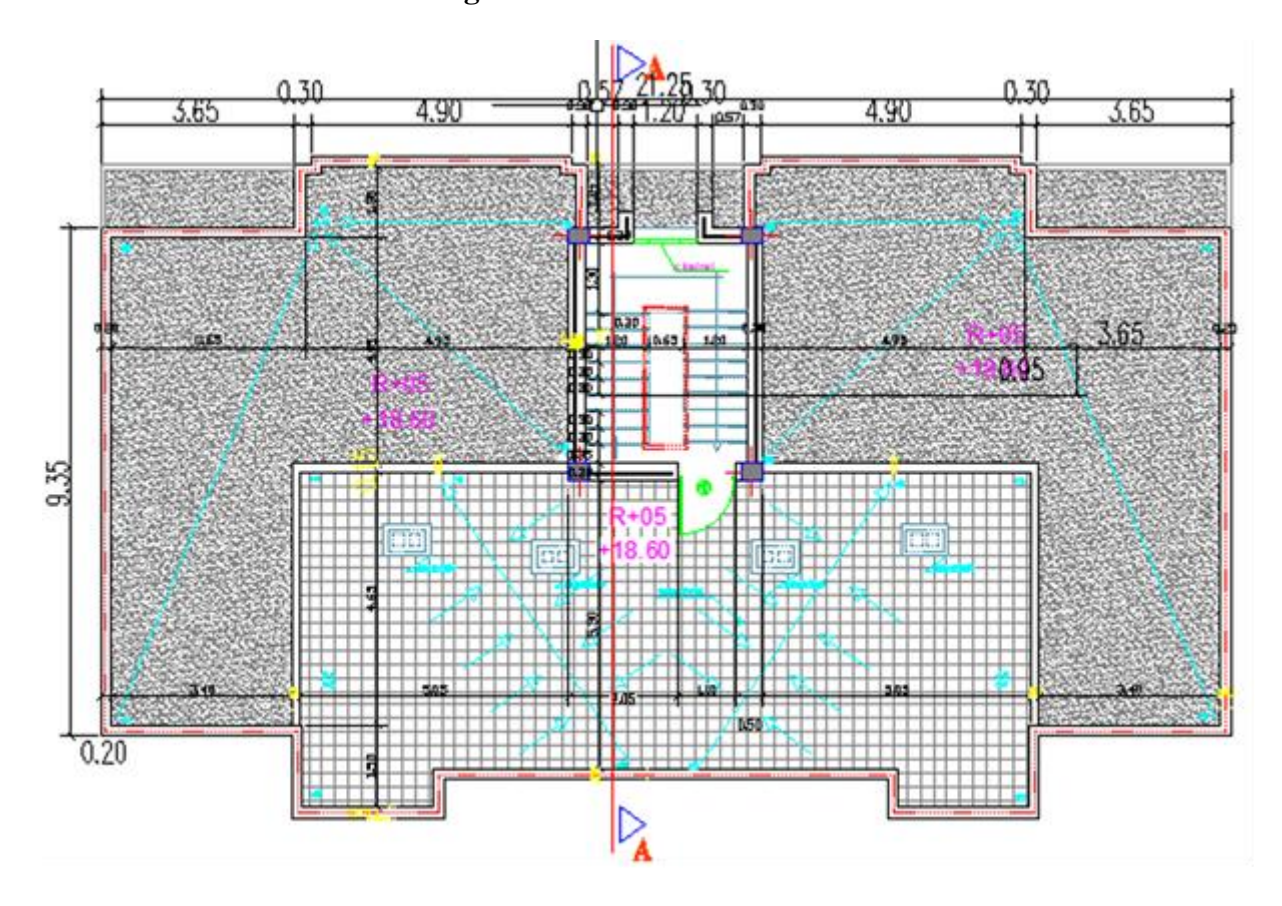


Figure I-5: plan terrasse

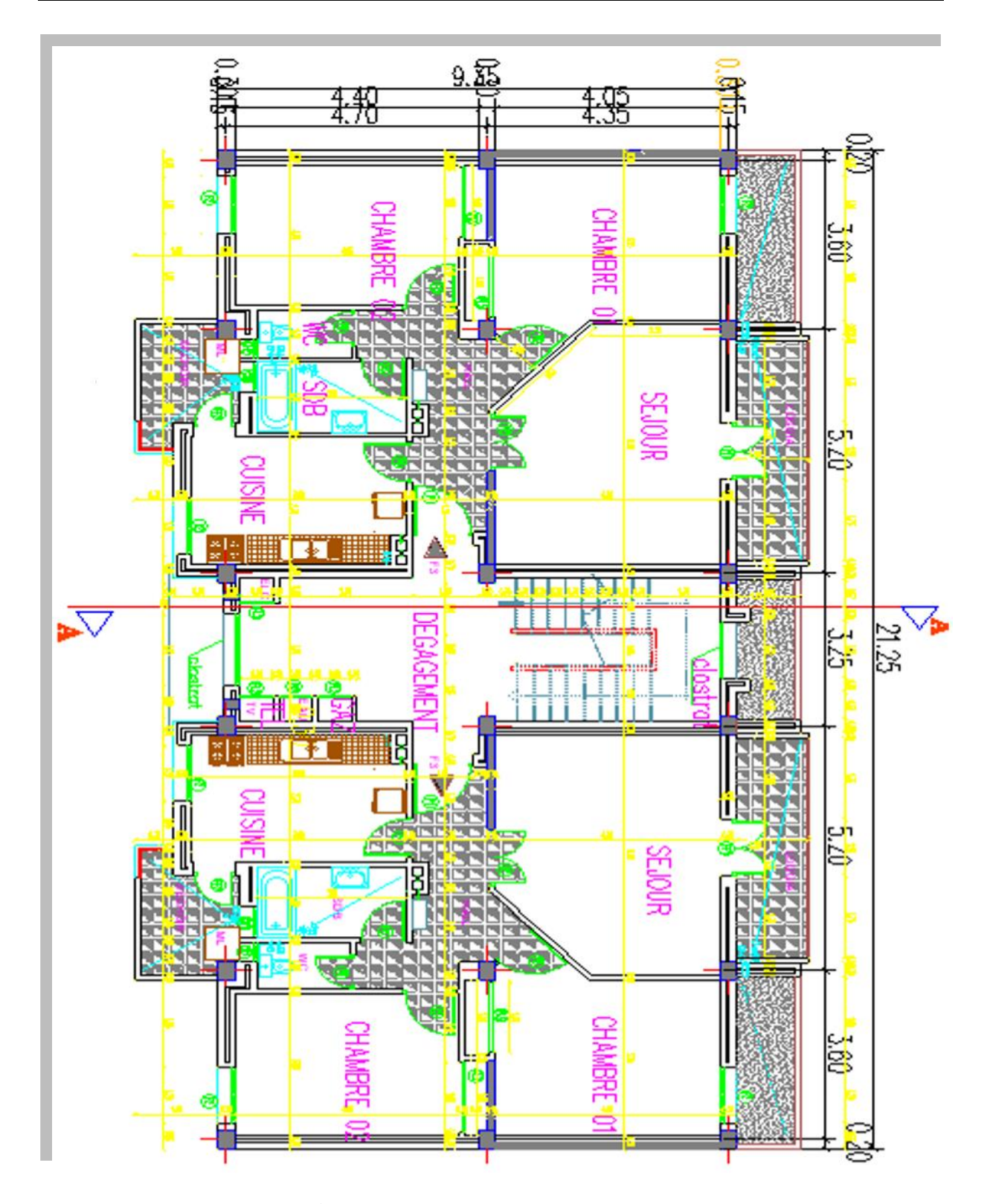


Figure I-6: Vue en Plan étages courant

### I.2.1. Caractéristiques géométriques du bâtiment

Suivant la vue en plan, les dimensions de la structure sont répertoriées comme suit :

• Largeur totale de bâtiment..... B=9.35 m.

#### Chapitre I Présentation de l'ouvrage et caractéristiques des matériaux

- Longueur totale de bâtiment ...... L=21.25 m.
- Hauteur de RDC......  $h_{RDC} = 3.10 \text{ m}$ .
- Hauteur d'étage courant......  $h_e = 3.10 \text{ m}$ .

#### I.2.2. Caractéristiques géométriques du sol

- \* Le bâtiment est implanté à Mila classée par le (RPA 2024) comme zone de faible sismicité (Zone V).
- \* L'ouvrage appartient au groupe d'usage (Groupe 2).
- \* Le site est considéré comme ferme (S3).
- \* La contrainte admissible du sol = **1.8 bars.**

#### I.3. Description de l'ossature

#### **I.3.1.** Conception structurales

La structure du bâtiment est dotée d'un système de contreventement mixte associant portiques et voiles. Ce choix s'inscrit dans le cadre de l'application du RPA 2024et garantit la stabilité de l'ensemble face aux actions verticales et horizontales.

#### I.3.2. Planchers

Dans notre projet, nous avons utilisé deux types de plancher :

- Plancher corps creux pour le RDC et les étages courant.
- Dalle pleine pour les balcons.

#### I.3.2.1. Planchers corps creux

Ce type de plancher est constitué de poutrelles préfabriquées en béton armé ou bétonné sur place espacées de 60 cm de corps creux (hourdis) et d'une table de compression en béton armé d'une épaisseur de 5 cm.

Ce type de planchers est généralement utilisé pour les raisons suivantes :

- ✓ Facilité de réalisation;
- ✓ Lorsque les portées de l'ouvrage ne sont pas importantes;
- ✓ Diminution du poids de la structure et par conséquent la résultante de la force sismique;

✓ Une économie du coût de coffrage (coffrage perdu constitué par le corps creux).

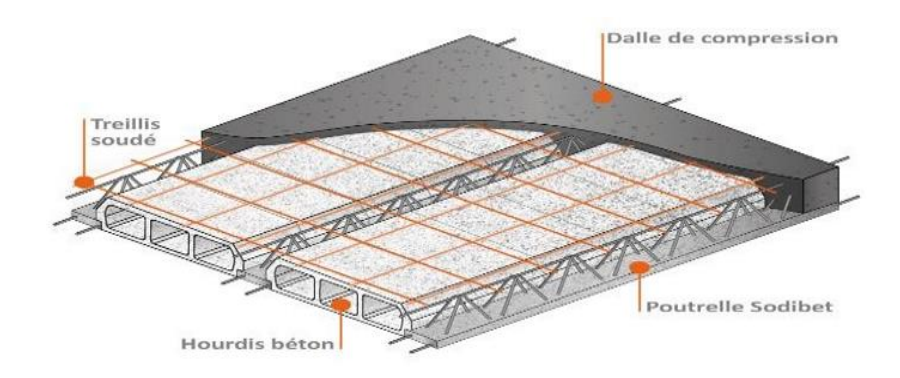


Figure I-7: Plancher en corps creux

#### I.3.2.2. Planchers dalle pleine

Pour certaines zones, ils ont opté pour des dalles pleines à cause de leurs formes irrégulières et ceci dans le but de minimiser le temps et le coût nécessaire pour la réalisation des poutrelles spéciales à ces zones.

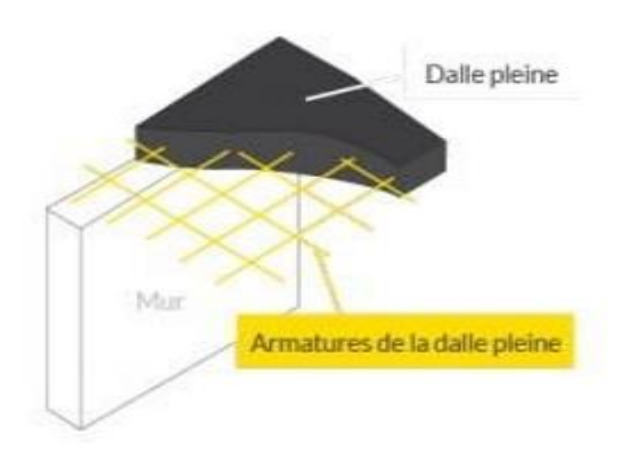


Figure I-8: Dalle pleine

#### I.3.3. Poutres

Ce sont des éléments horizontaux sollicités en flexion plane destinés à reprendre et à transmettre les sollicitations aux poteaux. On distingue deux types :

- Les poutres transversales (principales).
- Les poutres longitudinales (secondaires).

#### I.3.4. Poteaux

Les poteaux sont des éléments porteurs verticaux en béton armé, leur rôle est de reprendre les efforts dus aux surcharge et charges ramenée par les poutres, et les transmettre ensuite aux fondations.

#### I.3.5. Escalier

Sont des éléments non structuraux permettant le passage d'un niveau à un autre avec deux volées et paliers inter étage.

#### I.3.6. Revêtement

Le revêtement du bâtiment est constitué par :

- Un carrelage de 2 cm pour les chambres, les couloirs et les escaliers.
- De l'enduit de plâtre pour les murs intérieurs et plafonds.
- Du mortier de ciment pour crépissages des façades extérieurs.

#### I.3.7. Voiles

Ce sont des éléments verticaux (épaisseur petite par rapport aux autres dimensions) réalisés en béton armé, le choix du nombre, dimensions et de l'emplacement sera étudié ultérieurement.

#### I.3.8. Maçonnerie

On distingue:

- Mur extérieur (double paroi).
- Mur intérieur (simple paroi).

#### Murs extérieurs

Le remplissage des façades est en maçonnerie elles sont composées d'une double cloison en briques creuses à 8 trous de 10 cm d'épaisseur avec une lame d'air de 5cm d'épaisseur.

#### Murs intérieurs

Cloison de séparation de 10 cm.

#### I.3.9. Infrastructure

Il assure les fonctions suivantes :

- Transmettre les charges verticales et horizontales au sol
- Limiter les tassements différentiels
- L'encastrement de la structure dans le sol

#### I.3.10. Acrotère

C'est un élément encastré dans le plancher terrasse réalisé en béton arme de 60 cm d'auteur et de 15 cm d'épaisseur qui va servir comme garde-corps.

#### I.3.11. Terrasse

La terrasse est inaccessible, et l'étanchéité du plancher terrasse est assuré par une forme de pente et système en multicouches.

#### I.3.12. Isolation

L'isolation acoustique est assurée inter étages par le vide de corps creux et la masse du plancher. Par contre, au niveau de murs extérieurs, l'isolation est assurée par le vide d'air entre les deux parois qui compose ce dernier, et par la minimisation des ponts thermique en cours de réalisation.

#### I.4. Les Matériaux utilisé

#### I.4.1. Le Béton

C'est un matériau de construction reconstituant artificiellement la roche, composé de granulats, de sable, de ciment, d'eau et éventuellement d'adjuvants pour en modifier les propriétés. C'est le matériau de construction le plus utilisé au Monde, que ce soit en bâtiment ou en travaux publics.

Il présente une très bonne résistance à la compression. Par contre il a une mauvaise résistance à la traction.

#### I.4.1.1. Composition du béton

350 kg/m<sup>3</sup> de ciment de classe CEM II 42.5

400 litres de sable  $D \le 5$ 

800 litres de gravillons  $Dg \le 25 \text{ mm}$ 

175 litres d'eau de gâchage.

#### I.4.1.2. Résistance caractéristique à la compression (C.B.A 93, A2.1.1.1)

Le béton est caractérisé par sa résistance à la compression à l'âge de 28 jours dite : valeur caractéristique requise, notée fc28. Cette résistance est mesurée sur éprouvette cylindrique ayant un diamètre de 16cm et une hauteur de 32cm écrasée en compression centrée.

Lorsque j ≤ 28 jours, la résistance du béton non traitée thermiquement suit approximativement les lois suivantes.

- Bétons de résistance courante :  $f_{cj} = \frac{j}{4.76 + 0.83j} f c_{28}$  fc<sub>28</sub> pour f<sub>c28</sub>  $\leq$  40 MPa
- Bétons de haute résistance :  $f_{cj} = \frac{j}{1.4 + 0.95j}$   $f_{c28}$  pour  $f_{c28} \ge 40$  MPa

- Lorsque l'âge dépasse 28 jours, on peut admettre une valeur au plus égale à 1.1×fc<sub>28</sub> à condition que le béton ne soit pas traité thermiquement et que sa résistance fc<sub>28</sub> atteigne au plus 40 MPA
- Lorsque :  $j \ge 60$  On utilise la relation :  $f_{cj} = 1$ .  $1 \times f_{c28}$  (MPa)

#### I.4.1.3. Résistance caractéristique du béton à la traction (C.B.A 93, A2.1.1.2)

La résistance du béton à la traction à l'âge de jours  $f_{tj}$  est définie conventionnellement par la formule suivante :

 $Pour \; f_{cj} \leq 60 MPa$ 

Traction :  $f_{tj} = 0.6 + 0.06f_{cj}$  (MPa).

Pour notre étude on adopte  $f_{c28} = 25$  MPa et  $f_{t28} = 2.1$  MPa

Module instantané :  $E_{ij} = 11000 (f_{cj})^{1/3} = 32164.195 \text{ MPa}$ 

ightharpoonup Module différé :  $E_{vj} = 3700 (f_{cj})^{1/3} = 10818.9 \text{ MPa}$ 

#### I.4.1.4. Contrainte de calcul de béton comprimé

a) Etat limite ultime de résistance « E.L.U.R » (C.B.A93, A.4.3)

 $\sigma_{bc}$ : La déformation du béton à la compression.

Si: 
$$0 \le \varepsilon_{bc} \le 2 \%_0 ===> \sigma_{bc} = \frac{0.85.fc28}{\theta.\gamma b[1-(2-\frac{\varepsilon_{bc}\,2}{2})]}$$

La courbe est sous forme d'une parabole

Si: 2 ‰ 
$$\leq \varepsilon_{bc} \leq$$
 5 ‰ ===>  $\sigma_{bc} = \frac{0.85.fc28}{\theta.\gamma b}$ 

La courbe est sous forme d'un rectangle

 $\gamma_b$ : Coefficient de sécurité pour le béton tel que :

 $\gamma_b = 1.5 \rightarrow \text{situation courante (durable)}.$ 

 $\gamma_b = 1.15 \rightarrow \text{situation accidentelle.}$ 

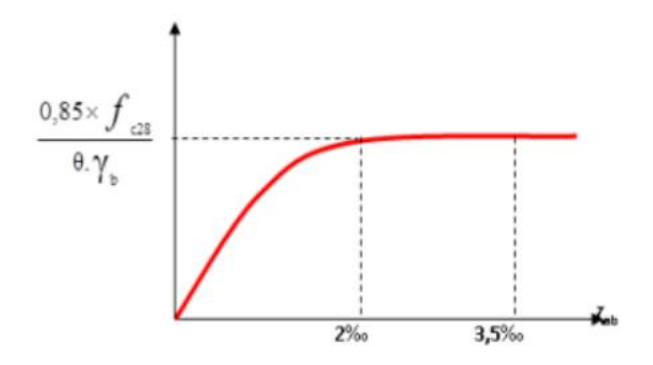


Figure I-9: Diagramme Contrainte déformations du béton

#### I.4.2. Acier

L'acier est un alliage du fer et du carbone en faible pourcentage, leur rôle est de résister les efforts de traction, de cisaillement et de torsion. On distingue deux catégories d'aciers :

- Aciers de haute adhérence et haute limite élastique (HA)
- Les treillis soudés (TR)

#### I.4.2.1. Type d'acier utilisé

- Barres lisses FeE 235
- Barres à haute adhérence FeE400
- Treillis soudé de diamètre 6 à haute adhérence FeE520

#### I.4.2.2. Contrainte limite

Les caractéristiques mécaniques des aciers d'armature sont dégagées de façon empirique à des essais de traction, en déterminant la relation entre  $\sigma$  et la déformation relative.

#### a- Etat Limite Ultime « E.L.U » (C.B.A 93 A.4.3.2)

Fe : Limite d'élasticité de l'acier : Fe = 400 MPa.

 $\gamma_s$ : Coefficient de sécurité :

$$\gamma_s = 1,15$$
. Situations durables  $\Box$   $\sigma_s = \frac{F_e}{\gamma_s} = \frac{400}{1.15} = 348 MPa$ 

$$\gamma_s = 1$$
 en situation accidentelle  $\sigma_s = \frac{F_e}{\gamma_s} = \frac{400}{1} = 400 \ MPa$ 

Es : Module d'élasticité de l'acier

Es = $2 \times 105$  MPa. (C.B.A 93, A2.2.2)

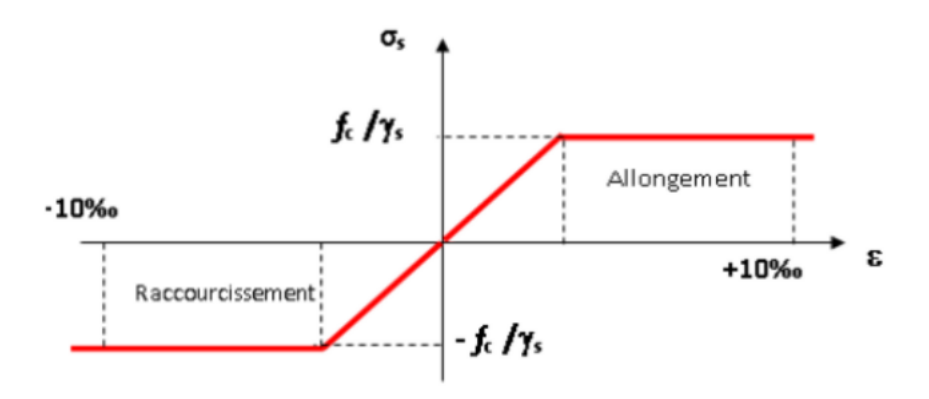


Figure I-10: Diagramme contraintes déformations de l'acier (C.B.A93 A.2.2.2)

 $\mathcal{E}_s$ : Allongement relatif de l'acier, limité à 10 ‰.

Le digramme de calcul des aciers : en effectue une affinité parallèlement à l'origine dans le rapport  $\frac{fe}{\gamma_s}$ 

#### b- Etat limite de service (ELS): (BAEL et Erocode2):

On ne limite pas la contrainte de l'acier sauf en état limite d'ouverture des fissures :

#### > Fissuration peu préjudiciable

Aucune vérification à faire en dehors des calculs à l'ELU.

Fissuration préjudiciab  $\rightarrow$   $\overline{\sigma_{st}} = \min(2/3f_e; 110 \sqrt{\eta \cdot f_{tj}})$ 

## Fissuration très préjudiciable $\rightarrow$ $\overline{\sigma_{st}} = \min(0.5f_e; 90 \sqrt{\eta.f_{ij}})$

Avec :  $\eta$  : Coefficient de fissuration.

$$\begin{cases} \eta = 1 \text{ pour les ronds lisses (RL).} \\ \eta = 1.6 \text{ pour les armatures à hautes adhérence (HA)} \end{cases}$$

#### I.5. Actions et sollicitations

#### I.5.1. Actions

Les actions sont des forces et couples de forces dues aux charges appliquées (Permanentes climatiques, d'exploitations) et aux déformations imposées (Variations de température, tassements d'appuis). On notera :

G : Charges permanentes (poids propre de la structure + les équipements fixes).

Q: Charges variables (charges d'exploitations + charges climatiques).

E: Charges sismiques.

#### I.5.2. Sollicitations

Les sollicitations sont des efforts (efforts normaux, efforts tranchants) et des moments (Moments de flexion, moments de torsion) calculés à partir des actions.

Les sollicitations de calcul d'après BAEL et L'EUROCODE

> A l'état limite ultime ELU

$$Nu = 1.35G + 1.5Q$$

➤ A l'état Limite de Service ELS

$$N_S = G + Q$$

- > Les sollicitations sismiques :
- a) Composantes horizontales de l'action sismique [4].

Les combinaisons sismiques données par le RPA 2024 sont :

Les composantes de l'action sismique, Ex et Ey, agissant suivant les deux directions horizontales, sont supposées indépendantes mais représentées par le même spectre de réponse. Les actions sismiques de dimensionnement des structures, sont combinées aux actions permanentes et aux actions variables par le biais des Eqns.(5.1) & (5.2):

$$G+\psi.Q+E1$$

$$G+\psi.Q+E2$$

où:

G : charges permanentes

Q : charges d'exploitation, non pondérées

ψ: Coefficient d'accompagnement, fonction de la nature et de la durée de la charge d'exploitation et donné par le Tableau (4.2).

et:

$$E1 = \pm Ex \pm 0.3Ey$$

$$E2 = \pm 0.3Ex \pm Ey$$

a) Composante verticale de l'action sismique [4].

### Chapitre I Présentation de l'ouvrage et caractéristiques des matériaux

Dans le cas de la composante verticale, les combinaisons d'actions suivantes doivent être utilisées Eqns.(5.3) & (5.4):

 $G+\psi.Q+E3$ 

 $G+\psi.Q+E4$ 

 $G+\psi.Q+E5$ 

où: E3, E4 et E5 représentent la combinaison des composantes, horizontales (Ex, Ey) et la composante verticale (Ez), définies par :

 $E3 = \pm EX \pm 0.3EY \pm 0.3EZ$ 

 $E4 = \pm 0.3Ex \pm Ey \pm 0.3Ez$ 

 $E5 = \pm 0.3Ex \pm 0.3Ey \pm Ez$ 

#### b) Justification vis-à-vis de la résistance des planchers [4].

La capacité des planchers doit permettre de transmettre, aux éléments verticaux de contreventement, les effets des forces sismiques de calcul (cf. § 6.1.2).

 $G+\psi.Q\pm1.3Ex$ 

 $G+\psi.Q\pm1.3Ev$ 

#### c) Justification de la stabilité des fondations [4].

Pour les justifications de la stabilité des fondations, il y a lieu de se référer aux prescriptions et /ou exigences du Chapitre X et aux combinaisons de charges, cf. Eqns.(5.7) & (5.8):

• Pour les fondations d'éléments verticaux individuels (voiles ou poteaux), la combinaison de charges suivante est utilisée :

 $G+\psi.Q\pm R/QF.Ex$ 

 $G+\psi.Q\pm R/QF.Ev$ 

• Pour les fondations communes à plusieurs éléments verticaux (longrines de fondation, semelles filantes, radiers, etc), la combinaison de charges suivante est utilisée :

 $G+\psi.Q\pm1.4Ex$ 

 $G+\psi.Q\pm1.4Ey$ 

# **I.6.** Conception structurelle:

Règles et normes de calcul:

Pour le calcul et la vérification on utilise :

- Les règles parasismiques algériennes (RPA 2024).
- Les règles BAEL 91 R 99.
- > Charges permanentes et charges d'exploitation (DTR).
- ➤ Règles CBA93.

# I.7. Conclusion

La stabilité de la structure dépend principalement de la performance de chacun de ses éléments. Il est donc essentiel d'étudier chaque composant avec précision tout en garantissant sa stabilité, car cela contribuera directement à la stabilité de l'ensemble de la structure. Ainsi, en guise de première étape, il est nécessaire d'effectuer un pré-dimensionnement des éléments structuraux et secondaires, sujet du prochain chapitre.

# Chapitre II Pré-dimensionnement des éléments de structures et évaluation des charges

# II.1. Introduction

Le but du pré dimensionnement est de définir les dimensions des différents éléments de la structure. Ces dimensions sont choisies selon les préconisations du RPA 2024[4] et du CBA93[3]. En se basant sur le principe de la descente des charges et surcharges verticales qui agissent directement sur la stabilité et la résistance de l'ouvrage, et des formules empiriques utilisées par les règlements en vigueur. A savoir, les résultats obtenus ne sont pas définitifs, ils peuvent être augmentés après vérifications dans la phase du dimensionnement.

# II.2. Pré dimensionnements des éléments non structuraux

# II.2.1. Planchers

Les planchers sont des éléments structurels minces par rapport à leurs autres dimensions et reposent sur deux, trois ou quatre appuis. Ils définissent les niveaux ou étages d'un bâtiment et transmettent les charges permanentes ainsi que les surcharges d'exploitation aux éléments porteurs tels que les murs, voiles, poteaux et poutres. En plus de leur rôle structurel, ils contribuent à la répartition des efforts horizontaux. L'épaisseur des dalles est généralement déterminée par les conditions d'utilisation plutôt que par des vérifications de résistance.

# II.2.1.1. Planchers à corps creux

Dans ce projet les planchers sont en corps creux dont l'épaisseur totale doit satisfaire la condition de la flèche suivante : C.B.A.93 [B.6.8.2.4].

$$h_t \ge \frac{L}{22,5}$$

Avec:

h<sub>t</sub>: Hauteur totale du plancher (Epaisseur).

L: La portée maximale entre nus d'appuis dans le sens de la disposition des poutrelles.

$$L_{max} = \min(Lx_{max}; Ly_{max}) L_{max} = \min(5.20; 4.40)$$

 $L_{max} = 4.4 \text{ m}$ 

$$\frac{ht}{Lmax} \ge \frac{1}{22.5} \rightarrow h_t \ge \frac{Lmax}{22.5}$$

$$ht \ge \frac{440}{22.5}$$

ht = 19.55 cm

Donc en adopte  $h_t = 20$ cm.

Dalle de compression =4 cm.

Corps creux = 16 cm.

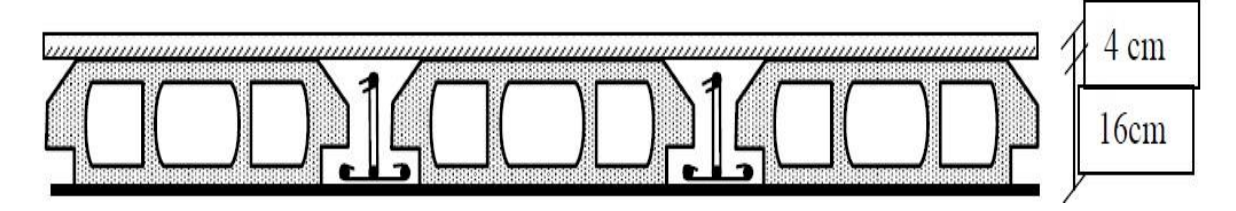


Figure II-1: Plancher à corps creux

# a) Poutrelles

# Dimensionnement des poutrelles :

$$b_1 = \min \begin{cases} \frac{L0}{2} = \frac{55}{2} = 27.5 \ cm \\ \frac{L}{10} = \frac{440}{10} = 44 \ cm \end{cases}$$

L<sub>0</sub> : La distance entre nus de deux nervures.

L : La largeur de la nervure. Donc :  $b_1 = 27,5$  cm

La largeur de la table de compression est définie par :

$$0.4 \times ht \le b0 \le 0.8 \times ht$$

$$0.4\times20\leq b0\leq0.8\times20$$

$$8 \le b0 \le 16$$

On adopte:  $b_0 = 10 \text{ cm}$ 

$$b = 2 \ b_1 + b_0 \qquad \quad b = 2 \times 27.5 + 10 = 65 \ \text{cm} \qquad \quad Donc: b = 65 \ \text{cm}$$

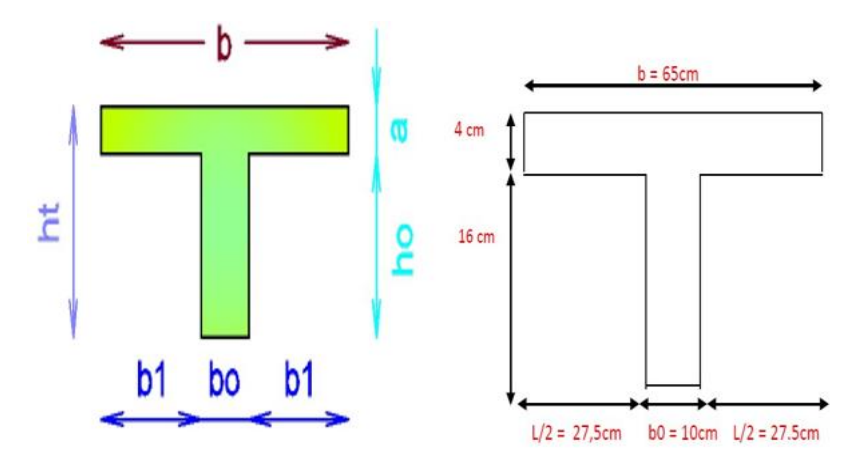


Figure II-2: Dimensions d'une poutrelle.

# > La disposition des poutrelles

La disposition des poutrelles se fait selon deux critères :

- Le critère de la petite portée.
- Le critère de continuité (le sens où il y a plus d'appuis).

Pour notre projet la disposition des poutrelles est effectuée selon les deux critères et cela pour tous les planchers comme indiqué sur la figure 3.

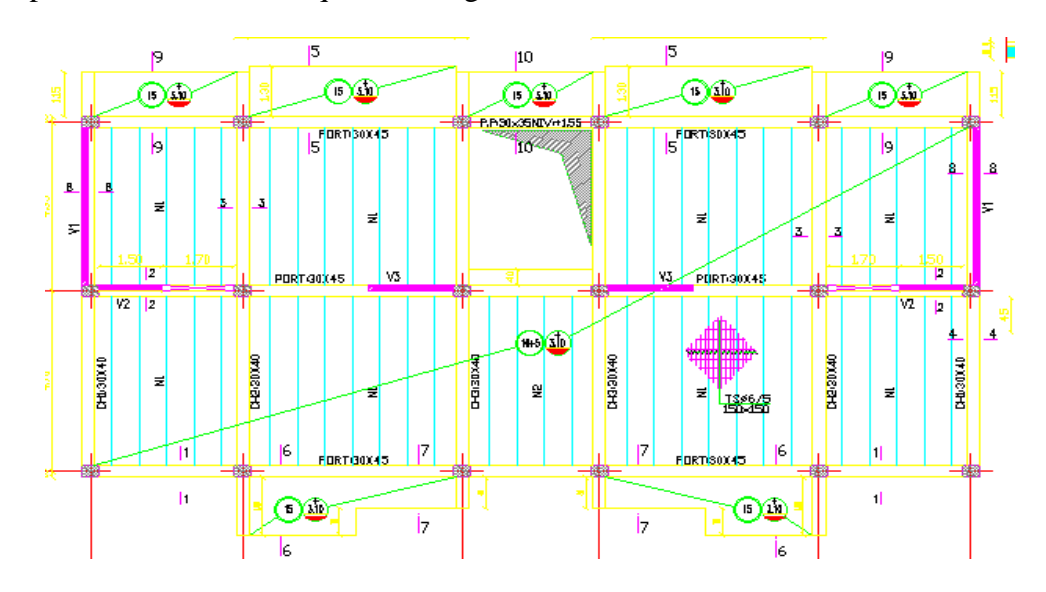


Figure II-3: Disposition des poutrelles.

# \* Acrotère

L'acrotère est un élément situé sur le pourtour du plancher terrasse, fabriqué en béton armé. Il a pour fonction de protéger contre les infiltrations d'eau pluviale. Il est considéré comme une console encastrée dans le plancher, supportant son propre poids ainsi qu'une force horizontale.

# **Charge Permanente:**

La surface:

$$S = (0.6 \times 0.1) + (0.06 \times 0.1) + [(0.1 \times 0.04)/2] = 0.068 \text{ m}^2$$

Poids propre de l'acrotère :

$$G=0.068\times 25=1.7\ KN/m$$

 $G_{l'acrot\`{e}re} = 170 \ Kg/ml$ 

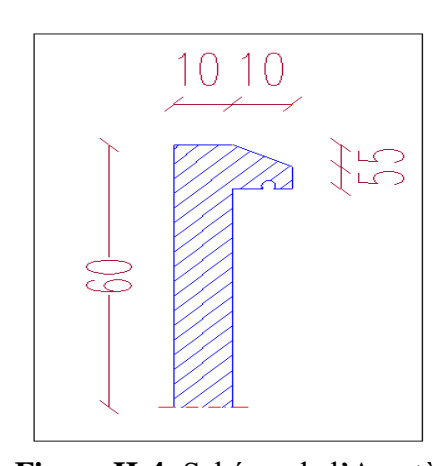


Figure II-4: Schéma de l'Acrotère

# **Surcharge:**

Q=1 KN/m

# **Les dalles pleines (les balcons) :**

L'épaisseur des dalles est déterminée à partir des conditions ci-après :

#### a. Résistance au feu

- e = 7 cm : pour une heure de coupe-feu.
- e = 11 cm : pour deux heures de coupe-feu.
- e = 17.5 cm: pour quatre heures de coupe-feu.

On admet que : e = 15 cm.

# b. Résistance à la flexion

Les conditions qui doivent vérifier selon le nombre des appuis sont les suivantes :

• Pour une dalle sur un seul appui :

$$e \ge \frac{LX}{20}$$

• Dalle reposant sur deux appuis :

$$\frac{Lx}{35} \le e \le \frac{Lx}{30}$$

• Dalle reposant sur trois ou quatre appuis :

$$\frac{Lx}{50} \le e \le \frac{Lx}{40}$$

Dans notre projet nous avons dalle reposant sur trois appuis donc : Lx = 1.5m

$$3 \le e \le 3.75$$

Avec des considération pratique (expérience) on a vu que l'épaisseur ainsi obtenue n'est pas plus pratique alors on doit majorer à e=15cm

# **Section** Escaliers

Les escaliers sont des éléments composés d'une succession de marches permettant le passage d'un niveau à un autre, ils sont en béton armé, en acier ou en bois.

Les différents éléments constituant un escalier sont :

- Marche : la partie horizontale de la marche.
- Contre marche : la hauteur verticale de la marche (h).
- Giron (g): la largeur de la marche.
- L'emmarchement : la langueur de la marche (1).
- La volée : ensemble des marches d'un escalier.
- Paillasse : c'est la dalle inclinée supportant les marches.
- Pallier : la dalle horizontale à la fin ou au début de la paillasse.
- Pente de l'escalier ( $\alpha$ ) : C'est l'inclinaison de paillasse par rapport à l'horizontale, pour les escaliers confortables ;  $\alpha$ = [200 à 400].
- La cage : est le volume où se situe l'escalier.
- Ligne de jour : l'espace qui est laissé au milieu par la projection horizontale d'un escalier.

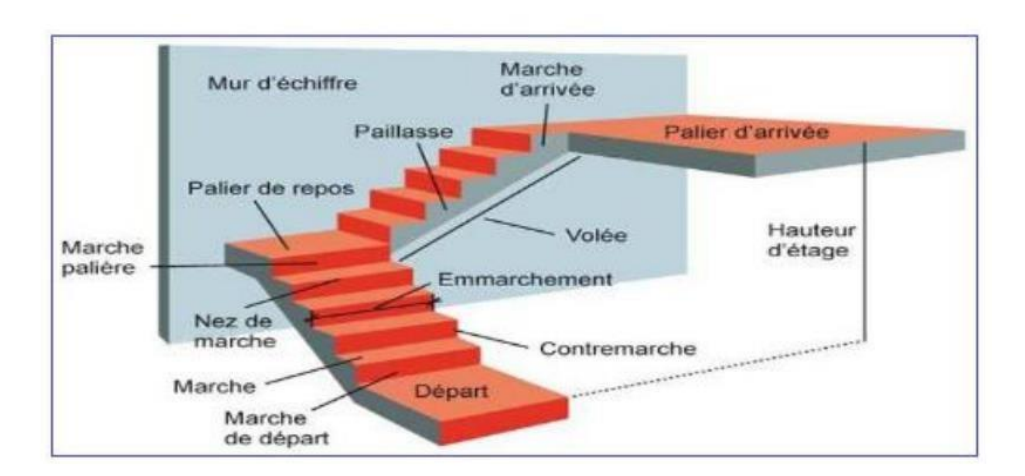


Figure II-5: Coupe en élévation d'escalier.

Pour le dimensionnement des marches (g) et les contre marche (h) on utilise la formule de

**BLONDEL**: 
$$59 < 2h+g < 66....(1)$$

Avec:

$$\begin{cases} h = \frac{H}{n} \\ g = \frac{L}{n-1} \end{cases}$$

H: hauteur de la volée.

L : La projection de la longueur de volée.

$$\frac{L_0}{(n-1)} + \frac{2H_0}{n} = m$$

$$m n^2 - (m + L_0 + 2H_0) n + 2H_0 = 0$$

Avec 
$$H_{RDC} = 3.10m \square H_0 = \frac{3.10}{2} = 150 \text{ cm}$$

$$L_0 = 240 \text{ cm et m} = 64 \text{ cm}$$

Donc on a 
$$64 n^2 - 695n + 310 = 0$$

La solution de l'équation est : n=10

# Contre marches n-1 = 9 marches

$$h = \frac{H}{R} = \frac{155}{10} = 16cm$$
 et  $g = \frac{L}{R-1} = \frac{240}{9} = 27 \text{ cm}$ 

Ce qui donne d'après la formule (1) un giron g = 27 cm, donc la formule de BLONDEL est vérifiée.

- Epaisseur de la volée (l'épaisseur de la paillasse)
- Elle est déterminée « e » respectant la condition de la flèche

$$\frac{L}{30} < e < \frac{L}{20}$$

Avec 
$$L = \frac{1.55}{\sin \alpha}$$

$$\alpha = \tan^{-1}\frac{H_0}{L_0} = \tan^{-1}\frac{1.55}{2.4} = 32.85^{\circ}$$

# Donc **L=2.87m**

$$\Rightarrow \frac{2.87}{30} \le e \le \frac{2.87}{20} \Rightarrow 0.096 \le e \le 0.14$$

On prend : e = 14 cm

# Résistance au feu :

- e = 7 cm pour une heure de coup de feu.
- e = 11 cm pour deux heures de coup de feu.

• e = 17,5 cm pour quatre heures de coup de feu

# II.3. Pré-dimensionnement des éléments structuraux

#### II.3.1. Poutres

Ce sont des éléments porteurs en béton armé à ligne moyenne rectiligne, dont la portée est prise entre nus d'appuis.

# a. Poutres principales

Selon le règlement B.A.E.L 91 mod 99 les poutres seront pré dimensionné par la condition de la flèche et elles sont vérifiées par le RPA 2024.

$$\frac{L_{\max}}{15} \le h_t \le \frac{L_{\max}}{10}$$

$$0.4h_t \le b \le 0.7h_t$$

ht: hauteur de la poutre.

 $L_{max}$ : distance maximale entre **nus** d'appuis (L = Lmax = 5.20 m).

D'où:

$$\frac{520}{15} \le \text{ht} \le \frac{520}{10} \to 34.66 \le \text{ht} \le 52$$
 On adopte h = 40 cm
$$18 \le b \le 31.5 \to \text{On adopte b= 30 cm}$$

Vérification des conditions du RPA:

On doit vérifier les dimensions adoptées aux exigences du RPA 2024 qui sont les suivantes :

Donc on adopte une poutre principale de section (30\*40)  $cm^2$ .

Vérification selon RPA 2024:

Les conditions du RPA sont vérifiées donc la poutre principale à une section de (30\*40) cm<sup>2</sup>.

# b. Poutres secondaires

$$h \ge 30cm$$

$$\frac{L_{\max}}{15} \le h_t \le \frac{L_{\max}}{10}$$

$$0.4h_t \le b \le 0.7h_t$$

Avec : ht : hauteur de la poutre.

 $L_{max}$ : distance maximale entre nus d'appuis (L = Lmax = 4.40m)

D'où:

$$\frac{440}{15} \le \text{ht} \le \frac{440}{10}$$

$$29.33 \le h_t \le 44$$

On adopte h = 35cm

$$16 \le b \le 28$$

On adopte b = 30 cm

# **Vérification:**

On doit vérifier les dimensions adoptées aux exigences du RPA 2024) qui sont les suivantes :

Donc on adopte une poutre principale de section  $(30*35)cm^2$ .

Vérification selon RPA 2024:

 $b \ge 25cm$  ;  $b = 30 \text{ cm} > 20 \text{ cm} \dots \text{CV}$ 

 $h \ge 30 cm$  ; h = 35 cm > 30 cm ......CV

Les conditions du RPA sont vérifiées donc la poutre secondaire à une section de (30\*35)cm².

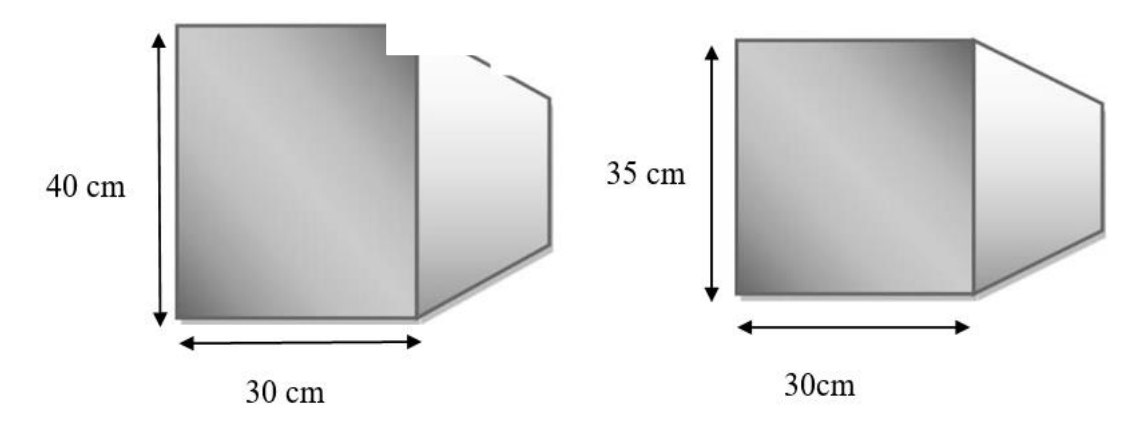


Figure II-6: Poutre principale et secondaires

# c. Poutre palière

Les dimensions de la poutre sont :

 $L/15 \leq h \leq L/10$ 

On a : L=325cm alors :  $21.66 \text{ cm} \le h \le 32.5 \text{ cm}$ .

La largeur de poutre :  $0.3h \le b \le 0.8h$ 

Donc:  $10.5 \text{ cm} \le b \le 28 \text{ cm}$ 

 $b \ge 25$  cm : en zones IV, V et VI

Exigences du RPA 2024  $\longrightarrow$  h  $\geq$  30 cm et h\ b  $\leq$  4.0

On prend: h=35cm. b=30cm.

Poutres principales :  $(b \times h) = (30 \times 40) \text{ cm}^2$ 

Poutres secondaires :  $(b \times h) = (30 \times 35)$ 

 $cm^2$ 

# II.3.2. Poteaux

Le pré dimensionnement des poteaux se fera en fonction des sollicitations de calcul en compression centrée selon les règles du BAEL91[1], en appliquant les trois critères suivant :

-Critère de résistance.

-Critère de stabilité de forme.

-Règles du RPA 2024 [4].

-Les exigences de RPA en zone V.

Les dimensions de la section transversale des poteaux selon le RPA2024, doivent satisfaire les conditions suivantes pour la **zone V.** 

Les dimensions de la section transversales des poteaux doivent satisfaire les conditions :

$$\begin{cases} min \ (b; h \ge 25cm \\ min \ (b; h \ge \frac{lcl}{20}cm \\ 0.25 \le \frac{b}{h} \le 4 \end{cases}$$

(h, b): dimension de la section.

H: hauteur d'étage.

Les dimensions des poteaux supposées :

Selon BAEL 91.

$$b \ge \frac{l_f}{14.4}$$

 $L_f$ : longueur de flambement est  $(0,7L_0)$ .

 $L_0$ : hauteur de RDC = 310cm

 $L_0$ : hauteur de l'étage courant= 310 cm.

$$L_f = 306*0,7 = 217$$
 cm

Donc:

Pour l'étage courant et RDC :

$$b \ge \frac{217}{14.4}$$

$$b \ge 15.07$$

Les dimensions des poteaux sont supposées :

On prend (b, h) = (40, 30) cm<sup>2</sup>

$$L_{cl} = h_{\text{étage}} - h_{\text{poutre}} \rightarrow L_{cl} = 3.10 - 0.40 = 270 \text{ cm}$$
  
 $\sim Min (30.40) = 30 \text{ cm} > 25 \text{ cm}$ 

$$ightharpoonup$$
 Min (30,40) =30 cm  $\geq$  L<sub>cl</sub>/20=13.5cm ......CV

Nous obtenons pour les poteaux  $(30 \times 40)$  cm<sup>2</sup>

Tableau II-1: section des poteaux préalable.

Étages	RDC	Étage courant
Section (b× h)	30×40	30×40

# II.3.3. Les voiles

On appelle voiles, les murs réalisés en béton armé, ils sont conçus de façon à reprendre les charges qui assurent la stabilité de l'ouvrage vis-à-vis des charges horizontales (séisme).

Pour leur pré dimensionnement, nous sommes basés sur les recommandations du le RPA2024 [4]. L'épaisseur minimale est de 20cm. De plus, l'épaisseur doit être déterminée en fonction de la hauteur libre d'étage *he* et des conditions de rigidité aux extrémités.

Selon RPA 
$$\begin{cases} Lw \ge max\left(\frac{he}{3}; 4b^0; 1m\right) \\ bw \ge max\left(15cm; \frac{he}{20}\right) \end{cases}$$

⇒ *he*: Hauteur libre d'étage.

 $\Rightarrow$  *Lw*: Longueur du voile.

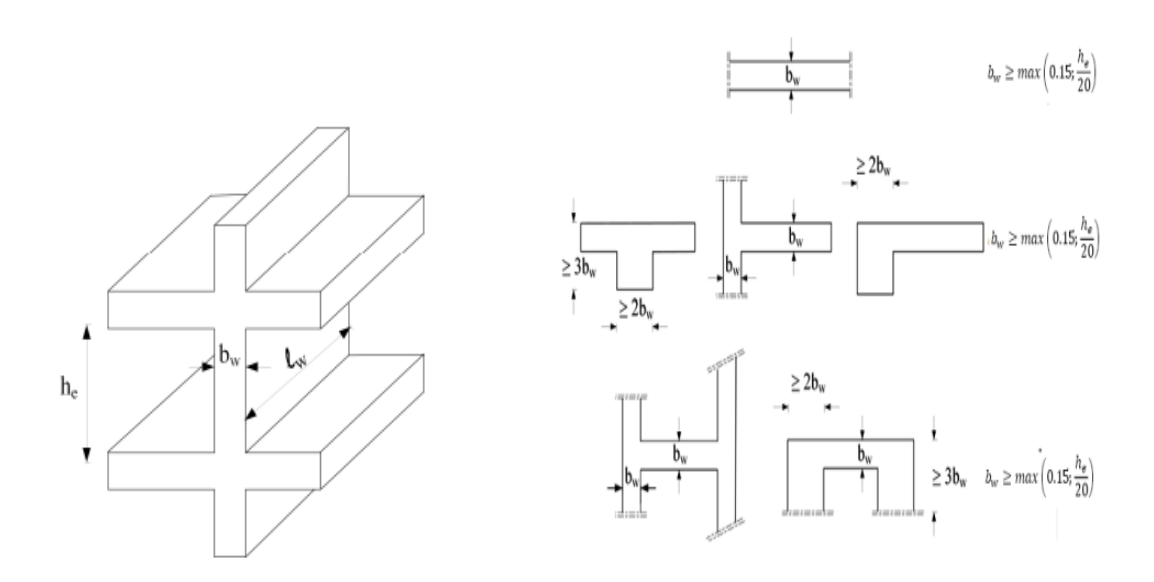


Figure II-7: Voile en béton armé

# \* Prédimensionnement des voiles

$$bw \ge max \left(15cm; \frac{he}{20}\right)$$

A partir de la hauteur d'étage H = 3.10 m, et la rigidité aux extrémités on a :

La hauteur libre d'étage

$$h = H - h POUTRE = 3.10 - 0.40 = 2.70m$$

$$bw \ge \max \begin{cases} bw \ge 15cm \\ bw \ge \frac{270}{20} = 13.5cm \end{cases}$$

 $bw \ge max(15; 13.5)$ 

bw≥15cm

On adopte : bw = 20 cm.

# II.4. Descente des charges

Afin d'assurer la résistance et la stabilité de l'ouvrage, une distribution des charges et surcharges pour chaque élément s'avèrent nécessaire. La descente des charges permet l'évaluation de la plupart des charges revenant à chaque élément de la structure, on aura à considérer :

- Le poids propre de l'élément.
- La charge de plancher qu'il supporte.
- La part de cloison répartie qui lui revient.
- Les éléments secondaires (escalier, acrotère...)

La descente de charge se fait du niveau le plus haut (charpente ou toiture terrasse) vers le niveau inférieur et cela jusqu'au niveau le plus bas (les fondations).

Nous appliquons les lois de dégression uniquement pour les étages à usages d'habitation.

# II.4.1. Evaluation des charges

Plancher terrasse (inaccessible)

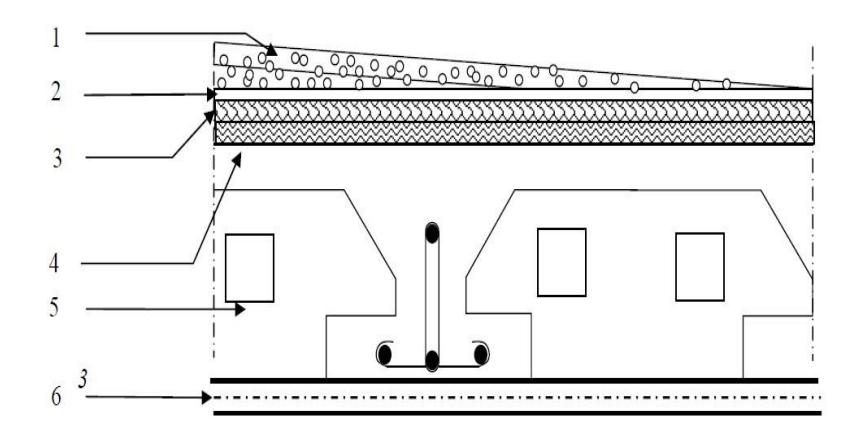


Figure II-8: Plancher à corps.

**Tableau II-2:** Évaluation des charges permanentes des planchers terrasses.

Désignation des éléments	Surcharge	Poids	Charges (KN/
	d'exploitation	volumique	m2)
		(KN/m <sup>3</sup> )	
Protection en gravillon	0.04	22	0.88
Etanchéité multicouche	0.02	6	0.12
Forme de pente 1%	0.1	22	2.2
Isolation thermique	0.04	4	0.16
Corps creux	0.16+0.04	14	2.8
Enduit plâtre	0.02	10	0.2
			G=6.36

# Plancher (étage courant)

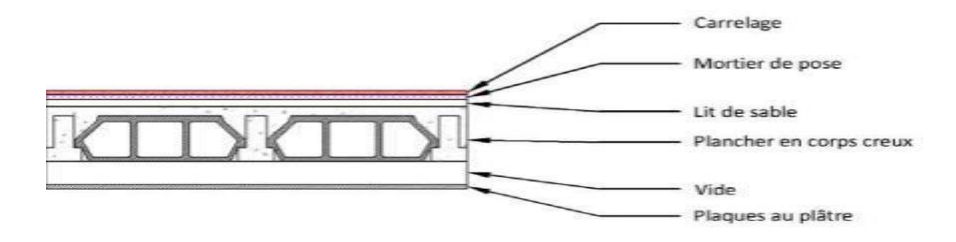


Figure II-9: Plancher étage courant

Tableau II-3: Évaluation des charges permanentes des planchers courants.

Désignation des éléments	Surcharge d'exploitation	Poids volumique (KN/m³)	Charges (KN/m2)
Mortier de pose	0.02	20	0.4
Couche de sable	0.02	18	0.51
Dalle en corps creux	0.2	14	2.95
Enduit de plâtre	0.02	13	0.34
Cloisons de séparation interne			0.9

G=5.10

# **Dalle pleine**

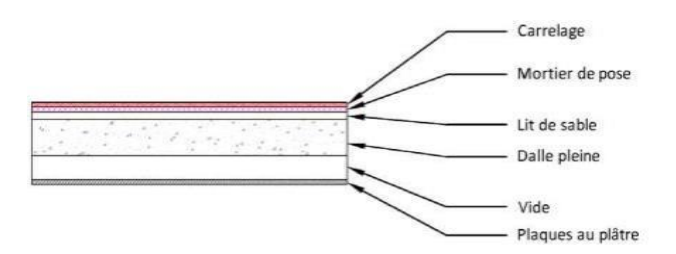


Figure II-10: Dalle pleine

Tableau II-4: Évaluation des charges permanentes de dalle (balcon).

<b>Désignation</b> des	Surcharge	Poids volumique	Charges (KN/ m2)
éléments	d'exploitation	(KN/m <sup>3</sup> )	
Revêtement en carrelage	0.02	22	0.44
Mortier de pose	0.02	20	0.40
Couche de sable	0.02	18	0.36
Dalle pleine en béton	0.15	25	3.75
Enduit en mortier ciment	0.02	22	0.44
			G=5.39

# **\*** Mur Extérieur

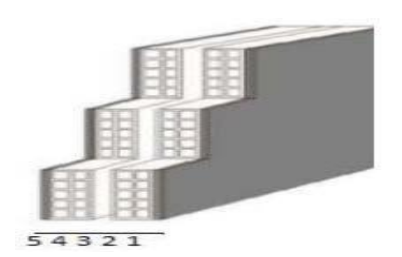


Figure II-11: Mur Extérieur

Tableau II-5: Charge permanents des murs extérieur

<b>Désignation</b> des	Surcharge	Poids volumique	Charges (KN/ m2)
éléments	d'exploitation	(KN/m <sup>3</sup> )	
Enduit de ciment	0,02	22	0,44
Briques creuses	0,1	9	0,9
Lame d'aire	0,05	/	/
Briques creuses	0,1	9	0,9
Enduit de plâtre	0,02	10	0,2
			G= 2.44

# **\*** Murs intérieurs

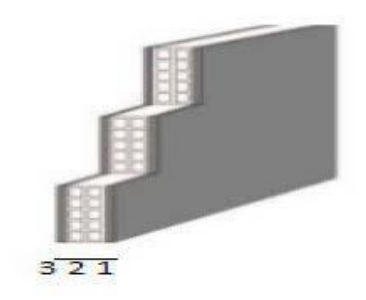


Figure II-12: Murs intérieurs

Tableau II-6: Charge permanents des murs intérieurs

Eléments	Epaisseur (m)	Poids volumique	Charges
		(KN/m³)	(KN/m²)
Enduit en plâtre	0,02	10	0,2
Briques creuses	0,1	9	0,9
Enduit en plâtre	0,02	10	0,2

G = 1.3

# **\*** Les escaliers

# - <u>La paillasse</u>

**Tableau II-7:** Évaluation des charges permanentes du paillasse

Désignations	e (m)	$\gamma (kN/m^3)$	Charges (kg/m <sup>2</sup> )
Carrelage	0.02	22	0.44
Mortier de pose	0,02	20	0.40
Lit de sable	0.03	18	0.54
Poids des marches	0,16/2	22	17.6
Poids de la paillasse	0.14/cos (32.85)	25	41.68
Enduit en plâtre	0,02	20	0.40
Gard corps			20
			G= 7.906

# Palier de repos

Tableau II-8: Évaluation des charges permanentes de palier

Désignations	e (m)	$\gamma (kg/m^3)$	Charge (kg/m²)
Carrelage	0,02	22	0.44
Mortier de pose	0.02	20	0.40
Lit de sable	0.03	18	0.54

Poids de palier	0.14	25	3.50
Enduit de ciment	0,02	20	0.40
			G= 5.28

# II.4.1.1. La charge d'exploitations : (DTR : B.C2.2) [5].

- La charge d'exploitation à prendre dans le cas d'un plancher terrasse inaccessible est Q=1KN/m<sup>2</sup>.
- La charge d'exploitation à prendre pour l'étage courant est Q=1.5 KN/m².
- La charge d'exploitation à prendre pour les balcons est Q=3.5 KN/m².
- La charge d'exploitation des escaliers est  $Q = 2.5 \text{KN/m}^2$ .

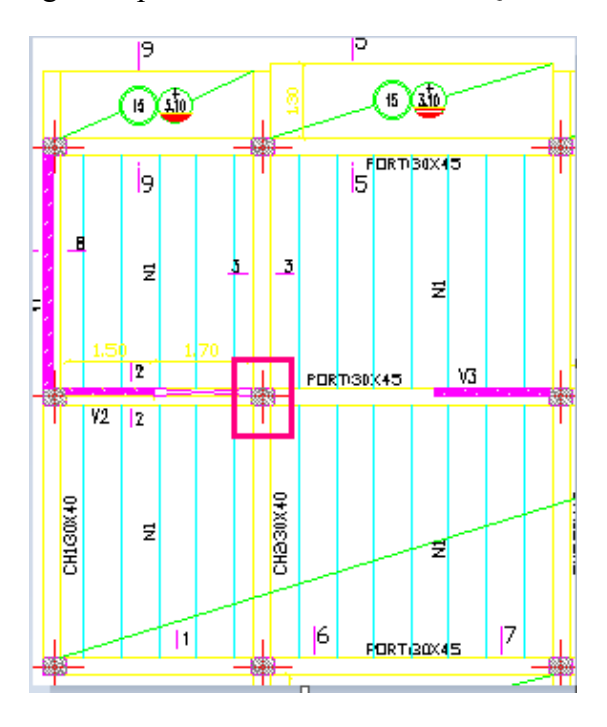
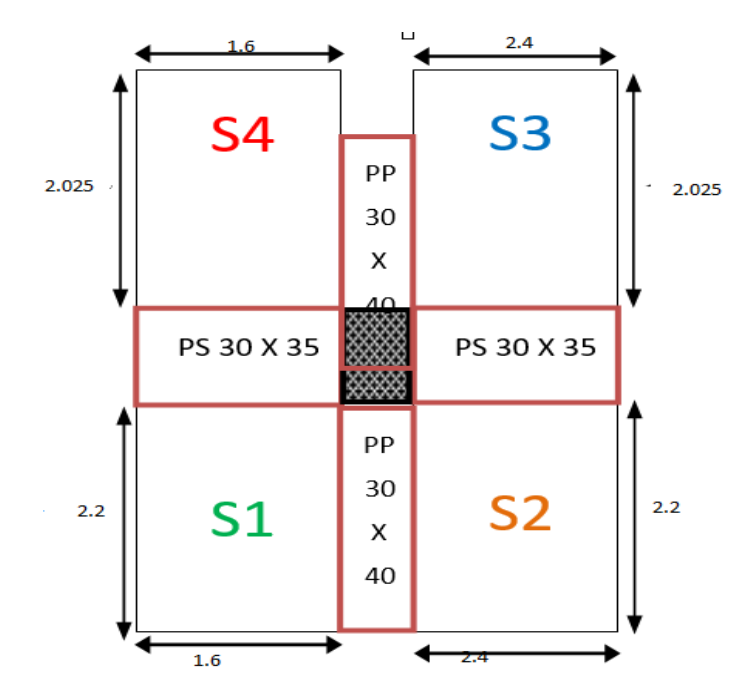


Figure II-13: Emplacement du poteau le plus sollicité (sur le plan).

# **Poteau le plus sollicitée**



- La surface afférente :

$$S = (2.025*1.60) + (2.2*1.6) + (2.4*2.2) + (2.025*2.4).$$
 
$$S = 16.9 \text{ m}^2$$

# - Les charges et surcharge

# Plancher terrasse:

$$\begin{cases} G = 16.9 \times 6.36 = 107.484 \, KN \\ Q = 16.9 \times 1 = 16.9 \, KN \end{cases}$$

# Plancher étage courant :

$$\begin{cases} G = 16.9 \times 5.01 = 84.669 \ KN \\ Q = 16.9 \times 1.5 = 25.35 \ KN \end{cases}$$

:

# Les poteaux

$$G_{POT} = b \times h \times he \times \rho = 0.3 \times 0.4 \times 3.10 \times 25 = 9.30 \text{ KN}$$

Tableau II-9: Évaluation des poids propres des poteaux

Étage	RDC	1 à 5 étages
S (m <sup>2</sup> )	0.12	0.12
Gp	9.30	9.30

# Mur intérieurs étage courant et RDC

 $G_{mur} = (2.2+2.025) \cdot (3.10-0.35) \cdot 1.30 = 15.10 \text{ KN}$ 

- Sous la terrasse: Q<sub>0</sub>.

Sous le premier étage à partir du sommet: Q<sub>0</sub> + Q<sub>1</sub>.

. Sous le deuxième étage:  $Q_0 + 0.95 \cdot (Q_1 + Q_2)$ .

. Sous le troisième étage:  $Q_0 + 0.90 \cdot (Q_1 + Q_2 + Q_3).$ 

. Pour n étage (n  $\geq$  5) :  $Q_0 + \frac{3+n}{2 \cdot n} \cdot (Q_1 + Q_2 + Q_3 + Q_4 + ..... + Q_n)$ 

# Tableau II-10: Dégression des charges d'exploitation

Niveau	Dégression des charges par niveau	La charge (KN/m²)
5	Nq0=1,00	1
4	Nq1=q0+q1	2.5
3	Nq2=q0+0,95 (q1+q2)	3,85
2	Nq3=q0+0,90 (q1+q2+q3)	5,05
1	Nq4=q0+0,85 (q1+q2+q3+q4)	6,1
RDC	Nq5=q0+0,80 (q1+q2+q3+q4+q5)	7

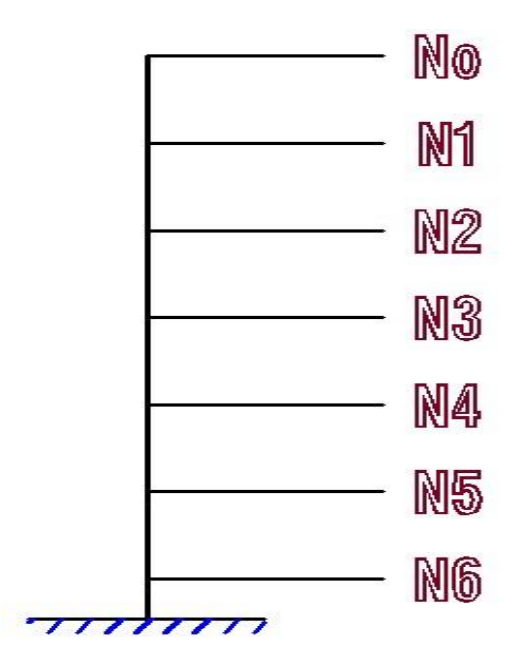


Figure II-14: Schéma statique de la descente de charge.

Tableau II-11: Descente de charge du poteau.

Niveau	Éléments	G(KN)	Q(KN)
	Plancher terrasse	107.484	
N1	Gpp (30 x 40) cm2	12	
	Gps (30 x 35) cm2	11.09	
	Total	130.574	16.9
	Venant N1	130.574	
N2	Poteau(30x40)cm2	9.30	
	Total	139.874	
	Venant N2	139.874	
N3	Plancher étage	84.669	
	Gpp (30 x 40) cm2	12	
	Gps (30 x 35) cm2	11.09	
	Mur intérieure	15.10	
	Total	262.733	42.25

# Chapitre II Pré-dimensionnement des éléments de structures et évaluation des charges

	Venant N3	262.733	
N4	Poteau (30 x 40) cm2	9.30	
	Total	272.033	
	Venant N4	272.933	
N5	Plancher étage	84.669	
	Gpp (30 x 40) cm2	12	
	Gps (30 x 35) cm2	11.09	
	Mur intérieure	15.10	
	Total	395.792	65.065
	Venant N5	395.792	
N6	Poteau (30 x 40) cm2	9.30	
	Total	405.092	
	Venant N6	405.092	
N7	Plancher étage	84.669	
	Gpp (30 x 40) cm2	12	
	Gps (30 x 35) cm2	11.09	
	Mur intérieure	15.10	
	Total	527.951	85.345
	Venant de N7	527.951	
N8	Poteau (30x 40) cm2	9.30	
	Total	537.251	
	Venant de N8	537.251	
N9	Plancher étage	84.669	
	Gpp (30 x 40) cm2	12	
	Gps (30 x 35) cm2	11.09	

	Mur intérieure	15.10	
	Total	660.11	
	Venant de N9	660.11	
N10	Poteau (30x 40) cm2	9.30	
	Total	669.41	103.09
	Venant de N10	669.41	
N11	Plancher étage	84.669	
	Gpp (30 x 40) cm2	12	
	Gps (30 x 35) cm2	11.09	
	Mur intérieure	15.10	
	Total	792.269	
	Venant de N9	792.269	
<b>N</b> 12	Poteau (30x40) cm2	9.30	
	Total	G= 801.569	Q =118.3

# **!** Les vérifications nécessaires

# L'effort normal ultime

$$N_u = 1.35G + 1.5Q = (1.35 * 801.569) + (1.5 * 118.3) = 1259.568KN$$

Selon le CBA93 (article B.8.11) on doit majorer l'effort normal de compression ultime Nu de 10% tel que: Nu= 1x (1.35G+1.5Q).

Donc Nu= 1.1x1259.568 = 1385.52KN.

# Vérification à la compression simple :

On doit vérifier la condition suivante :

 $\frac{Nu}{B} \le 0.6 * fc28$  Avec B: section du béton.

$$B \ge \frac{N_u}{0.6 * f_{c28}} \Rightarrow B \ge \frac{1385.52 * 10^{-3}}{0.6 * 25} = 0.092m^2$$

On a: B = 0.12 m2

B=0.12 m2 > 0.092m2 Condition vérifiée.

# Vérification au flambement :

On doit faire la vérification suivante :

$$N_{u} \leq \alpha \times \left[ \frac{B_{r} \times f_{c28}}{0.9 \times \gamma_{b}} + \frac{A_{s} \times f_{e}}{\gamma_{s}} \right]$$

$$Br \ge \frac{Nu}{a*\left(\frac{fc28}{0.9*vb} + \frac{As*fe}{Br*vs}\right)}$$

 $B_r$ : Section réduite du béton.

 $\mathbf{A}_{\mathsf{s}}$  : Section des armatures.

γ<sub>b</sub>: coefficient de sécurité de béton.

γ<sub>s</sub>: coefficient de sécurité des aciers

 $\alpha$ : Coefficient en fonction de l'élancement  $\lambda$ .

Avec:

γb : Coefficient de sécurité du béton =1.5

ys: Coefficient de sécurité de l'acier =1.15

∝ : Coefficient tenant compte de l'élancement

$$\alpha = \begin{cases} \frac{0.85}{1 + 0.2 \times (\frac{\lambda}{35})^2} \rightarrow 0 < \lambda \le 50. \\ 0.6 \times (\frac{50}{\lambda})^2 \rightarrow 50 < \lambda \le 70. \end{cases}$$

On calcule l'élancement  $\lambda = \frac{\mathbf{1_f}}{\mathbf{i}}$  .

 $\mathbf{l_f}$ : Longueur de flambement.

10 : Longueur du poteau.

i: Rayon de giration :  $i = \sqrt{\frac{I}{B}}$ 

I:Moment d'inertie :  $I = \frac{b_1 \times h_1^3}{12}$ 

$$l_f = 0.7 * l_0 = 0.7 * 3.10 = 2.17m$$

$$B = 0.12m^2$$

$$I = \frac{0.0192}{12} = 0.16 * 10^{-2} m^4$$

$$i = \sqrt{\frac{0.16 * 10^{-2}}{0.12}} = 0.1155$$

$$\lambda = \frac{2.17}{0.1155} = 18.78 < 50 \Rightarrow \alpha = \frac{0.85}{1 + 0.2 * \left(\frac{18.78}{35}\right)^2} = 0.804$$

D'après le BAEL91 on doit vérifier

$$B_r \ge \frac{N_u}{\alpha * \left(\frac{f_{c28}}{0.9 * \gamma_b} + \frac{A_s * f_e}{B_r * \gamma_s}\right)} \quad B_r \ge \frac{1385.52 * 10^{-3}}{0.804 * \left(\frac{25}{0.9 * 1.5} + \frac{1*400}{1000 * 1.15}\right)} = 0.091 m^2$$

$$A_s = 0.8\% \text{ x } B_r.....$$
 Zone I II

$$A_s = 0.9\% \times B_r$$
..... Zone III

$$A_s = 1\% x B_r.....$$
 Zone IV, V et VI

Nous avons:

$$Br = (40-2) * (30-2) *10-4 = 0.1064 m^2$$

0.1064 m<sup>2</sup>>0.091 m<sup>2</sup> donc le poteau ne risque pas de flamber.

# II.5. Conclusion

Après avoir pré dimensionné tous les éléments (planchers, poutres, poteaux, escaliers et voiles) on passe au chapitre suivant pour l'étude des éléments secondaires.

# **Chapitre III**

Calcul des éléments secondaires

# III.1. Introduction

Les éléments secondaires sont les éléments qui n'ont pas une fonction porteuse ou de contreventement comme les cloisons et les murs de façade en maçonnerie. Le calcul de ces éléments se fait généralement sous l'action des charges permanentes et des surcharges d'exploitations comme auparavant rapporté au deuxième chapitre. Cependant, certains éléments doivent être vérifiés sous l'action de la charge sismique (la composante verticale ou horizontale) comme ils doivent répondre aux dispositions constructives de la réglementation parasismique.

Dans le présent chapitre, on va aborder le calcul des éléments secondaires suivants :

- L'acrotère :
- Les dalles pleines des balcons ;
- > Les escaliers ;
- Les planchers à corps creux (poutrelles et table de compression).

# III.2. Calcul de l'acrotère

L'acrotère est un élément non structural contournant le sommet du bâtiment conçu pour la protection de la ligne conjonctive entre lui-même et la forme de pente contre l'infiltration des eaux pluviales. Il est réalisé en béton armé. Soumis à son poids propre et à une surcharge horizontale due à la main courante.

Il est assimilé à une console encastrée au plancher terrasse. La section critique se trouve au niveau de l'encastrement et le calcul se fera en flexion composée pour une bande de 1 m linéaire. A savoir, la fissuration est considérée comme préjudiciable car l'acrotère est soumis aux intempéries. Les dimensions de l'acrotère du présent travail sont illustrées par la figure (III.1).

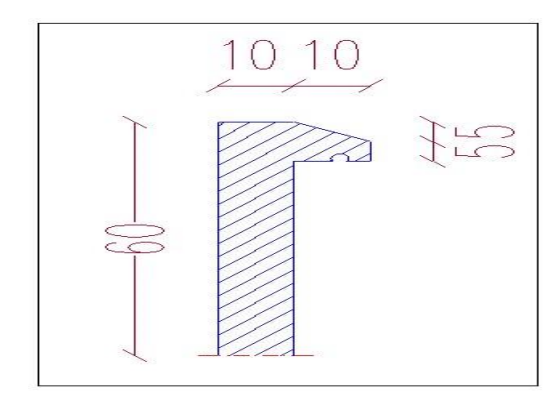


Figure III-1: Coupe de l'acrotère.

Poids propre

$$S = 0.0685 \text{ m}^2$$

$$G1 = 0.0685 \times 25 \times 1.00 = 1.71 \text{ KN}$$

Poids des enduits

$$G2 = 0.03 \times 18 \times 0.6 \times 1.00 = 0.324 \text{ KN}$$

Le poids total

$$G = G1 + G2 = 1.71 + 0.324 = 2.034 \text{ KN}$$

# III.2.1. Effort sismique au sommet de l'acrotère

L'action sismique sur les éléments non structuraux est donnée par l'article (6.2.3) des règles RPA2024 ; selon ces règles, les forces horizontales de calcul sur les éléments non structuraux (tels que les acrotères) sont calculées suivant la formule suivante :

$$Fpk = (A.I.S).Cp.(1+3.hz/H).Wp$$

A : Coefficient d'accélération de zone obtenu dans le tableau 3.2 du RPA2024. Pour la zone V, et le groupe d'usage 2 : A = 0.25.

**I**: Coefficient d'importance obtenu dans le Tableau (3.10): **I** = **1** 

**Cp:** Facteur de force horizontale variant entre 0.4 et 0.8 dans le tableau (6.1)

Pour les éléments en consol : Cp=0.8

Wp : Poids de l'élément considéré WP = G = 203.4 kg.

**hz**: Hauteur, du niveau "k", à partir de la base hz= 0.6m

**H**: Hauteur totale du bâtiment à partir de la base H = 21.70m

$$Fpk = (A.I.S).Cp.(1 + 3.hz/H)$$

Fpk = 0.28KN/ml

Il faut; Fpk  $\leq 1.5Q$  Fpk =0.28KN/ml  $\leq 1.5$ KN/ml ......CV

#### III.2.2. Calcul des sollicitations

Pour déterminer les sollicitations, on va utiliser 3 combinaisons, et on choisit la plus défavorable. Ces combinaisons Pour une bande de 1m de largeur sont :

#### > ELU:

Calcul des moments fléchissant :

$$MU = 1.5 \times Q \times h = 1.5 \times 1 \times 0.6 = 0.9 \text{ (KN.m)}$$

• Calcul de l'effort normal :

$$NU= 1,35 G = 1.35 \times 2.03 = 2.75 (KN)$$

• Calcul de l'effort tranchant :

$$TU= 1.5Q= 1.5 \times 1= 1.5 (KN)$$

- > ELS:
- Calcul des moments fléchissant :

$$Ms = Q \times h = 1 \times 0.6 = 0.6(KN.m)$$

• Calcul de l'effort normal :

$$Ns = G = 2.03 (KN)$$

• Calcul de l'effort tranchant :

$$Ts = Q = 1 (KN)$$

# III.2.3. Ferraillage

Le calcul se fait sur une section rectangulaire (Figure III.2).

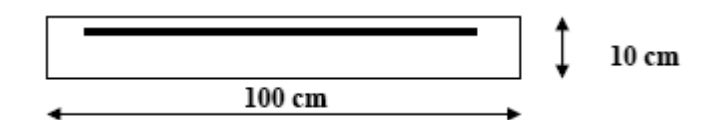


Figure III-2: Section théorique pour le ferraillage de l'acrotère

Les dimensions de la section :

✓ Epaisseur de la section : h = 0.1m

✓ Largeur de la section : b=1 m

✓ Enrobage : c=0.02 m

✓ Hauteur utile : d=h-c d=0.08 m

La fissuration est considérée comme préjudiciable parce que ce sont des éléments qui sont exposés aux intempéries, (variation de température, eau, neige, etc. ...). Le calcul se fera alors à l'ELU et à l'ELS.

#### III.2.4. Calcul de l'excentricité

Selon l'article A.4-4 du B.A.E.L91 [1], en adoptant une excentricité totale de calcul :

$$e = e_1 + e_2 + e_a$$

- Excentricité de la résultante des contraintes normales (e<sub>1</sub>) :

$$e_1 = Mu/Nu = 0.9 / 2.74$$
  $e_1 = 0.328m$ 

$$e_1 > h/6 = 0.1/6 = 0.016 \text{ m} \dots (C.V)$$

Le centre de pression se trouve à l'extérieur de la section, la section est alors partiellement comprimée, elle sera calculée en flexion simple sous l'effet d'un moment fictif  $M_f$  par rapport aux armatures tendues.

- Excentricité dus aux effets de second ordre (e2) :

$$e_2 = \frac{3Lf^2}{10000 \times h} (2\alpha + Q)$$

Calcul de l'élancement :

$$L_f = 2 \times L \Rightarrow L_f = 2 \times 0.6 \Rightarrow L_f = 1.2 \text{ m}$$

i: rayon de giration:  $i = \sqrt{\frac{k}{M}}$ 

$$I = \frac{bh^3}{12} \implies I = \frac{1 \times 0.1^3}{12} \implies I = 8.33 \times 10^{-3} \text{m}^4$$

$$S = b \times h \Rightarrow S = 1 \times 0.1 \Rightarrow S = 0.1 \text{ m}^2$$

Donc :i = 0.028

Alors: 
$$\lambda = \frac{1.2}{0.028}$$
  $\rightarrow$   $\lambda = 42.85$ 

$$\lambda_{\text{max}} \le \max \{50 ; \min(\frac{67 \times e1}{h}; 100)\}$$

 $\lambda_{max}\!\leq 100$ 

$$\lambda = 41.38 < 100$$

Alors : 
$$\lambda \leq \lambda_{max}$$

Donc pas de risque de flambement.

et :
$$\alpha = \frac{MG}{M_G + MQ}$$

$$MG = \frac{qL^2}{2} = \frac{2.03 \times 0.6^2}{2} = 0.365 \text{ KN.m}$$

$$MQ = \frac{qL^2}{2} = \frac{1 \times 0.6^2}{2} = 0.18KN.m$$

Alors: 
$$\alpha = \frac{0.365}{0.365 + 0.18} \Rightarrow \alpha = 0.67$$

Donc:

$$e_2 = \frac{3 \times 1.2^2}{10000 \times 0.1} (2 + 0)$$
  $e_2 = 0.0086$ m

# - Excentricité additionnelle (ea) :

ea = max (2cm; 
$$\frac{L}{250}$$
)  $\Rightarrow$ e<sub>a</sub>= max (2 cm;  $\frac{60}{250}$ ))

$$\Rightarrow$$
ea = max (2 cm; 0.24cm)  $e_a = 0.02m$ 

Alors :
$$e_T = e_1 + e_2 + e_a \implies e = 0.328 + 0.0086 + 0.02$$

$$e_T = 0.36 \text{ m}$$

$$e_T > \frac{h}{2} = \frac{0.1}{2} = 0.05 \text{ m} \dots (cv)$$

Alors:

On tiendra compte des effets du second ordre.

On majore Nu, Mu ; tel que la méthode forfaitaire consiste à tenir compte des effets du second ordre en introduisant l'excentricité totale :

La sollicitation corrigée.

$$N'_{u} = 2.75 \text{ KN}$$

$$M'_u = N'_u \times (e_1 + e_2) = 2.75 \times (0.328 + 0.014) = 0.94 \text{ KN.m}$$

$$M_{ua} = M'_u + N'_u \times (d - \frac{h}{2})$$

$$M_{ua} = 0.94 + 2.75 \times (0.08 - \frac{0.1}{2})$$

$$M_{ua} = 1.02 \text{ KN.m}$$

Le calcul se fera par assimilation à la flexion simple.

# a/ 1ère étape : étape fictive :

$$\mu = \frac{M_{ua}}{bd^2f_{bu}} = \frac{1.02}{0.08^2 \times 14.17} \times 10^{-3} = 0.012 \Rightarrow \mu = 0.012 < 0.186 \text{ domaine } 1.$$

 $\mu$ < 0.186  $\Rightarrow$  pas d'acier comprimé (SSAC)

$$\alpha = 1.25 (1 - \sqrt{1 - 2\mu})$$

$$\alpha = 0.015$$

$$Z = d \times (1 - 0.4\alpha) = 0.079 \text{ m}$$

$$\varepsilon = 10 \%$$

$$\sigma s = 348MPA$$

$$A_1 = \frac{M_u}{Z \times \sigma_s} = (\frac{0.102}{0.079 \times 348}) \times 10^{-2}$$

$$A_s = 0.37 \text{cm}^2$$

# b/ 2èmeétape : Retour à la section réelle :

La section des armatures tendues dont la section réelle est (A<sub>u</sub>).

$$A_{\rm u} = A_{\rm u1} - \frac{N_{\rm u}}{\sigma_{\rm st}}$$

Avec: 
$$\sigma_{st} = \sigma_{s}$$

$$A_u = (0.37*10^2) - \frac{2.75 \times 10^{+3}}{348} = 0.29 \text{ cm}^2/\text{ml}$$

# • Calcul à l'ELS

$$M_{ser} = 0.6 \text{ KN.m/ml}$$

$$N_{ser} = 2.03 \text{ KN/ml.}$$

- Calcul de l'excentricité

$$e_0 = \frac{M_{ser}}{N_{ser}} = \frac{0.6}{2.03} = 0.29 \text{ m} \Rightarrow e_0 = 29 \text{ cm}$$

$$e_1 = \frac{h_t}{6} = \frac{0.1}{6} = 0.0167 \text{ m} \Rightarrow e_1 = 1.67 \text{ cm}$$

 $e_0 > e_1 \Rightarrow$  La section est partiellement comprimée (SPC)

On calculera la section en flexion simple sous l'effet d'un moment fléchissant par rapport au c.d.g des armatures tendues.

$$M_{\text{ser/A}} = M_{\text{ser}} + N_{\text{ser}} \times (d - \frac{h}{2}) = 0.6 + 2.03 \times (0.08 - \frac{0.1}{2}) = 0.66 \text{ KN.m/ml}$$

La contrainte du béton est donnée /

ELS: 
$$\sigma_{bc} = 0.6 f_{c28} = 15 MPa$$

La contrainte de l'acier :

Selon la rectification 99 du BAEL91 Arti.A.4.5.33 (cas de fissuration préjudiciable).

$$\overline{\sigma}_{st} = \min \left\{ 2/3 f_e; \max \left( 0.5 f_e; 110 \sqrt{\eta f_{tj}} \right) \right\}_{e} = 201.63 \text{MPa}$$

$$X = \frac{15 \times \bar{\sigma}_{bc}}{15 \times \bar{\sigma}_{bc} + \bar{\sigma}_{st}} \times d = \frac{15 \times 15}{15 \times 15 + 201.63} \times 0.08 = 0.042 \text{ m}$$

$$Z = d - \frac{X}{3} = 0.08 - \frac{0.042}{3} = 0.066 \text{ m}$$

$$M_1 = \frac{1}{2}b \ X \ \bar{\sigma}_{bc}Z = 1/\ 2(1 \times 0.042 \times 15 \times 0.066) = 0.021 \ MN.m/ml$$

$$M_{ser/A} = 0.066 \times 10^{-2} \, MN.m/ml < M_1 = 0.021 \, MN.m/ml$$

M<sub>ser/A</sub>< M<sub>1</sub>⇒Section sans armatures comprimées (SSAC)

$$A_{\text{ser1}} = \frac{M_{\text{ser}}}{z\bar{\sigma}_{st}} = \frac{0.066 \times 10^{-2}}{0.066 \times 201.63} = 0.49 \text{cm}^2$$

$$A_{\text{ser}} = A_{\text{ser}1} - \frac{N_{\text{ser}}}{\bar{\sigma}_{\text{st}}} = 0.49 \times 10^{-4} - \frac{0.203 \times 10^{-2}}{201.63} = 0.39 \text{cm}^2$$

 $A_{ser} = 0.39 cm^2$ 

# • Condition de non fragilité

$$A_{min} > \frac{0.23b_0 df_{t28}}{f_e} = 0.97 \text{ cm}^2/\text{ml}$$

Donc As>max (Au; Aser; Amin)

Qui nous donne **4HA8** = 2,01cm<sup>2</sup>/ml espacée de 25cm

# • Armature de répartition :

$$A_r = A_s / 4 = 0,5025 \text{ cm}^2$$

On adopte 4HA6 avec un espacement de 15 cm

#### • Vérification au cisaillement:

$$\bar{\tau}_u = \min(0.15 \frac{f_{c28}}{\gamma_b}, 4\text{MPa}) = 2.5 \text{ MPa}$$

$$V_u = 1.5 \times Q = 1.5 \text{ KN / ml}$$

$$\tau_u = \frac{V_u}{b_0 \times d} = \frac{1.5}{1 \times 0.08} = 0.018 \text{ MPa}$$

$$\tau_u < \overline{\tau_u} \Rightarrow$$
 Condition vérifiée.

Il n'est pas nécessaire de concevoir des armatures transversales, les armatures de répartition sont suffisantes.

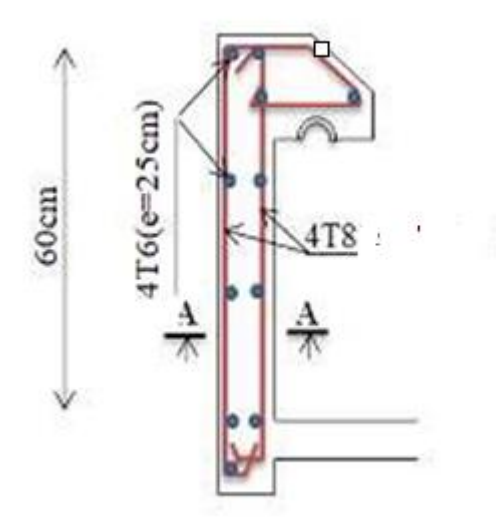


Figure III-3: Schéma de ferraillage de l'acrotère

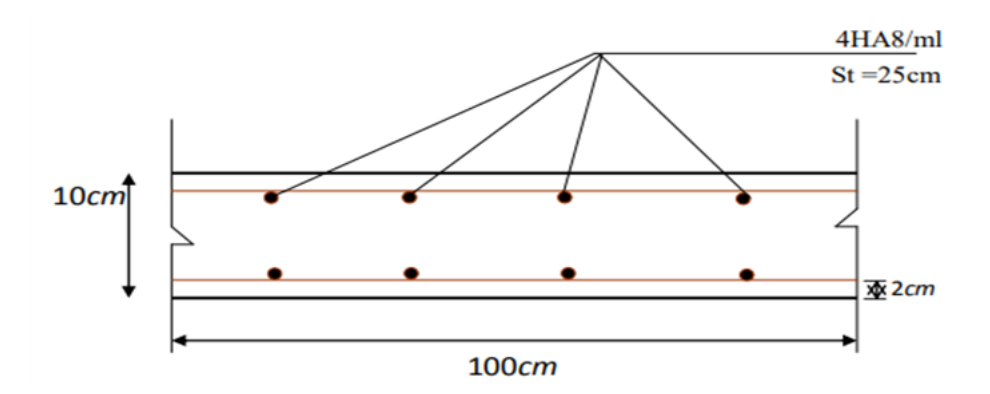


Figure III-4: coupe A-A

# III.3. Les balcons

Le balcon est assimilé à une encastrée au niveau de la poutre du plancher. Il est réalisé en dalle pleine, il est calculé comme un consol ferraillé en flexion simple. Le balcon est soumis à une charge permanents G (poids propre), charge concentrée à l'extrémité libre p (poids propre de garde – corps), et une charge d'exploitation Q.

Les balcons sont des éléments décoration dans les bâtiments, ils sont calculés comme des consoles sur trois appuis.

Lx = 1.50 m

Ly = 5.20 m

$$\rho = \frac{Lx}{Ly} = \frac{1.50}{5.20} = 2.88$$

 $\rho$  =2.88< 0,4 La dalle travaille dans selon «  $l_x$  ».

# III.3.1. Evaluation des charges

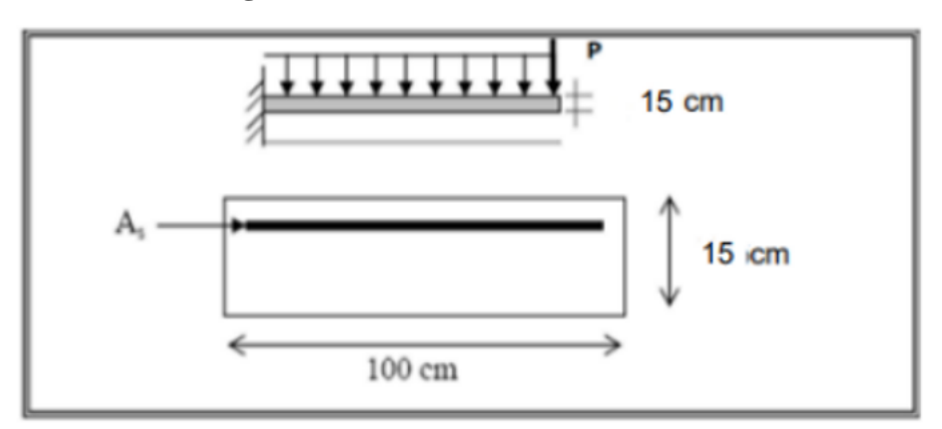


Figure III-5: Section théorique pour le ferraillage du balcon.

 $G = 5.39 \text{ KN/m}^2$ 

 $Q = 3.5 \text{ KN/m}^2$ 

Pour 1ml:

G = 5.39\*1=5.39 kN/ml

Q = 3.5\*1 = 3.5 kN/ml

P = 1KN

Le calcul peut se fait pour une bande de1m.

- Charge permanente : G= 5.39 KN/ml

- Charge d'exploitation : Q= 3.5KN/ml

# **A /E.L.U:**

$$Qu = (1.35G+1.5Q) \times 1$$

$$Qu = (1.35 \times 5.39 + 1.5 \times 3.5) \times 1$$

Qu =12.53 KN/m

 $Pu=1.35\times P$ 

Pu=1.35KN

# **B/E.L.S**:

$$qs = (G + Q) \times 1$$

$$qs = (5.39 + 3.5) \times 1$$

$$qs = 8.89 \text{ KN}$$

$$Ps = P = 1 KN$$

#### III.3.2. Calcul des sollicitations

#### **A /E.L.U:**

$$Mu = \frac{qu \times l^2}{2} + Pu \times L$$

$$Mu = \frac{12.53 \times 1.5^{2}}{2} + 1.35 \times 1.50 = 16.12 \text{ KN.m}$$

$$\nabla u = quL + Pu \nabla u$$

$$Vu = 12.53 \times 1.5 + 1.35 = 20.37 \text{ KN}.$$

# **B/E.L.S**:

$$Ms = \frac{qs \times l^2}{2} + Ps \times L$$

$$Ms = \frac{8.89 \times 1.5^{2}}{2} + 1 \times 1.50 = 11.50 \text{ KN.m}$$

$$Vs = qs L + Ps Vs$$

$$V_S = 8.89 \times 1.5 + 1. = 14.34 \text{ KN}.$$

#### III.3.3 Calcul le Ferraillage

b=100cm; h=15cm; d=0.9×h=13.5cm; Fe=400MPa;  $f_{c28}$ =25MPa;  $f_{t28}$ =2,1MPa;  $\sigma_s$ =348 MPa.  $F_{bu}$ = 14.16MPa

## - Le ferraillage à ELU:

Moment ultime réduite :

$$\mu_{\text{bu}} = \frac{M_u}{f_{huxhxd^2}} = = \frac{16.12 \times 10^3}{14.17 \times 100 \times 13.5^2} = 0.062$$

 $\mu_{\text{bu}} = 0.062 < \mu_{\text{l}} = 0.392 \Rightarrow \text{Les armatures comprimées ne sont pas nécessaires } \mathbf{A'=0}$ .

$$\alpha$$
= 1.25  $(1-\sqrt{1-2\alpha} = 1.25)(1-\sqrt{1-2\times0.062} = 0.080)$ 

$$Z=d(1-0.4\alpha)=13.01$$
 cm

$$A_u = \frac{M_u}{Z \times \sigma s} = = \frac{16.12 \times 10^3}{13.01 \times 348} = 3.56$$
cm

Tableau III-1: Récapitulatif des résultats

Désignation	Mu	μ	α	β	Z ( cm)	A ucal(cm²)
	(KN.m)					
travée	16.12	0.062	0.08	0.969	13.01	3.56

# Condition de non fragilité (BAEL91 [1] A.4.2.1)

$$A_{\min} \ge 0.23 \times b \times d \times \frac{f_{t28}}{f_e} \rightarrow A_{\min} \ge A_{\min} \ge 0.23 \times 100 \times 13.5 \times \frac{2.1}{400} = 1.63 \text{cm}^2$$

Amin  $\geq 1.63$ cm<sup>2</sup>

$$A_s = \max (A_{\min}, A_{cal}) \rightarrow A_s = \max (1.63, 3.56)$$

Donc As= $3.56 \rightarrow 5HA12=5.65cm^2$ 

#### - Espacement « e » :

 $e \le Min(3h; 33 cm)$ 

e ≤Min (45;33cm)

e≤ 33cm

On prend: e=25cm.

# > Les armatures de répartition

$$Ar = \frac{A_S}{4} = \frac{5.65}{4} = 1.41 \text{cm}^2$$

4HA8=2.01cm<sup>2</sup>

Avec un espacement de 25 cm.

## - Espacement « e »:

 $e \le Min(3h; 33 cm)$ 

e ≤Min (45;33cm)

 $e \le 33cm$ 

e≤ 25cm

# • Vérification de l'effort tranchant ((91 [1] A.5.1.1) :

$$\tau_u \leq \overline{\tau_u}$$

$$\tau_u = \frac{T_U}{b \times d} = \frac{25.37 \times 10^3}{100 \times 135} = 0.167$$

La fissuration est préjudiciable, alors :

$$\overline{\tau_u} = \min(0.15 \frac{f_{c28}}{\gamma_B}; 5MPa)$$

$$\overline{\tau_u} = \min(2,5;5MPa)$$

$$\tau u = 0.167 \text{MPa} \le \overline{\tau u} = 2.5 \text{ MPa}$$

Donc les armatures transversales ne sont pas nécessaires.

## • Vérification des contraintes

$$\sigma_{bc} \leq \overline{\sigma_{bc}}$$

$$\overline{\sigma_{bc}} = 0.6 \times f_{c28} = 15 \text{ MPa}$$

$$\sigma_{bc} = \frac{M_{\text{ser}} \times y}{I}$$

La position de l'axe neutre :

$$\frac{1}{2}by^2 + \eta(y - c')A_s' - \eta(d - y)A_s = 0$$

$$50 \times y^2 + 15(y - 13.5) \times 0 - 15(13.5 - y) \times 5.65 = 0$$

y=4.01cm

Détermination du moment d'inertie :

$$I = \frac{b \times y^3}{3} + n \times A_s'(d - y)^2 + n \times A_s(d - y)^2$$

$$I = \frac{100 \times 4.01^3}{3} + 15 \times 5.65 \times (13.5 - 4.01)^2 = 9781.97cm^4$$

y : Distance de l'axe neutre a la fibre la plus comprimée.

I: Moment d'inertie; n = 15

Tableau III-2: Récapitulatif des résultats.

M <sub>ser</sub> (KN. m)	$\mathbf{A_s}(\mathbf{cm}^2)$	Y(cm)	I (cm <sup>2</sup> )	σ <sub>bc</sub> (MPa)	$\sigma_{ m bc} \leq \overline{\sigma_{bc}}$
11.50	5.65	4.01	9781.97	4.71	CV

#### • Vérification des contraintes dans les aciers à l'ELS

$$\sigma_{st} = \frac{15 \times M_{ser}}{I} \times (d - y) \le \overline{\sigma_{st}}$$

$$\overline{\sigma_{st}} = \min\left(\frac{2}{3} \text{ fe} ; 110 \sqrt{\eta f_{tj}}\right)$$

$$\eta = 1.6 ; \text{ fe} = 400 \text{ MPa} ; f_{t28} = 2.1 \text{ MPa} ; f_{t28} = 2.1 \text{ MPa}$$

$$\overline{\sigma_{st}} = \min\left(266.6 ; 201.63\right).$$

$$\overline{\sigma_{st}} = 201.63$$

On doit recalculer la section des aciers (AS) en ELS:

Tableau III-3: Récapitulatif des résultats.

Mser (KN. m)	Y(cm)	I (cm <sup>4</sup> )	σ <sub>st</sub> (MPa)	σ <sub>st</sub> (Mpa)	$\sigma_{bc} \leq \overline{\sigma_{bc}}$
11.50	2.01	4.01	9781.97	4.71	CV

#### • Vérification de la flèche (BAEL91[1] B.6.5.1)

La vérification de la flèche n'est pas nécessaire si les conditions suivantes sont vérifiées:

$$\begin{cases} \frac{h}{l} \ge \frac{1}{16} \\ \frac{h}{l} \ge \frac{M_t}{10 \times M_0} \\ \frac{A_s}{bd} \le \frac{4,2}{f_e} \end{cases} \begin{cases} \frac{0,15}{1,5} = 0,1 \ge \frac{1}{16} = 0,0625 & CV \\ \frac{0,15}{1,2} = 0,125 \ge \frac{M_t}{10 \times M_0} = 0,1 & CV \\ \frac{5.65}{100 \times 13,5} = 0,00418 \le \frac{4,2}{400} = 0,015 & CV \end{cases}$$

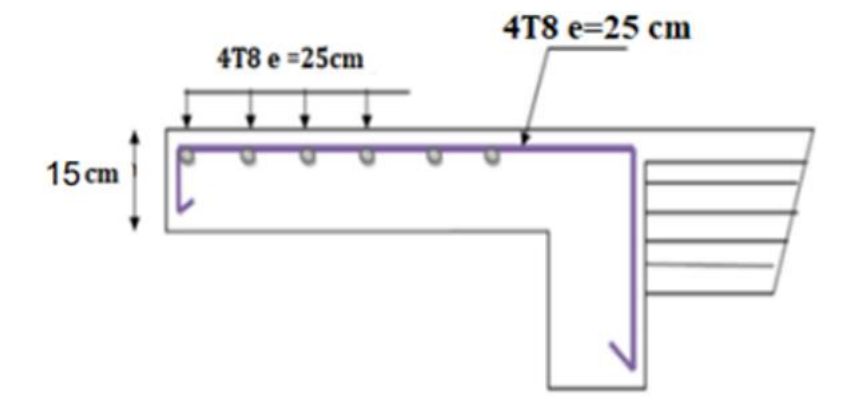


Figure III-6: Schéma de ferraillage du balcon.

Donc : les trois conditions de la flèche sont vérifier donc le calcul de la flèche ne s'impose pas

#### III.4. Calcul des escaliers

#### III.4.1. Définition

Les escaliers constituent la famille la plus employée des circulations verticales. En effet, quel que soit le type de bâtiment, ils sont indispensables soit à titre de circulation principale, comme dans une maison individuelle, soit à titre de circulation de service ou de secours dans un immeuble collectif ou dans un établissement recevant du public. Plusieurs dispositifs permettent de passer d'un niveau à un autre, en fonction de la dénivellation et de la longueur disponible, c'est-à-dire de l'inclinaison de la pente la plus faible à la plus inclinée.

# III.4.2. Combinaison des charges

Les escaliers étudient pour une bonde de 1 m.

Palliasse:

$$G_1 = 7.90 \text{ KN/m}^2 = 7.90 \times 1 \text{m} = 7.90 \text{ KN/m} 1$$

$$Q = 2.5 \text{ KN/m}^2 = 2.5 \times 1 \text{m} = 2.5 \text{ KN/ml}$$

Palier:

$$G_2$$
= 5.28 KN/m<sup>2</sup> = 5.28× 1m = 5.28 KN/ml

$$Q = 2.5 \text{ KN/m}^2 = 2.5 \times 1 \text{m} = 2.5 \text{ KN/ml}$$

$$ELU : P_u = 1,35 G + 1,5 Q$$

$$ELS: P_{ser} = G + Q$$

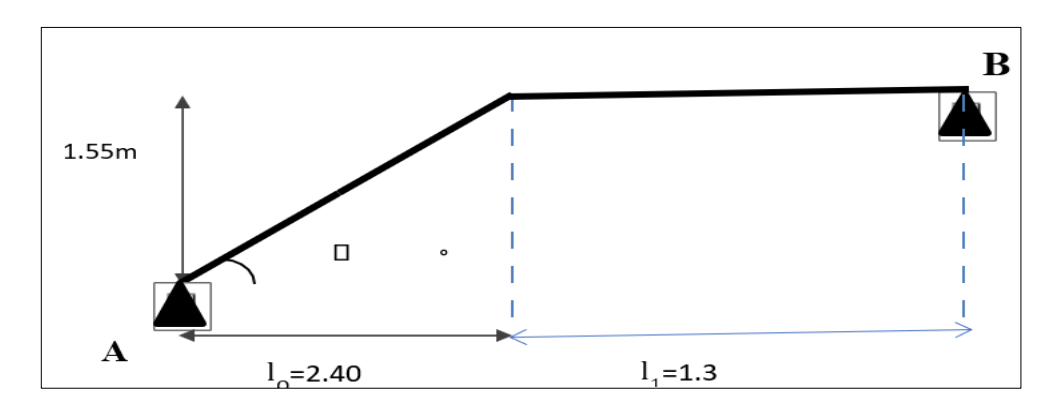


Figure III-7: Coupe en Elévation de l'Escalier.

L'escalier travaille à la flexion simple en considérant la dalle comme une poutre uniformément chargée et en tenant des types d'appuis sur lesquels elle repose. Pour déterminer les sollicitations, on a deux méthodes de calcul qui sont les suivantes :

- La méthode des charges équivalentes.
- La méthode R.D.M

## III.4.2.1. Calcul des charges à l'ELU et l'ELS

Le calcul se fait pour une bande de 1ml.

#### ⇒ELU:

## a) Palier

$$q_u = (1.35G + 1.5Q) \ 1m = (1.35 \times 5.28 + 1.5 \times 2.5 \ ) \ 1 = 10.89 \ KN/m$$
 
$$q_u = 10.89 \ KN/m$$

## b) Palliasse

$$\begin{aligned} q_u &= (1.35G + 1.5Q) \ 1m = (1.35 \times 7.90 + 1.5 \times 2.5 \ ) \ 1 = 14.43 \ KN/m \\ q_u &= 15.08 \ KN/m \\ \Rightarrow &\textbf{ELS} \ : \end{aligned}$$

#### a) Palier

$$q_u \!\! = (G+Q) \ 1 \ m = ((5.28{+}2.5 \ ) \ 1 = 7.78 \ KN/m$$
 
$$q_u \!\! = 7.78 \ KN$$

## b) Palliasse

$$\begin{aligned} q_u &= (G+Q) \ 1 \ m = (7.90 \ +2.5 \ ) \ 1 = 10.41 \ KN/m \\ \\ q_u &= 10.41 KN \end{aligned}$$

Tableau III-4: Combinaisons des charges d'escalier.

Combinaisons	Palliasse (KN/ml)	Palier (KN/ml)
ELU	14.43	10.89
ELS	10.41	7.78

# III.4.2.2. Diagrammes des moments fléchissant et efforts tranchants

#### Paillasse 1:

#### ELU:

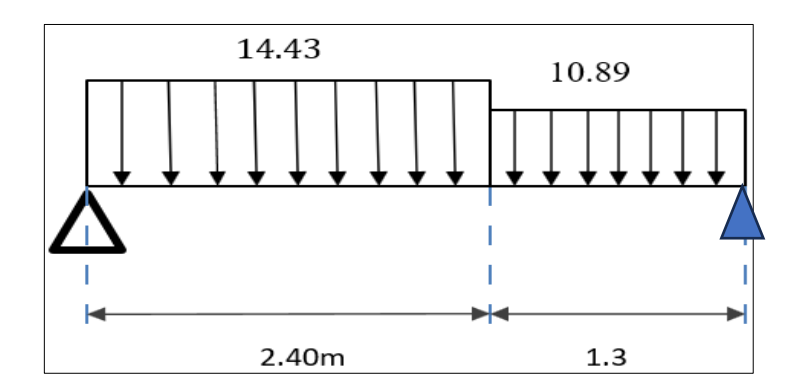


Figure III-8: Schéma Statique de l'Escalier

## a. Calcul des réactions

#### **ELU**

$$\sum M/A = 0 \Rightarrow 3.7x \text{ RB} - 10.89 \times 1.3 \times (\frac{1.3}{2} + 2.4) - 14.43 \times \frac{2.4^2}{2}$$

$$RB = 22.90 KN$$

$$\sum FV = 0 \Rightarrow RA + RB = (14.43 \times 2.4) + (10.89 \times 1.3)$$

#### b. Calcul des moments et efforts tranchants :

# **ELU**

# Coupe A-A' Pour : $0 \le x \le 2.4$ m

Effort tranchant

$$\sum F_V = 0$$
  $T(x) = -14.43 x + 25.89$ 

$$x = 0 \rightarrow T (x) = 25.89 \text{ KN}$$

$$x = 2.4 \rightarrow T (x) = -8.74 \text{ KN}$$

Moment fléchissant:

$$\sum M/A = 0 \Rightarrow M(x) = -14.43 \frac{x^2}{2} + 25.89x$$

$$x = 0 \rightarrow M(x) = 0 \text{ KN.m}$$

$$x = 2.40 \rightarrow M (x) = 20.58 \text{ KN.m}$$

# Coupe B-B' Pour : $0 \le x \le 1.3$ m

Effort tranchant

$$\sum FV = 0 \Rightarrow T(x) = 10.89 \text{ x} - 22.9$$

$$x = 0 \rightarrow T (x) = 22.9 \text{ KN}$$

$$x = 1.3 \rightarrow T (x) = -8.74 \text{ KN}$$

Moment fléchissant:

$$M(x) = 22.9x - 10.89 \frac{x^2}{2}$$

$$x = 0 \rightarrow M(x) = 0 \text{ kN.m}$$

$$x = 1.3 \rightarrow M(x) = 20.57 \text{kN.m}$$

**ELS** 

$$\sum M/A = 0 \Rightarrow 3.7 \text{ x RB} - 7.78 \times 1.3 \times (\frac{1.3}{2} + 2.4) - 10.41 \times \frac{2.4^2}{2}$$

$$\Rightarrow$$
 RB= 16.44 KN.

$$\sum FV = 0 \Rightarrow RA + RB = 10.41 \times 2.4 + 7.78 \times 1.3$$

$$\Rightarrow$$
 RA+ RB=35.1 KN

$$\Rightarrow$$
 RA=18.66 KN

# Coupe A-A' Pour : $0 \le x \le 2.4$ m

Effort tranchant

$$\sum FV = 0 \Rightarrow T(x) = 18.66 - 10.41 \text{ x}$$

$$x = 0 \rightarrow T (x) = 18.66 \text{ KN}$$

$$x = 2.4 \rightarrow T (x) = -6.32 \text{ KN}$$

Moment fléchissant:

$$\sum M/A = 0 \Rightarrow M(x) = 18.66 \text{ x} - 10.41 \frac{x^2}{2}$$

$$x = 0 \rightarrow M(x) = 0 \text{ KN.m}$$

$$x = 2.4 \rightarrow M (x) = 14.80 \text{ KN.m}$$

Coupe B-B' Pour :  $0 \le x \le 1.3$  m

Effort tranchant

$$\sum FV = 0 \Rightarrow T(x) = -16.44 + 7.78 \text{ x}$$

$$x = 0 \rightarrow T (x) = -16.44 \text{ KN}$$

$$x = 1.3 \rightarrow T (x) = -6.33 \text{ KN}$$

Moment fléchissant:

$$M(x) = 16.44x - 7.78 \frac{x^2}{2}$$

$$x = 0 \rightarrow M(x) = 0 \text{ KN.m}$$

$$x = 1.3 \rightarrow M(x) = 14.8. m$$

On prend la valeur maximale de moment et d'effort tranchant

Le moment sur appuis :  $M_a = (0.3, 0.5) M_0$ 

Le moment sur travée :  $M_t$ = (0.7, 0.85)  $M_0$ 

## ELS:

#### 2/ Moment en travée :

$$M_t\!=0.85~M_0$$

$$M_{st} = 0.85 \times 16.72 = 14.72 \text{ KN.m}$$

#### 1. Moment sur appuis :

 $Ma = 0.5 M_0$ 

$$M_{sa}\!\!=0.5\times16.72\!\!=\!\!8.36\;KN.m$$

## 2. Effort tranchant:

Tu=18.66KN

**Tableau III-5:** Tableau récapitulatif des sollicitations

Désignation	Mo (KN.m)	Ma = 0.5 Mo	Mt = 0.85 Mo	Tu (KN)
ELU	23.23	11.615	19.75	25.89
ELS	16.72	8.36	14.21	18.66

#### Paillasse 2:

Tableau III-6: Les charges d'escalier

Combinaisons	ELU	ELS
Palier (KN/ml)	10.89	7.78
Volée (KN/ml)	14.43	10.41

Tableau III-7: Tableau récapitulatif des sollicitations

Désignation	M <sub>0</sub> (KN.m)	Ma = 0.5Mo	$\mathbf{Mt} = 0.85 \; \mathbf{M_0}$	T <sub>u</sub> (KN)
E.L.U	23.23	11.615	19.75	25.89
E.L.S	16.72	8.36	14.21	18.66

# III.4.2.3. Calcule de ferraillage

# **Armatures longitudinales**

## \* Travée

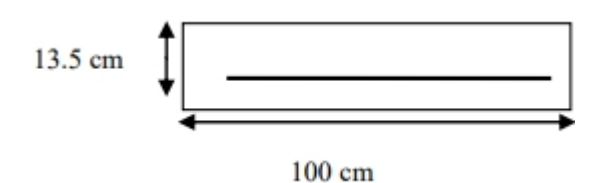
$$F_{bu} = \frac{0.85 * f_{c28}}{\gamma_b} = \frac{0.85 * 25}{1.5} = 14.2 \text{ MPa}$$

$$F_s = \frac{f_e}{\gamma_b} = \frac{400}{1.5} = 348 \text{ MPa}$$

$$\mu = \frac{M_U}{b \ d^2 fbu} = \frac{19.75 \times 10^3}{14.2 \times 135 \times 1} = 0.076 < 0.392$$

$$A's=0$$

Section simplement armé.



$$\alpha = 1.25(1 - \sqrt{1 - 2\mu})$$

$$\alpha = 1.25(1 - \sqrt{1 - 2 \times 0.076})$$

$$\alpha = 0.099$$

$$\beta = (1 - 0.4\alpha) = 0.96$$

$$A_S = \frac{M_U}{\beta \times d \times \sigma_S} = \frac{19.75 \times 10^6}{348 \times 0.96 \times 135} = 4.38 \text{ cm}^2$$

#### **Conditions de non fragilité**

$$A = max \left\{ \frac{b \times h}{1000}, 0.23 \times bd \times \frac{f_{t28}}{f_e} \right\} = max \left\{ \frac{100 \times 15}{1000}, 0.23 \times 100 \times 13.5 \times \frac{2.1}{400} \right\}$$

$$A_{min} = max (1.63; 1.5) cm^2$$

$$A_s = (A_{min} . A_{cal}) \square A_s = max (1.63, 4.38)$$

$$A_{min} \square 1.63 \text{ cm} \square 4.52 \text{ cm}$$

Donc As = 
$$4.38 \square 5HA12 = 4.52 \text{ cm}^2$$

Espacement

$$S_t \le \{3ep; 33cm\} = 33cm$$

$$S_t = \frac{100}{4} = 25 \text{ cm}$$

# **Armature de répartition**

$$A_r = \frac{A_s}{4} = \frac{4.52}{4} = 1.13 \text{ cm}^2$$

On pond 3HA10; 2.36 cm

# **\*** Espacement entre les armatures

$$S_t \le \min\{4h; 45cm\} = \min\{60; 45\}$$

$$S_t \le 45cm$$

$$S_t = 25 \ cm$$

# **❖** Ferraillage aux appuis

$$M_u = 11.615 \text{ KN.m}$$

$$\mu = \frac{11.615 \times 10^3}{14.2 \times 100 \times 13.5^2} = 0.045 < 0.392$$

$$A'=0$$

$$\alpha = 1.25(1 - \sqrt{1 - 2\mu})$$

$$\alpha = 1.25(1 - \sqrt{1 - 2 \times 0.045})$$

$$\alpha = 0.058$$

$$\beta = (1 - 0.4\alpha) = 0.98$$

$$A_u = \frac{M_U}{\beta \times d \times \sigma_s} = \frac{19.75 \times 10^6}{348 \times 0.98 \times 135} = 2.53 \text{ cm}^2$$

$$A_u = 2.53 \text{ cm}^2$$

Condition de non fragilité

$$A_{min} = max \left\{ \frac{b \times h}{1000}, 0.23 \times bd \times \frac{f_{t28}}{f_e} \right\}$$

$$A_{min} = max\{2.53; 1.63\}$$

$$A_{min} < A_s = 2.53$$

On prend: **3HA12 S=3.39 cm<sup>2</sup>** 

# **\*** Espacement

$$S_t \le \{3ep; 33cm\} = 33cm$$

$$S_t = \frac{100}{4} = 25$$
cm

# **❖** Armature de répartition

$$A_r = \frac{A_s}{4} = \frac{2.53}{4} = 0.84 \text{ cm}^2$$

On prend: **2HA10**;  $S = 1.57cm^2$ 

# \* Armature de répartition

$$A_r = \frac{A_s}{4} = \frac{4.52}{4} = 1.13 \text{ cm}^2$$

On prend 3HA10; 2.36 cm

# **Service** Espacement entre les armatures

$$S_t \le \min\{4h; 45cm\} = \min\{60; 45\}$$

$$S_t \le 45 cm$$

$$S_t = 25 cm$$

# ELS:

On vérifie que : 
$$\sigma_{b=} \frac{M_{ser}}{l} y \le \overline{\sigma_{bc}}$$

La position de l'axe neutre :

$$\frac{b}{2} \times y^2 + n \times A_s'(y - c') - n \times A_s(d - y) = 0$$

Avec: n=15

$$h \times A's(y-c')=0$$

Travée:

$$\frac{100}{2}$$
  $y^2 - 15 \times 4.52 \times (13.5-y) = 0$ 

$$y^2 + 1.35y - 18.30 = 0$$

$$Y = 3.65 \text{cm}^2$$

Détermination du moment d'inertie :

$$I = \frac{b \times y^3}{3} + n \times A_s (d - y)^2$$

$$It = \frac{100 \times 3.65^3}{3} + 15 \times 4.52 \times (13.5 - 3.65)^2 = 8199.02 \text{cm}^2$$

$$\delta_b = \frac{14.21 \times 10^5 \times 3.65}{8199.02} = 0.063 \text{cm}^2$$

Tableau III-8: Vérification des contraintes à l'ELS.

	Mser (KN.m)	As (cm <sup>2</sup> )	Y (cm)	I (cm <sup>4</sup> )	σ <sub>bc</sub> (MPa)	$\sigma_{bc} \leq \overline{\sigma_{bc}}$
Travée	14.21	4.52	3.65	8199.02	6.32	
Appuis	8.36	3.39	3.23	6486.57	4.16	CV

# ❖ Vérification de la contraint de cisaillement

$$T_{max} = 18.66$$

$$au_u \leq \overline{ au_u}$$
 
$$au_u = \frac{v_u}{b \times d} = \frac{18.66 \times 10^3}{135 \times 1000} = 0.138 \text{ MPa}$$

La fissuration est considérai comme peu préjudiciable

$$\overline{\tau_u} = min\left\{0.2 \times \frac{f_{c28}}{\gamma_b}; 5MPa\right\} = min\{3.33MPa; 5MPa\}$$

$$\tau_u = 0.138 < 3.33 \rightarrow CV$$

#### Vérification de la flèche

La vérification de la flèche n'est pas nécessaire si les conditions suivantes sont vérifiées (B.A.E.L.91modifié99) :

Note: Mt: c'est le moment en travées a l'ELS.

$$\frac{h}{l} \ge \frac{1}{16} \Rightarrow \frac{15}{370} = 0.038 \le 0.0625 \to CNV$$

$$\frac{h}{l} \ge \frac{M_T}{10M_0} \Rightarrow 0.035 > \frac{18.94}{10 \times 30.9} \Leftrightarrow 0.038 > 0.061 \to CNV$$

$$\frac{A}{b.d} \le \frac{4.2}{f_e} \Leftrightarrow \frac{A}{b.d} = \frac{6.79}{100 * 14.4} = 0.0047 \le \frac{4.2}{f_e} = 0.0105 \to CV$$

Donc il y'a un risque de la flèche : Il faut que

## **\*** Evaluation des flèches (BAEL91 B.6.5, 2) :

La part de la flèche totale ft qui doit être comparée aux limites admissibles a pour valeur

$$\Delta f_t = f_{g\nu} - f_{ji} + f_{pi} - f_{gi} \le \overline{f} = \frac{l}{500}$$

Avec:

:

- Les flèches  $f_{gi}$  et  $f_{gv}$  dues à l'ensemble des charges permanentes.
- La flèche  $f_{ji}$  due aux charges permanentes appliquées au moment de la mise en œuvre des cloisons.
- La flèche  $f_{pi}$  due à l'ensemble des charges permanentes et d'exploitation supportée par l'élément considéré.

#### Position de l'axe neutre :

$$b \times y_1^2 - 30(A + A')y_1 - 30(d \times A - d' \times A') = 0$$
  $y_1 = 3.65$ cm $> 0....$ CV

Le moment d'inertie de la section homogène par rapport l'axe neutre s'écrit :

$$I = \frac{b \times y_1^3}{3} + 15 \times [A \times (d - y_1)^2 + A' \times (y_1 - d^2)]$$

I=13019.79cm<sup>4</sup>; d=13.5cm; h=15cm; As=4.52cm<sup>2</sup>; b=100cm;  $f_{t28}=2.1$  MPa.

**❖** Calcule le moment d'inertie de la section homogène I₀:

$$I_0 = \frac{bh^3}{12} + bh \left[ \frac{h}{2} - V \right]^2 + 15A_s(d - V)^2 V = \frac{\left[ \frac{bh^2}{2} + 15A_s d \right]}{bd + 15A_s}$$

$$V = \frac{\left[\frac{100 \times 15^2}{2} + 15 \times 4.52 \times 13.5\right]}{100 \times 13.5 + 15 \times 4.52}$$

V = 8.58cm

$$I_0 = \frac{100 \times 13.5^3}{12} + 100 \times 16 \left[ \frac{15}{2} - 8.58 \right]^2 + 15 \times 4.52(13.5 - 8.58)^2$$

$$I_0 = 31515.79cm^4$$

Déformation instantanée :

Déformation instantanée :

$$\lambda = \lambda_i = \frac{0.05 f_{t28}}{(2 + 3\frac{b_0}{b})\rho}$$

$$\rho = \frac{A_s}{b_0 \times d} = \frac{4.52}{100 \times 13.5} = 0,003$$

$$\lambda_i = \frac{0.05 \times 2.1}{(2+3)0.003} = 7$$

$$\lambda_V = \frac{2}{5}\lambda_i = 2.8$$

$$E_i = 11000\sqrt[3]{f_{c28}} = 32164,2 \text{MPa}$$

$$E_v = \frac{1}{3}E_i = 10721,4MPa$$

\* Calcul les moments fléchissant à ELS:

Calcul 
$$(f_{gi}; f_{gv})$$
:

$$\sigma_{S} = \frac{15. M_{S}(d - y)}{I}$$

$$\sigma_{S} = \frac{15 * 10.14 * (13.5 - 3.65)}{8199.02}$$

$$\sigma_{S} = 182.73$$

$$\mu = 1 - (\frac{1.75 f_{t28}}{4\rho\sigma_s + f_{t28}})$$

$$\mu = 0.14$$

$$I_f = \frac{1.1I_0}{1 + \lambda\mu}$$

$$I_{fgi} = \frac{1.1I_0}{1 + \lambda_i \mu} = \frac{1.1 * 31515.79}{1 + (7 * 0.14)}$$

$$I_{fai} = 17508.77cm^4$$

$$I_{fgv} = \frac{1.1I_0}{1 + \lambda_v \mu} = \frac{1.1 * 31515.79}{1 + (2.8 * 0.14)}$$

$$I_{fav} = 24904.72cm^4$$

$$f_i = \frac{M * L^2}{10 * E_i * I_{fi}} = \frac{10.14 * 10^6 * (3.7 * 10^3)^2}{10 * 32164.2 * 17508.77 \times 10^4}$$

$$f_{gi} = 2.46$$

$$f_i = \frac{M * L^2}{10 * E_{\nu} * I_{f\nu}} = \frac{10.14 * 10^6 * (3.7 * 10^3)^2}{10 * 10721.4 * 24904.72}$$

$$f_{gv} = 5.20$$

## **❖** Calcul flèche instantanée (f<sub>ji</sub>)

Palier : 
$$q = 3.5$$

$$Ms = 0.85* M_0$$

$$M_0 = (q*l^2)/8$$

$$Ms = 7.93KN.m$$

$$\sigma_s = \frac{15.\,M_s(d-y)}{I}$$

$$\sigma_s = \frac{15 * 7.93 * (13.5 - 3.65)}{8199.02}$$

$$\sigma_s = 133.17MPa$$

$$\mu = 1 - (\frac{1.75 f_{t28}}{4\rho \sigma_s + f_{t28}})$$

$$\mu = 0.0062$$

$$I_f = \frac{1.1I_0}{1 + \lambda\mu}$$

$$I_{fji} = \frac{1.1I_0}{1 + \lambda_i \mu} = \frac{1.1 * 31515.79}{1 + (0.0062 * 7)}$$

$$I_{fji} = 33225.39cm^4$$

$$f_i = \frac{M * L^2}{10 * E_i * I_{fi}} = \frac{7.39 * 10^6 * (3.7 * 10^3)^2}{10 * 32164.2 * 33225.39}$$

$$f_{ji} = 0.95$$

# \* La flèche due la combinaison de :

$$Q+G=f_{pi}$$
 $Palier: q_p=5.28+2.5=7.78$ 
 $Paillasse: q_p=7.90+2.5=10.4$ 
 $M_s=13.79KN.m$ 
 $\sigma_S=248.50MPa$ 
 $\mu=0.28$ 
 $f_{pi}=5.01$ 
 $\Delta f=f_{gv}-f_{ij}+f_{pi}-f_{gi}$ 
 $\Delta f=5.2-0.95+5.01-2.46$ 
 $\Delta f=6.8$ 

## D'après BAEL 91 Article (B.6.5.3):

$$\Delta f_t = f_{gv} - f_{ji} + f_{pi} - f_{gi} \le \overline{f} = \frac{l}{500}$$
  
 $6.8 \le 7.4.....CV$ 

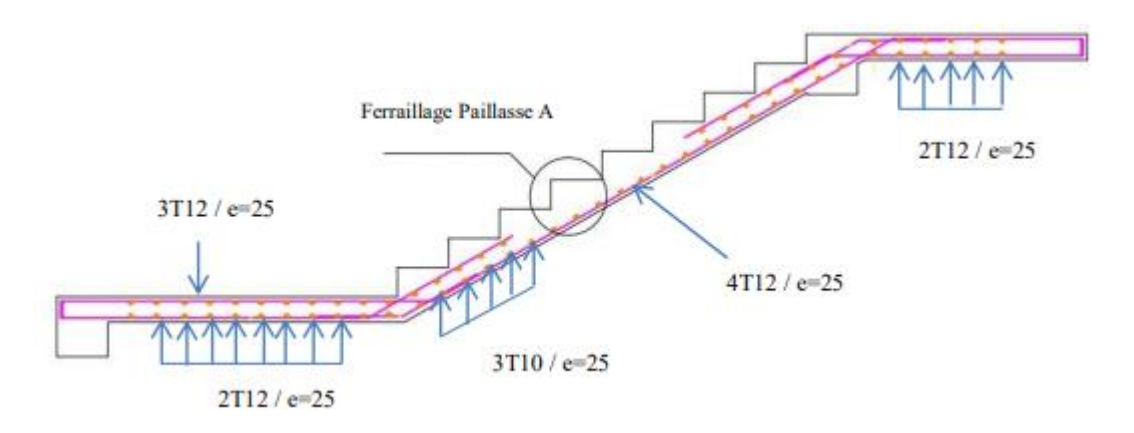


Figure III-9: Schéma de ferraillage d'escalier.

## III.5. Poutre de palière

C'est une poutre partiellement encastrée à l'extrémité dans les poteaux et Soumise à la flexion et à la torsion.

Ces sollicitations sont dues à son poids propre et à l'action du palier.

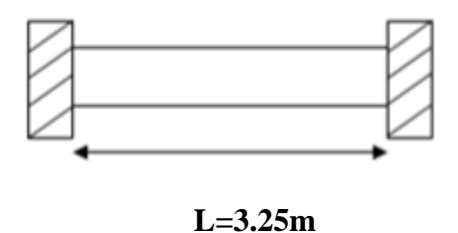


Figure III-10:: La poutre de palière.

#### III.5.1. Evaluation des charges

☐ Le poids propre de la poutre palière :

G pp =
$$0.30 \times 0.35 \times 25 \times 1$$
ml =  $2.625$  KN/m

Poids propre du mur : 
$$P_{mur} = G_{mur} \times H_{mur} = 2.44 \times (\frac{3.10}{2} - 0.40) = 2.76 KN/m$$

L'effort tranchant à l'appui:

#### III.5.2. Combinaison de charges et surcharges

- Calcul des moments et l'effort tranchants

#### **ELU**

$$q_u = 33.16KN/m$$

#### Travée:

$$M_{tu} = \frac{q_u \times l^2}{24} = \frac{33.16 \times 3.25^2}{24} = 14.59 \text{ KN.m}$$

$$M_{tu} = 14.59 \text{ KN.m}$$

#### Appui:

$$M_{au} = \frac{q_u \times l^2}{12} = \frac{33.16 \times 3.25^2}{12} = 29.19$$
KN. m

$$M_{au} = 29.19$$
KN. m

$$Tu = \frac{q_{u \times l}}{2} = \frac{33.16 \times 3.25}{2} = 53.89$$

$$Tu = 53.89KN$$

#### **ELS**

$$q_s = 24.05 KN/m$$

#### Travée:

$$M_{ts} = \frac{q_s \times l^2}{24} = \frac{24.05 \times 3.25^2}{24} = 10.58$$
KN. m

$$M_{ts} = 10.58KN. m$$

#### Appui:

$$M_{as} = \frac{q_s \times l^2}{12} = \frac{24.05 \times 3.25^2}{12} = 21.17 \text{ KN. m}$$

$$M_{as} = 21.17KN. m$$

$$Tu = \frac{q_{s \times l}}{2} = \frac{24.05 \times 3.25}{2} = 39.08$$

$$Tu = 39.08KN$$

## III.5.3. Ferraillage de la poutre palière

$$\begin{cases}
 b = 30cm \\
 h = 35cm \\
 d = 0.9h = 13.5cm
 \end{cases}$$

# a.1 En travée

$$M_{tu} = 14.59 \ kN.m$$

$$\mu = \frac{M_t}{b*d^2*\sigma_{bc}} = \frac{14.59 \times 10^3}{1000 \times 31.5^2 \times 14.2} = 0.01 < 0.392$$

$$\mu = 0.01 < \mu_R = 0.392 \implies A'_S = 0$$

$$\alpha = 1.25. (1 - \sqrt{1 - 2 * 0.01}) = 0.013$$

$$\beta = (1 - 0.4 * 0.013) = 0.99$$

$$A_S = \frac{M_u}{\beta \times d \times \sigma_S} = \frac{14.59 \times 10^3}{0.99 \times 31.5 \times 348} = 1.34 cm^2$$

## Condition de non fragilité

$$A\min \ge 0.23 \times b \times d \times \frac{f_{t28}}{f_o}$$

$$F_{t28} = 0.6 + 0.06 f_{c28} = 2.1$$

$$A_{min} \ge 0.23 \times 30 \times 31.5 \times \frac{2.1}{400} = 1.14 \text{ cm}^2$$

$$A_{min} = 1.14 \text{ cm}^2$$

Donc: As =  $\max (Acal = 1.34 \text{ cm}^2; Amin = 1.14 \text{ cm}^2)$ 

On adopte : 3HA12 soit As = 3.39cm<sup>2</sup>

## a.2 Sur appuis

$$M_{au} = 29.19 \ kN.m$$

$$\mu = \frac{M_t}{b * d^2 * \sigma_{bc}} = \frac{29.19 \times 10^3}{1000 \times 31.5^2 \times 14.2} = 0.021 < 0.392$$

$$\mu = 0.021 < \mu_R = 0.392 \implies A'_s = 0$$

$$\alpha = 1.25. (1 - \sqrt{1 - 2 * 0.021}) = 0.027$$

$$\beta = (1 - 0.4 * 0.027) = 0.99$$

$$A_s = \frac{M_u}{\beta \times d \times \sigma_s} = \frac{29.19 \times 10^3}{0.99 \times 31.5 \times 348} = 2.69 cm^2$$

## Condition de non fragilité

$$A_{\min} \ge 0.23 \times b \times d \times \frac{f_{t28}}{f_e}$$

$$F_{t28} = 0.6 + 0.06f_{c28} = 2.1$$

$$A_{min} \ge 0.23 \times 30 \times 31.5 \times \frac{2.1}{400} = 1.14 \text{ cm}^2$$

$$A_{min} = 1.14 \text{ cm}^2$$

Donc As =  $\max (Acal = 2.69 \text{ cm}^2; A\min = 1.14 \text{ cm}^2)$ 

On adopte : 3HA12 soit As = 3.39cm<sup>2</sup>

**Tableau III-9:** Ferraillage de la poutre palière à la flexion simple.

a .:	M	b	d			Z	$\mathbf{A}_{\mathrm{cal}}$	$A_{min}$	<b>A</b> (2)
Sections	(KN.m)	(cm)	(cm)	μbu	$oldsymbol{lpha}_{ m u}$	(mm)	( <b>cm</b> <sup>2</sup> )	(cm <sup>2</sup> )	A <sub>adopt</sub> (cm <sup>2</sup> )
Travée	14.59	30	31.5	0.01	0.013	313.36	1.34	1.14	3HA12=3.39
Appuis	29.19	30	31.5	0.021	0.027	311.59	2.69	1.14	3HA12=3.39

## **\*** Vérifications

-Vérification de l'effort de tranchant « cisaillement » à la flexion simple

$$T_{max} = 53.89$$

$$\tau_u \leq \overline{\tau_u}$$

$$\tau_u = \frac{v_u}{b \times d} = \frac{53.8 \times 10^3}{135 \times 300} = 0.57 MPa$$

-La fissuration est considérée comme peu préjudiciable

$$\overline{\tau_u} = min\left\{0.2 \times \frac{f_{c28}}{\gamma_b}; 5MPa\right\} = min\{3.33MPa; 5MPa\}$$

$$\tau_u = 0.57 < 3.33 \rightarrow CV$$

Pas de risque de rupture par cisaillement, donc les armatures transversales ne sont pas nécessaires

Espacement

D'après CBA93 (Article A.5.1.2.2 et A.5.1.2.3)

$$St \le min (0.9d; 40 cm) = min (28.35 cm; 40 cm) = 28.35 cm$$

$$St = 15 \le 33 \text{ cm} \dots CV$$

Armatures transversales

$$A_t = \frac{0.4 \times b \times S_t}{f_e} = \frac{0.4 \times 0.3 \times 15}{400} \rightarrow A_t \ge 0.45 \text{cm}^2$$

$$A_{t} \ge \frac{b \times S_{t} \times \gamma_{s}(\tau_{u} - 0.3 \times f_{t28})}{0.9 \times 400}$$

$$A_t {\geq \frac{30 {\times} 15 {\times} 1.15 (0.57 {-} 0.3 {\times} 2.1)}{0.9 {\times} 400}}$$

 $A_t \ge 0.086$ 

## • Vérification des contraintes à l'ELS

#### **❖** En travée

$$\sigma_{bc=} \leq \overline{\sigma_{bc}}$$

$$\sigma_{bc} = \frac{M_{ser} \times y}{I}$$

$$\overline{\sigma_{bc}} = 0.6 f_{c28}$$

$$\overline{\sigma_{bc}} = 0.6 \times 25 = 15$$
MPa

$$\overline{\sigma_{bc}}$$
 =15MPa

## **&** En travée

Position de l'axe neutre

$$\eta = 15A'_{s} = 0A_{s} = 3.39 \text{cm}^{2}$$

$$\frac{1}{2}by^2 + \eta(y-c')A_s' - \eta(d-y)A_s = 0$$

$$\frac{1}{2} \times 30 \times y^2 - 15(31.5 - y) \times 3.39 = 0$$

$$15y^2 + 50.85y - 1601.78 = 0$$

Moment d'inertie:

$$I = \frac{b \cdot y^3}{3} + 15 \text{As} (d - y)^2$$

$$I = \frac{100 \times 8.78^3}{3} + 15 \times 3.39 \times (31.5 - 8.78)^2 = 3301.05 cm^4$$

Donc:

$$\sigma_{bc} = \frac{M_{ser} \times y}{I} = \frac{10.58 \times 10^6 \times 87.80}{33017.05 \times 10^4} = 2.81 \text{MPa}$$

$$\sigma_{\rm bc} = 2.81 \text{MPa} \le \overline{\sigma_{bc}} = 15 \text{ MPa} \dots \text{CV}$$

## **Sur appuis**

$$M_{as} = 21.17$$

-Position de l'axe neutre

$$\eta = 15$$

$$A_s = 0 = 3.39 \text{ cm}^2$$

$$\frac{1}{2}b\,y^2 + \eta(d-y)A_s - \eta\,(d-y)\,A_s$$

$$\frac{1}{2} \times 30 \times y^2 - 15 \times (31.5 - y) \times 6.79 = 0$$

Tapez une équation ici.

$$15y^2 + 50.85y - 1601.78 = 0$$

Y=8.78cm

-Moment d'inertie

$$I = \frac{1}{3} \times by^{3} + \eta(d - y)A'_{s} + \eta(d - y)A_{s} = 0$$

I=33017.05

Donc:

$$\sigma_{bc} = \frac{M_{ser} \times y}{I} = \frac{21.17 \times 10^6 \times 87.80}{33017.05 \times 10^4} = 5.63 \text{MPa}$$

$$\sigma_{\rm bc} = 5.63 \text{MPa} \le \overline{\sigma_{bc}} = 15 \text{ MPa} \dots \dots \dots \text{CV}$$

**Tableau III-10:** Vérification a l'ELS de la poutre palière.

Sections	M(KN.m)	A <sub>s</sub> (cm <sub>2</sub> )	Y (cm)	I (cm <sup>4</sup> )	$\sigma_{bc}$	$\sigma_{\rm bc} \leq \overline{\sigma_{bc}}$
Travée	10.58	3.39	8.78	33017.05	2.81	vérifié
Appui	21.17	3.39	8.78	33017.05	5.63	vérifié

#### ➤ Vérification de la flèche (BAEL 91(article B.6.5.1))

$$\begin{cases} \frac{h}{l} \ge \frac{1}{16} \\ \frac{h}{l} \ge \frac{M_t}{10 \text{ M}_0} \end{cases} \begin{cases} \frac{0.35}{3.25} = 0.108 \ge \frac{1}{16} = 0.0625 & CV \\ \frac{0.35}{3.25} = 0.108 \ge \frac{M_t}{10 \text{ M}_0} = 0.05 & CV \\ \frac{A_s}{bd} \le \frac{4.2}{f_e} \end{cases} \begin{cases} \frac{3.39}{30 \times 31.5} = 0.003 \le \frac{4.2}{400} = 0.0105 & CV \end{cases}$$

Donc pas de risque de la flèche de flèche de la poutre palière.

## ✓ Calcul la poutre palière à la torsion

## **Armatures longitudinales**

D'après le BAEL 91, dans le cas de la torsion on remplace la section réelle (b  $\times$  h) est remplacée par une section creuse équivalente  $\Omega$  d'épaisseur de la paroi(e =

 $\emptyset/6$ ); ; car des expériences ont montrés que le noyau d'une section pleine ne joue aucun rôle dans l'état limite ultime de torsion. Le moment de torsion provoqué sur la poutre palière est transmis par la volée et le palier.

$$M_{tor} = \frac{Ma \times l}{2}$$
 ;  $Ma = 0.3M_0$ 

Ma : moment d'appui de la paillasse et du palier sur la poutre palière.

$$*Ma = 0.3 \times 23.23 = 6.969 \text{ KN.m}$$

\*Mtor = 
$$\frac{6.969 \times 3.25}{2}$$
 = 11.32 KN.m

Donc:

$$A_{tor} = \frac{M_{torsion} \times U \times \gamma_s}{2 \times \Omega \times f_e}$$

Avec:

 $\Omega$ : Air du contour tracé à mi-hauteur tel que.  $\Omega = (b - e) \times (h - e)$ 

e : Épaisseur de la paroi avec  $e = \emptyset/6$ 

 $\emptyset = \min(b, h)$ : Diamètre du cercle pouvant être inclus dans la section  $(b \times h)$ 

$$\emptyset = \min(30,35) \rightarrow \emptyset = 30 \text{ cm}$$

e =5cm

$$\Omega = 750 \text{ cm}^2$$

U: Périmètre de la section de la poutre palière :

$$U = 2[(b - e) + (h - e)] \rightarrow U = 110$$

$$A_{tor} = \frac{11.32 \times 10^6 \times 1100 \times 1.15}{2 \times 400 \times 75000}.$$
 = 2.39 cm<sup>2</sup>

$$A_{tor}\!=2.39cm^2$$

- Armatures transversales

$$A_{tor} = \frac{M_{torsion \times S_t}}{2 \times \Omega \times f_o}$$

$$A_{tor} = \frac{11.32 \times 10^6 \times 150}{2 \times 400 \times 75000} = 28.3 \text{ mm}^2$$

$$A_{tor}=28.3 \text{ mm}^2$$

Contrainte de cisaillement à la torsion

$$\tau^{\text{tor}} = \frac{M_{torsion}}{2 \times \Omega \times f_e}$$

$$\tau^{\text{tor}} = \frac{11.32 \times 10^6}{2 \times 75000 \times 50} = 1.51 \text{MPa}$$

$$\tau^{\text{tor}}=1.51\text{MPa}$$

On doit vérifier que :

$$\tau^{tor} \leq \overline{\tau_u}$$

$$\tau_{total}^{tor} = \sqrt{(\tau^{flexion})^2 + (\tau^{torsion})^2}$$

$$\tau_{total}^{tor} = \sqrt{(0.57)^2 + (1.51)^2}$$

$$au_{total}^{torsion} = 1.61 \ \mathrm{MPa}$$

- Fissuration peu nuisible

$$\overline{\tau_u} = min\left\{0.2 \times \frac{f_{c28}}{\gamma_b}; 5MPa\right\} = min\{3.33MPa; 5MPa\}$$

$$\tau_u = 1.61 < 3.33 \rightarrow CV$$

Pas de risque de rupture par cisaillement, donc les armatures transversales ne sont pas nécessaires.

- Ferraillage globale

> En travée

$$A_t = A_t^{flexion} + \frac{A_t^{torsion}}{2} = 1.34 + \frac{2.39}{2} = 2.54 \text{cm}^2$$

On adopte:  $A_t=3HA12=3.39cm^2$ 

> Sur appuis

$$A_t = A_t^{flexion} + \frac{A_t^{torsion}}{2} = 2.69 + \frac{2.39}{2} = 3.89 \text{cm}^2$$

On adopte :  $A_t=3HA14=4.62cm^2$ 

- Armatures transversales

$$At = A_t^{flexion} + A_t^{torsion}$$

Flexion

$$A_{tor} = \frac{0.4 \times b \times s_t}{f_e} = \frac{0.4 \times 30 \times 15}{400} \rightarrow A_t \ge 0.45$$

$$A_{tor} \ge \frac{30 \times 15 \times 1.15(0.57 - 0.3 \times 2.1)}{0.9 \times 400} \rightarrow A_{tor} \ge 0.086 \text{ cm}^2$$

$$A_t = max (0.45; 0.086) = 0.45 cm^2$$

Torsion

$$A_t = \frac{0.4 \times e \times S_t}{f_e} = \frac{0.4 \times 5 \times 15}{400} \rightarrow A_t \ge 0.075 \text{ cm}^2$$

$$A_{t} = \frac{M_{torsion} \times S_{t}}{2 \times \Omega \times f_{e}} = \frac{11.32 \times 10^{6} \times 150}{2 \times 75000 \times 400} = 28.3 \text{mm}^{2}$$

$$A_t = 0.28 \text{cm}^2$$

Donc :  $A_t$ =0.45+0.28=0.73 cm<sup>2</sup>

Soit un cadre et un étrier A<sub>t</sub>=4HA8=2.01cm<sup>2</sup>.

# • Vérification des armatures longitudinales au cisaillement

$$A_{tor} > \left(T_u + \frac{M_u}{0.9d}\right) \times \frac{\gamma_s}{f_e}$$

$$A_{tor} > \left(53.89 + \frac{14.59 \times 10^6}{0.9 \times 315}\right) \times \frac{1.15}{400} = 148.11 \text{mm}^2 = 1.48 \text{cm}^2$$

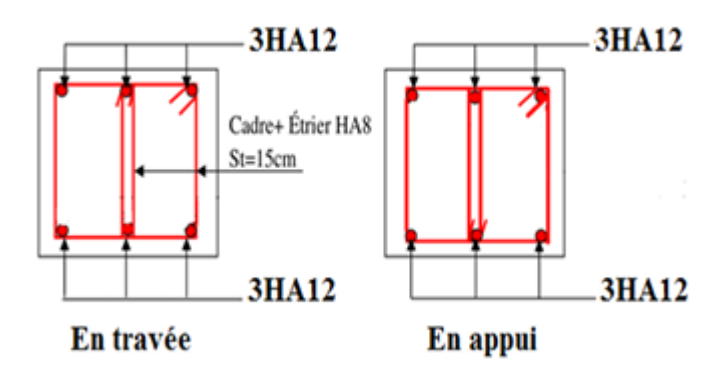


Figure III-11: Schéma de ferraillage de la poutre palière

## III.6. Calcul les planchers

Le rôle des planchers dans la structure Ils supportent les charges verticales, les transmettent aux éléments porteurs et aussi ils isolent les différents étages du point de vue thermique et acoustique.

On peut considérer les corps creux comme des poids morts n'interviennent pas dans la résistance de l'ouvrage.

## **❖ Planchers à corps creux** (16+4=20cm)

Plancher = Poutrelles + Corps creux + Dalle de compression.

#### III.6.1. Calcul des poutrelles

Les poutrelles sont calculées en flexion simple, comme des poutres sur plusieurs appuis.

## III.6.1.1. Disposition des poutrelles

La disposition des poutrelles se fait suivant deux critères :

- Critère de la petite portée : Les poutrelles sont disposées parallèlement à la plus petite portée.
- Critère de continuité : Si les deux sens ont les mêmes dimensions, alors les poutrelles sont disposées parallèlement au sens du plus grand nombre d'appuis
  - . Dans notre cas les poutrelles sont disposées selon le deuxième critère.

## III.6.1.2. Dimensions de la poutrelle :

b = 65 cm

 $b_1 = 27.5 \text{ cm}$ 

h = 20 cm

 $h_0 = 4$  cm

 $b_0 = 10 \text{ cm}$ 

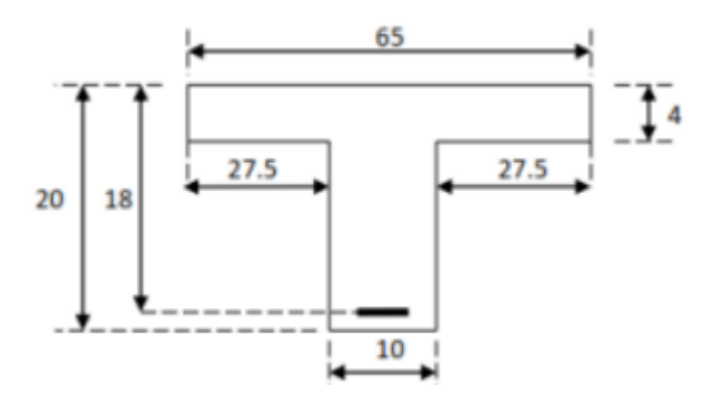


Figure III-12: Schéma d'une poutrelle

# III.6.1.3. Les différents types des poutrelles

# **Type 1:**

# III.6.1.4. Calcul les sollicitations des charges et les sur charges des poutrelles

# Les charges

## \* Plancher terrasse

$$G = 6.36 \times 0.65 = 4.144 \text{ KN/m}^2$$

$$Q = 1 \times 0.65 = 0.65 \text{ KN/m}^2$$

# \* Plancher étage courant +RDC

$$G = 5.10 \times 0.65 = 4.13 \ KN/m^2$$

$$Q = 1.5 \times 0.65 = 0.975 \ KN/m^2$$

# Les surcharges :

\* Plancher terrasse:

$$q_u = 1.35 G + 1.5 Q$$

$$q_u = 6.56 \text{ KN/m}^2$$

$$q_s = 4.78 KN/m^2 \,$$

\* Plancher étage courant +RDC :

$$q_u = 1.35 G + 1.5 Q$$

$$q_u=5.94\ KN/m^2$$

$$q_S = 4.29 KN/m^2$$

Tableau III-11: Les combinaisons d'action

Désignation	ELU (KN/m²)	ELS(KN/m²)
Terrasse	6.56	4.78
Etage + RDC	5.94	4.29

#### III.6.1.5. Chois de la Méthode de calcul:

Pour le calcul des efforts internes dans les poutrelles. Ces dernières sont considérées comme poutres continues sur plusieurs appuis, on utilise l'une des deux méthodes simplifiées.

- La méthode forfaitaire.
- La méthode de Caquot ou Caquot minorée.

#### III.6.1.5.1. Méthode forfaitaire : (art.3.III.4. BAEL91/99) [1].

### 1. Domaine d'application

Pour déterminer les moments en appui et en travée, il est possible d'utiliser la méthode forfaitaire silles quatre conditions suivantes sont vérifiées :

- plancher à surcharge modérée ( $Q \le max (2G, 5KN/m^2)$ ).
- le rapport entre deux travées successives :  $0.8 \le \frac{li}{li+1} \le 1.25$ .
- le moment d'inertie constant sur toutes les travées.
- fissuration peu nuisible (F.P.N)

### 2. Principe de la méthode

- •M<sub>0</sub> La valeur maximale du moment fléchissant dans la « travée de comparaison »
- ${}^{ullet}M_e$  et  $M_w$  : Respectivement les valeurs absolues des moments sur appuis de gauche et de droite dans la travée considérée ;
  - •Mt: le montant maximal en travée dans la travée considérée ;
- • $\alpha$ : Le rapport des charges d'exploitations à la somme des charges permanentes et des charges d'exploitation  $\alpha = \frac{Q}{Q+G}$

Les valeurs des moments M<sub>t</sub>, M<sub>e</sub> et M<sub>w</sub> doivent vérifier les conditions suivantes :

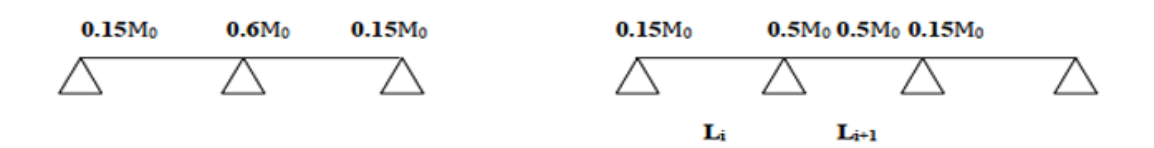
$$ightharpoonup Mt + \frac{Mw + Me}{2} \ge \max \begin{cases} (1 + 0.3\alpha)M_0 \\ 1.05M_0 \end{cases}$$
 dans le cas général

$$ightharpoonup Mt \ge \frac{(1.2+0.3\alpha)M0}{2}$$
 dans le cas d'une travée

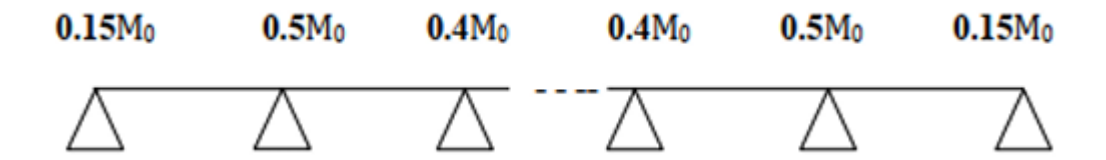
$$ightharpoonup Mt \ge \frac{(1.2+0.3\alpha)M0}{2}$$
 dans le cas d'une travée intermédiaire

#### ⇒En appuis:

Cas de 02 travées : Cas de 03 travées :



Pour à plus de 3 travées :



#### **⇒** Les efforts tranchants

En supposant la discontinuité entre les travées. Dans ce cas l'effort tranchant hyperstatique est confondu avec l'effort tranchant isostatique sauf pour le premier appui intermédiaire où l'on tient compte des moments de continuité en majorant l'effort tranchant isostatique  $V_0$  avec :

15 % pour une poutre à deux travées et 10 % pour une poutre à plus de deux travées.

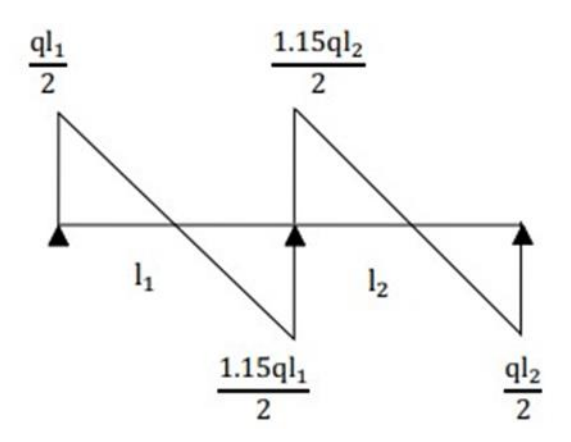


Figure III-13: Effort tranchant d'une poutre à de 2 travées

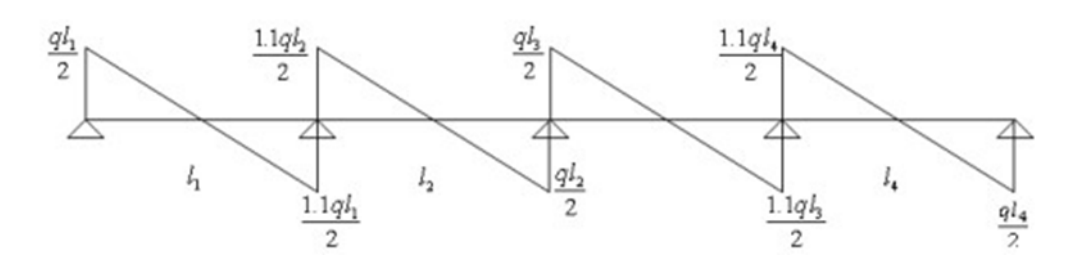


Figure III-14: Effort tranchant d'une poutre à plus de 2 travées

## III.6.1.5.2. Méthode de Caquot BAEL 91 (Annexe E.2) [1]

#### 1. Domaine d'applications: BAEL 91(article B.6.2.2.20)

Lorsque l'une des conditions précédentes n'est pas satisfaite, ou si le plancher supporte des surcharges élevées (Q ≥ min (2 G, 5 KN/m²)), on applique la méthode de Caquot.

Le principe repose sur la méthode des trois moments simplifiée et corrigée pour tenir compte de :

- La variation des moments d'inerties des sections transversales le long de la ligne moyenne de la poutre.
  - L'amortissement des efforts de chargement des travées successives.

#### 2. Application de la méthode :

⇒ Moment sur appuis : BAEL 91(article E.2.2.1)

Le moment aux appuis est donné par l'expression suivante (sous charge répartie):

$$Mi = \frac{q'g \times Lg'^3 + q'd \times Ld'^3}{8.5(L'g + L'd)}$$

Tel que:

$$L' = \begin{cases} -0.8 \, L & trav\'{e} \ interm\'{e}diaire \\ L & trav\'{e} \ de \ rive \end{cases}$$

Moment en travée : BAEL 91(article E.2.2.2)

$$M_t(x) = M0(x) + Mg \left(1 - \frac{x}{L}\right) + Md \times \frac{x}{L}$$

Avec: 
$$M0(x) = q \times \frac{x}{2} (L-x)$$

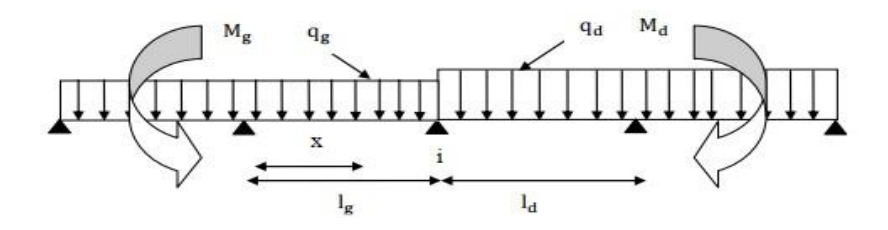


Figure III-15: Paramètres utilisées dans la méthode de Caquot

$$X = \frac{L}{2} - \frac{Mg - Md}{qL}$$

#### 3. Effort tranchant (BAEL 91 Article E.2.2.3)

Les efforts tranchants sont déterminés en utilisant la méthode de la RDM

$$V_i \!\!= \pm \, \frac{L}{2} - \, \frac{\text{Mg-Md}}{\text{qL}}$$

Avec:

M<sub>d</sub>: Moment sur l'appui de droite de la travée considérée.

M<sub>g</sub>: Moment sur l'appui de gauche de la travée considérée.

L: Portée de la travée.

# III.6.1.6. Méthode de Caquot minoré : [2]

Cette méthode consiste à calculer les moments au niveau des appuis avec la méthode de Caquot mais en remplaçant la charge permanente G par une charge permanente minorée

$$G' = \frac{2}{3} G$$

**Remarque :** pour le calcul des moments max en travée, nous utilisons la charge permanente réelle G

#### III.6.1.7. Choix de la méthode de calcul des sollicitations :

Le choix de la méthode de calcul à suivre pour les différents types est défini dans le tableau suivant :

**Tableau III-12:** Choix des méthodes de calculs pour les différents types de poutrelles.

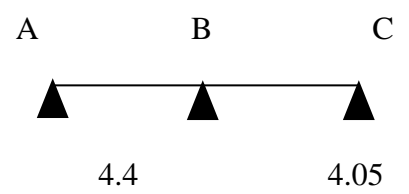
Types de	Conditions	Vérification	Méthode adoptée
poutrelles	d'application de la		
	méthode forfaitaire		
Type: 1		Vérifiées	Méthode forfaitaire
	$0.8 \le \frac{li}{li+1} \le 1.25$		

## III.6.1.8. Les sollicitations dans les différents types des poutrelles :

- Plancher terrasse accessible :

$$G = 6.36 \text{ KN/m}^2$$
;  $Q = 1 \text{ KN/m}^2$ 

Type 01



#### ELU:

Travée AB:

$$M_{AB} = \frac{qu L^2}{8} = \frac{6.56(4.4)^2}{8} = 15.88 \text{ KN.m}$$

Travée BC:

$$M_{BC} = \frac{qu L^2}{8} = \frac{6.56(4.05)^2}{8} = 13.45 \text{ KN.m}$$

\*Moment sur les appuis :

-Appuis de rive :

$$M_A=M_C=0$$

$$M_{A}$$
= -0.15 $M_{AB}$  = -2.38 KN.m

$$M_c$$
= -0.15 $M_{BC}$  = -2.02 KN.m

-Appuis intermédiaire :

$$M_B = -0.6 \text{ max } (M_0^{AB}; M_0^{BC})$$

$$M_B = -0.6 \times 15.88 = -9.53 \text{ KN.m}$$

\*Moment en travée:

$$\alpha = \frac{Q}{Q+G} = \frac{1}{1+6.36} = 0.14$$

$$\alpha = 0.14$$

$$M_t \ge \frac{(1.2+0.3\alpha)M0}{2} \rightarrow \text{pour une travée de rive.}$$

$$M_t \ge \frac{(1.2+0.3\times0.14)}{2} \times 15.88$$

$$M_t = 9.86 \text{ KN.m}$$

2- 
$$M_t \ge [1.05M_0 ; (1+0.3\alpha)M_0] - \frac{Mw+Me}{2}$$

$$M_t \ge [1.05 \times 15.88 ; (1+0.3 \times 0.14) \ 15.88] - \frac{9.53}{2}$$

Mt = 11.91 KN.m

On adoptee:  $M_t = 11.78 \text{ KN.m}$ 

\*Effort tranchant:

Travée AB:

$$T_A = \frac{qu L}{2} = \frac{6.56 \times 4.4}{2} = 14.43 \text{KN}.$$

$$T_B = -1.15 \times \frac{qu L}{2} = \frac{6.56 \times 4.4}{2} = -16.6 \text{ KN}$$

Travée BC:

$$T_B = 1.15 \times \frac{qu L}{2} = \frac{6.56 \times 4.05}{2} = -15.28 \text{ KN}$$

$$T_C = \frac{qu L}{2} = \frac{6.56 \times 4.05}{2} = -13.28 \text{ KN}$$

## **& ELU:**

Travée	L	$q_u$	$M_0$	$M_g$	$M_d$	α	$M_{\rm t}$	$T_{\mathrm{g}}$	$T_{d}$
AB	4.40	6.56	15.88	0	-9.53	0.14	11.91	14.43	-16.60
ВС	4.05	6.56	13.45	-9.53	0	0.14	9.36	15.28	-13.28

## **&** ELS:

Travée	L	qs	$M_0$	$M_g$	$M_d$	α	M <sub>s</sub>	Tg	$T_d$
AB	4.40	4.78	11.57	0	-6.94	0.14	8.68	10.52	-12.09
ВС	3.05	4.78	9.80	-6.94	0	0.14	6.82	11.13	9.68

# - Plancher étage courant

 $G = 5.10 \text{ KN/m}^2$ ; Q = 1.5 KN/m

**Type 01:** 

A B C



# **ELU**:

Travée AB:

$$M_{AB} = \frac{qu L^2}{8} = \frac{5.94(4.4)^2}{8} = 14.37 \text{ KN.m}$$

Travée BC:

$$M_{BC} = \frac{qu L^2}{8} = \frac{5.94(4.05)^2}{8} = 12.18 \text{ KN.m}$$

\*Moment sur les appuis :

-Appuis de rive :

$$M_A = M_C = 0$$

$$M_A = -0.15 M_{AB} = -2.16 \text{ KN.m}$$

$$M_C = -0.15 M_{BC} = -1.83 \text{ KN.m}$$

-Appuis intermédiaire :

$$M_B = -0.6 \text{ max } (M_0^{AB}; M_0^{BC})$$

$$M_B = -0.6 \times 14.37 = -8.62 \text{ KN.m}$$

# **&** ELU:

Travée	L	$q_{\mathrm{u}}$	$M_0$	Mg	$M_{\rm d}$	α	M <sub>t</sub>	Tg	$T_d$
AB	4.40	5.94	14.37	0	-8.62	0.23	11.05	13.07	-15.03
ВС	4.05	5.94	12.18	-8.62	0	0.23	8.71	13.83	-12.03

# **\*** ELS:

Travée	L	$q_s$	$M_0$	$M_{g}$	$M_{\rm d}$	α	$M_{t}$	$T_{\mathrm{g}}$	$T_d$
AB	4.40	4.29	10.38	0	- 6.23	0.23	7.98	9.37	- 10.85
BC	4.05	4.29	8.9	- 6.23	0	0.23	6.4	9.99	- 8.69

## \*Les sollicitations maximums

## **&** ELU:

Tableau III-13: Les sollicitations maximums à ELU.

Type	Désignations	M <sub>t</sub> (KN.m)	M <sub>a inter</sub>	Ma de rive	T (KN)
			(KN.m)	(KN.m)	
Type 01	Terrasse	11.91	-9.93	-2.38	16.60
	Etage Courant	11.05	-8.62	- 2.16	15.03

## **\*** ELS:

Tableau III-14: Les sollicitations maximums à ELS

Type	Désignations	M <sub>t</sub> (KN.m)	Ma inter	Ma de rive	T (KN)
			(KN.m)	(KN.m)	
Type 01	Terrasse	8.68	-6.94	- 1.74	12.09
	Etage Courant	7.98	-6.23	- 1.56	10.85

# III.6.2. Ferraillages des poutrelles

#### - Terrasse accessible

On prend le cas le plus sollicité des planchers : Terrasse (Type01)

$$M_{tu}^{max} \!\! = 11.91 \; KN.m \; ; \; M_{au}^{max} = \text{-}9.53 \; KN.m \; ; \; T_{u\;max} = 16.60 \; KN \; ; \quad M_{travee} \!\! = \text{-}2.38 \; KN.m \; ; \; M_{$$

## ELU:

$$M_{\text{tu}} = f_{\text{bu}} \times b \times h_0 \ (d - \frac{h}{2}) = 14.17 \times 650 \times 40 \ (180 - \frac{40}{2}) = 58.95 \ \text{KN.m}$$

$$M_{tu} = 58.95 > = 11.91 \text{ KN.m}$$

D'où la zone comprimée se trouve dans la table de compression et la section se calcule comme une section rectangulaire de largeur b et de hauteur utile

#### **&** En travée :

$$M_{tu}^{max} = 11.91 \text{ KN.m}$$

$$\mu_{\text{bu}} = \frac{M_{tu}^{max}}{bd^2 \mu_{\text{bu}}}$$

$$f_{bu} = \frac{0.85 F_{c_{28}}}{\theta \gamma_h} = \frac{0.85 \times 25}{1 \times 1.5} = 14.17 \text{ MPa}$$

$$\mu_{\text{bu}} = \frac{M_t}{bd^2\mu_{\text{bu}}} = \frac{11.91 \times 10^6}{650 \times 180^2 \times 14.17} = 0.039$$

$$\mu_{bu} = 0.039 \le \mu_{AB} = 0.186$$
 Pivot A.

$$\mu_{bu} = 0.039 \le \mu_1 = 0.392$$
  $A = 0$ .

$$\alpha = 1.25(1 - \sqrt{1 - 2\mu})$$

$$\alpha = 0.049$$

$$Z=d(1-0.4\alpha)$$

$$A_{s=} \frac{M_{tu}^{max}}{Z \times \frac{f_e}{V_c}} = \frac{11.91 \times 10^6}{176.46 \times \frac{400}{1.15}} = 194.04 \text{ mm}^2$$

$$A_S = 1.94 \text{cm}^2$$

- Condition de non fragilité :

A min 
$$\ge 0.23 \text{ b*d} \frac{f_{c28}}{f_e}$$

$$f_{c28} = 0.6 + 0.06 f_{c28} = 2.1 \text{ MPa}$$

A min 
$$\geq 0.23 \times 65 \times 18 \times \frac{2.1}{400} = 1.41 \text{ cm}^2$$

Donc A<sub>S</sub>=max (A<sub>cal</sub>=1.94 cm<sup>2</sup>; A<sub>min</sub>=1.41cm<sup>2</sup>)

$$A_S = 1.94 \text{ cm}^2$$

On adopte : 2HA12 soit  $A_s = 2.26$ cm<sup>2</sup>

Tableau III-15:: Tableau de ferraillage à l'ELU.

M(KN.m)	μbu	$\alpha_{\rm u}$	z (mm)	Acal(cm <sup>2</sup> )	Amin (cm <sup>2</sup> )	Aadop (cm <sup>2</sup> )	St
11.91	0.039	0.049	176.46	1.94	1.41	2HA12= 2.26	25

#### **Sur appuis :**

Le moment aux appuis est négatif, ce qui revient à dire que la table de compression est tendue, et le béton tendu n'intervient pas dans la résistance, pour cela, on va considérer une section rectangulaire ( $b_0 \times h$ ) cm.

✓ Appui intermédiaire :

$$M_{au}^{max} = -9.53 \text{ KN.m}$$

$$\mu_{\text{bu}} = \frac{M_{tu}^{max}}{bd^2 \mu_{\text{bu}}}$$

$$f_{bu} = \frac{0.85 F_{c_{28}}}{\theta \gamma_b} = \frac{0.85 \times 25}{1 \times 1.5} = 14.17 \text{ MPa}$$

$$\mu_{bu}\!\!=\!\!\frac{\mathit{M}_{tu}^{\textit{max}}}{\mathit{bd}^{2}\mu_{bu}}\!=\!\!\frac{9.53\!\times\!10^{6}}{650\!\times\!180^{2}\!\times\!14.17}\!=0.21$$

 $\mu_{bu} = 0.21 \le \mu_1 = 0.392$  A= 0 (Les armatures comprimées ne sont pas nécessaire).

$$\alpha = 1.25(1 - \sqrt{1 - 2\mu})$$
  $\alpha = 1.25(1 - \sqrt{1 - 2 \times 0.21})$ 

$$\alpha = 0.298$$

$$Z=d(1-0.4\alpha)$$

$$Z=180(1-0.4 \times 0.298)$$

Z=158.54 mm.

$$A_{s=} \frac{M_{tu}^{max}}{Z \times \frac{f_e}{V_c}} = \frac{9.53 \times 10^6}{158.54 \times \frac{400}{1.15}} = 172.8 \text{ mm}^2$$

$$As = 1.73 \text{cm}^2$$

Condition de non fragilité :

$$A_{\min} \ge 0.23 \text{ b d} \frac{f_{c28}}{f_e}$$

$$f_{c28} = 0.6 + 0.06f_{c28} = 2.1MPa$$

A min 
$$\geq 0.23 \times 10 \times 18 \times \frac{2.1}{400} = 0.22 \text{ cm}^2$$

Donc  $A_S=max(A_{cal}=1.73 \text{ cm}^2; A_{min}=0.22 \text{ cm}^2)$ 

$$A_S = 1.73 \text{ cm}^2$$

On adopte : 3HA10 soit  $A_s = 2.36$ cm<sup>2</sup>

Tableau III-16: Tableau de ferraillage à l'ELU

M(KN.m)	$\mu_{bu}$	$\alpha_{\mathrm{u}}$	z (mm)	Acal(cm <sup>2</sup> )	Amin (cm <sup>2</sup> )	Aadop (cm <sup>2</sup> )	St
9.53	0.21	0.298	158.54	1.73	0.22	3HA10= 2.36	25

✓ Appui de rive :

$$M_{ta \ reve} = -2.38 \ KN.m$$

$$\mu_{bu} = \frac{\text{Mtrave}}{bd^2 \mu_{bu}}$$

$$f_{bu} = \frac{0.85 F_{c_{28}}}{\theta \gamma_b} = \frac{0.85 \times 25}{1 \times 1.5} = 14.17 \text{ MPa}$$

$$\mu_{\text{bu}} = \frac{M_t}{bd^2 \mu_{bu}} = \frac{2.38 \times 10^6}{650 \times 180^2 \times 14.17} = 0.052$$

$$\mu_{bu} = 0.039 \le \mu_1 = 0.186$$
 Pivot A.

$$\mu_{bu} = 0.039 \le \mu_{l} = 0.392 \quad A = \textbf{0.}$$

$$\alpha = 1.25(1 - \sqrt{1 - 2\mu})$$

$$\alpha = 1.25(1 - \sqrt{1 - 2 \times 0.052})$$

$$\alpha = 0.067$$

$$Z=d(1-0.4\alpha)$$

$$Z=180(1-0.4 \times 0.067)$$

Z=175.18 mm

$$A_{s=} \frac{\text{Mta reve}}{z \times \frac{f_e}{\gamma_s}} = \frac{2.38 \times 10^6}{175.18 \times \frac{400}{1.15}} = 39.06 \text{ mm}^2 \text{ } 0.39 \text{cm}^2$$

- Condition de non fragilité :

A min 
$$\ge 0.23 \text{ b d} \frac{f_{c28}}{f_e}$$

$$f_{c28} = 0.6 + 0.06f_{c28} = 2.1 \text{ MPa}$$

A min 
$$\ge 0.23 \times 10 \times 18 \times \frac{2.1}{400} = 0.22 \text{ cm}^2$$

Donc 
$$A_S = max (A_{cal} = 0.39 \text{ cm}^2; A_{min} = 0.22 \text{cm}^2)$$

$$A_S = 0.39 \text{ cm}^2$$

On adopte : 1HA10 soit  $A_s = 0.79$ cm<sup>2</sup>

Tableau III-17: Tableau de ferraillage à l'ELU.

M(KN.m)	μbu	$\alpha_{\mathrm{u}}$	z (mm)	Acal(cm <sup>2</sup> )	Amin (cm <sup>2</sup> )	Aadop (cm <sup>2</sup> )	St
2.38	0.052	0.067	175.18	0.39	0.22	1HA10= 0.79	25

#### • Vérification de la contrainte de cisaillement

$$\tau_{\rm u} \leq \overline{\tau_u}$$

$$\tau_{\rm u} = \frac{T_u}{b_0 d}$$

$$\tau_u = \frac{_{16.6\times103}}{_{100\times180}} = 0.92 MPa$$

$$\tau_u$$
= 0.92 MPa

-Fissuration peu nuisible :

$$\overline{\tau_u}$$
= min (0.2;4MPa) =  $\overline{\tau_u}$ = min (3.33MPa;4MPa) = 3.33MPa

$$\overline{\tau_u}$$
= 3.33 MPa.

$$\tau_u$$
= 0.92 MPa  $\leq \overline{\tau_u}$ = 3.33 MPa.....CV.

Donc pas de risque de rupture par cisaillement

•Choix des armatures transversales :

$$Q_t \le min\left(\frac{h}{35}; \frac{b_0}{10}; Q_{lmax}\right) == min\left(\frac{20}{35}; \frac{10}{10}; 1\right) = min\left\{0.57; 1; 1\right\}$$

$$Q_t = 0.6 \text{ cm}$$

On prend:  $A_s = 2HA6 = 0.57 \text{ cm}^2$ 

•Espacement entre cadre (St):

L'espacement des armatures transversales St est définit par le minimum entre les trois conditions qui suivent:

$$\begin{cases} S_{t1} \leq min\{09h; 40cm\} \\ S_{t2} \leq \frac{A_s \times f_e}{0.4b_0} \\ S_{t3} \leq \frac{0.8 \times A_s \times f_e}{b_0(\tau u - 0.3 f_{t28})} \end{cases}$$
 (CBA 93 (Article A.5.1.2.2)

$$\begin{cases} S_{t1} \leq min\{09 \times 18 = 16.2; 40cm\} \\ S_{t2} \leq \frac{0.57 \times 400}{0.4 \times 10} = 57cm \\ S_{t3} \leq \frac{0.8 \times 0.57 \times 400}{10(0.92 - 0.3 \times 2.1)} = 62.9 \end{cases}$$

$$S_t = min \{S_{t1}; S_{t1}; S_{t1}\} = 16.2$$

Soit :  $S_t = 15$  cm

- Vérification des armatures longitudinales vis-à-vis de l'effort tranchant :
- -Appuis de rive :

$$A_1 \ge \frac{\gamma_s}{f_e} \times T_u$$

$$A_1 = A_{trav\acute{e}} + A_{rive} = 2.26 + 0.79 = 3.05 \text{ cm}^2$$

$$A_1 \ge \frac{1.15}{400} \times (16.60 \times 10^3) = 47.73 \text{ mm}^2$$

$$A_1 = 3.05 \text{ cm}^2 \ge 0.47 \text{ cm}^2...\text{CV}.$$

-Appuis intermédiaires :

$$A_1 \ge \frac{\gamma_s}{f_e} \times (T_u \times \frac{M_{au}^{max}}{0.9d})$$

$$A_1 \ge \frac{1.15}{400} \times (16.60 \times 10^3 - \frac{9.53 \times 10^6}{0.9 \times 180}) = -121.4 \text{ mm}^2$$

 $A_l \ge -1.21 \text{ cm}^2 < 0$ : Pas de vérification à faire au niveau de l'appui intermédiaire, car l'effort est négligeable devant l'effet du moment.

#### •Vérification de la bielle

$$\begin{cases} \sigma_{bc} \leq \\ \sigma_{bc} = \frac{2T_u}{ab_0} Avec : a = min\{0.9d; (40-4)cm\} = 16.2 cm \end{cases}$$

Ce qui donne :  $T_u \le 0.267 \times a \times b_0 \times f_{c28} = (0.267 \times 162 \times 100 \times 25) \times 10^{-3}$ 

 $T_u = 108.14 \text{ KN}$ 

Tu = 16.64KN  $\leq 108.14$  KN.....CV.

Pas de risque d'écrasement du béton au niveau de l'appui.

# •Vérification de la jonction table-nervure

On doit vérifier que :

$$\tau_{\mathbf{u}} = \frac{T_u \times b_1}{0.9 \ b \ d \ h_0} \le \overline{\tau_u}$$

Avec : Avec : 
$$b_1 = \frac{b - b_0}{2} = \frac{65 - 10}{2} = 27.5 \text{ cm}$$

$$\overline{\tau_u} = 3.33 \text{MPa}$$

$$\tau_u = \frac{16.6 \times 10^3 \times 275}{0.9 \times 650 \times 180 \times 40} = 1.08 MPa$$

$$\tau_u = 1.08 \ MPa \leq \overline{\tau_u} \ = 3.33 MPa.....CV. \label{eq:tau}$$

Pas de risque de rupture à la jonction table nervure.

#### •Vérification des contraintes à l'ELS

□En travée :

$$\sigma_{bc} = \frac{M_{ser} \times y}{I}$$

$$\overline{\sigma_{bc}}$$
=0.6 $f_{c28}$ 

$$\overline{\sigma_{bc}}$$
=0.6× 25 = 15 MPa

$$\overline{\sigma_{bc}} = 15 \text{ MPa}$$

-Position de l'axe neutre :

$$\eta = 15$$
  $A'_{s} = 0$   $A_{s} = 2.26$ 

$$H = \frac{bh_0^2}{2} - 15A_s(d - h_0) = \frac{65 \times 4^2}{2} - 15 \times 12.26 \times (18 - 4) = 45.4 \text{ cm}^3$$

 $H \ge 0$  l'axe neutre est dans la table le calcul sont identiques au cas d'une section rectangulaire

-Calcul y:

$$\frac{1}{2}$$
 b y<sup>2</sup>+  $\eta$  (d-y) A'<sub>s</sub> -  $\eta$  (d-y) A<sub>s</sub>= 0

$$\frac{1}{2} \times 65 \times y^2 - 15 \times (18 - y) \times 2.26 = 0$$

$$=32.5y^2+33.9y-610.2=0$$

$$y = 3.84 \text{ cm}$$

-Moment d'inertie:

$$H = \frac{1}{3} b y^3 + \eta (d - y)^2 A_s + \eta (d - y) A_s$$

$$I = \frac{1}{3} \times 65 \times 3.84^{3} + 15 \times (18 - 3.84)^{2} \times 2.26 = 8023.97 \text{cm}^{4}$$

Donc:

$$\sigma_{bc} = \frac{M_{ser} \times y}{I} = \frac{8.68 \times 10^6 \times 3.84}{8023.97 \times 10^4} = 0.42 \text{MPa}$$

$$\sigma_{bc} = 0.42 MPa \leq \ \overline{\sigma_{bc}} = 15 \ MPa ... ... ... ... CV$$

Les résultats trouvés en travée est regroupé dans le tableau suivant :

Tableau III-18:: Vérification des contraintes à l'ELS

M <sub>ser</sub> (KN.m)	$A_s(cm^2)$	Y (cm)	I (cm <sup>4</sup> )	$\sigma_{bc}$	$\sigma_{bc} \leq \sigma_{bc}$
8.68	2.26	3.84	8023.97	0.42	Cv

# **Sur appuis intermédiaires**

$$M_{ts}^{max}$$
=6.94 Kn .m

$$\sigma_{bc} = \frac{M_{ser} \times y}{I}$$

$$\overline{\sigma_{bc}} = 0.6 f_{c28}$$

$$\overline{\sigma_{bc}}$$
=0.6× 25 = 15 MPa

$$\overline{\sigma_{bc}} = 15 \text{ MPa}$$

-Position de l'axe neutre :

$$\eta = 15$$
  $A'_{s} = 0$   $A_{s} = 2.26$ 

$$H = \frac{bh_0^2}{2} - 15A_s(d-h_0) = \frac{65\times4^2}{2} - 15\times2.36\times(18-4) = 24.4 \text{ cm}^3$$

 $H \ge 0$  l'axe neutre est dans la table le calcul sont identiques au cas d'une section rectangulaire

-Calcul y:

$$\frac{1}{2}$$
 b  $y^2$ +  $\eta$   $(d-y)A_s' - \eta$   $(d-y)A_s = 0$ 

$$=32.5y^2+33.4y-637.2=0$$

$$y = 3.92cm$$

-Moment d'inertie:

$$I = \frac{1}{3}b y^3 + \eta(d-y)^2 A_s + \eta(d-y) A_s$$

$$\frac{1}{3} \times 65 \times y^2 - 15 \times (18-y) \times 2.36 = 0$$

$$I = \frac{1}{3} \times 65 \times 3.92^3 + 15 \times (18-3.92)^2 \times 2.36 = 8323.04 \text{ cm}^4$$

Donc:

$$\sigma_{bc} = \frac{M_{ser} \times y}{I} = \frac{6.94 \times 10^6 \times 3.92}{8323.04 \times 10^4} = 3.27 \text{ MPa}$$

$$\sigma_{bc} = 3.27 \; \text{MPa} \leq \; \overline{\sigma_{bc}} = 15 \; \text{MPa} \ldots \ldots \ldots \ldots \text{CV}$$

Les résultats trouvés en travée est regroupé dans le tableau suivant :

Tableau III-19: Vérification des contraintes à l'ELS

M <sub>ser</sub> (KN.m)	A <sub>s</sub> (cm <sup>2</sup> )	Y (cm)	I (cm <sup>4</sup> )	σ <sub>bc</sub>	$\sigma_{bc} \le \sigma_{bc}$
6.94	2.36	3.92	8323.04	3.27	Cv

•Vérification de la flèche : BAEL 91(article B.6.5.1) [2]

$$\begin{cases} \frac{h}{l} \geq \frac{1}{16} \\ \frac{h}{l} \geq \frac{M_t}{10 \, M_0} \\ \frac{A_s}{bd} \leq \frac{4.2}{f_e} \end{cases} \begin{cases} \frac{0.20}{4.4} = 0.045 \geq \frac{1}{16} = 0.0625 \quad CNV \\ \frac{0.20}{4.4} = 0.045 \geq \frac{8.68}{10 \times 11.57} = 0.075 \quad CV \\ \frac{2.26}{10 \times 18} = 0.013 \leq \frac{4.2}{400} = 0.0105 \quad CNV \end{cases}$$

Les conditions suivantes ne sont pas vérifiées donc on est ramenée à effectuer un calcul de flèche :

-Calcul de la flèche: BAEL 91(article B.6.5.2)[2]

La flèche totale est donnée par :

$$\Delta ft = fgv - fji + fpi - fgi.$$

-  $f_{gi}$  et  $f_{gv}$ : Les flèches dues à l'ensemble des charges permanentes.

 $-f_{pi}$ : La flèche due aux charges permanentes appliquées au moment de la mise en œuvre des cloisons.

- p: La flèche due à l'ensemble des charges permanentes et d'exploitation supportée par l'élément considéré

$$\begin{cases} \Delta f_t = fgv - fji + fpi - fgi \\ f_{admissible} = \begin{cases} \frac{L}{500} & pour \ L \leq 5m \\ BAEL91 \ (Article \ B. \ 6.5.3) \ [2] \\ 0.5cm + \frac{L}{500} & pour \ L > 5m \end{cases}$$

Avec: 
$$y = 3.84 \text{ cm}$$
;  $I = 8023.97 \text{ cm}^4$ ;  $d = 18 \text{ cm}$ ;  $h = 20 \text{ cm}$ 

$$A_s=2.26 \text{ cm}^2$$
;  $b=65 \text{ cm}$  ;  $f_{t28}=2.1 \text{ MPa}$ 

$$\rho = \frac{A}{h_0 d} = \frac{2.26}{10 \times 18}$$
  $\rho = 0.0126$ 

\*Calcul le moment d'inertie de la section homogène « I<sub>0</sub> » :

$$I_0 = \frac{b_0 h^3}{3} + b_0 h \left[ \frac{h}{2} - y_G \right]^2 + (b - b_0) h_0 (y_G - \frac{h}{2})^2 + (b - b_0) \frac{h_0^3}{12} + 15 As(d - y_G)^2$$

$$Y_G = \frac{\frac{b_0h^2}{2} + (b-b_0) + \frac{h_0^2}{2} + 15Asd}{b_0h + (b-b_0)h + 15Asd}$$

$$Y_G = \frac{\frac{10 \times 20^2}{2} + (65 - 10) + \frac{20^2}{2} + 15 \times 2.26 \times 18}{10 \times 20 + (65 - 10) \times 15 + 15 \times 2.26} = 6.72 \text{ m}$$

$$I_0 \! = \! \frac{_{10} \! \times \! 20^3}{_3} \! + \! 10 \! \times \! 20 \! \left[ \frac{_{20}}{_2} - 6.72 \right]^2 \! + \! (65 \! - \! 10) h_0 (6.72 \! - \! \frac{_4}{_2})^2 + \! (65 \! - \! 10) \left. \frac{_{4^3}}{_{12}} \! + \! 15 \! \times \! 2.26 (18 \! - \! 6.72)^2 \right.$$

$$I_0 = 38326.31 \text{ cm}^4$$

\*Calcul des coefficients:

$$\lambda_{\mathbf{i}} = \frac{0.05 f_{t28}}{(2 + 3 \frac{b_0}{b}) \rho}$$

$$\lambda_i = \frac{0.05 \times 2.1}{(2+3 \times \frac{10}{2}) \times 0.0126} = 3.39$$

$$\lambda_i=3.39$$

$$\lambda_v = \frac{2}{5} \lambda i$$

$$\lambda_{\rm v} = \frac{2}{5} \times 3.39 = 1.36$$

$$\lambda_v = 1.36$$

$$E_i = 11000 \sqrt[3]{f_{c28}} = 32164. 2$$

$$E_i = 32164. \ 2 MPa$$

$$E_v = \frac{1}{3}E_i = 107214.2$$

$$E_v = 10721.4 \text{ MPa}$$

$$E_i = 11000 \sqrt[3]{f_{c28}} = 32164. 2$$

$$E_i = 32164. \ 2 \text{ MPa}$$

$$E_v = \frac{1}{3}$$
  $E_i = 107214.2$ 

$$E_v = 10721.4 \text{ MPa}$$

\*Calcul de Contraintesσ<sub>s</sub>:

- σ<sub>s</sub>: Contrainte de traction effective de l'armature pour le cas de charge considéré.
- q<sub>i</sub>: Charges permanentes avant la mise en place des revêtements.
- qg: Charges permanentes après la mise en place des cloisons des revêtements.
- q<sub>p</sub>: Charges permanentes et d'exploitations.

$$q_{j \text{ ser}} = 0.65 \text{ G} = 0.65 \times 2.8 = 1.82$$

$$q_{j \text{ ser}}$$
= 1.82 KN /m

$$q_{g \; ser} = 0.65 \; G = 0.65 \times 6.36 = 4.14$$

$$q_{g \text{ ser}} = 4.13 \text{ KN/m}$$

$$q_{p \text{ ser}} = 0.65 (G + Q) = 0.65 \times (6.36 + 1) = 5.12$$

$$q_{p \text{ ser}} = 4.78 \text{ KN}/\text{m}$$

$$M_{j \; ser} = 0.75 \frac{qj \; ser \; L^2}{8} = 0.75 \frac{1.82 \times 4.4^{28}}{8} = 3.30$$

$$M_{j \text{ ser}} = 3.30 \text{ KN .m}$$

$$M_{g \text{ ser}} = 0.75 \frac{qg \text{ ser } L^2}{8} = 0.75 \frac{4.13 \times 4.4^2}{8} = 7.50$$

$$M_{g ser} = 7.50 \text{ KN .m}$$

$$M_{p \text{ ser}} = 0.75 \frac{\text{qp ser } L^2}{8} = 0.75 \frac{4.78 \times 4.4^2}{8} = 8.78$$

$$M_{p \text{ ser}} = 8.68 \text{ KN .m}$$

$$\sigma sj = \frac{15Mj \, ser(d-y)}{I} = \frac{15 \times 3.30 \times 10^6 (180 - 3.84)}{8023.97 \times 10^4} = 87.35$$

$$\sigma s i = 87.35 \text{ KN .m}$$

$$\sigma sg = \frac{M_{g ser}(d-y)}{I} = \frac{15 \times 7.50 \times 10^{6}(180 - 3.84)}{8023.97 \times 10^{4}} = 198.53$$

$$\sigma sg = 198.53 \text{ KN .m}$$

$$\sigma sp = \frac{15Mp \, ser(d-y)}{I} = \frac{15 \times 8.68 \times 10^6 (180 - 3.84)}{8023.97 \times 10^4} = 229.77$$

$$\sigma sp = 229.77 \text{ KN .m}$$

\*Calcul de µ

$$\mu_{\rm j} = 1 - \left[ \frac{1.75 f_{t28}}{4 \rho \sigma sj + f_{t28}} \right] = 1 - \left[ \frac{1.75 \times 2.1}{4 \times 0.0126 \times 87.35 + 2.1} \right] = 0.57$$

$$\mu_{\rm j} = 0.57$$

$$\mu_g = 1 - \left[ \frac{1.75 f_{t28}}{40 \text{ osg} + f_{t28}} \right] = 1 - \left[ \frac{1.75 \times 2.1}{4 \times 0.0126 \times 198.53 + 2.1} \right] = 0.69$$

$$\mu_g = 0.69$$

$$\mu_p = 1 - \left[ \frac{1.75 f_{t28}}{4 \rho \, \text{osp} + f_{t28}} \right] = 1 - \left[ \frac{1.75 \times 2.1}{4 \times 0.0126 \times 229.77 + 2.1} \right] = 0.73$$

$$\mu_p = 0.73$$

\*Calcul de l'inertie fictive (I<sub>f</sub>)

$$I_{fji} = \frac{1.1I_0}{1 + \lambda_i \mu_j} = \frac{1.1 \times 38326.31}{1 + 3.39 \times 0.57} = 14377.43$$

$$I_{fji} = 14377.43$$

$$I_{fgi} \!\!=\!\! \frac{_{1.1I_0}}{_{1+\lambda_i\mu_g}} \!=\!\! \frac{_{1.1\times\,38326.31}}{_{1+3.39\times0.69}} \!=\! 12625.84$$

$$I_{fgi} = 12625.84$$

$$I_{fpi} = \frac{1.1I_0}{1 + \lambda \lambda_i \mu_g} = \frac{1.1 \times 38326.31}{1 + 3.39 \times 0.73} = 12133.12$$

$$I_{fpi}=12133.12$$

$$I_{\rm fgv} = \frac{1.1I_0}{1 + \lambda_{\nu}\mu_{q}} = \frac{1.1 \times 38326.31}{1 + 1.36 \times 0.69} = 21749.35$$

$$I_{fgv} = 21749.35$$

\*Evaluation des flèches:

$$I_{fj}\!\!=\!\!\frac{^{M_{j\,ser\,l^{2}}}}{^{10E_{l}I_{f\,ji}}}\!=\!\!\frac{^{3.30\times\,10^{6}(4.4\times10^{3})^{2}}}{^{10\,\times32164.2\,\times\,14377.43\,\times10^{4}}}\!=\!\!2.18~I_{fg}=\!\!2.18~mm$$

$$I_{fg} = \frac{M_{g \, ser \, l^2}}{10 E_i I_{fgi}} = \frac{7.5 \times 10^6 (4.4 \times 10^3)^2}{10 \times 32164.2 \times 12625.84 \times 10^4} = 3.58$$

$$I_{fg} = 3.58 \text{ mm}$$

$$I_{fp} = \frac{M_{p \, ser \, l^2}}{10 E_i I_{fpi}} = \frac{8.68 \times 10^6 (4.4 \times 10^3)^2}{10 \times 32164.2 \times 12133.12 \times 10^4} = 4.31$$

$$I_{fg} = 4.31 \text{mm}$$

$$I_{gv} = \frac{M_{g \ ser \ l^2}}{10E_v I_{fav}} = \frac{7.5 \times 10^6 (4.4 \times 10^3)^2}{10 \times 10721.4 \times 21749.35 \times 10^4} = 6.23$$

$$I_{fg} = 6.23 \text{ mm}$$

$$\Delta_{ft} = f_{gv} - f_{ii} + f_{pi} - f_{gi}.$$

$$\Delta_{ft} = 6.23 - 2.18 + 4.31 - 3.58$$

$$\Delta_{ft} = 4.78 \text{ mm}$$

$$f_{\text{admissible}} = \frac{L}{500} = \frac{4400}{500} = 8.8 \text{ mm}$$

$$\Delta_{\text{ft}} = 4.24 \le f_{\text{admissible}} = 8.8 \text{ mm} \dots \text{CV}$$

#### > Type 1:

# -Sollicitations maximales :

#### **\*** Etage courant :

On prend le cas le plus sollicité des planchers : Etage courant (Type 01)

$$M_{tu}^{max}$$
 = 11.05 KN.m;  $M_{au}^{max}$  = -8.62 KN.m;  $T_{u \text{ max}}$  = 15.03 KN;  $M_{ta \text{ reve}}$  = -2.16 KN.m

#### **E.L.U**:

$$M_{tu} = f_{bu} \times b \times h_0 (d - \frac{h_0}{2}) = 14.17 \times 650 \times 40 (180 - \frac{40}{2}) = 58.95 \text{ KN.m}$$

 $M_{tu} = 58.95 > = 11.91$  KN.m D'où la zone comprimée se trouve dans la table de compression et la section se calcule comme une section rectangulaire de largeur b et de hauteur utile ht (b× h)

#### \* En travée :

$$M_{tu}^{max} = 11.05 \text{ KN.m}$$

$$\mu_{bu} = \frac{M_{tu}^{max}}{bd^2\mu_{bu}}$$

$$f_{bu} = \frac{0.85 F_{c_{28}}}{\theta \gamma_h} = \frac{0.85 \times 25}{1 \times 1.5} = 14.17 \text{ MPa}$$

$$\mu_{\text{bu}} = \frac{M_t}{bd^2\mu_{bu}} = \frac{11.05 \times 10^6}{650 \times 180^2 \times 14.17} = 0.037$$

$$\mu_{bu} = 0.037 \le \mu_{AB} = 0.186$$
 Pivot A.

$$\mu_{bu} = 0.037 \le \mu_1 = 0.392$$
  $A = 0.$ 

$$\alpha = 1.25(1 - \sqrt{1 - 2\mu})$$

$$\alpha = 1.25(1 - \sqrt{1 - 2 \times 0.037})$$

$$\alpha = 0.047$$

$$Z=d(1-0.4\alpha)$$

$$A_{s=} \frac{M_{tu}^{max}}{Z \times \frac{f_e}{\gamma_s}} = \frac{11.05 \times 10^6}{176.62 \times \frac{400}{1.15}} = 179.9 \text{ mm}^2$$

$$As=1.8cm^2$$

-Condition de non fragilité :

A min 
$$\ge 0.23$$
 bd  $\frac{f_{t28}}{f_e}$ 

$$f_{c28} = 0.6 + 0.06 f_{c28} = 2.1 \text{ MPa}$$

A min 
$$\geq 0.23 \times 65 \times 18 \times \frac{2.1}{400} = 1.41 \text{ cm}^2$$

$$A_S = 1.8 \text{ cm}^2$$

On adopte : 2HA12 soit  $A_s = 2.26$  cm<sup>2</sup>

Tableau III-20: Tableau de ferraillage à l'ELU.

M(KN.m)	$\mu_{bu}$	$\alpha_{\rm u}$	z (mm)	A <sub>cal</sub> (cm <sup>2</sup> )	A <sub>min</sub> (cm <sup>2</sup> )	A <sub>adop</sub> (cm <sup>2</sup> )	St
11.05	0.037	0.047	176.62	1.8	1.41	2HA12 = 2.26	25

# **Sur appuis :**

Le moment aux appuis est négatif, ce qui revient à dire que la table de compression est tendue, et le béton tendu n'intervient pas dans la résistance, pour cela, on va considérer une section rectangulaire ( $b_0 \times h$ ) cm.

# ✓ Appui intermédiaire :

$$M_{au}^{max} = -8.62 \text{ KN.m}$$

$$\mu_{\text{bu}} = \frac{M_{tu}^{max}}{bd^2 \mu_{\text{bu}}}$$

$$f_{bu} = \frac{0.85 F_{c_{28}}}{\theta \gamma_b} = \frac{0.85 \times 25}{1 \times 1.5} = 14.17 \text{ MPa}$$

$$\mu_{bu} = \frac{M_{au}^{max}}{bd^2 \mu_{bu}} = \frac{8.62 \times 10^6}{650 \times 180^2 \times 14.17} = 0.188$$

 $\mu_{bu} = 0.188 \le \mu_1 = 0.392$  A.= 0 (Les armatures comprimées ne sont pas nécessaire).

$$\alpha = 1.25(1 - \sqrt{1 - 2\mu})$$

$$\alpha = 1.25(1 - \sqrt{1 - 2 \times 0.188})$$

$$\alpha = 0.26$$

$$Z=d(1-0.4\alpha)$$

$$Z=180(1-0.4 \times 0.26)$$

Z=162.28 mm.

$$A_{s=} \frac{\textit{M}_{\textit{au}}^{\textit{max}}}{\textit{Z} \times \frac{\textit{fe}}{\textit{\gamma}_{s}}} = \frac{8.62 \times 10^{6}}{158.54 \times \frac{400}{1.15}} = 152.71 \ mm^{2}$$

$$= 1.53 \text{cm}^2$$

Condition de non fragilité:

A min 
$$\ge 0.23 \text{ b d d} \frac{f_{c28}}{f_e}$$

$$f_{c28} = 0.6 + 0.06 f_{c28} = 2.1 \text{ MPa}$$

A min 
$$\ge 0.23 \times 10 \times 18 \times \frac{2.1}{400} = 0.22 \text{ cm}^2$$

Donc 
$$A_S = max (A_{cal} = 1.53 \text{ cm}^2; A_{min} = 0.22 \text{cm}^2)$$

$$A_S = 1.53 \text{ cm}^2$$

On adopte: 2HA12 soit A<sub>s</sub>= 2.26cm<sup>2</sup>

Tableau III-21: Tableau de ferraillage à l'ELU

M(KN.m)	$\mu_{bu}$	$\alpha_{\mathrm{u}}$	z (mm)	Acal (cm <sup>2</sup> )	Amin (cm <sup>2</sup> )	Aadop (cm <sup>2</sup> )	St
8.62	0.188	0.27	162.28	1.53	0.22	3HA12= 2.26	25

# ✓ Appui de rive :

$$M_{ta \ reve} = -2.16 \ KN.m$$

$$\mu_{bu} = \frac{\text{Mta reve}}{bd^2 \mu_{bu}}$$

$$f_{bu} = \frac{0.85 \; F_{c_{28}}}{\theta \gamma_b} = \frac{0.85 \times 25}{1 \times 1.5} = 14.17 \; MPa$$

$$\mu_{\text{bu}} = \frac{M_t}{bd^2\mu_{bu}} = \frac{2.16 \times 10^6}{650 \times 180^2 \times 14.17} = 0.047$$

$$\mu_{bu} \! = \! 0.047 \! \leq \mu_1 = 0.186 \qquad \mbox{Pivot A.}$$

$$\mu_{bu} \!\! = 0.047 \leq \!\! \mu_1 \!\! = 0.392 \qquad \quad A \!\! = 0.$$

$$\alpha = 1.25(1 - \sqrt{1 - 2\mu})$$

$$\alpha = 1.25(1 - \sqrt{1 - 2 \times 0.047})$$

$$\alpha = 0.060$$

$$Z=d(1-0.4\alpha)$$

$$Z=180(1-0.4 \times 0.060)$$

Z=175.68 mm

$$A_{s=} \frac{\text{Mta reve}}{Z \times \frac{f_e}{\nu_s}} = \frac{2.16 \times 10^6}{175.68 \times \frac{400}{1.15}} = 35.35 \text{ mm}^2$$

$$=0.35 \text{cm}^2$$

-Condition de non fragilité :

A min 
$$\ge 0.23 \text{ b d} \frac{f_{28}}{f_e}$$

$$F_{c28}=0.6+0.06f_{c28}$$

A min 
$$\ge 0.23 \times 10 \times 18 \times \frac{2.1}{400} = 0.22 \text{ cm}^2$$

$$A_S = 0.35 \text{ cm}^2$$

On adopte : 1HA10 soit  $A_s = 0.79$ cm<sup>2</sup>

Tableau III-22: Tableau de ferraillage à l'ELU

M(KN.m)	$\mu_{bu}$	$\alpha_{\rm u}$	z (mm)	Acal( cm <sup>2</sup> )	Amin (cm <sup>2</sup> )	Aadop (cm <sup>2</sup> )	St
2.16	0.047	0.060	175.68	0.35	0.22	1HA10= 0.79	25

#### • Vérification de la contrainte de cisaillement

$$\tau_{\rm u} \leq \overline{\tau_u}$$

$$\tau_{\rm u} = \frac{T_u}{b_0 d}$$

$$\tau_u = \frac{15.03 \times 103}{100 \times 180} = 0.84 \text{Mpa}$$

$$\tau_u = 0.84 MPa$$

-Fissuration peu nuisible :

$$\overline{\tau_u}$$
= min (0.2;4MPa)=  $\overline{\tau_u}$ = min (3.33Mpa;4MPa)= 3.33MPa

$$\overline{\tau_u}$$
= 3.33 MPa.

$$\tau_u$$
= 0.92 MPa  $\leq \overline{\tau_u}$ = 3.33 MPa .....CV.

Donc Pas de risque de rupture par cisaillement

#### •Choix des armatures transversales

$$Q_t \le \min(\frac{h}{35}; \frac{b_0}{10}; \ Q_{lmax}) = \min(\frac{20}{35}; \frac{10}{10}; \ 1) = \min\{0.57; \ 1; \ 1\}$$

$$Q_t = 0.6 \text{ cm}$$

On prend : 
$$A_s = 2HA6 = 0.57$$
 cm<sup>2</sup>

#### •Espacement entre cadre (St)

L'espacement des armatures transversales St est défini par le minimum entre les trois conditions qui suivant :

$$\begin{cases} S_{t1} \leq min\{09h; 40cm\} \\ S_{t2} \leq \frac{A_S \times f_e}{0.4b_0} \\ S_{t3} \leq \frac{0.8 \times A_S \times f_e}{b_0(\tau u - 0.3 f_{t28})} \end{cases}$$
 (CBA 93 (Article A.5.1.2.2)

$$\begin{cases} S_{t1} \leq min\{09 \times 18 = 16.2; 40cm\} \\ S_{t2} \leq \frac{0.57 \times 400}{0.4 \times 10} = 57cm \\ S_{t3} \leq \frac{0.8 \times 0.57 \times 400}{10(0.84 - 0.3 \times 2.1)} = 86.87 cm \end{cases}$$

$$S_t = min \{S_{t1}; S_{t2}; S_{t3}\} = 16.2$$

Soit: 
$$S_t = 15$$
 cm

#### • Vérification des armatures longitudinales vis-à-vis de l'effort tranchant

-Appuis de rive :

$$A_1 \ge \frac{\gamma_s}{f_a} \times T_u$$

$$A_1 = A_{trav\acute{e}} + A_{rive} = 2.26 + 0.79 = 3.05 \text{ cm}^2$$

$$A_1 \ge \frac{1.15}{400} \times (15.03 \times 10^3) = 43.21 \text{ mm}^2$$

$$A_1 = 3.05 \text{ cm}^2 \ge 0.47 \text{ cm}^2 \dots \text{CV}$$
.

-Appuis intermédiaires :

$$A_1 \ge \frac{\gamma_s}{f_s} \times (T_u \times \frac{M_{au}^{max}}{0.9d})$$

$$A_{l}{\geq}^{1.15}_{400}\times(15.03{\times}\ 10^{3}-\tfrac{8.62{\times}10^{6}}{0.9{\times}180}\ ){=}\text{-}109.77$$

 $A_l \ge -1.09 \text{ cm}^2 < 0$ : Pas de vérification à faire au niveau de l'appui intermédiaire, car l'effort est négligeable devant l'effet du moment.

#### •Vérification de la bielle

$$\begin{cases} \sigma_{\rm bc} \leq \frac{0.8 f_{c28}}{\gamma_b} \\ \sigma_{\rm bc} = \frac{2T_u}{ab_0} \end{cases} Avec : a = min\{0.9d; (40-4)cm\} = 16.2 cm \end{cases}$$

Ce qui donne :  $T_u \le 0.267 \times a \times b_0 \times f_{c28} = (0.267 \times 162 \times 100 \times 25) \times 10^{-3}$ 

 $T_u = 108.14 \text{ KN}$ 

$$Tu = 16.64$$
KN  $\leq 108.14$  KN.....CV.

Pas de risque d'écrasement du béton au niveau de l'appui.

#### •Vérification de la jonction table-nervure

On doit vérifier que :

$$\tau_{\mathbf{u}} = \frac{T_u \times b_1}{0.9 \ b \ d \ h_0} \le \overline{\tau_u}$$

Avec : Avec : 
$$b_1 = \frac{b - b_0}{2} = \frac{65 - 10}{2} = 27.5 \text{ cm}$$

$$\overline{\tau_u}$$
 =3.33 MPa

$$\tau_u {=} \, \frac{_{15.03 \times 10^3 \times 275}}{_{0.9 \times 650 \times 180 \times 40}} \, {=} 0.98 \; MPa$$

$$\tau_u = 0.98 \text{ MPa} \le \overline{\tau_u} = 3.33 \text{ MPa}.....CV.$$

Pas de risque de rupture à la jonction table nervure.

#### •Vérification des contraintes à l'ELS

#### - En travée :

$$M_{ts}^{max}$$
=7.98 KN.m

$$\sigma_{\rm bc} = \frac{M_{ser} \times y}{I}$$

$$\overline{\sigma_{bc}}$$
=0.6 $f_{c28}$ 

$$\overline{\sigma_{bc}}$$
=0.6× 25 = 15 MPa

$$\overline{\sigma_{bc}} = 15 \text{ MPa}$$

-Position de l'axe neutre :

$$\eta = 15$$
  $A'_{s} = 0$   $A_{s} = 2.26$ 

$$H = \frac{bh_0^2}{2} - 15A_s(d - h_0) = \frac{65 \times 4^2}{2} - 15 \times 12.26 \times (18 - 4) = 45.4 \text{ cm}^3$$

 $H \geq 0$  l'axe neutre est dans la table le calcul sont identiques au cas d'une section rectangulaire

-Calcul y:

$$\frac{1}{2}$$
 b y<sup>2</sup>+  $\eta$  (d-y)A'<sub>s</sub> -  $\eta$  (d-y)A<sub>s</sub>= 0

$$\frac{1}{2} \times 65 \text{ y}^2 - 15 (18 - \text{y}) \times 2.26 = 0$$

$$32.5y^2 + 33.9y - 610.20 = 0$$

$$y = 3.84 \text{ cm}$$

-Moment d'inertie:

$$I = \frac{1}{3} b y^3 + \eta (d - y)^2 A_s + \eta (d - y) A_s$$

$$I = \frac{1}{3} \times 65 \times 3.84^{3} + 15 \times (18 - 3.84)^{2} \times 2.26 = 8023.97 \text{cm}^{4}$$

Donc:

$$\sigma_{bc} = \frac{M_{ser} \times y}{I} = \frac{7.98 \times 10^6 \times 3.84}{8023.97 \times 10^4} = 3.82 \text{ MPa}$$

$$\sigma_{\mathrm{bc}} = 0.3 \,\mathrm{MPa} \leq \,\overline{\sigma_{bc}} = 15 \,\mathrm{MPa} \ldots \ldots \ldots \mathrm{CV}$$

Les résultats trouvés en travée est regroupé dans le tableau suivant :

Tableau III-23: Vérification des contraintes à l'ELS

M <sub>ser</sub> (KN.m)	$A_s(cm^2)$	Y (cm)	I (cm <sup>4</sup> )	$\sigma_{bc}$	$\sigma_{bc} \le \sigma_{bc}$
7.98	2.26	3.84	8023.97	3.82	CV

- Sur appuis intermédiaires

$$M_{ts}^{max} = 6.23 \text{ KN.m}$$

$$\sigma_{bc} = \frac{M_{ser} \times y}{I}$$

$$\overline{\sigma_{bc}} = 0.6 f_{c28}$$

$$\overline{\sigma_{bc}} = 0.6 \times 25 = 15 \text{ MPa}$$

$$\overline{\sigma_{bc}}=15~\text{MPa}$$

-Position de l'axe neutre :

$$\eta = 15$$
  $A'_{s} = 0$   $A_{s} = 2.26$ 

$$H = \frac{bh_0^2}{2} - 15A_s(d - h_0) = \frac{65 \times 4^2}{2} - 15 \times 2.26 \times (18 - 4) = 45.4 \text{ cm}^3$$

H≥0 l'axe neutre est dans la table le calcul sont identiques au cas d'une section rectangulaire

-Calcul y:

$$\frac{1}{2}by^2 + \eta(d-y)A'_s - \eta(d-y)A_s = 0$$

$$\frac{1}{2} \times 65 \times y^2 - 15(18 - y)2.26 = 0$$

$$32.5y^2 + 33.9y - 610.20 = 0$$

$$y = 3.84 \text{ cm}$$

-Moment d'inertie:

$$I = \frac{1}{2}by^3 + \eta(d-y)^2A_s + \eta(d-y)A_s$$

$$\frac{1}{3} \times 65 \times y^2 - 15 \times (18 - y) \times 2.36 = 0$$

$$I = \frac{1}{3} \times 65 \times 3.84^{3} + 15 \times (18 - 3.84)^{2} \times 2.26 = 8023.97 \text{cm}^{4}$$

Donc:

$$\sigma_{bc} = \frac{M_{ser} \times y}{I} = \frac{6.23 \times 10^6 \times 3.84}{8023.97 \times 10^4} = 2.98 \text{ MPa}$$

$$\sigma_{bc} = 2.98 \text{ MPa} \leq \overline{\sigma_{bc}} = 15 \text{ MPa} \dots \dots \dots \text{CV}$$

Les résultats trouvés en travée est regroupé dans le tableau suivant :

Tableau III-24: Vérification des contraintes à l'ELS

M <sub>ser</sub> (KN.m)	A <sub>s</sub> (cm <sup>2</sup> )	Y (cm)	I (cm <sup>4</sup> )	$\sigma_{bc}$	$\sigma_{bc} \leq \sigma_{bc}$
-------------------------	-----------------------------------	--------	----------------------	---------------	--------------------------------

6.23	2.26	3.84	8023.04	2.98	CV

•Vérification de la flèche : BAEL 91(article B.6.5.1) [1]

$$\bullet \begin{cases}
\frac{h}{l} \ge \frac{1}{16} \\
\frac{h}{l} \ge \frac{M_t}{10 M_0} \\
\frac{A_s}{hd} \le \frac{4.2}{f_0}
\end{cases} \begin{cases}
\frac{020}{4.4} = 0.045 \ge \frac{1}{16} = 0.0625 & CNV \\
\frac{0.30}{3.4} = 0.088 \ge \frac{7.98}{10 \times 10.38} = 0.077 & CV \\
\frac{2.26}{10 \times 18} = 0.013 \le \frac{4.2}{400} = 0.0105 & CNV
\end{cases}$$

Les conditions suivant ne sont pas vérifier donc on est ramenée à effectuer un calcul de flèche:

-Calcul de la flèche : BAEL 91(article B.6.5.2) [1]

La flèche totale est donnée par :

$$\Delta_{ft} = fgv - fji + fpi - fgi.$$

-  $f_{gi}$  et  $f_{gv}$ : Les flèches dues à l'ensemble des charges permanentes.

 $-f_{pi}$ : La flèche due aux charges permanentes appliquées au moment de la mise en œuvre des cloisons.

- p: La flèche due à l'ensemble des charges permanentes et d'exploitation supportée par l'élément considéré

$$\begin{cases} \Delta f_t = fgv - fji + fpi - fgi \\ f_{admissible} = \begin{cases} \frac{L}{500} & pour \ L \leq 5m \\ BAEL91 \ (Article \ B. \ 6.5.3) \ [2] \\ 0.5cm + \frac{L}{500} & pour \ L > 5m \end{cases}$$

Avec: y = 3.84 cm;  $I = 8023.97 \text{cm}^4$ ; d = 18 cm; h = 20 cm

 $A_s=2.26 \text{ cm}^2$ ; b=65 cm;  $f_{t28}=2.1 \text{ MPa}$ 

$$\rho = \frac{A}{b_0 d} = \frac{2.26}{10 \times 18}$$

$$\rho = 0.0126$$

\*Calcul le moment d'inertie de la section homogène « I<sub>0</sub> » :

$$I_0 = \frac{b_0 h^3}{3} + b_0 h \left[ \frac{h}{2} - y_G \right]^2 + (b - b_0) h_0 (y_G - \frac{h}{2})^2 + (b - b_0) \frac{h_0^3}{12} + 15 As(d - y_G)^2$$

$$Y_G = \frac{\frac{b_0 h^2}{2} + (b-b_0) + \frac{h_0^2}{2} + 15Asd}{b_0 h + (b-b_0)h + 15Asd}$$

$$Y_G = \frac{\frac{10 \times 20^2}{2} + (65 - 10) + \frac{20^2}{2} + 15 \times 2.26 \times 18}{10 \times 20 + (65 - 10) \times 15 + 15 \times 2.26} = 6.72 \text{ m}$$

$$I_0 \!\!=\!\! \frac{_{10} \!\!\times\! 20^3}{_3} \!\!+\! 10 \!\!\times\! 20 \!\left[\!\frac{_{20}}{_2} - 6.72\right]^2 \!\!+\! (65 \!\!-\! 10) h_0 (6.72 \!\!-\!\!\frac{_4}{_2})^2 \!\!+\! (65 \!\!-\! 10) \!\frac{_{4^3}}{_{12}} \!\!+\! 15 \!\!\times\! 2.26 (18 \!\!-\! 6.72)^2$$

$$I_0 = 38326.31 \text{ cm}^4$$

#### \*Calcul des coefficients:

$$\lambda_i = \frac{0.05 f_{t28}}{\left(2 + 3\frac{b_0}{b}\right)\rho}$$

$$\lambda_i = \frac{0.05 \times 2.1}{\left(2 + 3\frac{10}{65}\right) \times 0.0126} 3.39$$

$$\lambda i = 3.39$$

$$\lambda v = \frac{2}{3}\lambda_i$$

$$\lambda v = \frac{2}{3} \times 3.39 = 1.36$$

$$\lambda v = 1.36$$

Ei = 
$$11000\sqrt[3]{\text{fc28}}$$

Ei=32164.2 MPa

$$Ev = \frac{1}{3}Ei = 107214.2$$

$$Ev = 10721.4 MPa$$

#### \*Calcul de Contraintes σs:

- $\sigma_s$ : Contrainte de traction effective de l'armature pour le cas de charge considéré.
- q<sub>i</sub>: Charges permanentes avant la mise en place des revêtements.
- qg: Charges permanentes après la mise en place des cloisons des revêtements.
- q<sub>p</sub>: Charges permanentes et d'exploitations.

$$-q_{jser} = 0.65 \text{ G} = 0.65 \times 2.8 = 1.82$$

$$- q_{iser} = 1.82 \text{ KN /m}$$

$$-q_{gser} = 0.65 \text{ G} = 0.65 \times 5.10 = 3.32$$

$$- q_{gser} = 3.32 \text{ KN /m}$$

$$-q_{pser} = 0.65 (G + Q) = 0.65 \times (5.10 + 1.5) = 4.29$$

$$- q_{iser} = 5.29 \text{ KN/m}$$

$$M_{jser} = 0.75 \frac{qj \text{ ser}L^2}{8} = 0.75 \frac{1.82 \times 4.4^2}{8} = 3.3$$

$$M_{jser} = 3.3 \text{ KN. m}$$

$$M_{gser} = 0.75 \frac{qgserL^2}{8} = 0.75 \frac{3.32 \times 4.4^2}{8} = 6.03$$

$$M_{gser} = 6.03 \text{ KN. m}$$

$$M_{pser} = 0.75 \frac{qj \, ser L^2}{8} = 0.75 \frac{5.29 \times 4.4^2}{8} = 7.79$$

$$M_{pser} = 7.79 \text{ KN. m}$$

$$\delta_{sj} = \frac{15Mj(d-y)}{l} = \frac{15\times3.3\times10^6(180-38.4)}{8023.97\times10^4} = 87.35$$

$$\delta_{si} = 87.35 \text{ KN.m}$$

$$\delta_{sg} = \frac{15Mg(d-y)}{I} = \frac{15\times6.03\times10^6(180-38.4)}{8023.97\times10^4} = 159.62$$

$$\delta_{sq} = 159.62 \text{ KN.m}$$

$$\delta_{sp} = \frac{15Mp(d-y)}{I} = \frac{15 \times 7.79 \times 10^6 (180 - 38.4)}{8023.97 \times 10^4} = 206.21$$

$$\sigma_{sp} = 206.21 \text{ KN.m}$$

#### \*Calcul de µ:

$$\mu_j = 1 - \left[ \frac{1.75 f_{t28}}{4 \text{ orsit ft28}} \right] = 1 - \left[ \frac{1.75 \times 2.1}{40.0126 \times 87.35 + 2.1} \right] = 0.43$$

$$\mu_g = 1 - \left[ \frac{1.75 f_{t28}}{4 \rho \sigma sg + ft28} \right] = 1 - \left[ \frac{1.75 \times 2.1}{4 \times 0.0126 \times 159.62 + 2.1} \right] = 0.63$$

$$\mu_{\rm p} = 1 - \left[ \frac{1.75 f_{t28}}{4 \, \text{orsp} + \, \text{ft28}} \right] = 1 - \left[ \frac{1.75 \times 2.1}{4 \times 0.0126 \times 206.21 + 2.1} \right] = 0.71$$

#### \*Calcul de l'inertie fictive (If):

Ifji = 
$$\frac{1.1 \text{ I0}}{1 + \lambda i \, \mu j} = \frac{1.1 \times 38326.31}{1 + 3.39 \times 0.43} = 17153.82$$

Ifgi = 
$$\frac{1.1 \text{ I0}}{1 + \lambda i \, \mu g} = \frac{1.1 \times 38326.31}{1 + 3.39 \times 0.63} = 13444.83$$

Ifpi = 
$$\frac{1.1 \text{ I0}}{1 + \lambda i \, \mu p} = \frac{1.1 \times 38326.31}{1 + 3.39 \times 0.71} = 12374.58$$

Ifgv = 
$$\frac{1.1 \text{ I0}}{1 + \lambda v \,\mu g} = \frac{1.1 \times 38326.31}{1 + 1.36 \times 0.63} = 22705.16$$

#### \*Evaluation des flèches:

fji = 
$$\frac{\text{Mj}_{\text{ser}}l^2}{10 \text{ Ei Ifji}} = \frac{3.3 \times 4.4^2}{10 \times 32164.2 \times 17153.82} = 1.16 \text{mm}$$

fgi = 
$$\frac{Mg_{ser}l^2}{10 \text{ Ei Ifgi}}$$
 =  $\frac{6.03 \times 4.4^2}{10 \times 32164.2 \times 13444.83}$  = 2.7mm

fpi = 
$$\frac{Mp_{ser}l^2}{10 \text{ Ei Ifpi}} = \frac{7.79 \times 4.4^2}{10 \times 32164.2 \times 12374.16} = 3.79 \text{ mm}$$

$$fgv = \frac{Mg_{ser}l^2}{10 \text{ Ev Ifgv}} = \frac{6.03 \times 4.4^2}{10 \times 10721.4 \times 12374.16} = 4.79 \text{mm}$$

$$\Delta ft = fgv - fji + fpi - fgi.$$

$$\Delta \text{ft} = 4.79 - 1.16 + 3.79 - 2.7$$

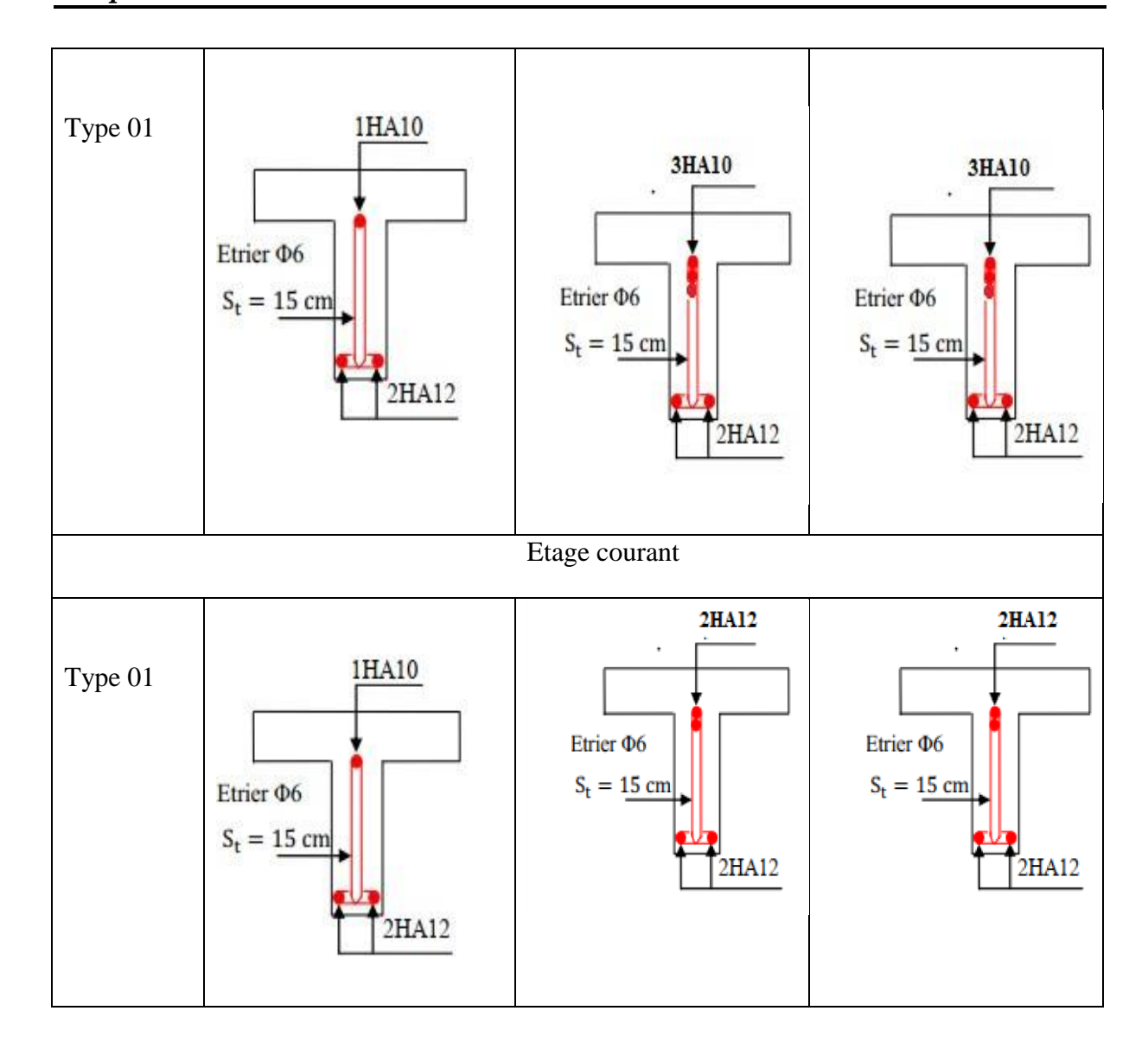
$$\Delta ft = 5.04 \text{ mm}$$

$$f_{admissible} = \frac{L}{500} = \frac{4.4}{500} = 8.8$$

$$\Delta \text{ft} = 5.04 \le f_{admissible} = 8.8 \text{ mm} \dots \text{CV}$$

Tableau III-25: ferraillage des poutrelles

Terrasse accessible



#### III.6.2.1. Etude de la dalle de compression : CBA93 article (B.6.8.4.2.3)

Selon le CBA93 article (B.6.8.4.2.3) [3] la dalle de compression, sera armée par un quadrillage de barres dont les dimensions de mailles ne doivent pas dépasser :

- ❖ 20 cm (5 p.m.) pour les armatures perpendiculaires aux nervures.
- ❖ 33 cm (3 p.m.) pour les armatures parallèles aux nervures.

D'après le même article cité ci-dessus les sections des armatures sont calculées comme suit :

# > Armatures perpendiculaires aux poutrelles :

 $50 \text{ cm} \le \text{entre axes des poutrelles } l_0 = 65 \text{ cm} \le 80 \text{ cm}$ 

Donc:

$$A \perp = \frac{4I_0}{f_e}$$

 $l_0 = 65 \text{ cm}$ 

f<sub>e</sub> = 235 MPa : Car c'est du treillis soudés (Rond Lisse).

$$A_{\perp} = \frac{4 \times 65}{235} = 1.106$$

 $A_T = 1.106 \text{ cm}^2/\text{ml}$ 

Avec:  $S_t \le 20$  cm

#### > Armatures parallèles aux poutrelles :

$$A_{//} = \frac{A_{\perp}}{2}$$

Avec:

Avec:  $S_t \le 33$  cm

On choisit : un treillis soudé  $\Phi_6$  (150× 150) mm<sup>2</sup>

5HA  $6/ml = 1.41 \text{ cm}^2 \perp \text{ aux poutrelles}$ 

 $S_t = 20cm \le 20cm \dots cv.$ 

5HA 6/ml = 1.41 cm<sup>2</sup> // aux poutrelles  $S_t$ = 25 cm  $\leq$  33cm.....cv.

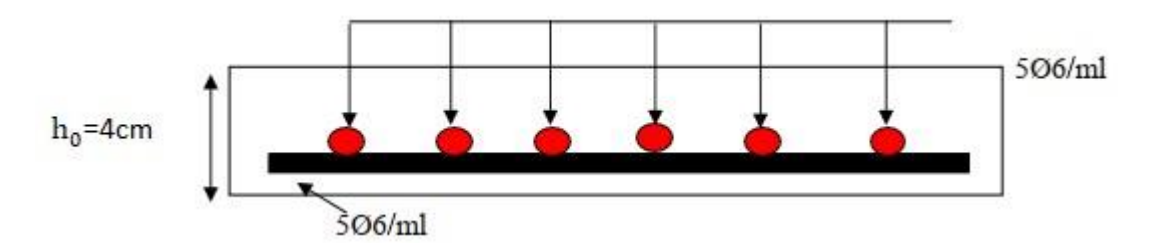


Figure III-16: Schéma de ferraillage de la dalle de compression.

#### Conclusion

Les travaux achevés dans ce chapitre se présentent aux calculs de différents charges et sollicitation agissent sur les éléments non structuraux. Ces derniers nous ont permis de déterminer le ferraillage nécessaire de ces éléments afin de garantir la stabilité et la résistance du bâtiment ainsi que le conforte requise afin d'assurer le bienêtre de la vie humain.

# Chapitre IV Etude dynamique en zone sismique

#### **IV.1. Introduction**

Le séisme est le phénomène naturel le plus destructeur et le plus difficile à prédire quand et où il frappe, et avec quelle intensité vas secouer nos constructions. Le séisme correspond à des vibrations du sol provoqué une vibration soudaine d'énergie de déformation accumulée la croûte terre ou dans la couche sous-jacente appelée manteau. Ce phénomène naturel peut creuser des pertes humaines et matérielles ce qui rond l'étude de comportement de structure sons l'effet des actions dynamique dues au séisme est obligatoire et doit être justifie selon les règles parasismiques algériennes. Notre travail, consiste en l'étude et la conception d'un bâtiment (R+5) à usage multiple avec justification d'interaction portiques voiles, est implanté à MILA C'est une zone classée par le RPA2024 comme zone sismicité moyenne (zone V) et dans un Site ferme (S3).

# IV.2. Buts de l'analyse dynamique

- Détermination des caractéristiques dynamiques propres de la structure. -Déterminer les modes et les périodes propres. ROBOT considère un modèle brochette encastré à la base où les masses sont considéré concentrées au niveau de chaque plancher.
- La masse des planchers est calculée de manière à inclure une partie des surcharges d'exploitation.....(β=0,2) Tab.4.5. RPA 2024

# IV.3. Présentation des différentes méthodes d'estimation Des forces sismiques

Le calcul des forces sismiques peut être mené suivant trois méthodes :

- ✓ La méthode statique équivalente
- ✓ La méthode d'analyse modale spectrale
- ✓ La méthode d'analyse dynamique par accélérogrammes

#### IV.3.1. Méthode statique équivalente (Article 4.2 du RPA 2024)

#### a) Principe

Les forces réelles dynamiques, qui se développent dans la construction, sont remplacées par un système de forces statiques fictives dont les effets sont considérés équivalents à ceux de l'action sismique.

Le mouvement du sol peut se faire dans une direction quelconque, dans le plan horizontal. Les forces sismiques horizontales équivalentes seront considérées appliquées, successivement, suivant deux directions orthogonales caractéristiques choisies par le projeteur. Dans le cas général, ces deux directions sont les axes principaux du plan horizontal de la structure.

#### b) Conditions d'application

La méthode statique équivalente peut être utilisée dans les conditions suivantes :

-Le bâtiment, ou bloc étudié, satisfait aux conditions de régularité en plan et, en élévation prescrites au § 3.7, avec une hauteur au plus égale à 65m en zones (I, II et III) et à 32 m en zones (IV, V et VI).

-Le bâtiment, ou bloc étudié, présente une configuration irrégulière tout en respectant, outre les conditions de hauteur énoncées en a), les conditions complémentaires indiquées au Tableau (4.1).

#### c) Méthode de modélisation

-Le modèle du bâtiment à utiliser, dans chacune des deux directions de calcul, est plan avec les masses concentrées au centre de gravité des planchers et un seul degré de liberté, en translation horizontale par niveau, sous réserve que les systèmes de contreventement dans les deux (2) directions puissent être découplés.

-La rigidité latérale des éléments porteurs du système de contreventement est calculée, à partir de sections non fissurées, pour les structures en béton armé ou en maçonnerie.

-Seul le mode fondamental de vibration de la structure est considéré dans le calcul de la force sismique totale.

#### IV.3.2. Méthode dynamique modale spectrale

#### a) Principe de la méthode dynamique modale spectrale

- Selon le RPA, la méthode d'analyse modale spectrale peut être utilisée dans tous les cas, et en particulier, dans le cas où la méthode statique équivalente n'est pas permise. Par cette méthode, il est recherché pour chaque mode de vibration, le maximum des effets engendrés dans la structure par les forces sismiques représentées par un spectre de réponse de calcul.
- Ces effets sont par la suite combinés pour obtenir la réponse de la structure.

#### b) Modélisation

**b.1**) Pour les structures régulières en plan comportant des planchers rigides, l'analysées faite séparément dans chacune des deux directions principales du bâtiment. Celui-ci est alors

représenté dans chacune des deux directions de calcul par un modèle plan, encastré à la base et où les masses sont concentrées au niveau des centres de gravité des planchers avec un seul DDL en translation horizontale.

- **b.2**) Pour les structures irrégulières en plan, sujettes à la torsion et comportant des planchers rigides, elles sont représentées par un modèle tridimensionnel, encastré à la base et où les masses sont concentrées au niveau des centres de gravité des planchers avec trois (03) DDL (2 translations horizontales et une rotation d'axe vertical).
- **b.3**) Pour les structures régulières ou non régulières comportant des planchers flexibles, elles sont représentées par des modèles tridimensionnels encastrés à la base et à plusieurs DDL par plancher.
- **b.4**) La déformabilité du sol de fondation doit être prise en compte dans le modèle toutes les fois où la réponse de la structure en dépend de façon significative.
- **b.5**) Le modèle de bâtiment à utiliser doit représenter au mieux les distributions des rigidités et des masses de façon à prendre en compte tous les modes de déformation significatifs dans le calcul des forces d'inertie sismiques (ex : contribution des zones nodales et des éléments non structuraux à la rigidité du bâtiment).
- **b.6**) Dans le cas des bâtiments en béton armé ou en maçonnerie la rigidité des éléments porteurs doit être calculée en considérant les sections non fissurées. Si les déplacements sont critiques particulièrement dans le cas de structures associées à des valeurs élevées du coefficient de comportement, une estimation plus précise de la rigidité devient nécessaire par la prise en compte de sections fissurées.

# IV.4. Calcul de l'effort tranchant avec la méthode statique équivalente

Calcul de la force sismique totale La force sismique totale, V, appliquée à la base de la structure, doit être calculée successivement dans deux directions horizontales orthogonales, selon Eq n. (4.1):

$$V = \lambda \frac{S_{ad}}{g} (T_0).W$$

avec:

(T<sub>0</sub>) : Ordonnée du spectre de calcul (cf. § 3.3.3) pour la période T<sub>0</sub>;

 $T_0$ : Période fondamentale de vibration du bâtiment, pour le mouvement de translation dans la direction considérée (cf. § 4.2.4).

λ: Coefficient de correction

W: Poids sismique total du bâtiment. Il est égal à la somme des poids Wi , calculés à chaque niveau « i »:

#### IV.4.1. Définitions de la valeur des coefficients

• Coefficient de correction  $\lambda$ :

$$\lambda \!\!=\!\! \left\{ \!\!\! \begin{array}{l} 0.85: Si\; T_0 \leq 2T_2 \; et\; si\; le\; b \\ \text{$\hat{a}$ timent a plus de 2 niveaux} \\ 1 \; autrement \end{array} \right.$$

• Poids totaux de la structure « W »:

 $Wi = W_{Gi} + \psi.W_{Qi}$ , pour tout niveau i de la structure

 $W_{Gi}$ : Poids dû aux charges permanentes et à celles des équipements fixes éventuels, solidaires de la structure  $W_{Gi}$ =11598.80KN

W<sub>Qi</sub>: Charges d'exploitation WQi = 2066.19 KN

 $\Psi$ : Coefficient d'accompagnement, fonction de la nature et de la durée de la charge d'exploitation et donné au Tableau (4.2).

Tableau IV-1: Coefficient d'accompagnement

Cas	Type d'ouvrage	Ψ
1	Bâtiments d'habitation, bureaux ou assimilés	0.2
2	Bâtiments recevant du public temporairement :	
2a	Salles d'exposition, de sport, lieux de culte, salles de réunions avec	0.30
2b	places debout	0.4
	salles de classes, restaurants, dortoirs, salles de réunions avec places	
	assises	
3	Entrepôts, hangars	0.5
4	Archives, bibliothèques, réservoirs et ouvrages assimilés	1.00
5	Autres locaux non visés ci-dessus	0.60

Dans notre cas : $\varphi = 0.20$ 

On a des poids des différents niveaux donné par le logiciel ROBOT :

# • Spectre de calcul

L'action sismique horizontale est représentée par le spectre de calcul suivant :

$$\frac{S_{ad}}{g}(T) = \begin{cases} A.I.S.[\frac{2}{3} + \frac{T}{T_1}.(2.5\frac{Q_F}{R} - \frac{2}{3})] & si: 0 \le T < T_1 \\ A.I.S.[2.5\frac{Q_F}{R}] & si: T_1 \le T < T_2 \\ A.I.S.[2.5\frac{Q_F}{R}].[\frac{T_2}{T}] & si: T_2 \le T < T_3 \\ A.I.S.[2.5\frac{Q_F}{R}].[\frac{T_2.T_3}{T^2}] & si: T_3 \le T < 4s \end{cases}$$

#### ❖ Coefficient d'Accélération de Zone A.

Zone de sismicité	Niveau de sismicité	A
0	Très faible	/
I	Faible	0.07
II	Faible à moyenne	0.10
III	Moyenne	0.15
IV	Moyenne à élevée	0.2
V	Elevée	0.25
VI	Elevée	0.30

#### **❖** S : coefficient de site

#### Le spectre, selon la zone sismique, est de

- Type 1 : appliqué aux zones sismiques IV, V et VI
- Type 2 : appliqué aux zones sismiques I, II et II

Pour les quatre classes de sol S1, S2, S3, et S4, les valeurs recommandées des paramètres S, T1, T2 et T3 sont données dans :

• le spectre de type 1 le pour tableau (3.3)

**Tableau IV-2:** Valeurs des paramètres décrivant les spectres de réponse élastique de type1 (Zones IV, V et VI)

Spectre type 1 (Zones IV, V et VI)	S	T1 (s)	T2 (s)	T3 (s)
S1	1.00	0.10	0.40	2.0
S2	1.20	0.10	0.50	2.0
S3CRFED	1.30	0.15	0.60	2.0
S4	1.35	0.15	0.70	2.0

Notre bâtiment est implanté dans la région **MILA** de (zone V) et S3 pour notre cas on a : **S= 1.3** T1 (s)=0.15 s T2 (s)=0.60 s T3 (s)=2.0

#### ❖ Coefficient d'importance, I

Les valeurs du coefficient d'importance, I, pour les groupes d'importance 1A, 1B, 2 et 3 sont données dans le Tableau (3.10) (cf. Eq. n. (1.2) & Annexe I).

**Tableau IV-3:** Valeurs des coefficients d'importance

Coefficient	Group d'importance						
d'importance, I							
Zon	1A	1B	2	3			
I	1 .40	1.20	1	0.80			

#### **Coefficient de comportement global de structure (R)**

Sa valeur unique est donnée par le tableau 4.3. RPA 2024 en fonction du système de contreventement.

Sa valeur unique est donnée par le tableau (3.17) des RPA 2024 en fonction du système de contreventement.

**Tableau IV-4:** Valeurs du coefficient de comportement R.

Cas	Description du système de contreventement	Valeur de R		

A)	Structures en béton armé	
1	Système à ossature	5.5
2	Système à contreventement mixte, équivalent à une ossature	5.5
3	Système à ossature ou mixte équivalent à ossature avec remplissage	3.5
4	en maçonnerie rigide	4.5
5	Système à contreventement mixte, équivalent à des voiles	4.5
6	Système de contreventement constitué par des voiles	3
7	Système à ossature à noyau ou à effet noyau	3
8	Système fonctionnant en console verticale à masses réparties	2
9	prédominantes	1.5
	Système en pendule inversé	
	9 Système de voiles de grandes dimensions en béton peu armé	

# ❖ Facteur de qualité Q

Le facteur de qualité, QF, tient compte de :

- la redondance et de la géométrie des éléments qui constituent la structure
- la régularité en plan et en élévation La valeur de QF est déterminée par Eq. n. (3.23) :

$$\mathbf{Q} = \mathbf{1} + \sum_{\mathrm{q=1}}^{6} \mathbf{p}_{\mathrm{q}}$$
 ......Article 3.8 (RPA 2024).

Tableau IV-5: Valeur de facteur de qualité

3. Régularité en plan.	0	0.05
4. Régularité en élévation.	0	0.2
Conditions minimales sur le nombre étage	0	0.2
Conditions minimales sur les travées	0	0.10
$\sum P_{q}$ .	0.10	

$$Q = 1 + 0.10 = 1.1$$

$$V = \lambda \cdot \frac{S_{ad}}{g} (T_0) \cdot W$$

$$\frac{S_{ad}}{g} = A I S \left[ 2.5 \frac{Q_F}{R} \right]$$

$$\frac{S_{ad}}{g} = 0.25 \times 1 \times 1.3 \times \left[2.5 \ \frac{1.1}{5.5}\right]$$

$$\frac{S_{ad}}{q} = 0.162$$

#### IV.5. Modélisation et résultats

#### IV.5.1. Modélisation

L'une des étapes les plus importantes lors d'une analyse dynamique de la structure est la modélisation adéquate de cette dernière. Vue la complexité et le volume de calcul que requiert l'analyse de notre structure, la nécessite de l'utilisation de l'outil informatiques impose Le logiciel utilisé pour modéliser notre structure c'est **Autodesk Robot Structural Analysis Professional 2014**. La structure modélisée est représentée en figure IV.1.

#### IV.5.2. Analyse de la structure

#### MODELISATION DE LA STRUCTURE

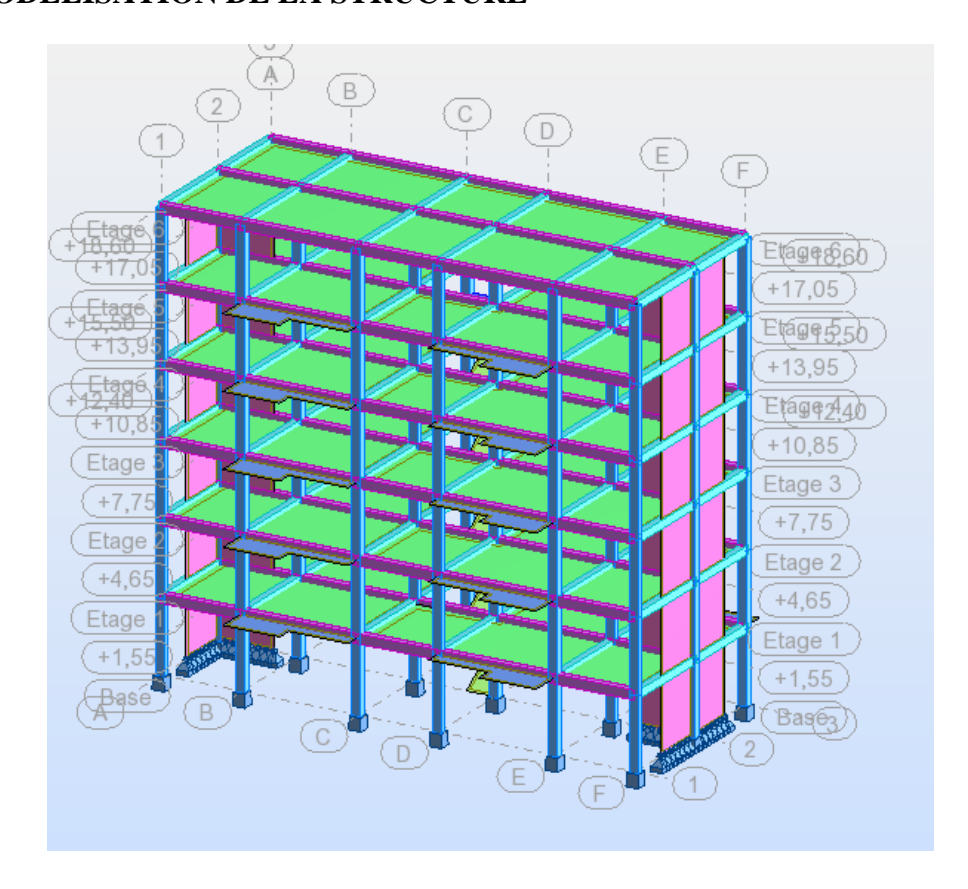


Figure IV-1: Vue en plan et en 3D de la structure en portique

# a) Première variante des voiles

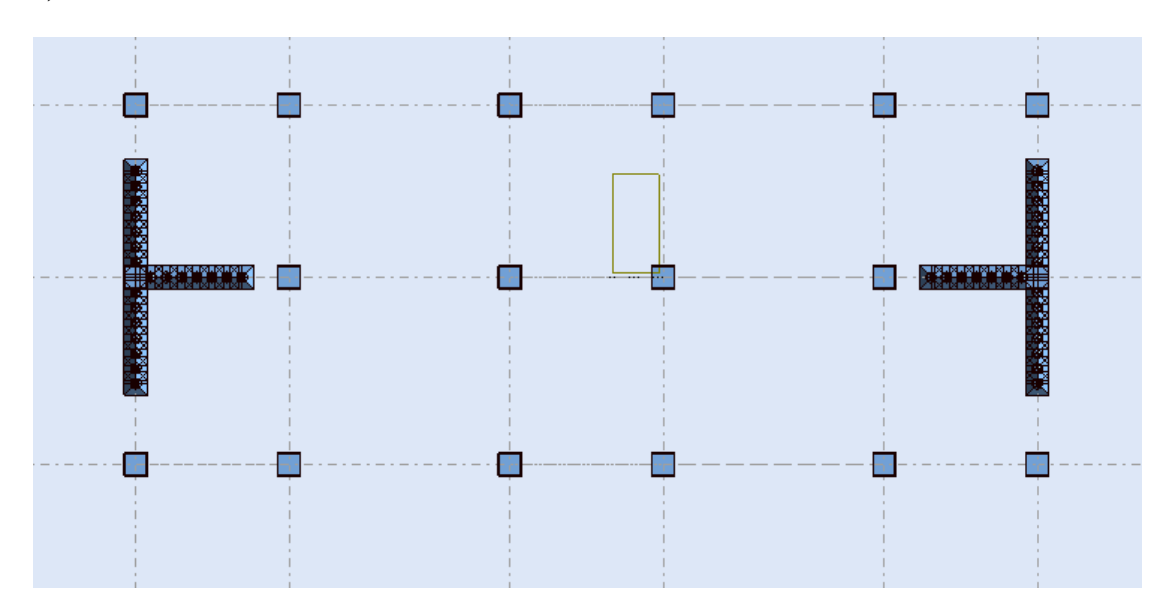


Figure IV-2: Vue en plan pour la disposition du voile selon le plan initial.

# a.1) Résultats de l'analyse dynamique par ROBOT

Tableau IV-6: Périodes et factures de participation massique modale.

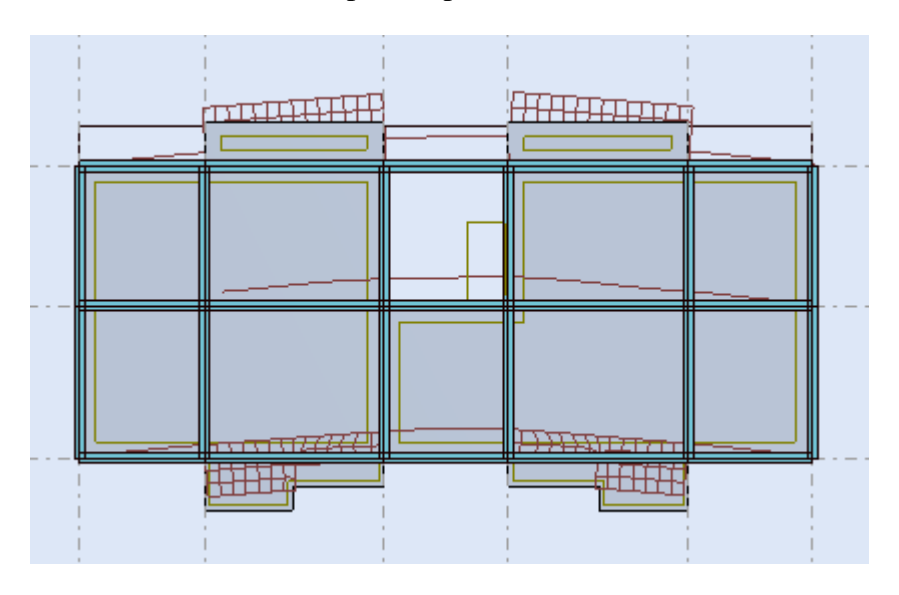
Cas	Mode	Fréquence [Hz]	Période [sec]	Masses Cumulées UX [%]	Masses Cumulées UY [%]	Masses Cumulées UZ [%]	Masse Modale UX [%]	Masse Modale UY [%]	Masse Modale UZ [%]	Tot.mas.UX [kg]	Tot.mas.UY [kg]
3/	1	1,74	0,57	0,02	62,56	0,0	0,02	62,56	0,0	1216289,14	1216289,14
3/	2	2,06	0,49	72,92	62,57	0,0	72,90	0,01	0,0	1216289,14	1216289,14
3/	3	3,05	0,33	73,31	62,58	0,0	0,39	0,01	0,0	1216289,14	1216289,14
3/	4	3,41	0,29	73,58	64,64	0,0	0,28	2,06	0,0	1216289,14	1216289,14
3/	5	3,54	0,28	73,66	70,35	0,0	0,08	5,71	0,0	1216289,14	1216289,14
3/	6	3,95	0,25	73,67	80,10	0,0	0,00	9,76	0,0	1216289,14	1216289,14
3/	7	4,86	0,21	77,31	80,13	0,0	3,64	0,03	0,0	1216289,14	1216289,14
3/	8	5,30	0,19	77,34	81,18	0,0	0,03	1,05	0,0	1216289,14	1216289,14
3/	9	5,44	0,18	77,38	85,10	0,0	0,04	3,91	0,0	1216289,14	1216289,14
3/	10	5,88	0,17	84,65	85,11	0,0	7,26	0,01	0,0	1216289,14	1216289,14
3/	11	6,12	0,16	85,19	85,11	0,0	0,54	0,00	0,0	1216289,14	1216289,14
3/	12	6,21	0,16	85,20	86,18	0,0	0,01	1,07	0,0	1216289,14	1216289,14
3/	13	6,70	0,15	85,33	86,22	0,0	0,13	0,04	0,0	1216289,14	1216289,14
3/	14	7,15	0,14	85,33	86,25	0,0	0,00	0,03	0,0	1216289,14	1216289,14
3/	15	7,47	0,13	85,88	86,25	0,0	0,55	0,00	0,0	1216289,14	1216289,14
3/	16	7,75	0,13	85,90	89,58	0,0	0,02	3,33	0,0	1216289,14	1216289,14
3/	17	7,85	0,13	85,90	89,93	0,0	0,00	0,35	0,0	1216289,14	1216289,14
3/	18	7,98	0,13	86,20	90,01	0,0	0,30	0,07	0,0	1216289,14	1216289,14
3/	19	8,19	0,12	86,25	90,79	0,0	0,05	0,78	0,0	1216289,14	1216289,14
3/	20	8,43	0,12	87,87	90,80	0,0	1,62	0,01	0,0	1216289,14	1216289,14
3/	21	8,94	0,11	88,07	90,80	0,0	0,20	0,00	0,0	1216289,14	1216289,14
3/	22	9,82	0,10	88,08	91,37	0,0	0,00	0,57	0,0	1216289,14	1216289,14
3/	23	10,26	0,10	88,59	91,38	0,0	0,52	0,00	0,0	1216289,14	1216289,14
3/	24	10,58	0,09	88,61	91,56	0,0	0,01	0,19	0,0	1216289,14	1216289,14
3/	25	10,71	0,09	88,69	91,70	0,0	0,08	0,14	0,0	1216289,14	1216289,14
3/	26	11,19	0,09	90,19	91,71	0,0	1,50	0,00	0,0	1216289,14	1216289,14
3/	27	11,44	0,09	93,51	91,72	0,0	3,33	0,01	0,0	1216289,14	1216289,14
3/	28	11,47	0,09	93,52	92,18	0,0	0,01	0,46	0,0	1216289,14	1216289,14
3/	29	11,71	0,09	93,53	92,21	0,0	0,01	0,03	0,0	1216289,14	1216289,14
3/	30	12,56	0,08	93,70	92,30	0,0	0,17	0,09	0,0	1216289,14	1216289,14
4/	1	1,74	0,57	0,02	62,56	0,0	0,02	62,56	0,0	1216289,14	1216289,14
4/	2	2,06	0,49	72,92	62,57	0,0	72,90	0,01	0,0	1216289,14	1216289,14

# a.2) Interprétation :

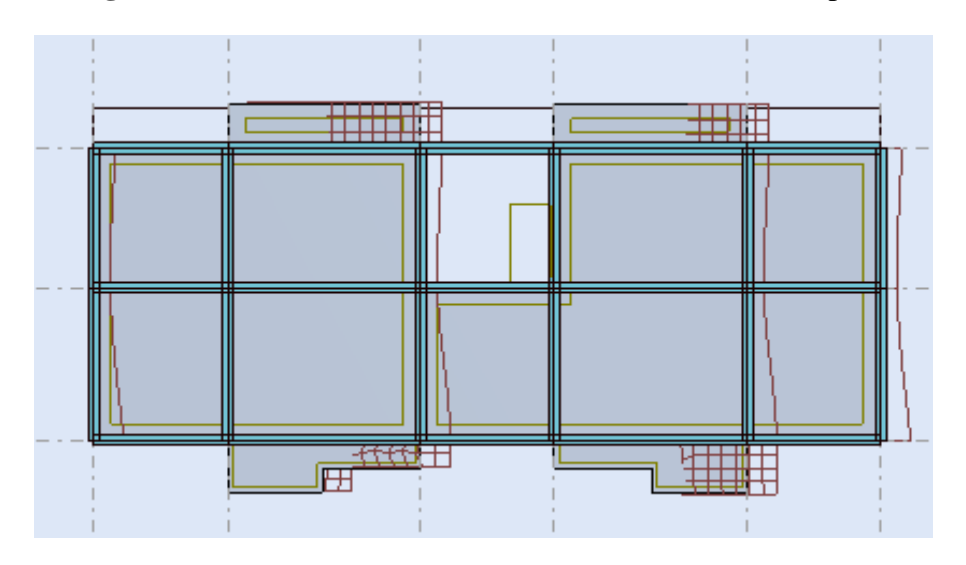
D'après le tableau ci-dessus on constate ce qui suit :

- Le 1<sup>er</sup> mode est mode de translation selon l'axe **Y** (**62.56%**) de participation de masse modale.
- Le 2<sup>éme</sup> est un mode de translation selon l'axe **X** (72.90%) de participation de masse modale.
- 3<sup>ème</sup> mode est mode détorsion.

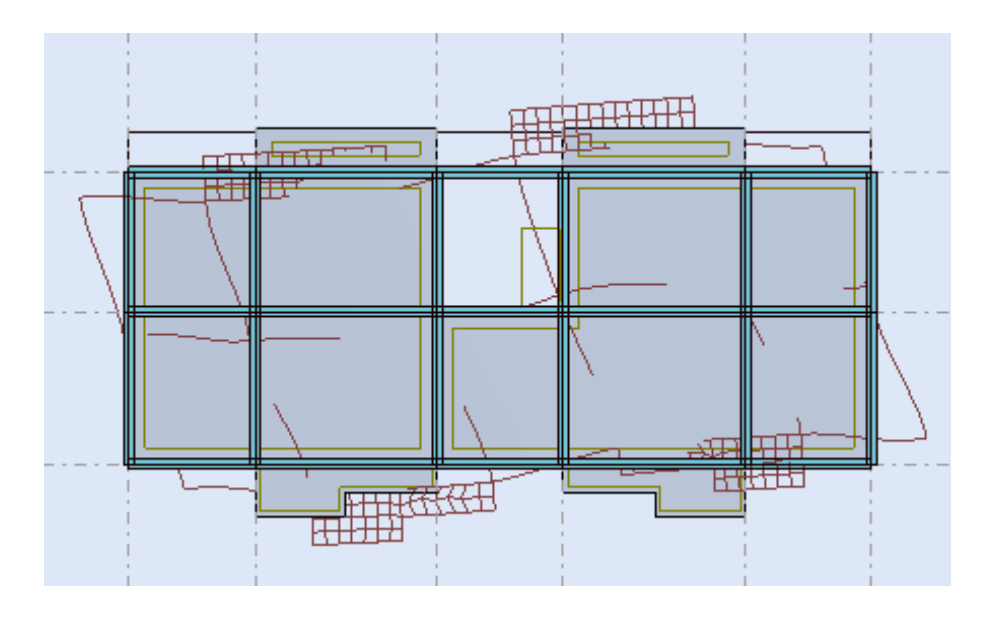
Les modes de translation ne sont pas couplés avec la torsion



**Figure IV-3:** Premier mode de vibration vue 3D et vue en plan.



**Figure IV-4:** Deuxième mode de vibration. Vue 3D et vue en plan.



**Figure IV-5:** Troisième mode de vibration vue 3D et vue en plan.

# IV.6. Calcul des Actions Sismiques

Selon la Méthode Statique Equivalente (RPA 2024 art 4.3.6) : La résultante des forces sismiques à la base ( $V_t$ )obtenue par combinaison des valeurs modales ne doit pas être inférieur à 80% de la résultante des forces sismique déterminée par la méthode statique équivalent V pour une valeur de la période fondamentale donnée par la formule empirique appropriée.

Si  $V_{T\text{-logiciel}} \leq 0,80 \ V_{MSE}$ , il faudra augmenter tous les paramètres de la réponse (forces, déplacements, moments, ...) dans le rapport 0.8V/Vt

# La période empirique « T »:

La période trouver avec logiciel doit être comprise entre la période empirique et celle majoré.

**Tableau IV-7:** La relation entre la période empirique et analytique.

Cas	Période à utiliser T
Tcalcul < 1.3Tempirique	$T_0 = T$ calcul
Tcalcul ≥ 1.3Tempirique	$T_0 = 1.3$ Tempirique

Tableau IV-8: Valeurs du coefficient Ct

Cas	Système de contreventement	Ct
1	Ossatures spatiales en béton armé sans remplissage en maçonnerie	0.075
2	Portiques spatiaux en acier sans remplissage en maçonnerie	0.085
3	Ossature en portiques en béton armé ou en acier avec remplissage en	0.050
4	maçonnerie	0.050
	Autres types de structures	

C<sub>t</sub> : coefficient fonction de système de contreventement du type de remplissage et donné par le tableau IV.8

Donc :  $C_t = 0.05$ 

# > Sens longitudinal

La formule empirique à utiliser selon les cas est la suivant :

$$T = C_t . h_n^{3/4} = 0.05*(18.60)^{3/4} = 0.447 \text{ s}$$

$$1.3 * T_{emperique} = 0.469 s$$

$$T_{analytique} = 0.49 \text{ s.....}$$
 (Tableau IV.2)

#### > Sens transversal

La formule empirique à utiliser selon les cas est la suivant :

$$T = C_t . h_n^{3/4} = 0.05*(18.60)^{3/4} = 0.447 \text{ s}$$

$$1.3 * T_{emperique} = 0.581s$$

$$T_{analytique} = 0.58 \text{ s......}$$
 (Tableau IV.2)

# ❖ Calcul de l'effort sismique totale « V »

# Sens x:

$$V = \lambda \frac{S_{ad}}{g}$$
 (T0). W

$$V = 0.85 \times 0.162 \times 12012038 = 1654.05KN$$

$$Vdy = 1443.47KN$$

#### Vérification de l'effort tranchant à la base

**Tableau IV-9:** Vérification de l'effort tranchant à la base.

Les sens	0.8V <sub>statique</sub> (KN)	V <sub>dynamique</sub> (KN)	$V_{dynamique} > 80\% \ V_{statique}$
Suivant X	1323.24	1443.47	Condition vérifiée
Suivant Y	1323.24	659.14	Condition Non vérifiée

#### Remarque

Si (Vdy  $\leq$  0.8V), il faudra augmenter tous les paramètres de la réponse (forces, déplacements, moments, etc) dans le rapport (0.80V /Vt). [4],

## Vérification de masse participante

Cette vérification nous permet de savoir le pourcentage des masses agissantes sur les éléments porteurs au dernier mode. D'après le tableau (**Tableau IV.5**) tableau représentatif de la période et la masse participante trouvées par logiciel. **Comparaison des résultats trouvés** : les valeurs trouvées pour Masses Cumulées U<sub>X</sub> [%], Masses Cumulées U<sub>Y</sub> [%] sont supérieur à 90% donc la condition de masse participante est vérifiée.

Min (Masses Cumulées UX [%], Masses Cumulées UY [%])  $\geq$  90%).

Min  $(93.32 \ge 90\%, 91.54 \ge 90\%) =>$  Condition vérifiée.

#### Vérification de l'excentricité accidentelle : (RPA art 4.3.7) [1]

Dans notre analyse tridimensionnelle, les effets de la torsion accidentelle de l'axe verticale doivent être pris en compte ±0,05 L (L étant la dimension du plancher perpendiculaire à la direction de l'action sismique), cette valeur doit être appliquée au niveau du plancher considéré suivant chaque direction.

• Sens X :  $e_{accidentelle} = 0.05 \times L_{xi}$ 

• Sens Y :  $e_{accidentelle} = 0.05 * L_{vi}$ 

Le calcul des centres de masse de chaque élément dans la structure permet de déterminer les coordonnées de l'excentricité massique.

Les coordonnées du centre de masse sont données par:

$$X_G = \frac{\sum M_i \times X_i}{\sum M_i}$$
  $Y_G = \frac{\sum M_i \times Y_i}{\sum M_i}$ 

Avec:

Mi : La masse de l'élément « i » du niveau considéré. Xi, Yi : Coordonnées du centre de gravité de l'élément « i » par rapport au repère global.

L'analyse automatique par le logiciel **ROBOT** a donné les résultats qui sont illustrés dans le tableau suivant :

Tableau IV-10: centre de masse et centre de torsion.

	Position de centre de masse		Position de centre de torsion		
Niveau	$X_{G}$	$Y_{G}$	X <sub>R</sub>	Y <sub>R</sub>	
RDC	10.60	4.65	10.60	4.46	
1	10.60	4.39	10.60	4.46	
2	10.60	4.39	10.60	4.46	
3	10.60	4.39	10.60	4.46	
4	10.60	4.39	10.60	4.46	
5	10.60	4.26	10.60	4.4	

# Calcul de l'excentricité:

L'excentricité théorique

$$e_x = |X_G - \!\! X_R|; \quad e_y = |Y_G - \!\! Y_R|$$

L'excentricité accidentelle:

$$Sens x-xe_{acc} = 0.05L_x$$

Sens 
$$y-ye_{acc} = 0.05L_v$$

Tableau IV-11: Vérification de l'excentricité accidentelle.

Plancher	L'excentricité théorique		L'excentricité accidente	
RDC	0	0.19	1.04	0.42
1 <sup>er</sup> Etage	0	0.07	1,04	0.42
2 <sup>eme</sup> Etage	0	0.07	1,04	0.42
3 <sup>eme</sup> Etage	0	0.07	1,04	0.42
4 <sup>eme</sup> Etage	0	007	1,04	0.42
5 <sup>eme</sup> Etage	0	0.14	1,04	0.42

D'après le tableau ci-dessus nous constatons que les déplacements relatifs des niveaux sont inférieurs au centième de la hauteur d'étage.

# IV.6.1. Calcul de déplacements

Le déplacement horizontal à chaque niveau "k" de la structure est calculé comme suit  $\delta k = \frac{R}{Qf}\delta ek$ 

δek: déplacement dû aux forces sismiques Fi

R : coefficient de comportement

Qf: Facteur de qualité

Le déplacement relatif au niveau "k" par rapport au niveau "k-1" est égal à :

 $\Delta k = \delta k - \delta k - 1$ 

Tableau IV-12: Vérification de déplacement

Etage	Ux	$\delta_{k\;(m)}$	Δk(m)	U <sub>y</sub> (m)	$\delta_{k\;(m)}$	$\Delta k$ (m)	h/200	Constatation
RDC	0.002	0.01	0.01	0.002	0.01	0.01	0.015	CV
1 <sup>er</sup> Etage	0.005	0.025	0.015	0.004	0.02	0.01	0.015	CV

2 <sup>er</sup> Etage	0.008	0.04	0.015	0.007	0.035	0.015	0.015	CV
3 <sup>er</sup> Etage	0.011	0.055	0.015	0.009	0.045	0.01	0.015	CV
4 <sup>er</sup> Etage	0.014	0.07	0.015	0.014	0.05	0.005	0.015	CV
5 <sup>er</sup> Etage	0.015	0.075	0.005	0.012	0.06	0.01	0.015	CV

#### Vérification au renversement

 $\sum F_k$ .  $h_k$ : Le moment de renversement qui peut être causé par l'action sismique

Avec:

 $F_k$ : La somme des forces sismique à chaque étage k

 $h_k$ : La hauteur d'étage k

 $\sum W_k$ .  $b_i$ : Le moment stabilisant sera calculé an compte le poids total de la construction

 $W_k$ : Le poids calculé à chaque niveau  $k: W_k = W_{kG} + \beta W_{kQ}$ 

 $W_{kG}$ : Le poids du aux charges permanant

 $W_{kQ}$ : Le poids du aux surcharges d'exploitation

*b*<sub>i</sub>: Le centre de gravité de la structure

Il faut donc vérifie:

Il faut donc vérifie:

$$\frac{\sum W_k.b_i}{\sum F_k.h_k} > 1.5$$

## Sens x :

**Tableau IV-13:** Vérification au renversement sens x

Plancher	W <sub>k</sub> (KN)	Bi	$\mathbf{W}_{\mathbf{k}} \times \mathbf{B}_{\mathbf{i}}$	F <sub>kx</sub>	h <sub>k</sub>	$F_{kx} \times h_k$
Fiancher	WK(KIN)	( <b>m</b> )	Wk× Di	(KN)	( <b>m</b> )	F kx × IIk

RDC	12012.038	10.6	127327.60	60.95	3.10	188.95
1 <sup>er</sup> Etage	9840	10.6	103922.4	125,71	6.2	779.40
2 <sup>eme</sup> Etage	7802.84	10.6	82710.10	202.3	9.3	1881.39
3 <sup>eme</sup> Etage	5801.43	10.6	61495.15	285.05	12.4	3534.62
4 <sup>eme</sup> Etage	3800.02	10.6	40280.21	364.76	15.5	5653.47
5 <sup>eme</sup> Etage	1801.49	10.6	19095.79	404.93	18.6	7531.69
$\sum W_k$ . $b_i$			434831.25	ΣF	<sub>k</sub> . h <sub>k</sub>	19569.52

# Sens y:

Tableau IV-14: Vérification au renversement sens y

Plancher	W <sub>k</sub> (KN)	B <sub>i</sub> (m)	$W_{k} \times B_{i}$	F <sub>kx</sub> (KN)	h <sub>k</sub> (m)	$\mathbf{F}_{\mathbf{kx}} \times \mathbf{h}_{\mathbf{k}}$
RDC	12012.038	4.65	55855.97	39.94	3.10	123.814
1 <sup>er</sup> Etage	9840	4.39	43197.6	72.81	6.2	451.42
2 <sup>eme</sup> Etage	7802.84	4.39	34254.47	100.67	9.3	936.231
3 <sup>eme</sup> Etage	5801.43	4.39	25468.28	129.07	12.4	1600.468
4 <sup>eme</sup> Etage	3800.02	4.39	16682.078	151.93	15.5	2354.92
5 <sup>eme</sup> Etage	1801.49	4.26	7674.35	167.74	18.6	3119.96
Σ	W <sub>k</sub> . b <sub>i</sub>	•	183132.75	$\sum F_k$ .	h <sub>k</sub>	8586.82

Pour que le bâtiment soit stable au renversement il faut vérifie la relation suivante :

$$\frac{M_S = \sum W_k. b_k}{M_R = \sum F_k. h_k)} > 1.5$$

# Sens x:

$M_S$	$M_R$		Constatation
434831.25	19569.52	22.22	Condition vérifié

Sens y:

$M_S$	$M_R$		Constatation
183132.75	8586.8	21.32	Condition vérifié

#### > Effort normal réduits :

L'article (7-4-3) du RPA 2024 exige la vérification de l'effort normal réduit pour éviter la rupture fragile de la section de béton.

La vérification s'effectue par la formule suivante :  $V = \frac{N}{B.f_{c28}} \le 0.35$ 

Où:

N<sub>d</sub>: désigne l'effort normal de calcul s'exerçant sur une section de béton (obtenu par ROBOT).

Bc: est l'aire (section brute) de cette dernière.

**f**<sub>cj</sub>: est la résistance caractéristique du béton Pour calculer l'effort normal «N<sub>d</sub>» selon **le CBA**, (ArticleB.8.2.2) pour un poteaux soumis aux charges dues à la pesanteur et au séisme: « Les combinaisons d'action à considérer ».

Tableau IV-15: Vérification d'effort normal réduit des poteaux.

Poteau	Section(mm)	N <sub>d</sub> (N)	Fc28 (MPa)	V	Observation
RDC et 1-2-3-4-5	40*30	1018470	25	0.33	CV

#### Justification de l'effet P-Δ : raidisseur

L'effet du second ordre (ou effet de P-Δ) peut être négligé lorsque la condition suivante est satisfaite à tous les niveaux. L'article 5.9 du RPA 2024

$$\theta = \frac{P_K \times \Delta_K}{V_K \times h_K} \le 0.10$$

Avec:

**P**<sub>K</sub>: Poids total de la structure et des charges d'exploitation associée au-dessus de niveau k. **V**<sub>K</sub>: Effort tranchant d'étage au niveau k.  $\Delta_{\mathbf{K}}$ : Déplacement relatif du niveau k par rapport au niveau k-1.

**h**<sub>k</sub>: hauteur de l'étage k.

**Tableau IV-16:** Vérification de l'effet P-∆ au sens x-x

Etage	P	Δ	V	h	θ	Vérification
1	12012.038	0.01	1443.70	3.1	0.0268397241	OK
2	9840	0.015	1382.75	3.1	0.0034450303	OK
3	7802.84	0.015	1257.04	3.1	0.030035	OK
4	5801.43	0.015	1054.74	3.1	0.0266145	OK
5	3800.02	0.015	767.69	3.1	0.023951	OK
6	1801.49	0.005	404.93	3.1	0.00717563	OK

**Tableau IV-17:** Vérification de l'effet  $P-\Delta$  au sens y-y.

Etage	P	Δ	V	Н	θ	Vérification
1	12012.038	0.01	662.16	3.1	0.058518	OK
2	9840	0.01	622.22	3.1	0.0510114	OK
3	7802.84	0.015	54941	3.1	0.068720	OK
4	5801.43	0.01	448.74	3.1	0.041704	OK
5	3800.02	0.005	319.67	3.1	0.0191730	OK
6	1801.49	0.01	167.74	3.1	0.034644	OK

# Conclusion

Suite à la modélisation de la structure, il a été vérifié que toutes les exigences du RPA 2024 ont été satisfaites. Cela nous permet de valider le modèle adopté et de poursuivre sereinement les calculs détaillés des éléments structuraux.

# Chapitre V Ferraillages des éléments structuraux

## V.1. Introduction

La superstructure est la partie supérieure du bâtiment, c'est l'ensemble des poteaux, poutres et voiles, liés rigidement et capables de reprendre la totalité des forces verticales et horizontales (ossature auto stable). Ces éléments sont réalisés en béton armé doivent être bien armés et bien disposés de telle sorte qu'ils puissent supporter et reprendre tous genre de sollicitations. Le ferraillage des éléments résistants devra être conforme aux règlements en vigueur le CBA93 et le RPA2024

#### V.2. Actions et sollicitations :

#### > Actions:

Il est rappelé que les actions sont les forces et couples dus aux charges appliquées (permanentes, climatiques, d'exploitation, etc.)

Et aux déformations imposées (variations de température, tassements d'appuis, etc.).

Pour l'application de ce qui suit, on distingue :

- \* Actions permanentes : notées G, dont l'intensité est constante ou très peu variable dans le temps, ou varie toujours dans le même sens en tendant vers une limite ;
- Actions variables: notées Q, dont l'intensité varie fréquemment et de façon importante dans le temps;
- ❖ Actions accidentelles : notées FA, provenant de phénomènes rares, tels que séismes ou chocs.

#### **Calcul des sollicitations :**

Il est rappelé que les sollicitations sont les efforts « efforts normaux 'N', efforts tranchants 'V') et les moments (moments fléchissant ' $M_{f}$ ', moment de torsion ' $M_{t}$ ') calculés à partir des actions par des méthodes appropriées.

## > Les combinaisons d'actions :

#### Règlement BAEL 91 [1]:

Ce sont des combinaisons qui prennent en compte uniquement les charges permanentes Get les charges d'exploitation Q

**1,35G** + **1,5 Q** à l'E.L.U

G + Q à l'E.L.S

# Règlement RPA 2024:

Ce sont des combinaisons qui prennent en considération les charges sismiques E.

$$\begin{cases}
G + \psi. Q + E1 \\
G + \psi. Q + E2
\end{cases}$$
(5.1)

où:

- G: charges permanentes
- Q: charges d'exploitation, non pondérée

$$\begin{cases}
G + \psi \cdot Q + E3 \\
G + \psi \cdot Q + E4 \\
G + \psi \cdot Q + E5
\end{cases}$$

À l'ELU: 1,35G + 1,5 Q...... (BAEL 91)[1]

 $\hat{A}$  l'ELS: G + Q

# Pour le portique :

# Les poteaux :

 $G+\psi.Q+E1$  ...... (RPA2024)[4]

 $G+\psi.Q+E2$ 

 $G+\psi.Q+E3$ 

 $G+\psi.Q+E4$ 

 $G+\psi.Q+E5$ 

# Les poutres

À 1'ELU :1,35 G + 1,5 Q...... (BAEL 91)[1]

À l'ELS :G + Q

 $G+\psi.Q+E1$  ...... (RPA2024)[4]

 $G+\psi.Q+E2$ 

 $G+\psi.Q+E3$ 

 $G+\psi.Q+E4$ 

 $G+\psi.Q+E5$ 

 $G+\psi.Q\pm1.3Ex$ 

 $G+\psi.Q\pm1.3Ey$ 

#### Les voiles :

 $G+\psi.Q+E1$  ...... (RPA2024)[4]

 $G+\psi.Q+E2$ 

 $G+\psi.Q+E3$ 

 $G+\psi.Q+E4$ 

 $G+\psi.Q+E5$ 

# V.3. Ferraillage des poteaux :

Les poteaux sont des éléments structuraux assurant la transmission des efforts arrivant des poutres vers les fondations, et sont soumis à un effort normal « N » et à un moment de flexion « M » dans les deux sens : longitudinal et transversal. Donc ils sont calculés en flexion composée, sont soumises aux efforts suivants :

- ❖ Efforts normaux 'N'.
- \* Moments fléchissant 'M'.
- \* Efforts tranchants 'V'.

En considérant les sollicitations suivantes :

- $\bullet$  N max  $\rightarrow$  M correspondent
- $\bullet$  M max  $\rightarrow$  N correspondant
- $\bullet$  N min  $\rightarrow$  M correspondant

Avec:

- ❖ N max: Effort normal maximum.
- ❖ N<sub>min</sub>: Effort normal minimum.
- **❖ M** <sub>max</sub> : Moment maximum.

Les armatures seront calculées à l'état limité ultime « ELU » sous l'effet des sollicitations

Les plus défavorables et dans les situations suivantes :

Tableau V-1: Coefficients de sécurité et contraintes caractéristiques :

	$\gamma_b$	$\gamma_s$	$\sigma_{bc}$ (MPa)	fc28 (MPa)	$\sigma_s$ (MPa)
Situation durable	1.5	1.15	14.20	25	348
Situation accidentelle	1.2	1	20.83	25	400

# V.3.1. Hypothèses de calcul

Fissuration peu préjudiciable.

Calcul en flexion composée.

Calcul suivant BAEL91 mod.99.[1]

> Soità calculer le poteau le plus sollicité du RDC, avec les sollicitations suivantes :

**Tableau V-2:** Sollicitations dans les poteaux.

30X40	ELU	ELS	ACC
Nmax	1399.88	118.47	1036.80
Mmax	68.94	49.67	-117.18
Nmin	286.67	205.83	-254.80

		M <sup>max</sup>	Ncorr		N <sup>max</sup>	M <sup>corr</sup>		N <sup>min</sup>	M <sup>corr</sup>
30×40	G+0.2Q+Ex+Ey	117.18	78.43	ELU	1399.88	15.82	G+0.2Q+Ex+0.3Ey	254.80	93.18

# V.3.2. Etat limite de stabilité de forme

Les sections soumises à un effort normal de compression doivent être justifiées vis à vis de l'état limite de stabilité de forme conformément au BAEL91 [2] en adoptant une excentricité totale de calcul :  $e=e_1+e_a+e_2$ 

## Avec:

- e<sub>1</sub> : excentricité du premier ordre.
- e<sub>a</sub>: excentricité additionnelle traduisant les imperfections géométriques initiales.

• e2: excentricité due aux efforts du second ordre

• 
$$e_1 = \frac{M_u}{N_u}$$
;  $e_a = max\left(2cm, \frac{L}{250}\right)$ ;  $e_2 = \frac{3l_f^2}{10000h}(2 + \alpha\varphi)$ 

Avec:

- L: longueur du poteau.
- l<sub>f</sub>: longueur de flambement du poteau.
- h : hauteur totale de la section du poteau dans la direction du flambement.
- α: Rapport du moment du premier ordre, dû aux charges permanentes et quasipermanentes, au moment total du premier ordre.

• 
$$\alpha = \frac{M_G}{M_G + M_Q}$$
 Où  $\alpha = 10 \left( 1 - \frac{M_u}{1,5M_{ser}} \right)$ 

- φ: Rapport de la déformation finale due au fluage à la déformation instantanée,
   ce rapport est généralement pris égal à 2.
- Les sollicitations de calcul deviennent ainsi :  $N_u$  inchangé ,  $M_u = N_u$  ( $e_1 + e_a + e_2$ ).

#### V.3.3. Détermination des sections d'acier :

Exemple de calcul sur les poteaux de : RDC,  $1^{er}$  ,  $2^{eme}$  étage avec la section de (30\*40) cm<sup>2</sup> :

1er cas:

Nmax=1399.88T

M<sup>corr</sup>=15.82T.m

$$e_0 = \frac{Mu}{Nu} = \frac{15.82}{1399.88} = 0.011m$$

Calcul de l'excentricité additionnelle ea: (BAEL A.4.3.5) [1]

$$e_a = max \left[ 2cm, \frac{L}{250} \right] => e_a = max[2cm; 1.24cm] = 2cm = 0.02m$$

$$e_1 = e_0 + e_a = 0.031m$$

$$\frac{l_f}{h} \le \max(15; 20 \frac{e_1}{h}) = \frac{2.17}{0.40} \le (15; 20 \times \frac{0.031}{0.40}) = 5.43 < \max(15; 1.55) \dots \text{CV}$$

Donc le calcul se faire dans la flexion composée :

Donc on calcul e<sub>2</sub>.

Vérification de l'excentricité due aux effets du second ordre : (CBA93 A.4.3.5) [3]

$$e_2 = \frac{3 \times L_f^2}{10000 \times h} \times (2 + \alpha \phi)$$

 $\alpha$  : le rapport de moment de première ordre de la charge permanente au moment total de premier ordre.

$$\varphi = 2$$
.

$$\alpha = 10 \left(1 - \frac{M_u}{1.5M_{ser}}\right) = 10 \left(1 - \frac{68.94}{1.5 \times 49.67}\right) = 0.75$$

$$e_2 = \frac{3 \times (2.17)^2}{10^4 \times 0.4} \times (2 + 0.75 \times 2) = 0.012m$$

$$e_2 = 0.012m$$

$$e = e_1 + e_2 = 0.043m$$

Il faut vérifier que :

$$M_2 = (N_u - N_0)(\frac{h}{2} - d') > M_u$$

$$N_0 = bhf_{bu} = 300 \times 400 \times 14.2 = 1704T$$

$$M_2 = (1399.88 - 1704)(\frac{0.4}{2} - 0.04) = -48.65T....CV$$

$$M_3 = N_u (\frac{h}{2} - d^-) - (0.337h - 0.81d^-)N_0 \le M_u$$

$$1399.88(\frac{0.4}{2} - 0.04) - (0.337 \times 0.4 - 0.81 \times 0.04) \times 1704 = 49.49...\text{CNV}$$

$$\Psi = \frac{0.3754N_0h + N_u(\frac{h}{2} - d^3) - M_u}{(0.8571h - d)N_0}$$

$$\Psi = \frac{0.3754 \times 1704 \times 0.4 + 1399.88(\frac{0.4}{2} - 0.04) - 15.82}{(0.8571 \times 0.4 - 0.04) \times 1704} = 0.89 < 0.8095$$

Alors la section est entièrement comprimée :

$$A2 = \frac{=Nu - \psi N0}{f_{su}} = \frac{1399.88 - 0.89 \times 1704}{348}$$

$$A2 = -2.37$$

$$A1=0$$

Donc on ferrailler la section du poteau par le ferraillage minimal :

Amin =  $max \{4p; 0.2\%B\}$ .

P : périmètre de la section calculée.

B : la surface de la section calculée.

$$Amin = \{5.60; 2.40\}. Amin = 5.60 \text{ cm}^2$$

**≥**2<sup>eme</sup>cas

$$N^{min} = 254.80T$$

$$e_G = \frac{Mu}{Nu} = \frac{93.18}{254.80} = \mathbf{0.37m}$$

Calcul de l'excentricité additionnelle ea: (BAEL A.4.3.5) [1]

$$e_a = max \left[ 2cm, \frac{L}{250} \right] = >e_a = max[2cm, 1.24cm] = 0.02m = 2 cm$$

$$e_1 = e_0 + e_a = 0.39m = 39cm$$

$$\frac{l_f}{h} \le \max(15; 20 \frac{e_1}{h}) = \frac{2.17}{0.40} \le (15; 20 \times \frac{0.039}{0.40}) = 5.43 < \max(15; 1.95) \dots CV$$

Donc le calcul se faire dans la flexion composée :

- Donc on calcul e2

Vérification de l'excentricité due aux effets du second ordre : (CBA93 A.4.3.5) [3].

$$e_2 = \frac{3 \times L_f^2}{10000 \times h} \times (2 + \alpha \phi)$$

$$\alpha = 10 \left(1 - \frac{M_u}{1.5M_{ser}}\right) = 10 \left(1 - \frac{68.94}{1.5 \times 49.67}\right) = 0.75$$

$$e_2 = \frac{3 \times (2.17)^2}{10^4 \times 0.4} \times (2 + 0.75 \times 2) = 0.012$$
m

$$e_2 = 0.012$$
cm

$$e = e_1 + e_2 = 40.2cm$$

il faut vérifier que :

$$M_2 = (N_u - N_0)(\frac{h}{2} - d^3) > M_u$$

$$N_0 = bhf_{bu} = 400 \times 3000 \times 20.83 = 2499.60KN$$

$$M_2 = (254.80 - 2499.60) \left(\frac{0.4}{2} - 0.04\right) = -359.168$$
KN. m

$$M_3 = N_u (\frac{h}{2} - d^{\gamma}) - (0.337h - 0.81d^{\gamma})N_0 \le M_u$$

$$254.80(\frac{0.4}{2} - 0.04) - (0.337 \times 0.4 - 0.81 \times 0.04) \times 2499.60 = -215.19$$
KN. m

$$\Psi = \frac{0.3754N_0h + N_u(\frac{h}{2} - d^{\,\prime}) - M_u}{(0.8571h - d)N_0^{\,\prime}}$$

$$\Psi = \frac{0.3754 \times 2499.60 \times 0.4 + 254.80(\frac{0.4}{2} - 0.04) - 93.18}{(0.8571 \times 0.4 - 0.04) \times 2499.60} = 0.43 < 0.8095$$

La section est partiellement comprimée et le calcul sera fait par assimilation à laflexion simple:

$$M_{uA} = N_u \times e = 254.80 \times 0.402 = 102.430$$
KN. m

$$M_{uA} = M + N_u(d - \frac{h}{2}) = 102.430 + 254.80(0.36 - \frac{0.4}{2}) = 143.198KN. m$$

$$\mu_{\text{bu}} = \frac{M_{\text{uA}}}{\text{bd}^2 \text{fbu}} = \frac{143.198 \times 10^6}{400 \times 360^2 \times 20.83} = 0.132$$

$$\mu_{bu} = 0.132 < \mu_l = 0.392......A^{,} = 0$$

$$\alpha = 1.25 \times (1 - \sqrt{1 - 2 \times \mu_{\rm bu}}) = 1.25 \times (1 - \sqrt{1 - 2 \times 0.132}) = 0.178$$

$$\beta = 1 - 0.4\alpha = 1 - 0.4(0.178) = 0.93$$

$$A_1 = \frac{Mu}{\beta d\sigma_s}$$

$$A_1 = \frac{143.198 \times 10^3}{0.93 \times 0.36 \times 400} = 1069.28 \text{mm}^2 \Rightarrow A_1 = 10.69 \text{cm}^2$$

$$A_1 = 10.69 \text{cm}^2$$

# Revenir à la flexion composée

$$A_2 = \frac{N_u}{\sigma_s} - A_1$$

$$A_2 = \frac{254.80 \times 10^3}{400} - 1069.28$$

$$A_2 = -432.28 = -4.32 \text{cm}^2$$

≥3eme cas

 $M^{max} = 117.18T.m$ 

 $N^{corr} = 78.43T$ 

# Calcul excentricité:

$$e_0 = \frac{Mu}{Nu} = \frac{117.18}{78.43} = 1.49m$$

# Calcul de l'excentricité additionnelle ea: (BAEL A.4.3.5) [1]

$$e_a = max \left[ 2cm, \frac{L}{250} \right] = >e_a = max[2cm, 1.24cm] = 0.02m = 2 cm$$

$$e_1 = e_0 + e_a = 1.51m = 151cm$$

$$\frac{l_f}{h} \le \max(15; 20 \frac{e_1}{h}) = \frac{2.17}{0.40} \le (15; 20 \times \frac{1.51}{0.40}) = 5.43 < \max(15; 75.5)...CV$$

# Donc le calcul se faire dans la flexion composée :

#### - Donc on calcul e2

Vérification de l'excentricité due aux effets du second ordre : (CBA93 A.4.3.5) [3].

$$e_2 = \frac{3 \times L_f^2}{10000 \times h} \times (2 + \alpha \phi)$$

$$\alpha = 10 \left(1 - \frac{M_u}{1.5M_{ser}}\right) = 10 \left(1 - \frac{68.94}{1.5 \times 49.67}\right) = 0.75$$

$$e_2 = \frac{3 \times (0.7 \times 3.10)^2}{10^4 \times 0.4} \times (2 \times 0.75 \times 2) = 0.012$$
m

$$e_2 = 0.012cm$$

$$e = e_1 + e_2 = 152.2cm$$

il faut vérifier que :

$$\begin{split} M_2 &= (N_u - N_0)(\frac{h}{2} - d) > M_u \\ N_0 &= bhf_{bu} = 400 \times 300 \times 20.83 = 2499.60T \\ M_2 &= (78.43 - 2499.6) \left(\frac{0.4}{2} - 0.4\right) = 484.23T. \, m \\ M_3 &= N_u (\frac{h}{2} - d^3) - (0.337h - 0.81d^3)N_0 \le M_u \\ 78.43(\frac{0.4}{2} - 0.04) - (0.337 \times 0.4 - 0.81 \times 0.04) \times 2499.60 = -243.41KN. \, m \\ \Psi &= \frac{0.3754N_0h + N_u \left(\frac{h}{2} - d^3\right) - M_u}{(0.8571h - d)N_0^3} \\ &= \frac{0.3754 \times 2499.6 \times 0.4 + 78.43(\frac{0.4}{2} - 0.04) - 117.18}{(0.8571 \times 0.4 - 0.04) \times 2499.6} = 0.36 < 0.8095 \end{split}$$

La section est partiellement comprimée et le calcul sera fait par assimilation à laflexion simple:

$$\begin{split} &M_{uA} = N_u \times e = 78.43 \times 1.52 = 119.21 \text{KN. m} \\ &M_{uA} = M + N_u \left( d - \frac{h}{2} \right) = 119.21 + 78.43 \left( 0.36 - \frac{0.4}{2} \right) = 131.76 \text{KN. m} \\ &\mu_{bu} = \frac{M_{uA}}{bd^2 f_{bu}} = \frac{131.76 \times 10^6}{400 \times 360^2 \times 20.83} = 0.122 \\ &\varepsilon_{\mathit{se}} = \frac{\mathit{fe}}{\gamma_{\mathit{s}} E_{\mathit{s}}} = \frac{400}{1(20)10^4} = 2\, \frac{0}{00} \\ &\alpha_{lim\,t} = \frac{3.5}{3.5 + 2} = 0.636 \\ &\mu_{l_{imit}} = 0.8\alpha_{lim\,it} (1 - 0.4\alpha_{lim\,it}) = 0.379 \\ &\mu_{bu} = 0.122 \prec \mu_l = 0.379......A = 0 \\ &\alpha = 1.25 \times (1 - \sqrt{1 - 2 \times \mu_{bu}}) = 1.25 \times (1 - \sqrt{1 - 2 \times 0.122}) = 0.163 \\ &\beta = 1 - 0.4\alpha = 1 - 0.4(0.163) = 0.93 \end{split}$$

$$A_1 = \frac{Mu}{\beta d\sigma_s}$$

$$A_1 = \frac{131.76 \times 10^3}{0.93 \times 0.36 \times 400} = 983.87 \text{mm}^2 \Rightarrow A_1 = 9.83 \text{cm}^2$$

$$A_1 = 9.83 \text{cm}^2$$

Armatures finales:

$$Af = max(A_{calculer}, A_{BAEL}, A_{RPA})$$

$$A_{RPA}(Min) = 0.008 \times b \times h$$

**Tableau V-3:** Ferraillage longitudinal des poteaux.

Niveau	Sectiondu Poteau (cm)	Acalculer	Amin (cm²) (RPA)	Choix des armatures	A adpt (cm²)
RDC+1 <sup>er</sup> jusqu'à 5 <sup>eme</sup>	30×40	10.69	9.60	6НА16	12.06

# V.4. Recommandations des règlements :

# V.4.1. Armatures longitudinales :

# Selon RPA version 2024 [4]:

- Les armatures longitudinales doivent être à haut adhérence, droites et sans crochets.
- Leur pourcentage est limité par :

$$0.8\% \le \frac{A}{bh} \le 4\%$$
 (Zone courante)

$$0.8\% \le \frac{A}{hh} \le 6\%$$
 (Zone de recouvrement)

- Le diamètre minium est de 12mm.
- La longueur minimal des recouvrements est de 40\( \text{\psi} \) en (Zone V).
- La distance maximale entre les barres verticales dans une face du poteau ne doit pas dépasser 25cm en (Zone V).

Le tableau suivant résume le ferraillage minimal et maximal des poteaux selon le RPA[1].

**Tableau V-4:** Armatures longitudinales minimales et maximales selon le RPA dans les poteaux.

	Section du	A <sub>min</sub> (cm <sup>2</sup> )	$A_{\text{max}}(\text{cm}^2)$		
Niveau	Poteau (cm²)	(RPA2024)	Zone	Zone de	
	(CIII-)		courante	recouvrement	
RDC+1 <sup>er</sup> ,	30×40	10.69	48	96	
2eme,3eme4eme,5eme					

# SelonBAEL [2]:

La section d'acier minimale

Amin = max(4cm de périmètre ; 0,2%. b. h).

Condition de non fragilité :

$$A_{\min} = \frac{B \times f_{t28}}{f_e}$$

La section d'acier maximale :

$$A_{\text{max}} = 5\% bh$$

Le tableau suivant résume le ferraillage minimal et maximal des poteaux selon le BAEL [2]:

**Tableau V-5:** Armatures longitudinales minimales et maximales selon BAEL[2]dans les poteaux.

Niveau	Section	du	Poteau	Amin(cm²)	$A_{max}$ (cm <sup>2</sup> )
	(cm²)			(BAEL)	
RDC+1 <sup>er</sup> ,2 <sup>eme</sup> ,3 <sup>eme</sup> 4 <sup>eme</sup> ,5 <sup>eme</sup>	30× 40			5.60	60

# Armatures transversales :

Les armatures transversales sont calculées suivants les règlements

BAEL91 [1]et RPA2024[4].

# ❖ Selon le BAEL91[1]

$$\phi_t \le \min(\frac{h}{35}; \frac{b}{10}; \phi_t)$$

Selon le RPA2024 (art7.4.2.2)[4] :

Les armatures transversales sont calculées à partir de la formule suivante :

$$\frac{A_t}{S_t} = \frac{\rho_a T_u}{hfe}$$

Avec:

h: hauteur de la section brute.

T<sub>u</sub>: effort tranchant de calcul.

fe : contrainte limite élastique des armatures transversale.

 $ho_a$  : Coefficient correcteur qui tient compte du mode fragile de la rupture par l'effort tranchent, il est pris égal à :

$$\begin{cases} \rho_a = 2,5....si\lambda_g \ge 5 \\ \rho_a = 3,75....si\lambda_g < 5 \end{cases}$$

 $\lambda_g$  Est l'élancement géométrique du poteau :

$$\lambda_g = \frac{l_f}{a} Ou \, \frac{l_f}{b}$$

$$\lambda_g = \frac{l_f}{a} = \frac{2.17}{0.30} = 7.23 > 5$$

Donc:

$$\rho_{a} = 2.5$$

 $S_t$ : espacement des armatures transversales dont la valeur maximale est fixée en **zone V** comme suit :

En zone nodale :  $S_t \le \min(10\phi_t; 15cm)$ 

Dans la zone courante :  $S_t \le 15\phi_t$ 

En zone nodale :  $S_t \le \min(10\phi_t; 15cm)$ 

$$S_t \le \min(\frac{b_0}{3}; 3.10; 60\phi_t)$$

$$S_t \le \min(\frac{22}{3}; 3.10; 60 \times 1.4)$$

 $S_t \le 7.33$ mm

 $S_t = 7 mm$ 

#### Dans la zone courante :

$$S_t \leq \min(\frac{b_1}{2}, \frac{h_1}{2}, 10\varphi_t)$$

$$S_t \le \min(\frac{30}{2}, \frac{40}{2}, 10 \times 1.4)$$

$$S_t \le \min(15.20.14)$$

 $S_t \leq 14$ mm

 $S_t = 14 mm$ 

Φ1 :Le diamètre minimal des armatures longitudinales des poteaux.

**Tableau V-6:** Choi des armatures transversales pour les poteaux

Niveaux	Section (cm2)	L <sub>f</sub> (m)	<b>λg</b> (%)	ρα	T <sub>umax</sub> (KN)	Zone	S <sub>t</sub> (cm)	A <sub>calt</sub> (cm <sup>2</sup> )	Choix	At (cm <sup>2</sup> )
RDC+1 <sup>er</sup> ,2 <sup>eme</sup> ,3 <sup>eme</sup> ,		2.17	7.23	2.5	35.52	N	7	0.77	6T8	3.02
4 <sup>eme</sup> ,5 <sup>eme</sup>	30×40					С	14	1.15	010	

Conformément aux règles du RPA 2024[4] et au BAEL 91[1], le diamètre des armatures transversales doit être supérieur au tiers du maximum des diamètres des armatures longitudinales.

$$\phi t \ge \frac{1}{3} \phi_t^{\text{max}} \implies 8 > \frac{20}{3} = 6.66....CV$$

# V.4.2. Vérifications :

a) Justification de la contrainte de cisaillement :

Le calcul de la contrainte de cisaillement se fait au niveau de l'axe neutre de la section il est en fonction de ses dimensions ainsi que l'effort tranchant à l'état limite ultime, elle est donnée par :

$$\tau_u = \frac{T_{\text{max}}}{b \cdot d}$$

T<sub>u</sub>: L'effort tranchant pour l'état limite ultime.

b: Largeur de la section du poteau.

d: Hauteur utile de la section du poteau.

τ<sub>u</sub>: Contrainte de cisaillement.

 $\overline{\tau_u}$ : Contrainte limite de cisaillement du béton.La valeur de la contrainte  $\overline{\tau_u}$  doit être limitée aux valeurs suivantes :

❖Selon BAEL99[1]

$$\overline{\tau_{ad}} = \min(0.15 f_{c28}, 4 MPa) = 2.5 MPa$$

**♦** Selon RPA 2024[4]

$$\bar{\tau} = \rho_b \cdot f_{c28}$$

$$\begin{cases} \rho_b = 0.075 & \text{si } \lambda_g > 5 \\ \rho_b = 0.04 & \text{si } \lambda_g \le 4 \end{cases}$$

Avec:

λ: L'élancement du poteau.

i: Rayon de giration.

I : Moment d'inertie de la section du poteau dans la direction considérée.

B: Section du poteau.

L<sub>f</sub>: Longueur de flambement.

Les résultats sont regroupés dans le tableau suivant :

**Tableau V-7:** Justification de la contrainte de cisaillement

Niveaux	Section (cm <sup>2</sup> )	L <sub>f</sub> (m)	<b>λg</b> (%)	<b>ρ</b> a	T <sub>umax</sub> (kN)	Zone	S <sub>t</sub> (cm)	A <sub>calt</sub> (cm <sup>2</sup> )	Choix	At (cm <sup>2</sup> )
1 <sup>er</sup> ,2 <sup>eme</sup> , 3 <sup>eme</sup> 4 <sup>eme</sup> ,5 <sup>eme</sup> et	30×40	2.17	7.23	2.5	35.52	N	7	0.77	6T8	
6 <sup>eme</sup>						С	14	1.15		3.02

Longueur de recouvrement :

La longueur minimale de recouvrement est de L<sub>r</sub>=60Ølen (zone V).

Pour:

$$T_{20}$$
.....L<sub>r</sub>=80cm.

$$T_{12}$$
.....L<sub>r</sub>= 48cm.

#### b) Vérification à l'état limite ultime de stabilité de forme :

Les éléments soumis à la flexion composée, doivent être justifiés vis-à-vis du flambement, effort normal ultime est définit comme étant l'effort axial maximal que peutsupporter un poteau sans subir des instabilités par flambement.Le poteau le plus élancé dans ce projet se situe au niveau duR.D.C, avec une longueur del<sub>0</sub> =3.10m et un effort normal

$$N_u \le \overline{N} = \alpha \left[ \frac{B_r \times f_{c28}}{0.9 \gamma_b} + A \frac{f_e}{\gamma_s} \right]$$
   
égal 1505.33 T. CBA 93(Article B.8.4.1)[3]

 $\alpha$  : est un coefficient fonction de l'élancement mécanique  $\lambda.$   $\lambda = max(\ \lambda x\ ; \lambda y\ )$ 

$$l_f = 0.7 \times l_0 = 2.17m$$

$$\lambda = \sqrt{12} \times \frac{l_f}{h} = 25.06 < 50$$

$$\alpha = \frac{0.85}{1 + 0.2 \left(\frac{\lambda}{35}\right)^2} = 0.77$$

 $B_r$ : est la section réduite du poteau obtenue en déduisant de sa section réelle 1 cm d'épaisseur sur tout son périphérique.

$$B_r = (h-2)(b-2) = 0.1064$$

$$A = 12.32 \text{ cm}^2$$

$$\overline{N} = 0.77 \left[ \frac{0.1064 \times 10^6 \times 25}{0.9 \times 1.5} + 2450 \frac{400}{1.15} \right] = 1847.15T$$

1278.05 < 1847.15T

#### c)Vérification vis-à-vis de l'E.L. S:

Les contraintes sont calculées à l'état limite de service sous (Mser,Nser) puis elles sont comparées aux contraintes admissible données par

$$\sigma_{bc} \leq \overline{\sigma}_{bc}$$

$$\sigma_b = \frac{M_{ser}}{I} \, y \le \overline{\sigma}_{bc}$$

$$\overline{\sigma}_{bc} = 0.6 \times f_{c28} = 0.6 \times 25 = 15 Mpa$$

$$Ms = 49.67T.m$$

Position de l'axe neutre :

$$\frac{b}{2} \times y^2 + \eta \times A'_s(y - c') - n \times A_s(d - y) = 0$$

$$Avec \to n = 15$$

$$h \times A'_s(y - c') = 0$$

$$\frac{30}{2}y^2 - 15 \times 12.06(36 - y) = 0$$

$$15y^2 + 180.9y - 6512.4$$

$$\Delta = b^2 - 4ac = 650.74$$

$$y = \frac{180.9 - 650.74}{2 \times 15} = 15.66cm$$

Moment d'inertie:

$$I = \frac{b \times y^3}{3} + n \times A_s (d - y)^2$$

$$I_t = \frac{30 \times 15.66^3}{3} + 15 \times 12.06(36 - 15.66)^2 = 113245.047m^4$$

$$\sigma_b = \frac{49.67 \times 10^6 \times 15.66}{113245.047 \times 10^4} = 6.86 \le \bar{\sigma}_{bc} = 15 \to cv$$

$$\overline{\delta_{bc}} \le 0.6 f_{c28}$$

Les cadres doivent être formés par un crochet de  $^{135^0}$  et une longueur de  $^{10\phi_t}$  .

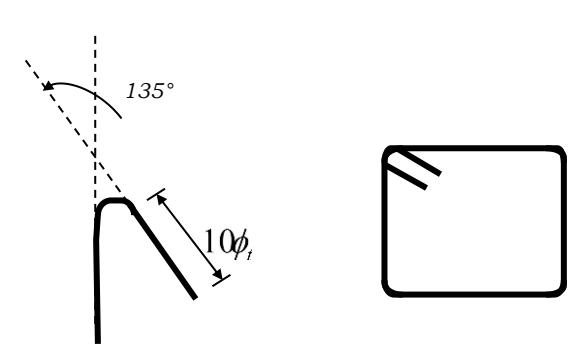


Figure V-1: Schéma de cadres.

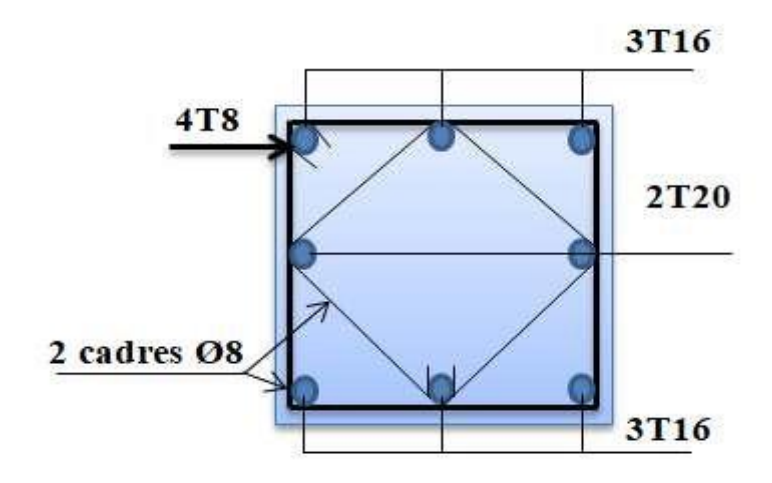


Figure V-2: Schéma de ferraillage des poteaux (30x40).

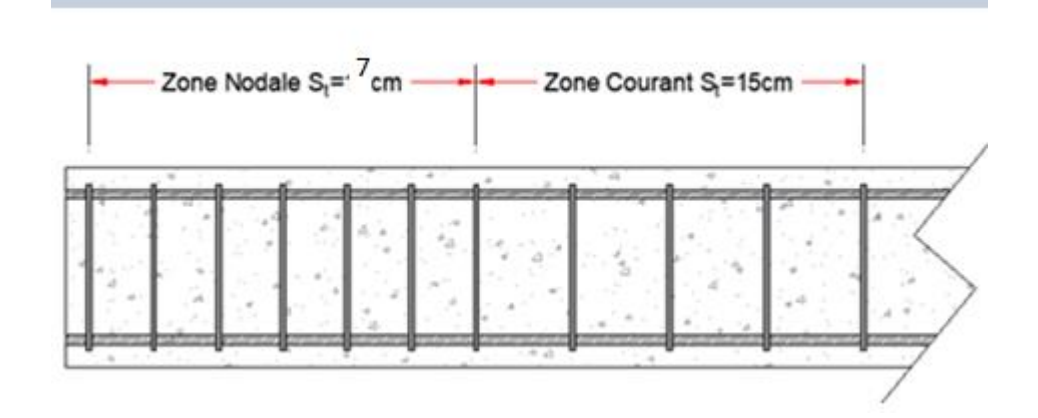


Figure V-3: Schéma de l'espacement zone courante et zone nodale.

# V.5. Ferraillage des poutres :

Les poutres sont les éléments horizontaux qui ont le rôle de transmettre les charges apportées par les dalles aux poteaux.

Les poutres seront calculées en flexion simple d'après les règlements du BAEL 91[1], on se rapportera aussi au RPA 2024[4] pour la vérification.

Les combinaisons d'action sont les suivantes :

# La combinaison fondamentale BAEL 91[1]:

1.35G+1.5Q	ELU
G+O	ELS

➤ Combinaisons accidentelles RPA 2024 [4]:

 $G+\psi.Q+E4$ 

 $G+\psi.Q+E5$  (5.3)

où:

E3, E4 et E5 représentent la combinaison des composantes, horizontales (Ex, Ey) et la composante verticale (Ez), définies par :

$$E3 = \pm Ex \pm 0.3Ey \pm 0.3Ez$$

$$E4 = \pm 0.3Ex \pm Ey \pm 0.3Ez$$

$$E5 = \pm 0.3Ex \pm 0.3Ey \pm Ez$$

Dans notre projet on a deux poutres à étudier :

Poutres principales (30\*40)

Poutres secondaires (30\*35)

# V.5.1. Recommandations du RPA 2024 [4]:

#### Les armatures longitudinales : RPA 2024 (Article 7.5.2.1) [4]

Le pourcentage total minimum des aciers longitudinaux sur toute la longueur de la poutre est de 0.5% de la section du béton en toute section :

Le pourcentage total maximum des aciers longitudinaux est de :

- ✓ La section du béton en zone courante.
- ✓ La section du béton en zone de recouvrement.
- ✓ La longueur minimale des recouvrements est de  $40\Phi$  en zone.

Les poutres supportent de faibles charges verticales et sollicitées principalement par les forces latérales sismiques doivent avoir des armatures symétriques avec une section en travée au moins égale à la moitié de la section sur appui.

## • Les armatures transversales : RPA 2024 (article 7.5.2.2) [4]

La quantité d'armatures transversales minimales est donnée par :

Avec espacement maximum entre les armatures transversales est déterminé comme suit :

En zon nodale.

$$S_{t} \leq \min(\frac{h}{4};12\phi)$$

En zon courante

$$S_t \leq \frac{h}{2}$$

La valeur du diamètre des armatures longitudinales à prendre est le plus petit diamètre utilisé. Dans le cas d'une section en travée avec armatures comprimées, c'est le diamètre le plus petit des aciers comprimés.

Les premières armatures transversales doivent être disposées à 5cm au plus du nu d'appui ou de l'encastrement.

# V.5.2. Ferraillage des poutres

# V.5.2.1. Poutre principale

#### a) Les armatures transversales :

Pour le calcul on va prendre les moments maximums (en travée et sur appui). D'après les résultats du logiciel **ROBOT 2014.** 

**Tableau V-8:** Sollicitations de la poutre principale.

	En Appuis			En Travée			
Section	M ELU	M <sub>ELS</sub>	M <sub>ACC</sub>	M <sub>ELU</sub>	M <sub>ELS</sub>	M <sub>ACC</sub>	
30*40	-95.16	-68.93	-166.32	86.90	63.13	155.72	

# • Ferraillage sous la combinaison (G + 0.2Q + 1.3 Ex):

# > Ferraillage en travée :

$$M_{t\,max}=155.72T.m$$

$$h = 40cm$$
;  $b = 30 cm$ ;  $d = 0.9 \times h = 36cm$ 

$$\mu = \frac{M_U}{bd^2 f_{bu}}$$

$$f_{bu} = \frac{0.85 \times f_{c28}}{\theta \times \gamma_b} = \frac{0.85 \times 25}{0.85 \times 1.2} = 20.83 MPa$$

$$\mu = \frac{M_U}{bd^2 f_{bu}} = \frac{155.72 \times 10^6}{300 \times 360^2 \times 20.83} = 0.19$$

$$\mu_{bu} = 0.19 \geq \mu_{ab} = 0.186$$

$$\alpha l = \frac{3.5}{3.5 + \varepsilon l}$$

$$\varepsilon l = \frac{f_e/\gamma_s}{200000} = 1.74\%$$

$$\alpha l = \frac{3.5}{3.5 + 1.74} = 0.668$$

ul=0.8 
$$\alpha l(1-0.4\alpha)$$

$$ul=0.8 \times 0.668 (1-0.4 \times 0.668)$$

$$ul = 0.392$$

$$\mu_{bu} = 0.19 \le \mu_l = 0.392 \to A' = 0$$

$$\alpha = 1.25 \left(1 - \sqrt{1 - 2\mu}\right)$$

$$\alpha = 0.27$$

$$Z = d(1 - 0.4\alpha) = 360(1 - 0.4 \times 0.27) = 321.12mm$$

• Section des armatures :

$$A_s = \frac{M_u}{Z \times \frac{f_e}{\gamma_s}} = \frac{155.72 \times 10^6}{321.12 \frac{400}{1.15}} = 12.12cm^2$$

On prend: 8HA16=16.08cm<sup>2</sup>

• Vérification de la condition de non fragilité :

$$A_{MIN} = 0.23 \times b \times d \times \frac{f_{t28}}{f_e} = 0.23 \times 300 \times 360 \times \frac{2.1}{400}$$

$$\Rightarrow A_{\min} = 1.3$$

$$f_{t28} = 0.6 + 0.06 \times f_{c28} = 2.1 \text{MPa}$$

 $A_{S}= \max(A_{MIN}, A_{CAL}) = \max(1.3; 12.12) \rightarrow A_{S}=12.12 \text{ cm}^{2}$ 

Ferraillage en appui (G + 0.2 Q - 1.3Ex):

$$M_{t \text{ max}} = -166.32 \text{kn.m}$$

$$h = 40 \text{ cm}$$
;  $b = 30 \text{ cm}$ ;  $d = 0.9 \times h = 36 \text{ cm}$ 

$$\mu = \frac{M_U}{bd^2 f_{bu}}$$

$$f_{bu} = \frac{0.85 \times f_{c28}}{\theta \times \gamma_h} = \frac{0.85 \times 25}{1 \times 1.5} = 20.83 MPa$$

$$\mu = \frac{M_u}{bd^2 f_{bu}} = \frac{166.32 \times 10^6}{300 \times 360^2 \times 20.83} = 0.21$$

$$\mu_{bu} = 0.21 \ge \mu_{ab} = 0.186$$

$$\mu_{bu} = 0.21 \le \mu_l = 0.392 \rightarrow A' = 0$$

$$\alpha = 1.25(1 - \sqrt{1 - 2\mu}) = 0.29$$

$$Z = d(1 - 0.4\alpha) = 360(1 - 0.4 \times 0.29) = 318.24mm$$

• Section des armatures :

$$A_s = \frac{M_u}{Z \times \frac{f_e}{\gamma_s}} = \frac{166.32 \times 10^6}{318.24 \frac{400}{1.15}} = 13.06 cm^2$$

On prend: 8HA16= 16.08 cm<sup>2</sup>

- Vérification de la condition de non fragilité :
- $A_{MIN} = 0.23 \times b \times d \times \frac{f_{t28}}{f_e} = 0.23 \times 300 \times 360 \times \frac{2.1}{400} \Rightarrow A_{min}$

$$f_{t28} = 0.6 + 0.06 \times f_{c28} = 2.1MPa$$

 $A_S = max(A_{MIN}, A_{CAL}) = max(1.3; 13.06) \rightarrow A_S = 13.06 \text{ cm}^2$ 

**Tableau V-9:** Ferraillage des poutres principales.

Position	M <sub>u</sub>	В	Н	D	U <sub>bu</sub>	α	Z	As	A <sub>min</sub>	A
Travée	155.72	30	40	36	0.19	0.27	321.12	12.12	1.30	8HA16=16.08
Appuis	- 166.32	30	40	36	0.21	0.29	318.24	13.06	1.30	8HA16=16.08

# • Vérification du ferraillage des poutres principales :

Section minimale: RPA 2024 (article 7.5.2)[4].

**Amin** = 0.5% (b x h) = 0.005 (30\*40) = 6 cm<sup>2</sup>.

Section maximale: RPA 2024 (article 7.5.2) [4]

4% b\*d : En zone courante (A<sub>min</sub>=0.04\*30\*36=43.2cm<sup>2</sup>).

6% b\*d: En zone de recouvrement (A<sub>min</sub>=0.06\*30\*36=64.8cm<sup>2</sup>).

# Calcul du ferraillage transversal:

Avec: b = 30cm; d = 40 cm

Calcul de la section des armatures transversales :

Choix du diamètre :

On a: 
$$:\varphi_t \le min(\frac{h}{35}; \frac{b}{10}; \varphi min) = min(11.42; 30; 1.4)$$

Soit:  $\varphi_t \leq 1.4cm$ 

On prend: 
$$\varphi_t = 8mm \Rightarrow A_t = 4HA8 = 2.01cm^2$$
 (1cadre + 1 étrier)

## **Espacement des barres:**

**Selon RPA2024**[4]:

En zone nodale:

$$S_t = \min(\frac{h}{4}; 24\phi; 17.5cm; 6\phi) \Rightarrow S_t = \min(10; 33.6; 17.5; 8.4)$$

St = 8.4cm

En zone courante:

$$S_t \le \frac{h}{2} = \frac{40}{2}$$

 $St \leq 20cm$ 

#### Donc on adopte:

St=8.4cm; En zone nodale

St=15cm ;En zone courante.

- ➤ Vérification de la section minimale des armatures transversales selon le RPA 2024 [4]:
- ➤ La longueur minimale des recouvrements des armatures longitudinales :

D'après le RPA2024[4] la longueur minimale de recouvrement dans la **zone V** est de  $40\varphi$ 

$$Lr = 60 \times \varphi l = 60 \times 1.4 = 84cm$$

On adopte:  $L_r = 84 \text{ cm}$ 

#### • Vérification à L'ELS :

Vérification de l'état limite de compression du béton :

$$\begin{split} \sigma_{bc} & \leq \bar{\sigma}_{bc} \\ \sigma_{b} & = \frac{M_{ser}}{I} y \leq \bar{\sigma}_{bc} \\ \bar{\sigma}_{bc} & = 0.6 \times f_{c28} = 0.6 \times 25 = 15 \text{MPa} \end{split}$$

En travée:

Mt = -63.13KN.m

#### Position de l'axe neutre :

$$\frac{b}{2} \times y^2 + \eta \times A'_s(y - c') - n \times A_s(d - y) = 0$$

$$Avec \to n = 15$$

$$h \times A'_s(y - c') = 0$$

$$\frac{30}{2}y^2 - 15 \times 16.08 \times (36 - y) = 0$$

$$15y^2 + 241.2y - 8683.2 = 0$$

$$y = 17.33cm$$

#### Moment d'inertie :

$$I = \frac{b \times y^3}{3} + n \times A_s (d - y)^2$$

$$I_t = \frac{30 \times 17.33^3}{3} + 15 \times 16.08 \times (36 - 17.33)^2 = 80071.94 cm^4$$

$$\sigma = \frac{63.13 \times 10^6 \times 17.33}{80071.94 \times 10^4} = 1.36 \le \bar{\sigma}_{bc} = 15 \to CV$$

# **En appuis :**

M = -68.63 KN.m

#### Position de l'axe neutre :

$$\frac{b}{2} \times y^2 + \eta \times A'_s(y - c') - n \times A_s(d - y) = 0$$
 and  $n = 15$  
$$h \times A'_s(y - c') = 0$$
 
$$\frac{30}{2}y^2 - 15 \times 16.08(36 - y) = 0$$

$$15y^2 + 241.2y - 8683.2$$
$$y = 17.33cm$$

#### Moment d'inertie :

$$\begin{split} I &= \frac{b \times y^3}{3} + n \times A_s (d-y)^2 \\ I_t &= \frac{30 \times 17.33}{3} + 15 \times 16.08 \times (36 - 17.33)^2 = 80071.94 cm^4 \\ \sigma &= \frac{68.63 \times 10^6 \times 17.33}{80071.94 \times 10^4} = 1.48 \leq \bar{\sigma}_{bc} = 15 \rightarrow \text{CV} \end{split}$$

Tableau V-10: Vérification a l'ELS de la poutre principale

	M (T.m)	Y(cm)	I (cm <sup>4</sup> )	$\sigma_{bC}$ (MPa)	$\bar{\sigma}_{bc}$ (MPa)	
Travée	63.13	17.33	80071.94	1.36	15	CV
Appuis	-68.63	17.33	80071.94	1.48	15	CV

# ➤ Vérification de la flèche : BAEL 91(article B.6.5.1) [2]

Si les trois conditions suivantes de la flèche sont vérifiées, le calcul de la flèche ne s'imposera pas : h=40cm; L=5.20m; b=30cm; As=6.16cm<sup>2</sup>;

$$\frac{h}{l} \ge \frac{1}{16} \dots \dots \Rightarrow \frac{40}{520} = 0.076 \ge 0.062 \dots \dots CV$$

$$\frac{h}{l} \ge \frac{Mt}{10M_0} = \frac{0.85M_0}{10M_0} \dots \dots \Rightarrow 0.76 \ge 0.085 \dots CNV$$

$$\frac{As}{bd} \le \frac{4.2}{fe} \dots \dots \Rightarrow 0.014 \le 0.0105 \dots CNV$$

# > Calcul de la flèche par la méthode d'inertie fissurée :

Il faut que:

$$\begin{split} f = \frac{Mt}{10 \times Ei \times I_{fi}} = \frac{63.13}{10 \times 32164.2 \times 162786.75} = 1.02 \times 10^{-9} \leq f = 0.05 \, \frac{L}{1000} \\ = 0.026 cm \\ I_{fi} = \frac{1.1 \times I_0}{1 \times \lambda i \times u} = \frac{1.1 \times 217542.29}{1.47} = 162786.75 cm^4 \\ I_0 = 217542.29 cm^4 \end{split}$$

$$\rho = \frac{A_s}{b \times d} = \frac{16.08}{30 \times 36} = 0.015$$

$$u = 1 - \frac{1.75 \times ft28}{4 \times \rho \times \sigma s \times ft28} = 1.05$$

$$\lambda i = \frac{0.05ft28}{\rho(2 + 3\frac{b0}{b})} = 1.4$$

 $f = 1.02 \times 10^{-9} \le \bar{f} = 0.026 cm.$ ..... Donc la flèche est Vérifiée.

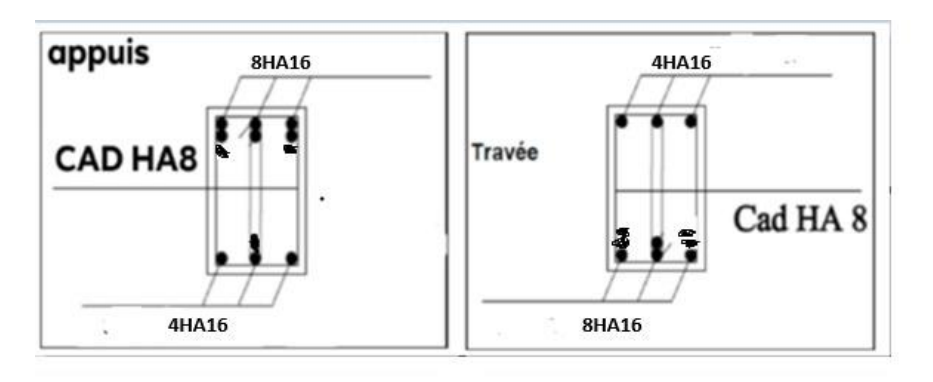


Figure V-4: Schéma de ferraillage des poutres principales.

#### V.5.2.2. Poutre secondaires:

**Tableau V-11:** Sollicitations de la poutre secondaires.

	En Appuis			En Travée		
Section	M ELU	MELS	M <sub>ACC</sub>	M <sub>ELU</sub>	M <sub>ELS</sub>	M <sub>ACC</sub>
25*35	25.83	-18.55	-61.41	16.52	12.08	47.21

• Ferraillage sous la combinaison (G+0.2Q -1.3EY):

## > Ferraillage en travée :

$$M_{t\;max}=47.21T.m$$

$$h = 35cm$$
;  $b = 30 cm$ ;  $d = 0.9 \times h = 31.5cm$ 

$$\mu = \frac{M_U}{bd^2 f_{bu}}$$

$$f_{bu} = \frac{0.85 \times f_{c28}}{\theta \times \gamma_b} = \frac{0.85 \times 25}{0.85 \times 1.2} = 20.83 MPa$$

$$\mu = \frac{M_U}{bd^2 f_{bu}} = \frac{47.21 \times 10^6}{300 \times 315^2 \times 20.83} = 0.076$$

$$\mu_{bu} = 0.076 \le \mu_{ab} = 0.186$$

$$\mu_{bu} = 0.075 \le \mu_l = 0.392 \rightarrow A' = 0$$

$$\alpha = 1.25(1 - \sqrt{1 - 2\mu}) = 0.99$$

$$Z = d(1 - 0.4\alpha) = 360(1 - 0.4 \times 0.27) = 302.52mm$$

• Section des armatures :

$$A_s = \frac{M_u}{Z \times \frac{f_e}{\gamma_s}} = \frac{47.21 \times 10^6}{302.52 \frac{400}{1}} = 3.9 cm^2$$

On prend: 4HA14=6.16cm<sup>2</sup>

• Vérification de la condition de non fragilité :

$$A_{MIN} = 0.23 \times b \times d \times \frac{f_{t28}}{f_e} = 0.23 \times 300 \times 315 \times \frac{2.1}{400}$$

$$\Rightarrow A_{min} = 114.11$$

$$f_{t28} = 0.6 + 0.06 \times f_{c28} = 2.1MPa$$

AS= max(AMIN, ACAL)=max  $(1.14; 3.9) \rightarrow AS=3.9 \text{ cm}^2$ 

 $\triangleright$  Ferraillage en appui (G +0.2 Q +1.3 Ey):

Mt max = -61.41T.m

$$h = 35 \text{ cm}$$
;  $b = 30 \text{ cm}$ ;  $d = 0.9 \times h = 31.5 \text{ cm}$ 

$$\mu = \frac{M_U}{bd^2 f_{bu}}$$

$$f_{bu} = \frac{0.85 \times f_{c28}}{\theta \times \gamma_b} = \frac{0.85 \times 25}{0.85 \times 1.2} = 20.83$$
MPa

$$\mu = \frac{M_u}{bd^2f_{bu}} = \frac{61.41 \times 10^6}{300 \times 315^2 \times 20.83} = 0.099$$

µ< 0.186 ⇒donc il n'est pas nécessaire de mettre des armatures comprimées :

On se trouve dans le domaine 1,

$$\mu_{bu} = 0.099 \le \mu_{ab} = 0.186 \rightarrow pivot...A$$

$$\mu_{bu} = 0.099 \le \mu_{l} = 0.392 \rightarrow A' = 0$$

$$\alpha = 1.25(1 - \sqrt{1 - 2\mu}) = 0.13$$

$$Z = d(1 - 0.4\alpha) = 315(1 - 0.4 \times 0.13) = 298.62mm$$

• Section des armatures :

$$A_s = \frac{M_u}{Z \times \frac{f_e}{r_s}} = \frac{61.41 \times 10^6}{298.62 \times \frac{400}{1}} = 5.14 cm^2$$

On prend: 4HA14= 6.16 cm2

• Vérification de la condition de non fragilité :

• 
$$A_{MIN} = 0.23 \times b \times d \times \frac{f_{t28}}{f_e} = 0.23 \times 300 \times 315 \times \frac{2.1}{400}$$

• 
$$\Rightarrow A_{min}=1.14$$

$$f_{t28} = 0.6 + 0.06 \times f_{c28} = 2.1 MPa$$

 $AS=max(AMIN,ACAL)=max(1.146;5.14) \rightarrow AS=5.14cm^2$ 

**Tableau V-12:** Ferraillage des poutres secondaire.

Position	Mu	В	Н	D	Ubu	α	Z	As	Ami	A
									n	
Travée	47.21	30	35	31.5	0.076	0.99	302.5	3.9	1.14	4HA14=6.16
Appuis	- 61.41	30	35	31.5	0.099	0.13	298.6	5.14	1.14	6HA14=9.23

• Vérification du ferraillage des poutres principales :

S Section minimale: RPA 2024 (article 7.5.2.)[1].

Amin = 0.5% (b x h) = 0.005 (35\*30) = 5.25 cm<sup>2</sup>.

Section maximale: RPA 2024 (article 7.5.2.1) [1]

4% b\*d : En zone courante (Amin=0.04\*30\*31.5=37.8cm²).

6% b\*d: En zone de recouvrement (Amin=0.06\*30\*31.5=56.7cm<sup>2</sup>).

Calcul du ferraillage transversal:

Avec: b = 30cm; d = 31.5 cm

Calcul de la section des armatures transversales :

Choix du diamètre :

On a: 
$$\varphi_t \leq min(\frac{h}{35}; \frac{b}{10}; \varphi min) = min(10; 30; 1.4)$$

Soit:  $\phi_t \leq 1.4cm$ 

On prend:  $\phi_t = 8mm \Rightarrow A_t = 4HA8 = 2.01cm^2$  (1cadre + 1 étrier)

**Espacement des barres:** 

**Selon RPA2024**[1]:

En zone nodale:

$$S_t = min(\frac{h}{4}; 24\varphi; 17.5cm; 6\varphi) \Rightarrow S_t = min(8.75; 33.6; 17.5; 8.4)$$
  
 $S_t = 8.4cm$ 

En zone courante:

$$S_t \le \frac{h}{2} = \frac{35}{2}$$

 $St \leq 17.5cm$ 

Donc on adopte:

St=10cm; En zone nodale

St=15cm; En zone courante.

➤ Vérification de la section minimale des armatures transversales selon le RPA 2024[4]:

$$\begin{aligned} At_{\min} &\leq At \\ At_{\min} &= 0.003 \times St \times b = 0.003 \times 15 \times 30 = 1.35 cm^2 \\ At_{\min} &= 1.35 \leq At \longrightarrow cv \end{aligned}$$

 $\succ$  La longueur minimale des recouvrements des armatures longitudinales :

D'après le RPA2024[1] la longueur minimale de recouvrement dans la zone Vest de 40 arphi

$$Lr = 40 \times \phi l = 40 \times 1.4 = 56cm$$

On adopte :  $60\phi$ 

$$Lr = 60 \times \phi l = 60 \times 1.4 = 84cm$$

On adopte: Lr = 84 cm

## • Vérification à L'ELS:

Vérification de l'état limite de compression du béton :

$$\sigma_{bc} \leq \overline{\sigma}_{bc}$$

$$\sigma_b = \frac{M_{ser}}{I} \, y \le \overline{\sigma}_{bc}$$

$$\overline{\sigma}_{bc} = 0.6 \times f_{c28} = 0.6 \times 25 = 15MPa$$

En travée :

Mt=12.08KN.m

#### Position de l'axe neutre :

$$\begin{split} &\frac{b}{2} \times y^2 + \eta \times A_s'(y-c') - n \times A_s(d-y) = 0 \\ &\text{Avec} \rightarrow n = 15 \\ &\text{h} \times A_s'(y-c') = 0 \end{split}$$

$$\frac{30}{2}y^2 - 15 \times 6.16 \times (31.5 - y) = 0$$

$$y^2 + 6.16y - 194.04 = 0$$

$$\Delta = 28.53$$

$$y = 11.19cm$$

#### Moment d'inertie :

$$I = \frac{b \times y^3}{3} + n \times A_s (d - y)^2$$

$$I_t = \frac{30 \times 11.19^3}{3} + 15 \times 6.16 \times (31.5 - 11.19)^2 = 52126.32cm^4$$

$$\sigma = \frac{12.08 \times 10^6 \times 111.9}{52126.32 \times 10^4} = 2.59 \le \bar{\sigma}_{bc} = 15 \to CV$$

# > En appuis :

Position de l'axe neutre :

$$\frac{b}{2} \times y^2 + \eta \times A'_s(y - c') - n \times A_s(d - y) = 0$$

$$Avec \to n = 15$$

$$h \times A'_s(y - c') = 0$$

$$\frac{30}{2}y^2 - 15 \times 6.16(31.5 - y) = 0$$

$$y^2 + 6.16y - 194.04$$

$$\Delta = b^2 - 4ac = 28.53$$

$$y = 11.19cm$$

#### Moment d'inertie :

$$\begin{split} I &= \frac{b \times y^3}{3} + n \times A_s (d - y)^2 \\ I_t &= \frac{30 \times 11.19^3}{3} + 15 \times 6.16 \times (31.5 - 11.19)^2 = 52126.32 \text{cm}^4 \\ \sigma &= \frac{18.55 \times 10^6 \times 11.19}{52126.32 \times 10^4} = 0.389 \leq \bar{\sigma}_{bc} = 15 \rightarrow \textit{CV} \end{split}$$

Tableau V-13: Vérification a l'ELS de la poutre secondaire.

	M (KN.m)	Y(cm)	I (cm4)	$\sigma_{bC}$ (MPa)	$\overline{\sigma}_{bc}$ (MPa)	
Travée	12.08	11.19	52126.32	2.59	15	CV
Appuis	-18.55	11.19	52126.32	0.389	15	CV

➤ Vérification de la flèche : BAEL 91(article B.6.5.1) [2]

Si les trois conditions suivantes de la flèche sont vérifiées, le calcul de la flèche ne s'imposera pas : h=35cm; L=4.40m; b=30cm; As=6.16cm<sup>2</sup>;

$$\frac{h}{l} \ge \frac{1}{16} \dots \dots \Rightarrow \frac{35}{440} = 0.08 \ge 0.0625 \dots CV$$

$$\frac{h}{l} \ge \frac{Mt}{10M_0} = \frac{0.85M_0}{10M_0} \dots \dots \Rightarrow 0.08 \ge 0.085 \dots CV$$

$$\frac{As}{bd} \le \frac{4.2}{fe} \dots \dots \Rightarrow 6.51 \times 10^{-3} \le 0.0105 \dots CV$$

Les trois conditions sont vérifiées, donc la vérification de la flèche n'est pas nécessaire.

## Vérification de la compression du béton :

## Les résultats sont regroupés dans les tableaux suivants :

$$T \max < 0.4 \times b \times a \times \frac{fc28}{\gamma b}$$

$$a = \min(a'; 0.9 \times d)$$

$$a' = 35 - c - 2 = 35 - 3 - 2 = 30cm$$

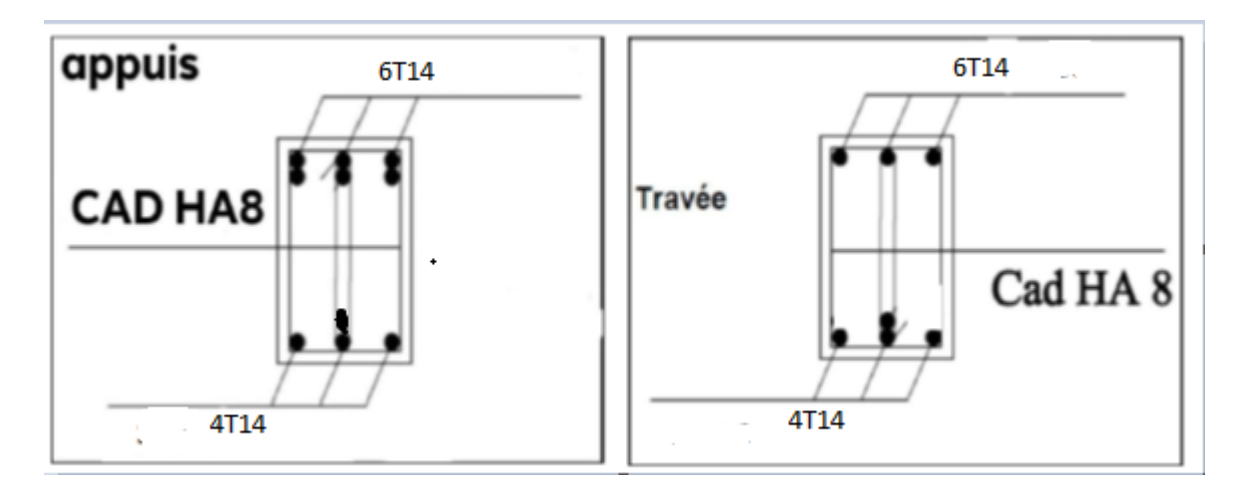


Figure V-5: Schéma de ferraillage des poutres secondaire.

## V.6. Ferraillage des voiles :

Les voiles sont soumis à des forces verticales « charges permanentes et surcharges d'exploitations » et à des forces horizontales « séisme ». Leur ferraillage s'effectuera selon le règlement CBA.93 [3] et règles de conception et de calcul des parois et murs en béton banché D.T.R : B.C.2.42 [7] et les vérifications selon le règlement parasismique Algérien RPA 2024

[4]. Ils sont sollicités à la flexion composée avec effort tranchant ramenant aux sollicitations suivant :

- Moment fléchissant et effort tranchant provoqués par l'action du séisme.
- Effort normal dû à la combinaison des charges permanentes ; d'exploitations et la charge sismique.

On devra disposer les armatures suivantes :

- ✓ Armatures verticales.
- ✓ Armatures horizontales.
- ✓ Armatures transversales.

Le diagramme du moment fléchissant, pour les systèmes à contreventement mixte, peut éventuellement être négatif dans les étages supérieurs (Figure (7.13)).

La hauteur, hcr, de la zone critique au-dessus de la base du voile est estimée comme suit

(Figure (7.13)):

$$hcr = max(lw, hw/6)$$
 (7.20)

et:

2. *lw* 

hcr 
$$\leq$$
 hcr  $\leq$  he: pour  $n \leq$  6 niveaux  
2.he: pour  $n >$  6 niveaux

Avec

Donc

$$hcr = max(2.5m, 3.1m) = 3.1m$$

#### voil 1

tang 
$$\propto = \frac{Mmax}{hcr} = \frac{191.93}{18.6} = 10.32$$

$$\tan \alpha \propto \frac{X}{hcr}$$
  $X = \tan \alpha \propto hcr = 31.98m$ 

Donc:

$$M = Mmax + X = 223.21KN; m$$

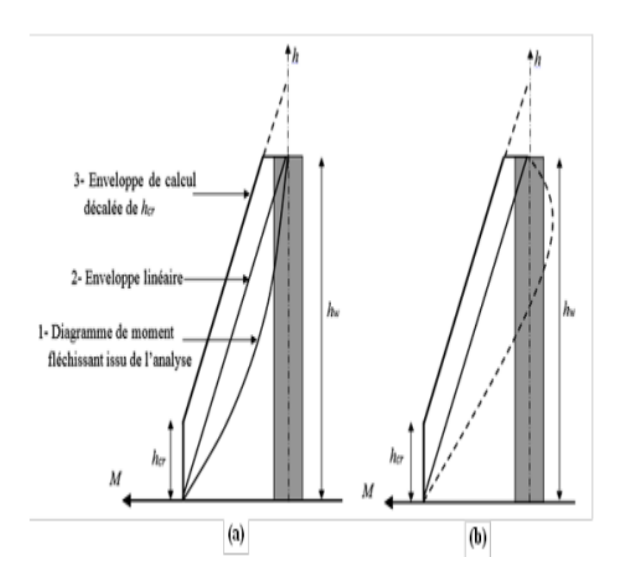


Figure V-6: Zone critique à la base du voile

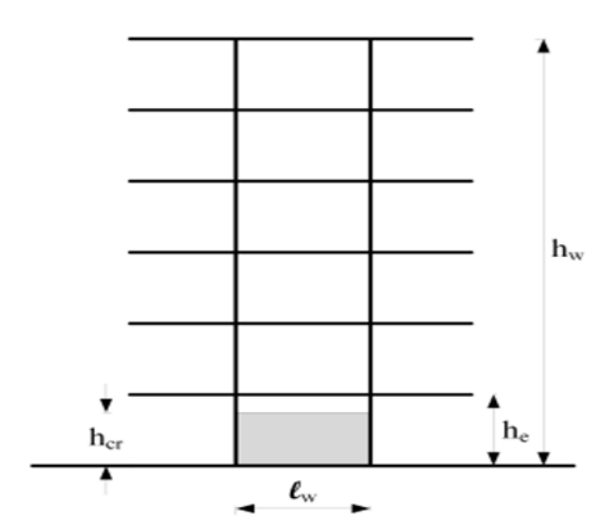


Figure V-7: Enveloppe de calcul pour les moments fléchissant

## V.6.1. Exposé de la méthode

La méthode consiste à déterminer le diagramme des contraintes à partir des sollicitations les plus défavorables (N,M) en utilisant les formules suivantes :

$$\sigma_{max} = \frac{N}{A} + \frac{M.V}{I}$$

$$\sigma_{min} = \frac{N}{A} - \frac{M.V\prime}{I}$$

Avec:

A: section du béton

I: moment d'inertie du trumeau

V et V': bras de levier:

$$V' = V' = \frac{L \text{ voile}}{2}$$

Dans ce cas le diagramme des contraintes sera relevé directement du fichier résultats.

Le découpage de diagramme des contraintes en bandes de largeur (d) donnée par ; CBA [3] RPA 2024 [4].

$$d \le \min\left\{\frac{he}{2}; \frac{2}{3}lc\right\}$$

Avec:

he : hauteur entre nus du planchers du voile considéré

Lc : la longueur de la zone comprimée

$$lc \le max(0.15lw; 1.5bw)$$
  $lc \le max(2.79; 30)$   $lc = 30cm$ 

L t : longueur tendue : Lt = L - Lc L t=2.2m

d = min [he/2; (2/3) Lc] = 0.20 m = 20 cm

On prendra:

 $1^{\text{\`e}re}$  bande d = 0.20 m

 $2^{\text{ème}}$  bande d'= 2.1

Les efforts normaux dans les différentes sections sont donnés en fonction des diagrammes des contraintes obtenues :

**Tableau V-14:** Sollicitations de calcul (voile plein).

	Voile «V1»	Voile «V2»	Voile «V3»	Voile «V4»
	sen Y-Y	sen Y-Y	sen X-X	sen X-X
L (m)	2.5	2.5	2.5	2.5
e (m)	0.20	0.20	0.20	0.20
H <sub>etage</sub> (m)	3.10	3.10	3.10	3.10
Tng∝	10.32	9.52	12.91	11.90

	Х		31.98	29.54	40.04	36.9
		N <sub>min</sub> (KN)	-93.2	-1353.92	-1647.21	-489.44
	$N_{MIN}$	M <sub>cor</sub> (KN.M)	79.66	108.89	715.34	186.23
	Z	Vu (KN)	-103.18	161.18	139.4	138.13
		$\bar{V}$	144.45	225.65	195.16	193.38
RDC		N <sub>cor</sub> (KN)	230.78	176.46	597.57	232.40
+1ereET	M <sub>MAX</sub> RDC +1 <sup>ere</sup> ETA+2 <sup>ere</sup> ETA	M <sub>max</sub> (KN.M)	223.91	206.79	784.74	258.4
A+2ei	×	Vu (KN)	173.73	160.27	695.88	446.34
"ETA	°ETA	$\bar{V}$	243.22	224.38	994.19	624.88
		N <sub>max</sub> (KN)	481.96	-616.14	-193.64	-368.18
	$N_{MAX}$	M <sub>cor</sub> (KN.M)	136.99	109.07	196.73	74.48
	AX	Vu (KN)	160.85	124.29	550.66	83.37
		$\bar{V}$	225.19	174.06	770.92	116.71
		N <sub>min</sub> (KN	-320.70	-563.5	432.5	68.12
3+	$N_{MIN}$	M <sub>cor</sub> (KN.M)	26.37	74.48	171.09	155.96
4+5+		Vu (KN)	-51.59	80.59	301.91	83.34
eme -		$\bar{V}$ (KN)	72.23	112.83	97.58	96.69
⊦ 3em		N <sub>cor</sub> (KN)	-127.38	-37.92	28.4	54.3
le ETA	MMAX 3+4+5+eme + 3eme ETA	M <sub>max</sub> (KN.M)	60.13	87.17	426.42	250.86
	[AX	Vu (KN)	86.87	80.14	347.94	223.17
		$\bar{V}$	121.61	112.19	497.09	312.44

	N <sub>max</sub> (KN)	-522.81	21.54	336.82	233.14
N <sub>MAX</sub>	M <sub>cor</sub> (KN.M)	-51.07	61.35	628.28	86.59
×	Vu (KN)	80.42	62.15	275.33	41.60
	$\overline{V}$	112.6	87.03	385.46	58.36

## **Exemple d'application 01 (Sens y-y) :**

On va choisir le voile plein le plus sollicité.

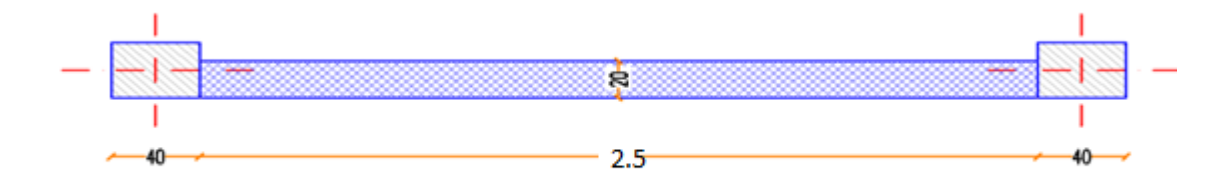


Figure V-8: Dimensions du voile V1

L=2.5 m; e= 0.20 ; A= 0.20 x 2.5 = 0.5 m<sup>2</sup> ; I= 
$$ex \frac{L^3}{12}$$
 = 0.26 m<sup>3</sup> ; V=L/2=1.25m

$$6\text{max} = \frac{\text{N}}{\text{A}} + \frac{\text{M. V}}{\text{I}} = \frac{93.2}{0.5} + \frac{79.66 \times 1.25}{0.26} = +569.38 \text{ KN/m}^2$$

$$6min = \frac{N}{A} - \frac{M.V}{I} = \frac{93.2}{0.26} - \frac{79.66x1.25}{0.26} = -196.5 \text{ KN/m}^2$$

 $\delta_{max}$  et  $\delta_{min}$  sont de signes différents, donc la section du voile est partiellement comprimée.

On calcule la longueur de la zone de traction :

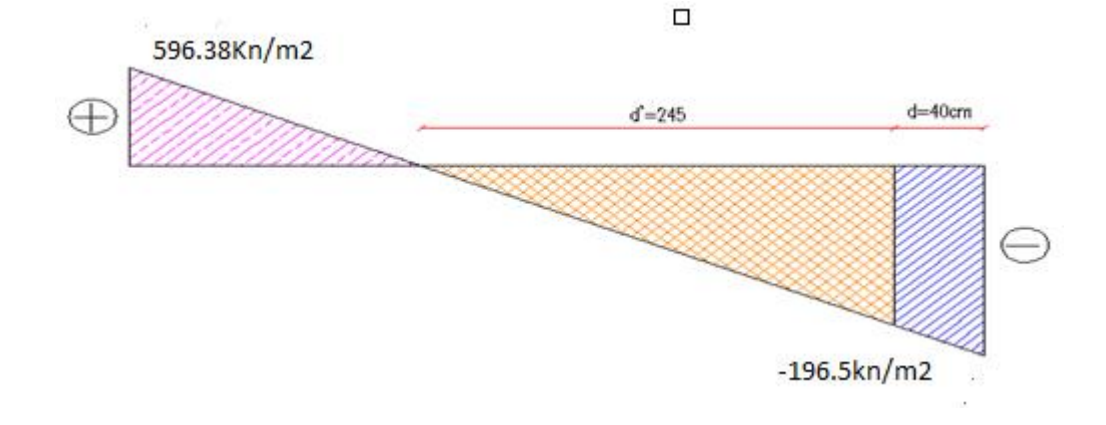


Figure V-9: Diagramme des contraintes V1.

# **\*** Longueur de la zone tendue :

 $Lc \ge \max(0.15 \text{lw}; 1.5 \text{bw})$   $Lc \ge \max(2.79; 30)$  Lc=(2.79; 30) Lc=30 cm Lt = L - Lc = 2.5 - 0.30 = 2.2 m  $d = \min[\text{he/2}; (2/3) \text{ Lc}] = 0.2 \text{ m} = 20 \text{ cm}$ On prendra:  $1^{\text{ère}}$  bande d = 0.20 m

# ❖ Le ferraillage de la 1ère bande :

 $2^{\text{ème}}$  bande d'= 2 m

$$\begin{split} &\sigma_1 = \sigma_{min}.(LT - d)/LT = 196.5.(2.2 - 0.20)/2.2 = 178.64 KN/m^2 \\ &N_{u1} = \frac{1}{2} \left(\sigma_{min} + \sigma_1\right).d.e = \frac{1}{2} \left(196.5 + 178.64\right) x 0.20 \ x \ 0.20 = 7.50 KN \\ &La \ section \ d'acier à mettre pour 1 ^{ère} \ bande \ est : \\ &A_1 = N_{u1}/\sigma_s = (7.5 x \ 10^2)/400 \ = 18.75 \ cm^2 \ avec \ 6s = 400 \ Mpa \\ &A_{min \ RPA} = 0.2 \ \% \ x \ d \ x \ e = 0.002 x \ 20 \ x \ 20 = 0.8 \ cm^2 \\ &A_{min \ BAEL} = (d \ x \ e) \ x \ ft 28/Fe = 20 \ x \ 20 \ x \ 2.10/400 = 2.1 \ cm^2 \end{split}$$

## **Le ferraillage de la 2**<sup>eme</sup> bande :

 $As_1=2.1 \text{ cm}^2 \text{ soi} \quad 2x2T12=4.52 \text{ cm}^2$ 

$$\begin{split} &\sigma_2 = {}_{\sigma min}.(LT-d-d')/LT = 196.5.(2.2-0.20-2)/2.2 = 0.00~\textit{KN/m}^2 \\ &N_{u2} = \frac{1}{2}~(\sigma_1 + \sigma_2).~d'.e = \frac{1}{2}~(178.64 + 0~.00~)~x~2x~0.20 = 35.73~KN \end{split}$$
 La section d'acier à mettre pour  $2^{eme}$  bande est : 
$$&A2 = N_{u2}/\sigma_s = \left(35.73~x~10^3\right)/400 = 0.89~cm^2~avec~6s = 400~MPa~(situation~accidentelle) \\ &A_{min~RPA} = 0.2~\%~x~d'~x~e = 0.002x~200~x~20 = 0.~8~cm^2 \end{split}$$

$$A_{min BAEL} = (d' x e)xft28/Fe = 200 x 20 x 2.10/400 = 2.1 cm^2$$

$$As_2=2.1cm^2$$
 soit  $2x2 T12 = 4.52 cm^2$ 

$$As = As_1 + As_2 = 4.52cm^2 + 4.52cm^2 = 9.04cm^2$$

## **Service** Espacement:

- St  $\leq \min(\frac{bc}{2}; 20; 8\varphi l)$  cm  $\Longrightarrow$  St  $\leq 20$  cm
- Soit : St = 15cm Dans la zone courante.
- Sa = St/2 = 7.5 cm dans la zone d'environ

## Remarque:

Cette section d'armature concerne la cote de la zone tendue. Il faut mettre la même section de ferraillage dans l'autre cote de la section.

#### **Armatures horizontales:**

d'après le BEAL 91[1]:

$$A_H = \frac{Av}{4} = \frac{9.04}{4} = 2.26 \text{cm}^2$$

D'après le RPA 2024 [4].

$$A_H \ge \frac{\overline{V.S}}{Z.fe} = 2.17 \text{ cm}^2$$

Soit :  $2 \times 2HA12 = 4.52 \text{ cm}^2 \text{ St} = 15 \text{ cm}$ 

#### **Armatures transversales:**

Les deux nappes d'armatures verticales doivent être reliées au minimum par (04) épingles au mètre carré soit HA8.

#### **Armature de coutures :**

$$Avj = 1.1 \times \frac{\overline{V}}{Fe}$$

Avec :  $\overline{V} = 1.4 \text{ x Vu}$ 

Vu : Effort tranchant calculé au niveau considéré

$$Vu = 103.18KN$$
  $\bar{V} = 1.4 \times 103.18 = 144.45 KN$ 

$$Avj = 1.1 \text{ x} \frac{144.45}{400} = 3.97 \text{ cm}^2$$

Cette quantité doit s'ajouter à la section d'acier tendue nécessaire pour équilibrer les efforts de traction dus au moment de renversement.

#### **Vérification des contraintes de cisaillement :**

d'après le BAEL 91[1].

 $\tau_u \leq \bar{\tau}_u$ 

$$\tau_{u} = \frac{Vu}{bxd} = \frac{103.18}{200x0.9x310} = 1.85MPa$$

Avec:

τ<sub>u</sub>: contrainte de cisaillement

 $\overline{\tau}_u = min \ (0.15. \frac{f_{cj}}{\gamma_b} \ ; \ 4MPa)$  Pour la fissuration préjudiciable.

 $\bar{\tau}_{\text{u}} = \min(0.15 \times 25/1.5; 4\text{MPa}) = 2.5 \text{ MPa}$ 

$$\tau_u$$
 =1.85 MPa  $\leq \bar{\tau}_u$ = 2.50 MPa

d'après le RPA2024 [4]:

$$\tau_{\rm b} \leq \tau_{\rm b} \rightarrow \tau_{\rm b} = \frac{\overline{V}}{bxd}$$

b : Epaisseur du linteau ou du voile

d: Hauteur utile (d = 0.9 h)

h: Hauteur totale de la section brute

$$Vu = 103.18 \text{ KN}$$
  $\bar{V} = 1.4 \text{ x } 103.18 = 144.45 \text{ KN}$ 

$$\tau_b \!\!=\!\! \frac{\overline{\textit{V}}}{\textit{b0xd}} = \!\! \frac{144.45 x 1000}{200 x 0.9 x 310} = 2.58 \, \textit{MPa}$$

$$\overline{\tau}_{b=} 0.2 \text{ x } fc_{28} = 5.00 \text{ Mpa}$$

$$\tau b$$
= 2.58 MPa  $\leq \overline{\tau} b$  = 5.00 MPa ......

#### ❖ Vérification à l'ELS :

$$\sigma_b \le \bar{\sigma}_b$$
 avec :  $\sigma_b = \frac{Ns}{B + (15.A)}$  et  $\bar{\sigma}_b = 0.6$  fc<sub>28</sub> = 15MPa

$$\sigma_{b=\frac{Ns}{B+(15.A)}} = \frac{83.15x \, 10^{-2}}{0.5+(15x0.00904)} = 1.31 \, MPa$$

$$\sigma b = 1.31 \text{ MPa} \leq \bar{\sigma} b = 15 \text{ MPa} \dots C V$$

## **Exemple d'application 02:**

On va choisir le voile plein le plus sollicité.

#### $\triangleright$ Sens x-x:

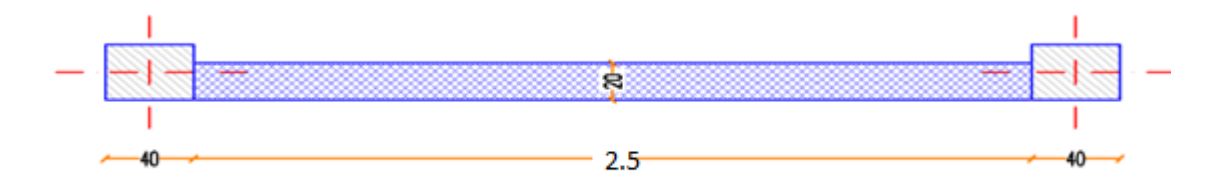


Figure V-10: Dimensions du voile V4

L=2.5m; e= 0.20; A= 0.20\*2.5 = 0.5m<sup>2</sup>; I= 
$$e^{13/12}$$
 = 0.26 m<sup>3</sup>; V=L/2=1.25 m

$$6\text{max} = \frac{\text{N}}{\text{A}} + \frac{\text{M.V}}{\text{I}} = \frac{+368.18}{0.5} + \frac{74.48 \text{ x } 1.25}{0.26} = +1094.44 \text{KN/m}^2$$

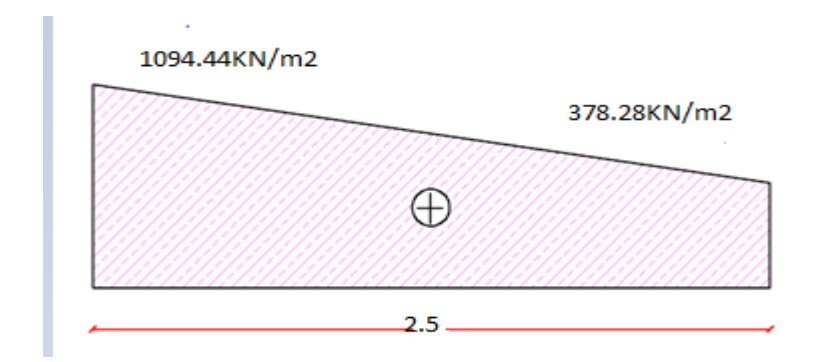
$$6min = \frac{N}{A} - \frac{M.V}{I} = \frac{+368.18}{0.5} - \frac{74.48.x \ 1.25}{0.26} = +378.28 \ KN/m^2$$

 $\delta_{max}$  et  $\delta_{min}$  sont de signes positif (+), donc la section du voile est Entièrement Comprimée.

$$f_{bu} = \frac{0.85 x f_{c28}}{\gamma_b} = 20.83 \ KN/m^2$$

 $6max = 1094.44 \text{ KN/m}^2$ 

$$\Rightarrow$$
 б max  $< f_{bu}$  ...... С V



## **\*** Le ferraillage :

 $A_{min RPA}$ = 0.2 % x L x e = 0.002x 250 x 20 = 10 cm<sup>2</sup>

Donc: As=4.52 cm<sup>2</sup> soit 2x2T12= 2.26 cm<sup>2</sup>

## **Service** Espacement:

• St 
$$\leq$$
 St  $\leq$  min  $(\frac{bc}{2}; 20; 8\varphi l)$  cm St  $\leq$  20 cm

$$St \le 20 \text{ cm}$$
  $St = 15 \text{ cm}$ 

## **Armatures horizontales:**

D'après le BEAL 91 [1]:

$$A_{\rm H} = \frac{Av}{4} = \frac{9.04 \, cm^2}{4} = 2.26 \, cm^2$$

D'après le RPA 2024[4]:

$$A_{H} \geq \frac{\overline{V.S}}{Z.fe} = 1.75 \text{cm}^2$$

Soit 
$$2 \times 2HA12 = 4.52 \text{ cm}^2 \text{ St} = 15 \text{ cm}$$

#### **Armatures transversales:**

Les deux nappes d'armatures verticales doivent être reliées au minimum par (04) épingles au mètre carré soit HA8.

## **Vérification des contraintes de cisaillement :**

$$Vu = 83.37 \text{ KN}$$

D'après le BAEL 91 [1].

 $\tau u \leq \bar{\tau} u$ 

$$\tau_{\rm u} = \frac{Vu}{bxd} = \frac{83.37x10^3}{200x0.9x310} = 1.5MPa$$

Avec:

 $\tau_u$ : contrainte de cisaillement

$$\bar{\tau}_u = \min(0.15.\frac{f_{cj}}{\gamma_b}; 4MPa)$$
 Pour la fissuration préjudiciable.

$$\bar{\tau}_{u=}$$
 min( 0.15x25/1.5 ;4MPa) =2.5 MPa

$$\tau_u = 1.5 \text{ MPa} \leq \bar{\tau}_u = 2.50 \text{ MPa}$$

D'après le RPA2024:

$$\bar{\tau}_b \leq \tau_b \rightarrow \tau_{b=} \frac{\bar{V}}{bxd}$$

b : Epaisseur du linteau ou du voile

d: Hauteur utile (d = 0.9 h)

h: Hauteur totale de la section brute

$$Vu = 83.37 \text{ KN}$$
  $\bar{V} = 1.4 \text{ x } 83.37 = 116.7 \text{ KN}$ 

$$\tau_b = \frac{\overline{V}}{b0xd} = \frac{116.7x1000}{200x0.9x310} = 2.09MPa$$

$$\overline{\tau}_{b=} 0.2 \text{ x } fc_{28} = 5.00 \text{ MPa}$$

$$\tau b$$
= 2.09 MPa  $\leq \overline{\tau} b$  = 5.00 MPa ..... CV

## **❖** Vérification à l'ELS :

$$\sigma_b \leq \ \overline{\sigma}_b \quad avec: \sigma_b = \frac{\mathit{Ns}}{\mathit{B} + (15.\mathit{A})} \quad \ \ \, et \quad \ \overline{\sigma}_b = 0.6 \ fc_{28} = 15 MPa$$

$$\sigma_{b=\frac{Ns}{B+(15.A)}} = \frac{56.16x\,10^{-2}}{0.5+(15x0,00904)} = 0.88\,MPa$$

$$σb = 0.88 \text{ MPa} \le \bar{σ}b = 15 \text{ MPa} \dots C V$$

Tableau V-15: Résultats du ferraillage vertical voiles (RDC +1ereETA+2ere).

	voile« V1»	voile« V2 »	voile« V3 »	voile« V4 »
Effort normal (KN)	-93.2	-1353.92	597.57	-489.44
Moments flexion ( KN.m)	79.66	203.68	784.74	186.23
б1 (KN/m2)	178.64	412.84	2343.32	897.39
62 (KN/m2)	0.00	0	0.00	00
Lt(m).	2.2	2.2	2.2	2.2
Av	9.04	1.39	5.36	4.52
Ah	2.26	3.48	6.88	2.6
ARPA	0.8	0.8	0.8	10
ABAEL	2.1	2.1	2.1	2.1

A1	1.88	1.46	2.46	2.2
St	15	15	15	15
Choix de barres (Par nappe)	4T12	4T12	4T10	4T12
A ADAPTE	4.52	4.52	3.14	4.52

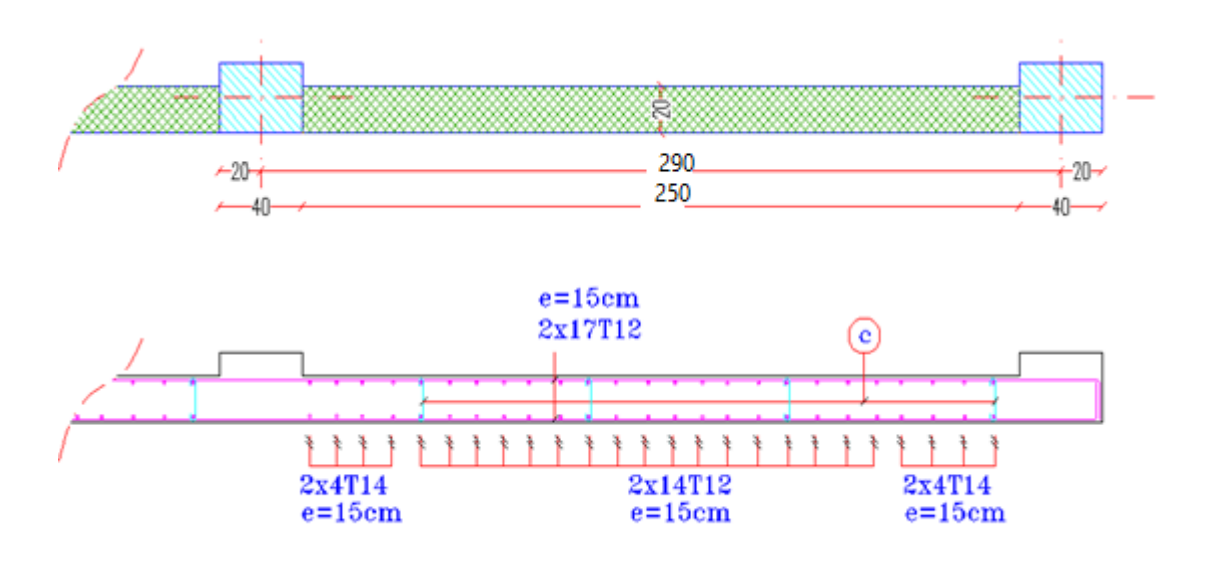


Figure V-11: schéma de ferraillage de viols sens yy.

Figure V-12: schéma de ferraillage de viols sens xx.

## V.7. Conclusion

Les éléments principaux (poutres, poteaux et voiles) jouent un rôle prépondérant dans la résistance et la transmission des sollicitations. Ils doivent donc être correctement dimensionnés et bien armés.

Dans la détermination des ferraillages des différents éléments Principaux ; il a été tenu compte des ferraillages obtenus par logiciels de calcul (ROBOT) ainsi que le ferraillage minimum édicté par les règles parasismiques Algériennes.

# Chapitre VI Etude des fondations

#### VI.1. Introduction

L'infrastructure est la partie au-dessous du niveau 0.00 ont pour objet de transmettre au sol les efforts apportés par les éléments de la structure (poteaux, murs, voiles...).

Cette transmission peut être directe (casdes semelles reposant sur le sol ou cas des radiers) ou être assuré par l'intermédiaire dautres éléments (par exemple, cas des semelles sur pieux).

La détermination des ouvrages de fondation se fait en fonction des conditions de résistance et de tassement liéesaux caractères physique soumé caniques des sols.

Les questions abordées dans ce chapitre concernent la détermination des dimensions et le ferraillage des éléments de fondations en tantqu éléments en béton armé.

Dans le cas le plus général, un élément de la structure peut transmettre à sa fondation (supposée horizontale):

- Une fort normal.
- Une force horizontale résultante par exemple de l'action d'unséisme.
- Un couple qui peut-être de grandeur variableets'exercedansdesplansdifférents.

## VI.2. Facteur de choix du type de fondation

Le choix du type des fondations dépend essentiellement des facteurs suivants :

- La capacité portante du sol.
- Les Charges transmises au sol.
- La distance entre axes des poteaux.
  - - La nature du sol.
    - La profondeur du sol résistant.

## VI.3. Choix de type de fondation

D'après les caractéristiques du sol (une contrainte moyenne admissible =1.8bars), sur lequelest implanté notre ouvrage et la proximité du bon sol par rapport à la surface, nous conduitdans un premier temps à considérer les semelles isolées comme solution primaire. D'après RPA 2024 (A.10.1.4.1) [4], les fondations sont dimensionnées par les combinaisons d'actions suivantes :

❖ Pour les fondations d'éléments verticaux individuels (voiles ou poteaux), la combinaison de charges suivante est utilisée :

 $G+\psi.Q\pm R/QF.Ex$ 

$$G+\psi.Q\pm R/QF.Ey$$

• Pour les fondations communes à plusieurs éléments verticaux (longrines de fondation, semelles filantes, radiers, etc), la combinaison de charges suivante est utilisée :

$$G+\psi.Q\pm1.4Ex$$

$$G+\psi.Q\pm1.4Ey$$

#### Calcul de la contraint

$$\sigma_{adm}(ELU) = \frac{q_u^{reel}}{\gamma_q}$$

$$\sigma_{adm}(ELS) = \frac{q_u^{reel}}{\gamma_q}$$

Avec:

 $\gamma_q$ : Coefficient de sécurité sous les différents états limites.

$$\gamma_q = 2....(ELU)$$

$$\gamma_q = 3 \dots \text{(ELS)}$$

Donc:

$$\sigma_{ELS} = \frac{q_u^{reel}}{3} \Rightarrow q_u^{reel} = 3 \times \sigma_{ELS}$$

$$\sigma_{ELU} = \frac{q_u^{reel}}{2} \Rightarrow q_u^{reel} = 2 \times \sigma_{ELU}$$

$$\sigma_{ELU} = \frac{3}{2}\sigma_{ELS}$$

$$\sigma_{ELU} = \frac{3}{2} \times 1.8 = 2.7 bar$$

#### VI.3.1. Vérification de la semelle isolée

Nous proposons en premier lieu des semelles isolées, pour cela, nous allons procéder à une première vérification telle que :

$$\frac{N_{S}}{S} \leq \sigma_{sol}$$

 $\sigma_{sol}$  : Contrainte admissible du sol. ( $\sigma_s$  = 1.8 bar)

Les poteaux de notre structure sont carrés à la base de section (A\*B) d'où les semelles sont carrées (A\*B)

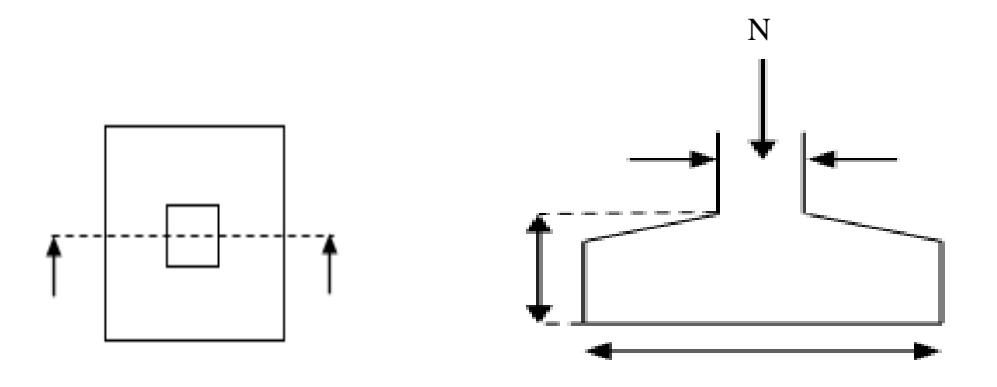
Soit:

 $N_{\rm S}$  :Effort normal de poteau le plus sollicité transmis à la base obtenue par le logiciel

S :Surface de la fondation ( $A \times B$ )

Ns=3419.44KN

On adoptera une semelle homothétique, c'est à dire on prend le rapport A et B dans le même rapport que a et b:



## Vue en plan Coupe cc'

Figure VI-1: Schéma de la semelle isolée

Nous avons une semelle rectangulaire, donc on doit satisfaire la condition d'homothétie:

$$\frac{A}{a} = \frac{B}{b} \Longrightarrow B = \frac{b}{a}A$$

Avec,

a, b : dimensions du poteau à la base.

$$B \ge \sqrt{\frac{b}{a} \times \frac{Nser}{\sigma_{sol}}} \Longrightarrow \sqrt{\frac{0.40}{0.30} \times \frac{3419.44}{180}} \cong 5.03 \, m$$

Nous allons procéder à une 2<sup>eme</sup> vérification concernant l'interférence entre deux

semelles. Il faut vérifie que ( $L_{min} \ge 1.5~B$ ) tel que :  $L_{min}$  est l'entre axe minimum entre deux poteaux.

On a: 
$$1.5 \text{ B} = 1.5 \text{*} 5.03 = 7.54 \text{ m} > L_{\text{min}} = 6.54 \text{ m}$$

#### VI.3.2. Vérification de la semelle filante :

On suppose que la force axiale empêchant la superstructure vers les fondations est appliquée au centre de gravité (C.D.G) des fondations. Nous devons vérifier la condition suivante:

$$\frac{N}{Ss} \ge \sigma sol \rightarrow Ss \ge \frac{N}{\sigma sol}$$

#### Avec:

 $\sigma_{sol}$ : contrainte de sols  $\sigma_{sol} = 1.80 \text{ bar} = 180 \text{ kn/m}^2 \text{ (annexe 4)}$ 

N: effort normale appliqué sur la fondation à l'ELS (N = 3419.44 KN obtenu par le

logiciel « ROBOT 2014 » )

S<sub>s</sub> : surface de la fondation

Nous allons procéder à une 1<sup>ere</sup> vérification telle que :

$$\frac{Ss}{St}$$
 < 50%

St : la surface totale du bâtiment

Ss: la surface des semelles

La surface totale nécessaire est :

$$Ss = \frac{N}{\sigma_{SOI}} = \frac{3419.44}{180} = 18.99 \text{ m}^2$$

#### Surface totale du bâtiment :

 $S_{batiment} = 179.14 \text{m}^2$ 

Ss/Sb< 50%

$$\frac{18.99}{179.14} = 0.11 = 11\% < 50\% \dots \dots \dots CV$$

Donc on est dans le cas d'une semelle filante.

## VI.3.3. Dimensionnement de la semelle :

#### largeur « B »:

La files des poteaux le plus sollicité

B = 
$$\frac{Nser}{L \ x \ \delta sol}$$
 =  $\frac{3419.44 \times 10^{-3}}{21.2 \times 0.18}$  = 0.9 m  
B =  $\frac{Nacc}{L \ x \ \delta sol}$  =  $\frac{3633.89 \times 10^{-3}}{21.2 \times 0.18 \times 1.50}$  = 0.63 m

On prend: B = 1,40m

$$B = \frac{Nacc}{L \ x \ \delta sol} = \frac{3633.89 \times 10^{-3}}{21.2 \times 0.18 \times 1.50} = 0.63 \text{ m}$$

 $\diamond$  Calcul  $\sigma_{moy}$ :

$$\begin{cases}
\operatorname{\sigmamoy} = \frac{N}{BxL} x \left( 1 + \frac{3e}{L} \right) & \text{si} & e \leq \frac{L}{6} \quad [7] \\
\operatorname{\sigmamoy} = \frac{2N}{3Bx \left( \frac{L}{2} - e \right)} & \text{si} & e > \frac{L}{6} \quad [7] \\
e = \frac{\Sigma \left( \text{Ni} * \text{Xi} + \text{Mi} \right)}{\Sigma Ni} - \frac{L}{2}
\end{cases}$$

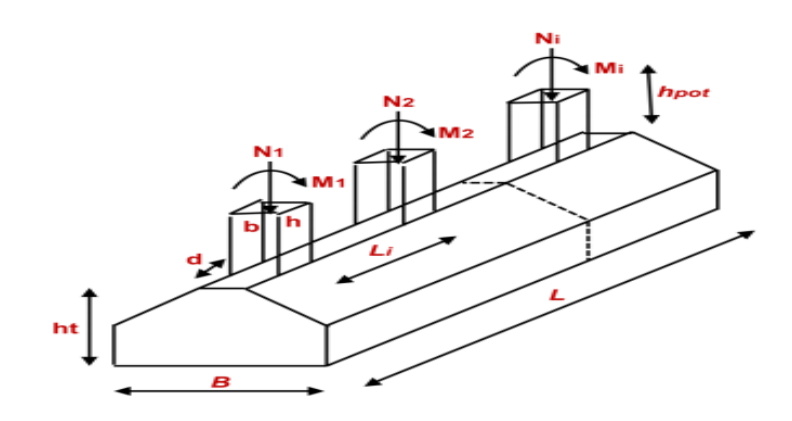


Figure VI-2: Schéma de la semelle filante sous poteaux

Tableau VI-1: Vérifications «omoy » et largeur « B » a "ELU"

Axe	Ni(kn)	Xi(m	Ni*Xi (kn*m)	Mi (kn*m)	ΣNi (kn)	Σ(Ni*Xi +Mi) (kn*m)	L(m)	B(m)	e(m)	$\frac{\sigma_{moy}}{(kn/m^2)}$	$\begin{array}{c} \sigma_{so}l\\ (kn/m^2) \end{array}$	Verif i
1	314.23	0.8	251.38	0.85								
2	1028.26	3.6	3701.74	9.05								
3	1034.26	8.80	9101.49	9.44								
4	1022.10	12.40	12674.0 4	6.48	5383.62	57003.65	21.2	1,40	0.01	201.22	270	VER
5	1012.38	17.60	17817.8 9	6.94	538	5700	0	1,40	1	201.22	210	VLK
6	293.99	21.20	6232.59	0.72								
Poid S + Remb		10.6		0								

Tableau VI-2: Vérifications « σmoy » et largeur « B » a "ELS"

Axe	Ni(kn)	Xi(m)	Ni*Xi (kn*m)	Mi (kn*m)	ΣNi (kn)	1 Y/N1*Y1	L(m)	B(m)	e(m)	$\frac{\sigma_{moy}}{(kn/m^2)}$	$\frac{\sigma_{so}l}{(kn/m^2)}$	Verifi
1	299.58	0.8	239.66	0.61								
2	746.35	3.6	2686.86	6.51								
3	715.23	8.80	6295.08	6.81								
4	742.45	12.40	9206.38	4.66								
5	299.58	0.8	239.66	0.61	.83	1.16						R
6	377.78	21.20	8008.3	1.07	4131	43134.16	21.20	1,40	0.16	142.47	180,00	VER
Poid-P S + Remb		10.6		0								

Tableau VI-3: Vérifications «  $\sigma$ moy » et largeur « B » a " G+0.2Q+1.4EX "

Axe	Ni(kn)	Xi(m)	Ni*Xi (kn*m)	Mi (kn*m)	ΣNi (kn)	Σ(Ni*Xi +Mi) (kn*m)	L(m)	B(m)	е	σ <sub>moy</sub> (kn/m²)	$\sigma_{so}l$ (kn/m²)	Verifi
1	386	0.8	308.8	1.08								
2	738.51	3.6	2658.64	6.46								
3	704.97	8.80	6203.74	7.35								
4	699.04	12.40	8668.096	6.68	29	2.97	21.20	1,40	0.16			VER
5	727.59	17.60	12805.58	5.49	4312.29	45872.97						
6	377.78	21.20	8008.3	1.07								
Poid-P S + Remb		10.6		0								

Tableau VI-4: Vérifications « omoy » et largeur « B » a " G+0.2Q-1.4EX "

			Ni*Xi	Mi	ΣNi	Σ(Ni*Xi	L(m)	B(m)	e	$\sigma_{moy}$	$\sigma_{so}l$	Verifi
Axe	Ni(kn)	Xi(m)	(kn*m)	(kn*m)	(kn)	+Mi) (kn*m)				(kn/m²)	(kn/m²)	

1	27.31	0.8	21.85	0.15	2938.27	30968.942	21.20	1,40	0.16	99.83	270,00	VER
2	533.44	3.6	1920.38	3.81								
3	583.20	8.80	5132.16	3.63								
4	574.77	12.40	7127.15	0.56								
5	529.59	17.60	9320.78	2.11	29	309						
6	11.59	21.20	245.072	0.25	-							
S + Remb	678.4	10.6	7191.04	0								

#### VI.3.3.1. Calcul de la hauteur de la semelle :

h = d + 0.05

Avec: d=B-b/4.

$$h \ge \frac{B-b}{4} + 0.05 \text{ cm} \quad \Rightarrow \ h \ge \frac{1.4-0.30}{4} + 0.05 = 0.32 \text{m}.$$

On prend: h=40cm

d: hauteur utile

b : coté du Poteau

#### VI.3.3.2. Vérification au poinçonnement :

Pour une semelle sous mur, ou bien pour une semelle isolée, la répartition des contraintes, sous la semelle peut être considérée comme uniforme, si nous vérifions la condition de raideur et éventuellement la condition de non poinçonnement.

Pour les semelles continues sous poteaux, nous allons voir que la loi de répartition des contraintes sur le sol est fonction également de la raideur de la semelle.

Pour étudier la raideur d'une semelle continue sous poteaux nous utiliserons de la théorie de la poutre sur sol élastique.

On calculera en premier lieu la longueur élastique de la semelle « le » :

$$l_e = \sqrt[4]{\frac{4.E.I}{K.B}}$$
 [8]

I: l'inertie de la semelle.

E: module d'élasticité du béton

**B**: la largeur de la semelle.

**K**: le coefficient de raideur du sol.

Lorsque la longueur de la poutre ou l'écartement des charges qui la sollicitation est tel que :

$$l \leq \frac{\pi}{2}$$
 . le [8]

Si les charges sont transmises à la poutre par l'intermédiaire de poteaux de la largeur « a » non négligeable. On pourra admettre la répartition linéaire sur une longueur totale de la semelle.

$$l \leq \frac{\pi}{2} . le + a$$
 [8]

Si l'entraxe des poteaux est inférieur cette valeur .la poutre se calcul, alors comme une poutre continue soumise à la réaction du sol (répartition linéaire).

*l*: plus grande distance entre deux portiques parallèles.

le : est la longueur élastique.

a : largeur de poteau.

## VI.3.3.3. Calcul de la poutre de rigidité :

C'est une poutre disposé le long de la semelle. Elle est nécessaire pour reprendre les efforts ramenés par les poteaux et les répartir sur toute la semelle.

$$\frac{l}{8} < h < \frac{l}{6}$$
 avec  $l = 520$  cm (plus grande distance entre deux portique parallèles)

$$\frac{520}{8} < h < \frac{520}{6}$$
  $\Rightarrow$  65 cm  $< h < 86.66$  cm  $\Rightarrow$  On prend:  $h = 100$  cm

Donc: prendre semelle section « T »

$$B = 1.4 \text{ m} / b0 = 0.40 \text{m} / h = 1.00 \text{ m} / h0 = 0.40 \text{ m} / d = 0.9 \times h = 0.90 \text{ m}$$

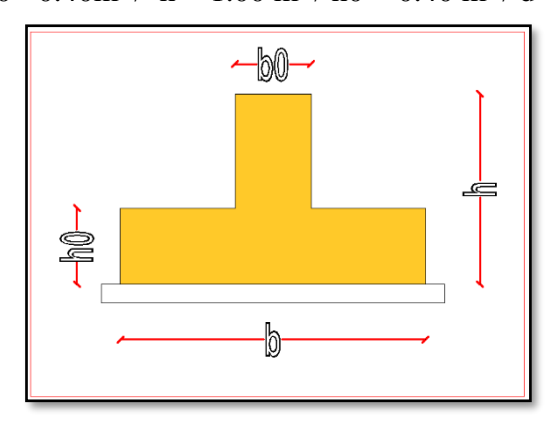


Figure VI-3: Coupe de la semelle isolée.

$$l \text{max} = 5.20 \text{ m}$$

$$I = 0.0947 \, m^4$$

E = 32164.19 MPa

 $K = 4 \times 10^4 \text{ KN/m}^3$ 

B = 1.40m

a = 0.40 m

$$l_e = \sqrt[4]{\frac{4.E.I}{K.B}} = 3.84 \text{ m}$$

$$\frac{\pi}{2}$$
 .  $le + a = \frac{3.14}{2} \times 3.84m + 0.40m = 6.43m$ 

 $5.20 m \le 6.43 m$ 

Donc le calcul peut être faite en supposant une répartition linéaire des contraintes sur le sol et il n'y a pas lieu de faire des calculs relatifs 'a la poutre sur sol élastique.

## VI.3.4. Calcul des sollicitations :

D'après RPA 2024 Le ferraillage solen combinaison ELU (1.35G+1.5Q).

$$qu = \sigma_{moy}$$
 ELU X B = 181.67 x 1.40 = 254.34 KN/m.

$$qs = \sigma_{moy}$$
 ELS X B = 142.47 x 1.40 = 199.46 KN/m.

Les sollicitations (moment et effort tranchant) sont calculées à l'aide du logiciel ROBOT.

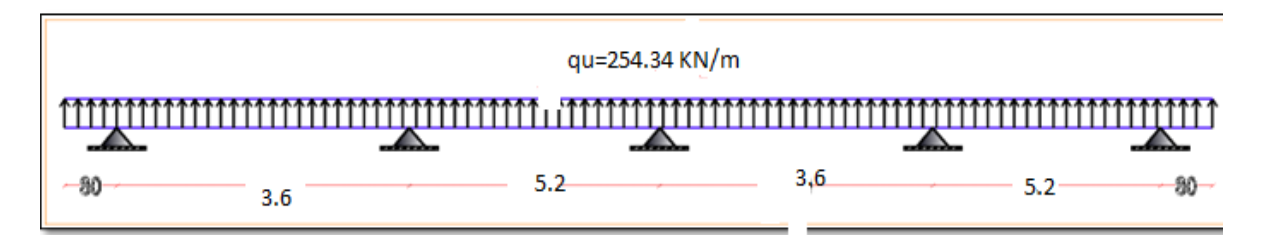


Figure VI-4: La distribution des charges ponctuelle sur la poutre « qu »

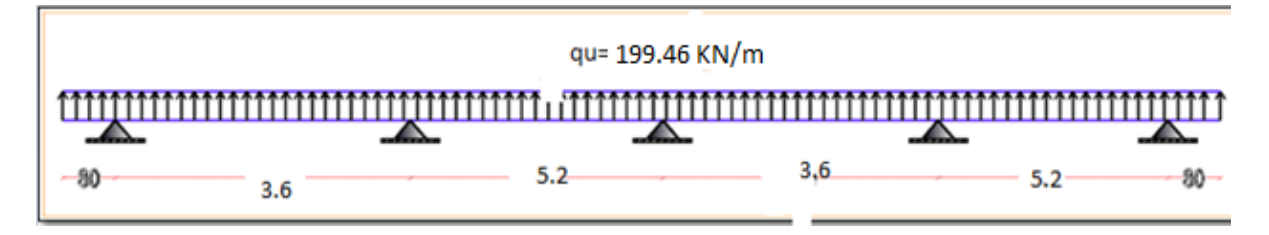


Figure VI-5: Distribution des charges ponctuelle sur la poutre « qs »

Le calcul du ferraillage se fait comme étant une poutre en section « T » renversé :

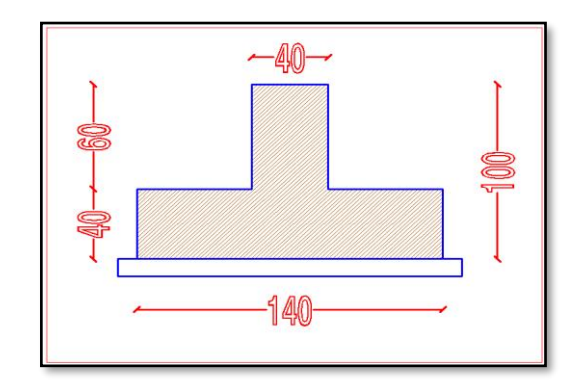


Figure VI-6: Coupe de la semelle filante

Tableau VI-5: Résultats du moment maximal.

	ELU	ELS
Q (KN/m)	254.34	199.46
Moment en travée (KN.m)	-235.98	-171.47
Moment en appui (KN.m)	445.37	322.86
Effort tranchant (KN)	528.30	383.73

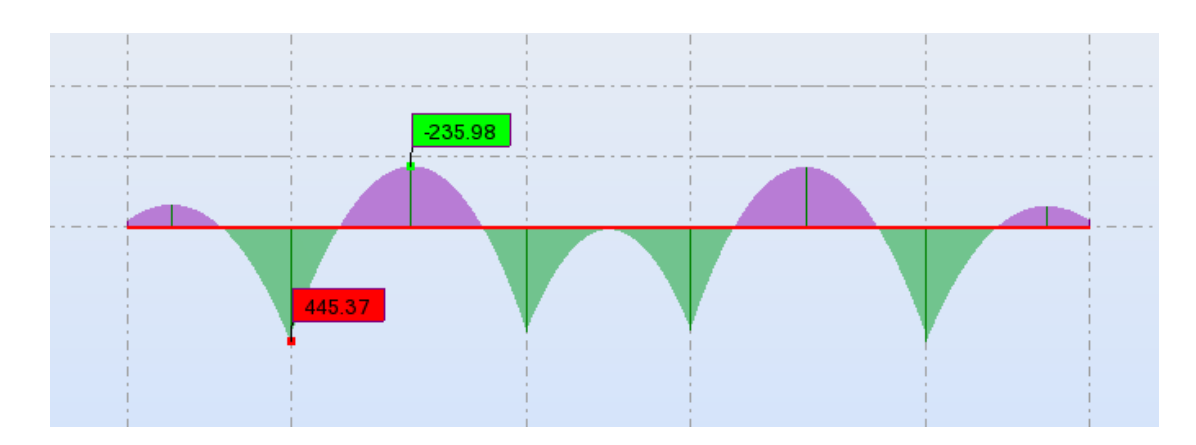


Figure VI-7: Diagramme Moment a « ELU »

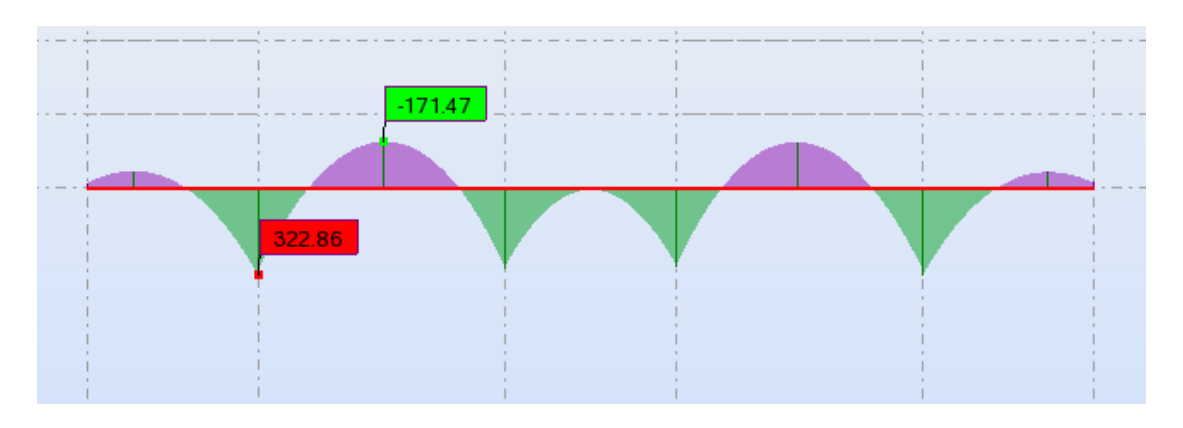


Figure VI-8: Diagramme Moment a « ELS »

## VI.3.5. Calcule Ferraillage:

#### **VI.3.5.1.** En Appuis :

• Ferraillage principal:

M max = 445.37 kn.m 
$$\sigma_b$$
 = 14, 2 Mpa c=5cm c'= 5cm

Le moment résistant de la table de compression :

$$\begin{split} M_t &= bxh_0x(d-\frac{h_0}{2})x \; \sigma_b \; \Rightarrow M_t = 1.40 \; x \; 0. \; 40 \; x \; (0.95 - \frac{0.40}{2})x \\ 14.2 \; x \; 10^3 = 5964 \; kn.m \\ &\Rightarrow M_t \; > \; M \; max \end{split}$$

Donc L'axe neutre tombe dans la table de compression, la section en Té sera calculée comme une section rectangulaire de largeur b = 140 cm et de hauteur h = 80 cm.

$$\begin{split} \mu &= \frac{Mmax}{b.d^2.\sigma_b} = \frac{445.37 \times 10^{-3}}{1.40 \times 0.95^2 \times 14.2} = 0,\,02 \\ 0.02 &< \mu_{AB} = 0,186 \Rightarrow (A_s` = 0) \Rightarrow \text{pivout A} \\ \alpha &= 1,\,25\,(1\text{-}\sqrt{1-2\mu}\,) \\ \alpha &= \textbf{0.025} \end{split}$$

$$\beta = 1 - 0.4\alpha$$
  $\beta = 0.99$ 

$$Z = \beta. d \Rightarrow Z = 0,99 \times 95$$

Z = 94.05 cm

$$A_s = \frac{M \max}{Z.\sigma s} = \frac{445.37 \times 10^{-3}}{0.9405 \times 348} \times 10^4$$

$$A_s = 13.61 \text{ cm}^2$$

#### • Condition de non fragilité :

A min = 0, 23.b.d. 
$$\frac{ft_{28}}{fe}$$
 = 16.06 cm<sup>2</sup>

On a adopts:  $8T12+4T16 (A_s = 17.09 \text{ cm}^2).$ 

## • Ferraillage de répartition

Puisqu'il existe une poutre de rigidité dans ce sens qui reprend les différents Ni donc On met seulement des aciers de construction

$$A_r = \frac{17.09}{3} = 5.70 \text{ cm}^2$$

Choix d'armature : 6HA12 As=  $6.79 \text{ cm}^2 \Rightarrow \text{St}= 15 \text{cm}$ .

#### VI.3.5.2. Sur travée:

## • Ferraillage principal:

Le moment est négatif, la table de compression est tendue, la section en té sera calculée comme une section rectangulaire de largeur 40 cm et de hauteur h=100 cm.

M max =-235.98 kn.m 
$$\sigma_b = 14, 2 \text{ Mpa}$$
 c=5cm c'= 5cm

$$\mu = \frac{\text{M max}}{\text{b.d}^2.\sigma_b} = \frac{235.98 \times 10^{-3}}{0.4 \times 0.95^2 \times 14.2} = 0,\,046 \,< \mu_{AB} = 0,186 \Rightarrow \text{(A$_s$`} = 0\text{)} \Rightarrow \text{pivout A}$$

$$\alpha = 1, 25 (1 - \sqrt{1 - 2\mu}) \alpha = 0,059$$

$$\beta = 1 - 0.4\alpha$$
  $\beta = 0.976$ 

$$Z = \beta. d \Rightarrow Z = 0,976 \times 95 = 92.76 \text{ cm}$$

$$A_s = \frac{\text{M max}}{\text{Z.} \sigma s} = \frac{\text{235.98} \times 10^{-3}}{\text{0,9276} \times 348} \text{x } 10^4$$

$$A_s = 7.31 \text{ cm}^2$$

#### • Condition de non fragilité:

A min = 0, 23.b.d. 
$$\frac{\text{ft}_{28}}{\text{fe}}$$
 = 04.59 cm<sup>2</sup>

On a adopts:  $4T16 + 4T14 (A_s = 14.20 \text{ cm}^2)$ .

#### • Ferraillage de répartition

Puisqu'il existe une poutre de rigidité dans ce sens qui reprend les différents Ni donc On met seulement des aciers de construction

$$A_r = \frac{14.20}{3} = 5.69 \text{ cm}^2$$

Choix d'armature : 6HA12 As= 6.79 cm<sup>2</sup>  $\Rightarrow$  St= 15cm.

Tableau VI-6: Résultats de calcul ce ferraillage

	M	H	В	<i>b0</i>	h0	$A_{S}$	$A_{min}$	Choix de ferraillage	A <sub>adopt</sub> é
	(KN. m)	( <b>m</b> )	( <b>m</b> )	<i>(m)</i>	( <b>m</b> )	(cm <sup>2</sup> )	(cm <sup>2</sup> )		(cm <sup>2</sup> )
Travée	235.98	1.00	1.40	/	/	7.31	04.59	4T16fil+4T14chap	14.20
Appui	445.37	1.00	1.40	0.40	0.40	13.61	16.06	4T16fil+8T12e=15cm	17.09

## • Vérification à L'ELS :

$$\alpha < \frac{\gamma - 1}{2} + \frac{fc28}{100}$$
 Avec:  $\gamma = \frac{Mu}{Ms}$ 

$$\gamma = \frac{235.98}{171.47} = 1.38$$

$$\alpha < \frac{1.38 - 1}{2} + \frac{25}{100} = 0.44$$

∝ Travée=0.44

Alors:  $0.44 \le 0.65$  cv

Donc, il n'est pas nécessaire de vérifier la contrainte du béton :  $\sigma b \le \sigma bc$ .

• Vérification de l'effort de tranchant « cisaillement » : (BAEL91) [1]

On doit vérifier que :  $\overline{\mathbb{T}}_{u} \leq \overline{\overline{\mathbb{T}}}_{u}$  avec la fissuration préjudiciable

$$\overline{\tau}_{\rm u} = \min \left( \frac{0.20 f c 28}{\gamma b} \right) ; 5 MPa \ldots \text{ (Fissuration peu préjudiciable)}$$

$$\overline{\tau}_{u} = \min \left( \frac{0.15 f c28}{\gamma b} ; 4MPa \right) \dots$$
 (Fissuration préjudiciable ou très préjudiciable)

$$\overline{\tau}_{u}$$
= min (2.50; 4MPa) = 2.50 MPa

$$\tau_{\rm u} = \frac{V_u}{hd} = \frac{528.30 \times 10^3}{400 \times 950} = 1.89 \text{ MPa}$$

 $1.89 \le 2.50 \text{ Mpa}$ 

 $\phi t \le min(h/30; bo/10; \phi l) = min(33.33; 40; 16)$  On adopte  $\phi t = 8 mm(\phi 8)$ 

$$(At.fe/bo.St) \ge max(\frac{\overline{\tau}_u}{2}; 0.4 MPa)$$
 avec  $At = 4\phi 8 = 2.01cm^2$   $(201 \times 400/400 \times 150) \ge 1.25 MPa$   $1.34 MPa \ge 1.25 MPa$ .

# VI.4. Schéma de ferraillage semelle filante

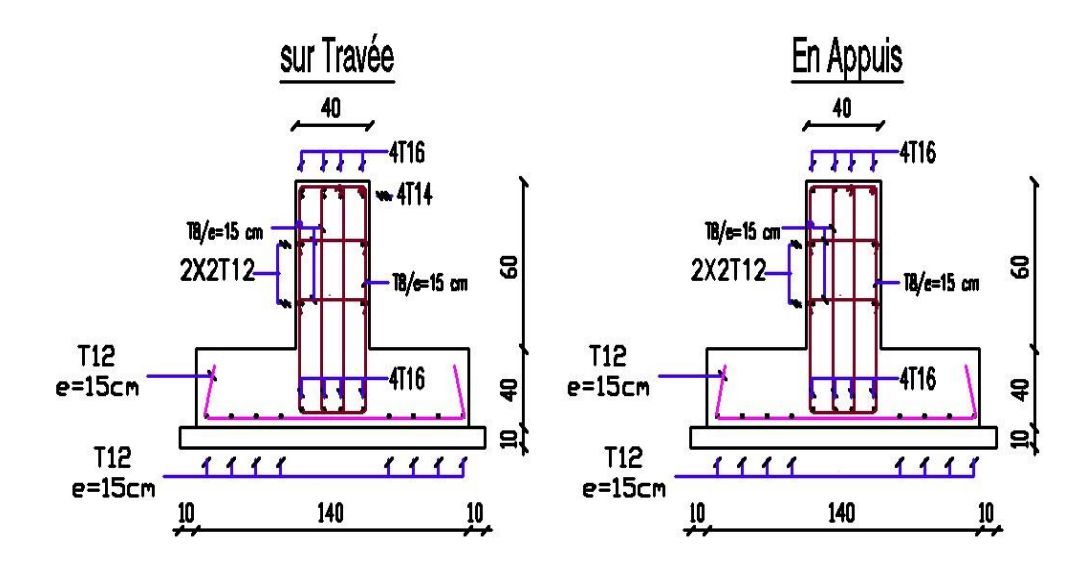


Figure VI-9: Schéma de ferraillage de semelle filante

# VI.5. L'étude des longrines

Les longrines ont pour rôle :

Chainer les semelles entre elles.

Rigidifier l'infrastructure.

Empêcher le déplacement des semelles l'une par rapport à l'autre.

## VI.5.1. Pré dimensionnement

D'après le règlement RPA 2024 (art 10.1.1) [4]

Les longrines auront des dimensions minimales :

(25×30) cm<sup>2</sup>... Sites de catégorie S2, S3

(30×30) cm<sup>2</sup>... Site de catégorie S4

Notre site c'est ferme S3, Pour des raisons constructives nous adapterons

Une section de dimensions suivantes : (30×35) cm<sup>2</sup>.

## VI.5.2. Ferraillage de la longrine

#### A L'ELU:

Les longrines doivent calculées pour résister à la traction sous l'action d'une forces est égale à (F=±α.(A.I.S).N)≥20kN(RPA2024 Article 10.1.1) [4]

avec:

- N: valeur moyenne des charges verticales apportées par les points d'appui solidarisés ensituation sismique.
- α: coefficient fonction de lazone sismique et de lacatégorie desiteconsidérée. Ilest donnépar:
   (RPA2024 Article 10.1.1) [4]:

$$\alpha$$
=0.4 (site S3, zone V),

A = 0.25

I=1

S = 1.3

$$F=\pm0.4(0.25\times1\times1.3)\times1611.46$$

 $F=209.48KN \ge 20KN$ 

$$A_s = \frac{F}{\sigma_s} = \frac{209.48 \text{ X} 10^3}{348} = 601 \text{mm}^2 = 6.01 \text{ Cm}^2$$

#### A L'ELS:

Si la fissuration est considérée comme préjudiciable

$$\sigma_{st} \le \overline{\sigma_{st}} = min(\frac{2}{3}f_e, 110\sqrt{\eta f_{tj}}) = 201.63 \text{ MPa}$$

$$N_{ser} = 1172.30 \text{ KN}$$

$$\sigma_{ser} = \frac{\alpha(A.I.S)N}{As} < \sigma a$$

$$As = \frac{\alpha(A.I.S)N}{\sigma_{ser}} = \frac{0.4(0.25 \times 1 \times 1.3)}{201.63}$$

Recommandation de RPA 2024 10.1.1) [4]:

La section d'armature minimales donnée par RPA [4]:

Amin= $0.6\% \times b \times h$ 

Amin=0.006×30×35=7.35cm<sup>2</sup>

$$A_s = \max(A_u, A_{ser}, A_{min}) = 7.56 \text{cm}^2$$

On adopte: 8T12 (A s=9.05cm<sup>2</sup>)

## VI.5.3. Condition de non fragilité : (BAEL91) [1]

$$A_{\min} \ge 0.23 \times b \times d \times \frac{ft28}{fe}$$
 avec  $f_{t28} = 0.6 + 0.06 f_{c28} = 2.1 \text{ MPa}$ 

$$A_{min}\!\geq 0.23\times\!300\!\times\!315\!\times\!\!\frac{^{2.1}}{_{400}}\!\!=\!114.10mm^2$$

 $\Rightarrow$  A<sub>min</sub>  $\geq$  1.14cm<sup>2</sup>

## VI.5.4. L'espacement

 $S_t \le \min(15\phi l; 20 cm)$ 

$$St \le min(15x1.2; 20 cm))$$
  $St \le min(18; 20 cm))$ 

On prend: S<sub>t</sub>=15 cm

#### VI.5.5. Armatures transversales

Calcul de la section minimale : CBA93 l'art (A.5.1.2.2) [3]

$$\frac{At.fe}{h.St} \le 0.4 Mpa$$

$$At \le 0.4 \times b \times St/fe \Rightarrow At \le 0.45 \text{ cm}^2$$

On adopte: 4T8 (A=2.01cm<sup>2</sup>)

## VI.6. Schéma de ferraillage La Longrine

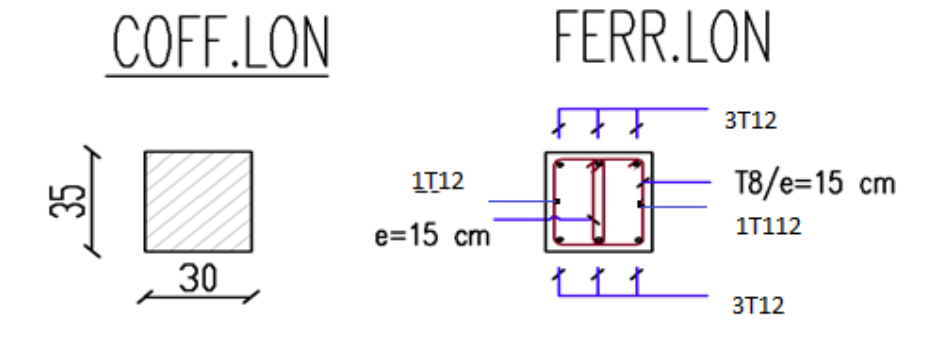


Figure VI-10: Schéma de ferraillage de La longrine.

# VI.7. Conclusion:

L'étude de l'infrastructure constitue une étape très importante dans le calcul d'ouvrage. Le choix de la fondation dépend de plusieurs paramètres liés aux caractéristiques du sol, ainsi que les caractéristiques géométriques de la structure. Pour notre structure le type de fondation choisie est les semelles filantes.

# Conclusion générale

# Conclusion générale

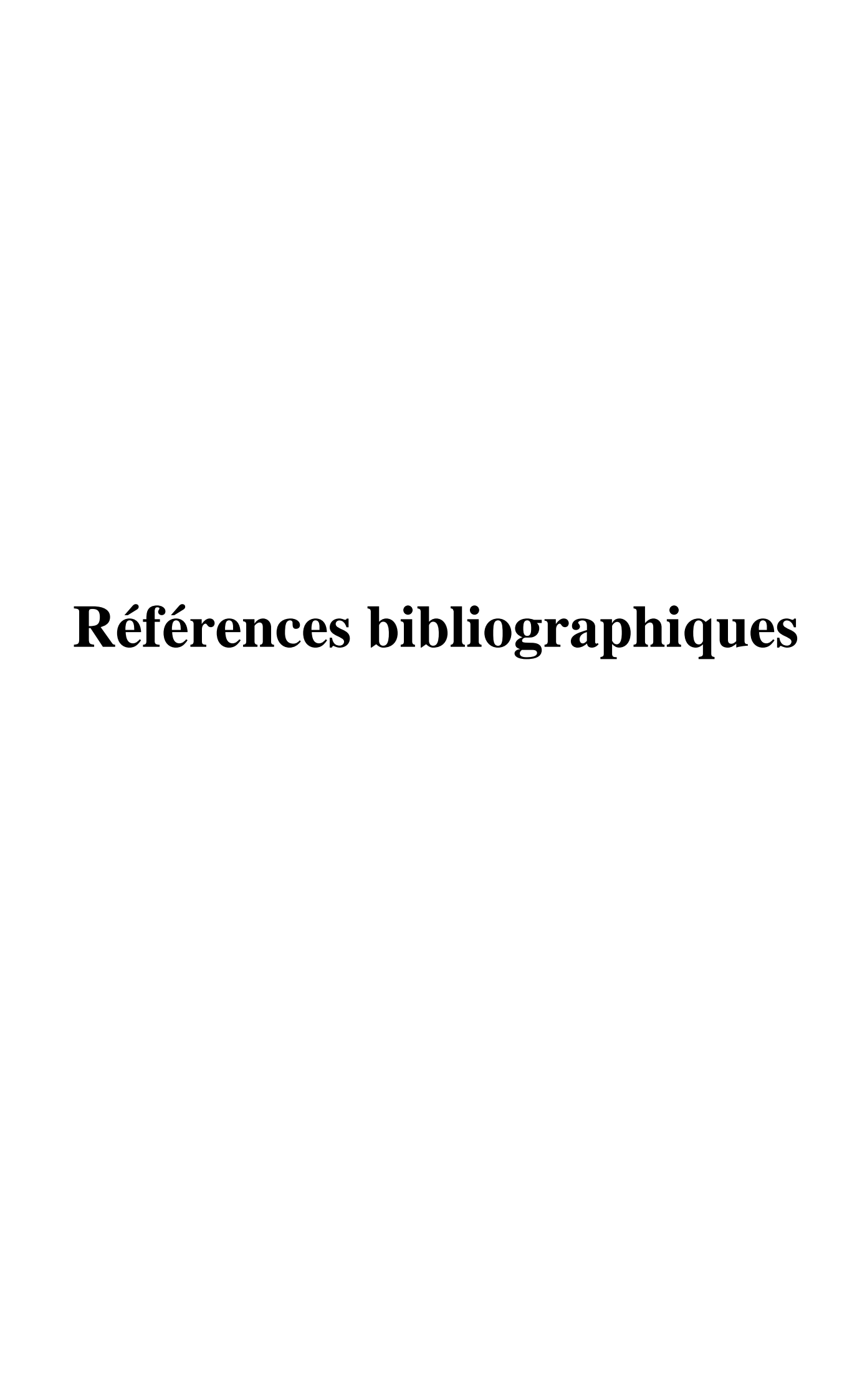
Ce projet de fin d'études nous a permis de mettre en exergue les connaissances théoriques acquises pendant la durée des études pour analyser et étudier un projet de bâtiment réel. Nous avons compris combien qu'il est important de bien analyser une structure avant le calcul. L'analyse de la structure d'un ouvrage est une étape très importante qui permettre de faire une bonne conception parasismique au moindre coût.

L'objectif primordial étant bien sûr, la protection des vies humaines lors d'un séisme majeur.

La surabondance des voiles dans une structure ne veut pas dire automatiquement, une bonne résistance, vis-à-vis des séismes, mais peut nuire à la stabilité de la structure, lorsque ces dernières sont mal placées.

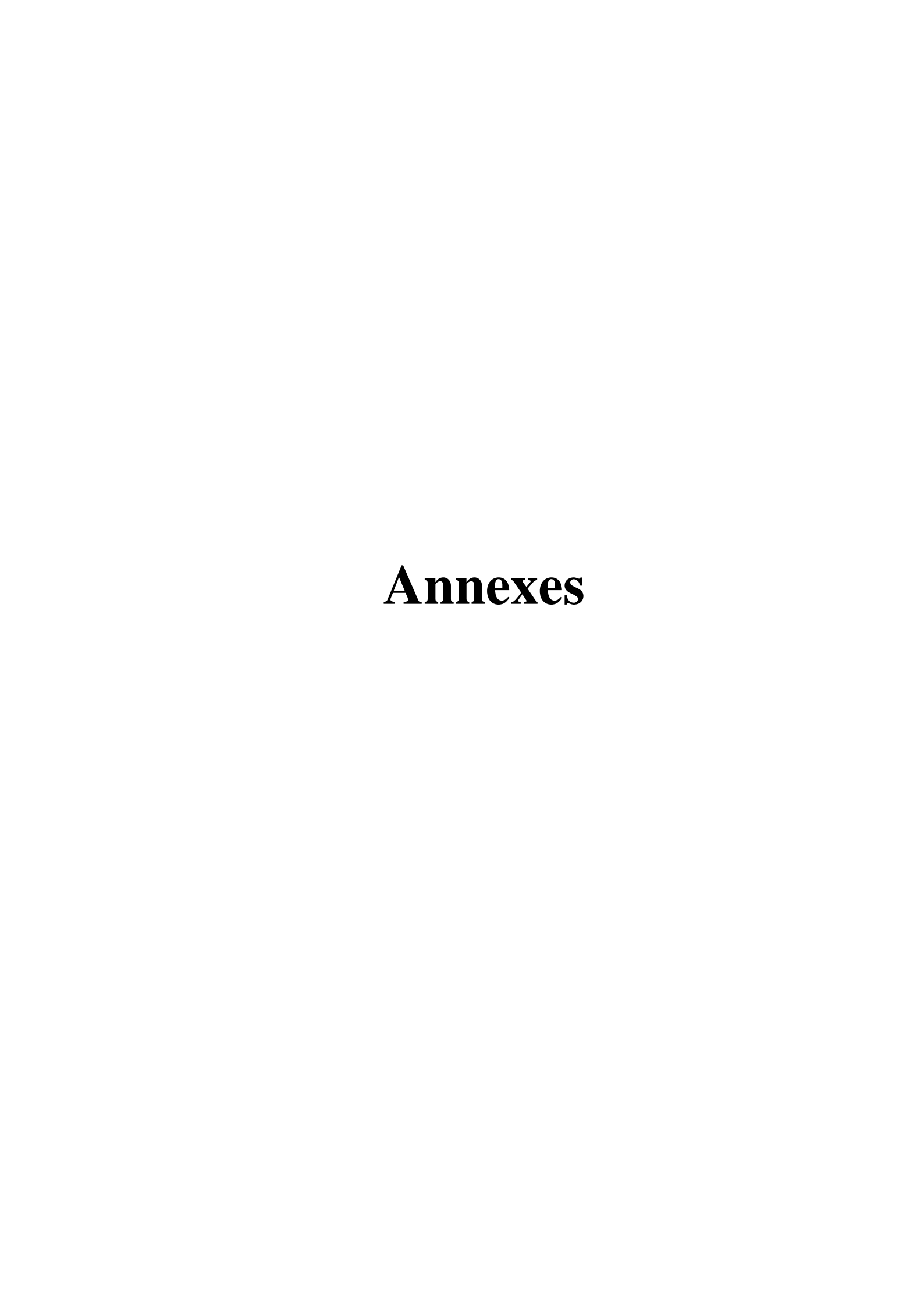
Finalement cette étude, nous a permis de concrétiser l'apprentissage théorique du cycle de formation de l'ingénieur et surtout d'apprendre les différentes techniques de calcul, les concepts et les règlements régissant le domaine étudié.

Notons qu'enfin ce projet qui constitue pour nous une première expérience et nous a était très bénéfique puisque l'utilisation de l'outil informatique nous a permis d'économiser beaucoup de temps, mais la maîtrise du logiciel reste une étape très importante qui demande les connaissances de certaines notions de base des sciences de l'ingénieur.



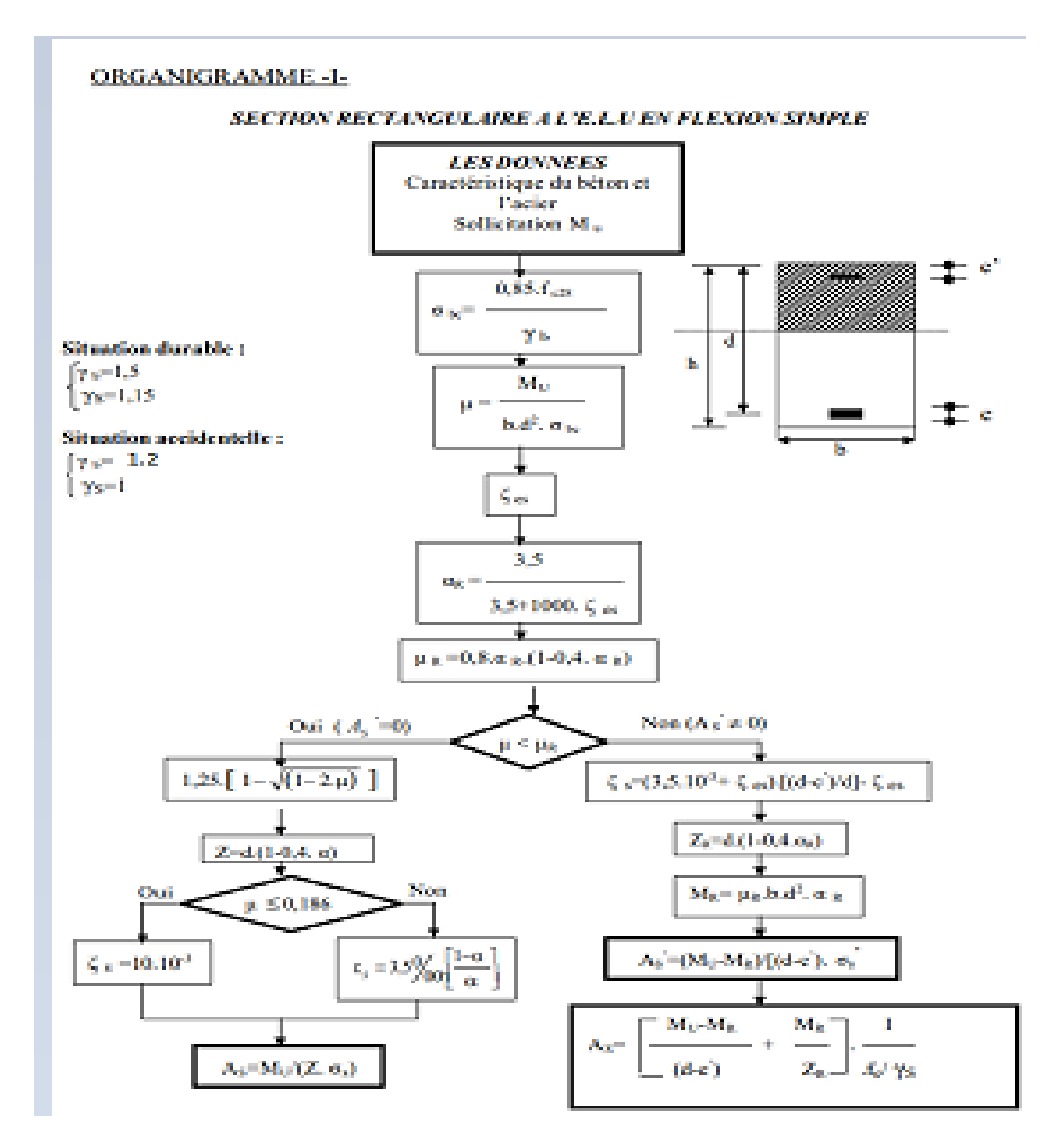
# Références bibliographiques

- [1] Règles de Calcul de Béton Armé Aux Etats Limites BAEL91
- [2] Règles de Calcul de Béton Armé Aux Etats Limites BAEL mod 99
- [3] Règles de Conception et de Calcul des Structures en Béton Armé CBA 93
- [4] Règles Parasismiques Algériennes RPA2024
- [5] Charges permanentes et charges d'exploitation D.T.R-B.C 2.2
- [6] Règles De Calcul Des Fondations Superficiels D.T.R-B.C 2.331
- [7] règles de conception et de calcul des parois et murs en béton banché D.T.R: B.C.2.42
- [1] Mémoire dimensionnement et calcul d'un bâtiment (R+5) a usage multiple réalisé par « CH Aya & D Rayan »
- [2] Etude d'un Bâtiment à usage d'habitation situé à Mila (R + 5) réalisé par « BEN ZEBOUCHI Abderrezak & KAHLESSENANE Hicham»
- [3] Cours de projet structure en béton armé (Master 2 GC) **Dr. Abdelkader Brahim**.
- [4] Cours de modélisation de structure (Master 2 GC) **Dr. Boukour Salima**
- [5] Logiciel d'analyse des structures ROBOT version 2014.
- [6] WORD 2016.
- [7] AUTO CAD 2021.



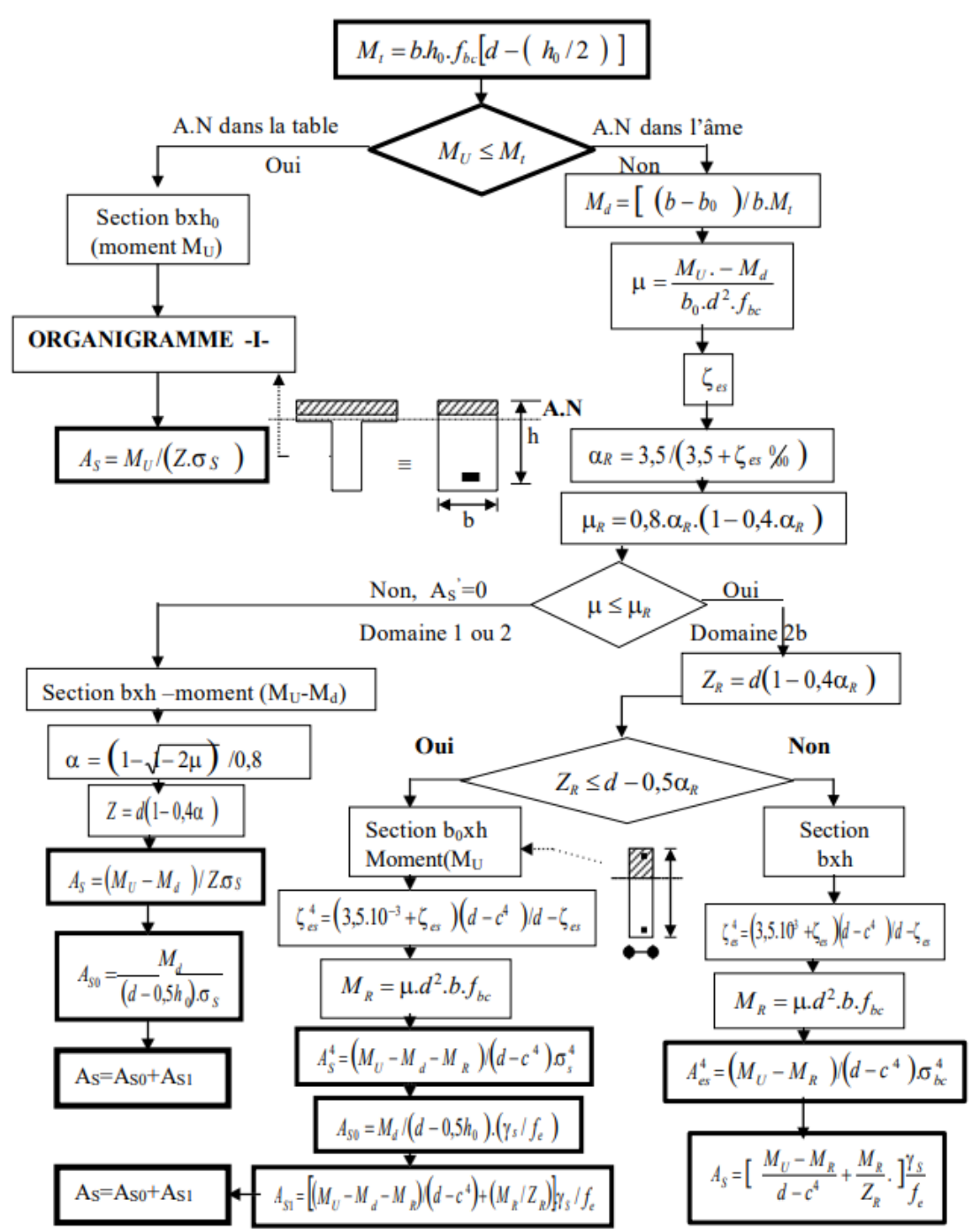
#### **Annexes**

#### **ANNEXES 1**



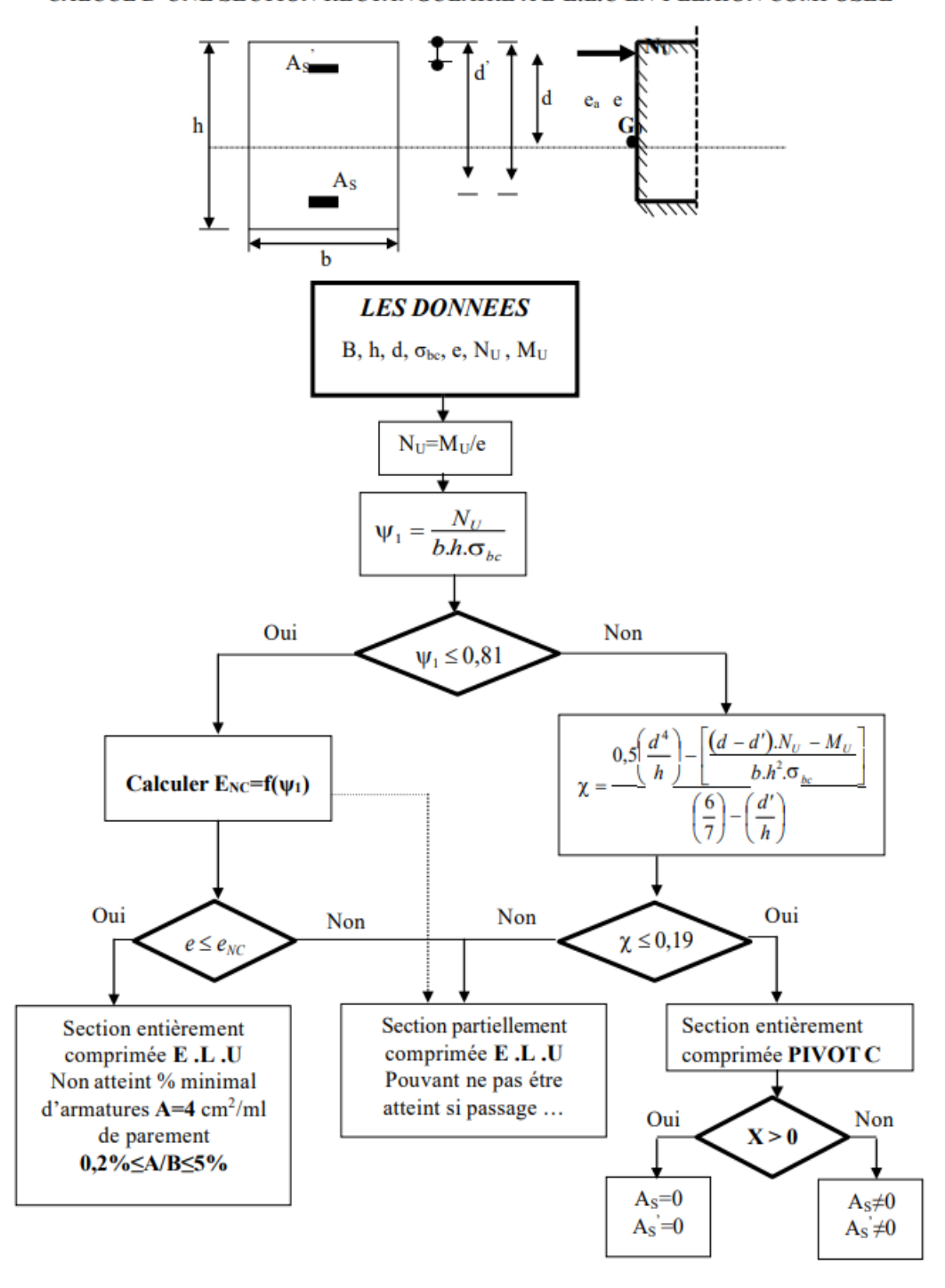
#### **ORGANIGRAMME -II-**

#### CALCUL D'UNE SECTION EN -Té- A L'E.L.U EN FLEXION SIMPLE



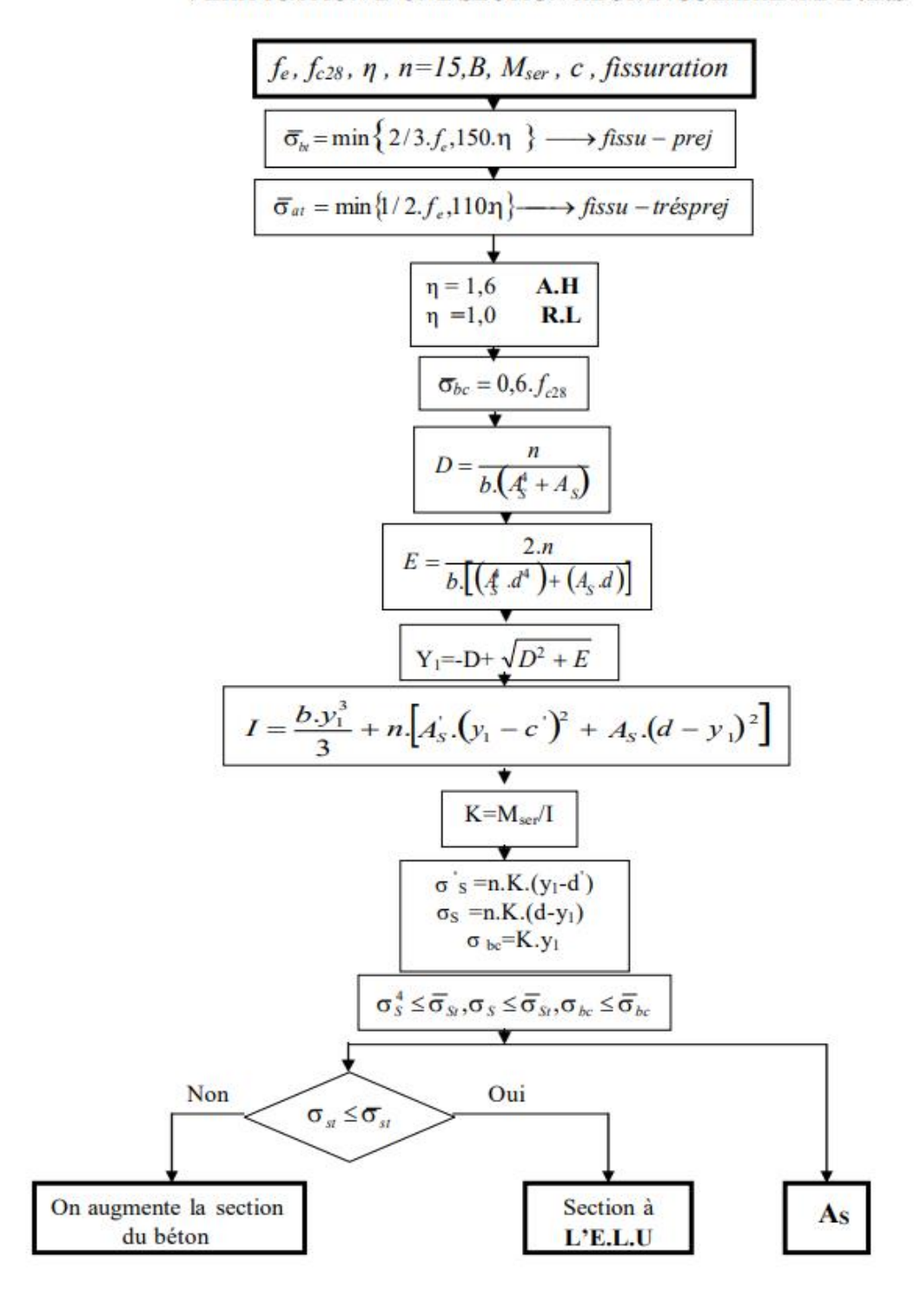
# ORGANIGRAMME -III-

#### CALCUL D'UNE SECTION RECTANGULAIRE A L'E.L.U EN FLEXION COMPOSEE



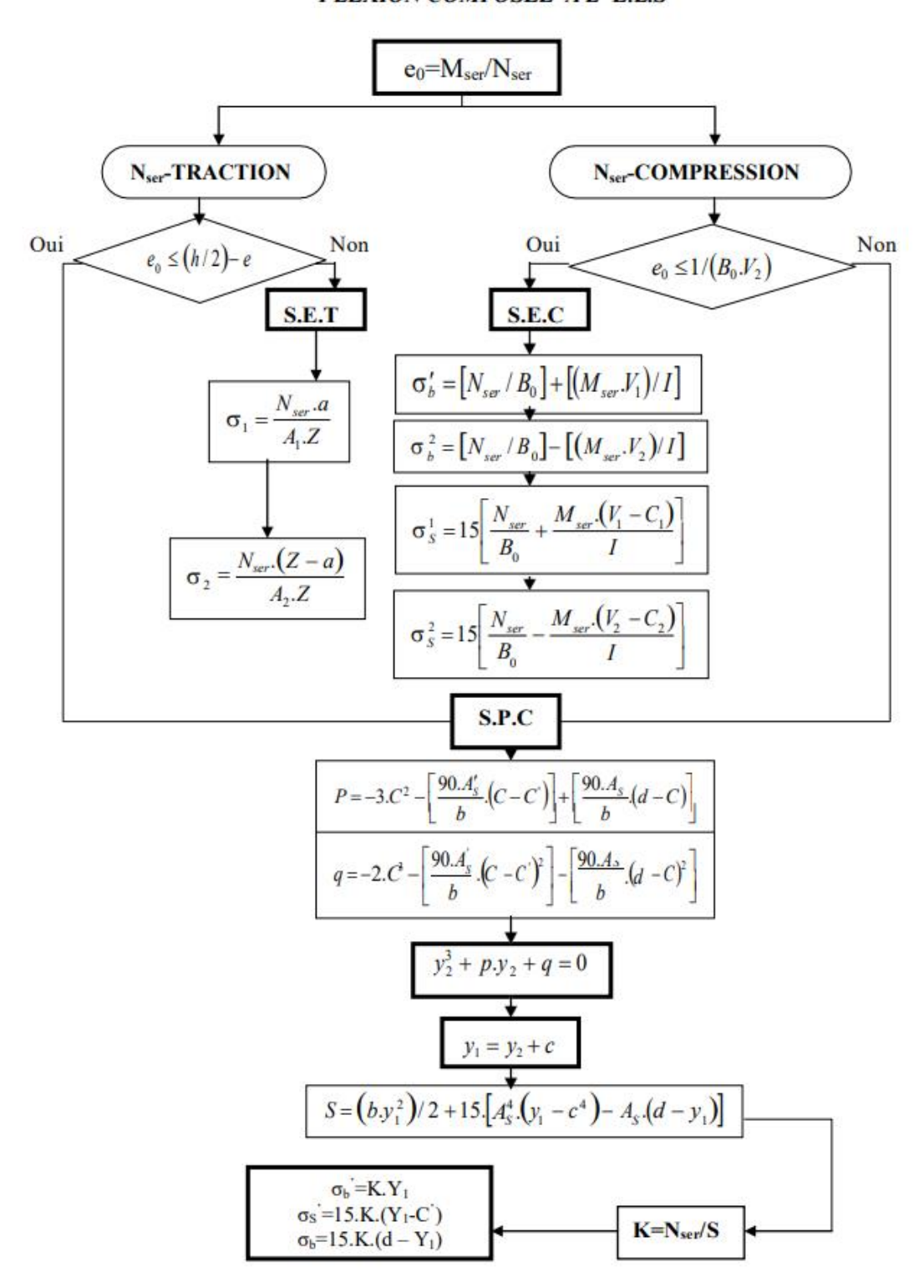
#### ORGANIGRAMME -IV-

#### VERIFICATION D'UNE SECTION RECTANGULAIRE A L'E.L.S



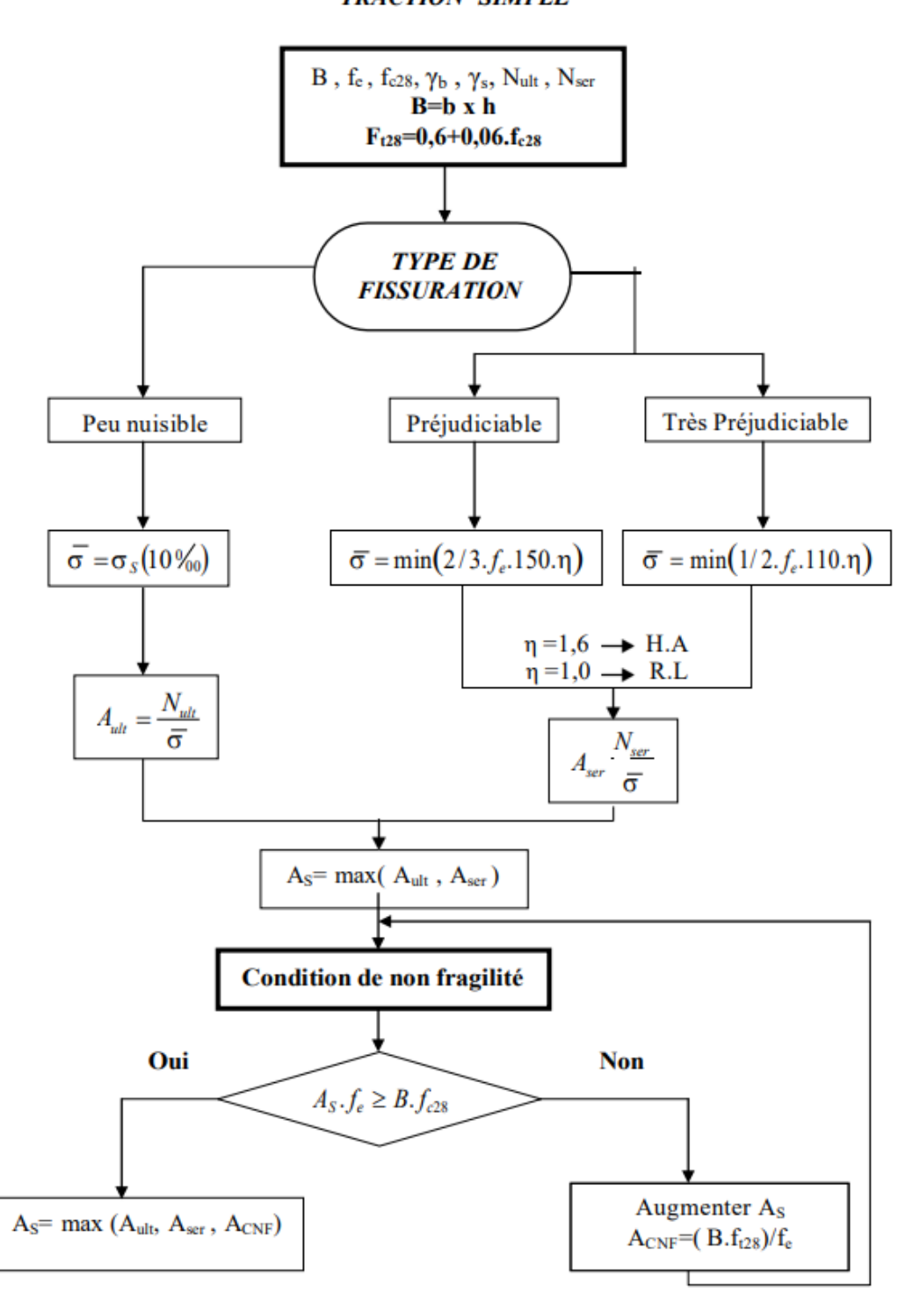
#### ORGANIGRAMME -V-

#### FLEXION COMPOSEE AL'E.L.S



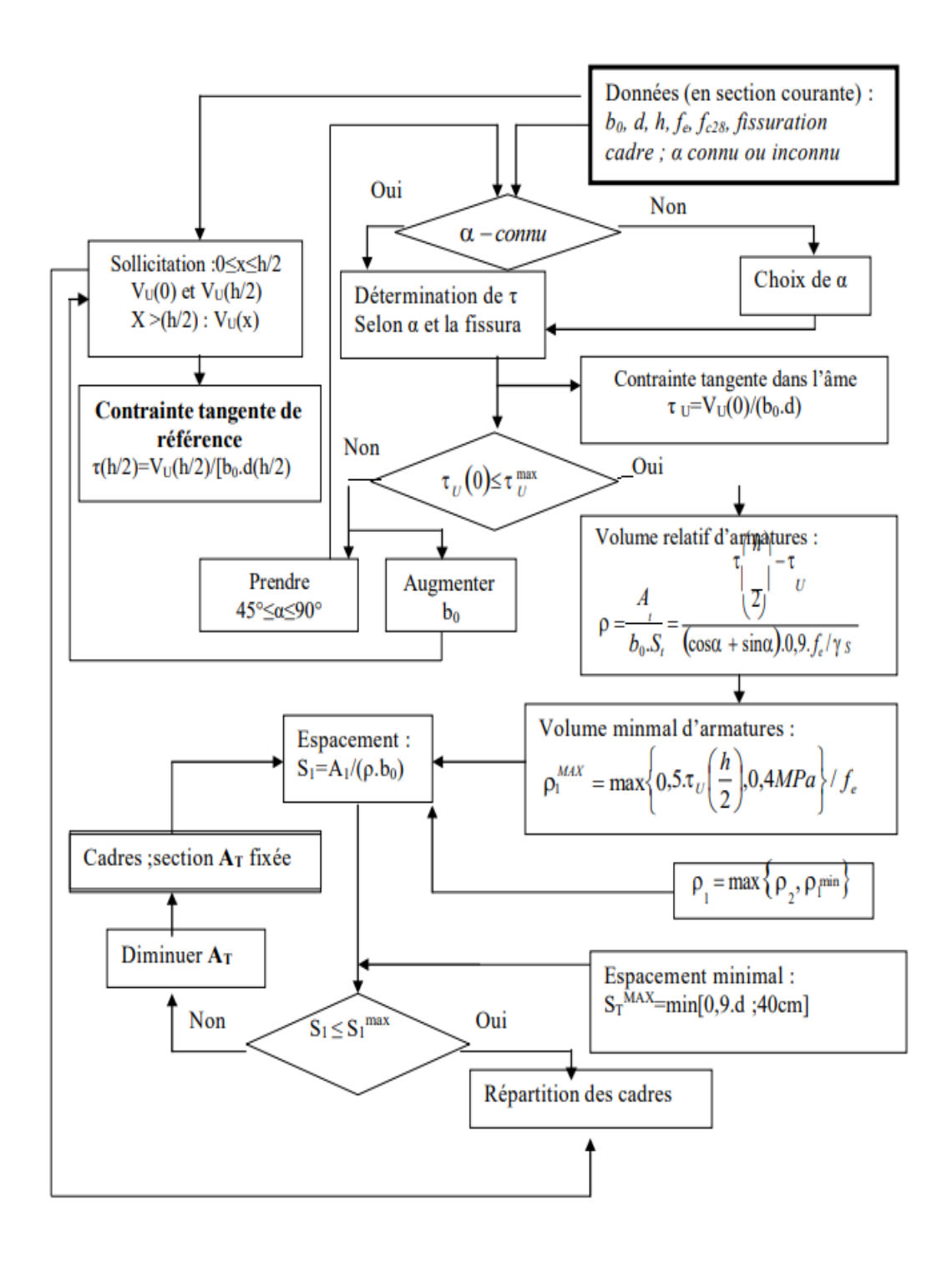
# ORGANIGRAMME -VI-

#### TRACTION SIMPLE



# ORGANIGRAMME -VII-

#### CALCUL DES ARMATURES D' UNE POUTRE SOUMISE A L'EFFORT TRANCHANT



# Section en cm² de 1 à 20 armatures de diamètre **P**en mm

Ø	5	6	8	10	12	14	16	20	25	32	40
1	0,20	0,28	0,50	0,79	1,13	1,54	2,01	3,14	4,91	8,04	12,57
2	0,39	0,57	1,01	1,57	2,26	3,08	4,02	6,28	9,82	16,08	25,13
3	0,59	0,85	1,51	2,36	3,39	4,62	6,03	9,42	14,73	24,13	37,70
4	0,79	1,13	2,01	3,14	4,52	6,16	8,04	12,57	19,64	32,17	50,27
5	0,98	1,41	2,51	3,93	5,65	7,70	10,05	15,71	24,54	40,21	62,83
6	1,18	1,70	3,02	4,71	6,79	9,24	12,06	18,85	29,45	48,25	75,40
7	1,37	1,98	3,52	5,50	7,92	10,78	14,07	21,99	34,36	56,30	87,96
8	1,57	2,26	4,02	6,28	9,05	12,32	16,08	25,13	39,27	64,34	100,5
9	1,77	2,54	4,52	7,07	10,18	13,85	18,10	28,27	44,18	72,38	113,1
10	1,96	2,83	5,03	7,85	11,31	15,39	20,11	31,42	49,09	80,42	125,7
11	2,16	3,11	5,53	8,64	12,44	16,93	22,12	34,56	54,00	88,47	138,2
12	2,36	3,39	6,03	9,42	13,57	18,47	24,13	37,70	58,91	96,51	150,8
13	2,55	3,68	6,53	10,21	14,70	20,01	26,14	40,84	63,81	104,6	163,4
14	2,75	3,96	7,04	11,00	15,83	21,55	28,15	43,98	68,72	112,6	175,9
15	2,95	4,24	7,54	11,78	16,96	23,09	30,16	47,12	73,63	120,6	189 5
16	3,14	4,52	8,04	12,57	18,10	24,63	32,17	50,27	78,54	125,7	201,1
17	3,34	4,81	8,55	13,35	19,23	26,17	34,18	53,41	83,45	136,7	213,6
18	3,53	5,09	9,05	14,14	20,36	27,71	36,19	56,55	88,36	144,8	226,2
19	3,73	5,37	9,55	14,92	21,49	29,25	38,20	59,69	92,27	152,8	238,8
20	3,93	5,65	10,05	15,71	22,62	30,79	40,21	62,83	98,17	160,8	251,3